

受贈

097

H

図・本館

磁気圏・電離層プラズマ中のホイッスル波の
伝播に関する研究

STUDY ON THE PROPAGATION OF WHISTLER WAVES IN THE MAGNETOSPHERIC
AND IONOSPHERIC PLASMAS

昭和 49 年

名古屋大学 空電研究所

早川 正士

報告番号	乙 第 1099 号
------	------------

目次

	頁
第1章 序論	
1-1 ホイッスラの歴史	1
1-2 ホイッスラに関する従来の研究経過	4
1-3 本研究の概要とその意義	11
参考文献	17
第2章 低周波電波の電離層への透過および 下降ホイッスラ波の電離層内反射および 透過	
2-1 まえがき	22
2-2 波動論的取り扱い	26
2-3 低周波電波の電離層への透過	
2-3-1 高緯度電離層中のホイッスラ波の伝播	29
2-3-2 低緯度電離層中のVLF, ELF電波の反射および 透過	36
2-3-3 中緯度におけるホイッスラ波の電離層透過	46
2-3-4 下部電離層中のホイッスラ波の伝播に関する 実験結果	56
2-4 下降ホイッスラ波、電離層内反射(波面法線 方向が透過円錐外にある場合)	65
2-5 下降ホイッスラ波の電離層内反射および透過 機構(波面法線方向が透過円錐内にある 場合)	
2-5-1 下降ホイッスラ波の下部電離層透過係数	70
2-5-2 高緯度における下降ホイッスラ波、電離層 透過特性	72
2-5-3 中緯度における下降ホイッスラ波、 電離層透過および透過	81
2-6 結論	98
参考文献	100
第3章 ホイッスラ波、磁気圏内伝播	
3-1 まえがき	104
3-2 線形光学論的取り扱い	107

3-3 中、低緯度ホイッスラのダクト伝はん	
3-3-1 ダクト伝はんを示唆する地上観測結果	111
3-3-2 ロケットによる波面法線方向の測定	126
3-3-3 ホイッスラ分散から求めたダクトの特性	137
3-4 起低緯度ホイッスラのダクト伝はん	143
3-5 低緯度ホイッスラの非ダクト伝はん	147
3-6 結論	155
参考文献	157

第4章 ホイッスラ波と用いた磁気圏の探査

4-1 まえがき	160
4-2 一太陽年周期における中緯度ホイッスラの特性	162
4-3 磁気擾乱時のホイッスラ伝はん特性	178
4-4 結論	195
参考文献	197

第5章 むすび

200

謝辞

204

第1章 序論

1-1 ホイッスラの歴史

ホイッスラが人々に知られるようになったのは、かなり古い昔からで、長距離の電話線に奇妙な雑音が混入したり、オーロラのときホイッスラやVLF放射と思われるようなもの以前からありました。しかし科学的な調査がはじまつたのは第一次世界大戦の時に軍用電話の盗聴を試みた連中が“ピュー”という口笛に似た不思議な電波に悩まされたことからで、Barkhausen(1919)¹⁾が研究をはじめた。Barkhausenはこの電波は機械から出るものではなく、外来雑音であることを明らかにするとともに、口笛に似て“3からホイッスラ(whistlers)”と名付けた。その後ホイッスラの研究は Eckersley(1925,26)²⁾および Burton and Boardman(1933)³⁾によって進展した。特に Eckersleyは、ホイッスラが電気的インパルスの電離層集中の分散によるものであることを初めて示唆した。ところが第二次世界大戦の頃、ホイッスラの研究は一時中断された。

ホイッスラの問題が再び研究者に注目をあびるようになつたのは、1953年のStorey⁴⁾の論文に端を発している。彼はEckersleyの研究をさらに発展させ、ホイッスラが雷放電から出る低周波電波(VLF帯($3\text{kHz} \sim 30\text{kHz}$)とELF帯($\sim 100\text{Hz} \sim 3\text{kHz}$)と意味する)が磁気圏プラズマ中に伝播する際に分散を受けたものであることを明らかにし、この分散から超高層電子密度の情報を得ることができることを示唆した。さらに観測から、反対半球に源をおく通常のショートホイッスラ(short whistlers)ばかりではなく、受信側の半球の雷放電の源をおくロングホイッスラ(long whistlers)が存在することも明らかにした(表1-1参照)。電離層から外側に広がる空間を何とかして探測しようと考へていた人々はたちには、ホイッスラの重要性を認め、磁気緯度 40° から 50° の高緯度帯で観測が盛んに行なわれた。⁵⁻¹⁰⁾

このようなホイッスラ観測から VLF 放射 (VLF emissions) と呼ばれる興味ある現象が発見され、¹¹⁻¹⁴⁾ 1953 と報告された。

Storey (1955)¹⁵⁾ は彼の理論を実証すべく、低緯度においてもホイッスラ受信と言試みたが、ホイッスラを見出すことできなかつた。それ以来、40° 以下の低緯度ではホイッスラは観測できな¹⁶⁾と一般に考えられてきた。ところが 1956 年 Iwai and Ootsu¹⁶⁾ は磁気緯度 24° の豊川においてホイッスラ受信に成功し、しかも低緯度ホイッスラが高緯度のものにくらべ種々異なる性質を有するところ、海外の研究者の注目を集めるとこ¹⁷⁾となつた。これがきっかけとなつて、1957 年から 1958 年にかけた国際地球観測年 (International Geophysical Year, IGY) 期間中には低緯度から高緯度まで世界的規模でホイッスラ、VLF 放射の観測が行なわれ、多くの成果が収められた。特に、磁気圏電子密度分布を明らかにするに大きな貢献をした。

1963~64 年頃から、地上観測に加え、ロケットや人工衛星等、飛翔体による観測が行なわれ始めた。¹⁷⁻²⁰⁾ これら観測により、地上観測では得られない、新しい現象が多数発見された。イオンホイッスラ (ion whistlers)²¹⁻²⁴⁾ はイオンの急成長ヒビに関する情報と、また低部混成共鳴 (Lower Hybrid Resonance, LHR)¹⁸⁾ は実効イオン質量の情報と我々に提供した。これらは特筆すべき一例と挙げたにすぎない。さらに飛翔体観測の副産物として、磁気圏・電離層内におけるプラズマ波 (plasma waves, electrostatic waves)^{25, 26)} の発見という輝かしい成果も収められた。

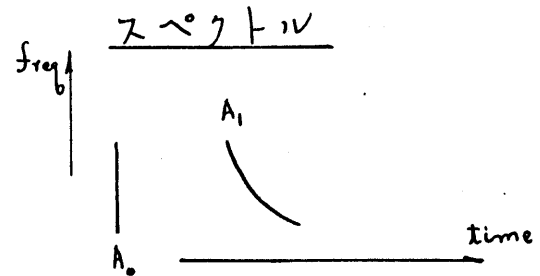
以上のことより、ホイッスラ、VLF 放射は磁気圏探査の有力な手段としてますますその重要性を増しつつあり、1976 年から 1978 年にかけた国際磁気圏研究 (International Magnetospheric Studies, IMS) における一段の成果が期待され¹⁹⁾いる。

表1-1 ホイッスラのいろい

ホイッスラの型と定義

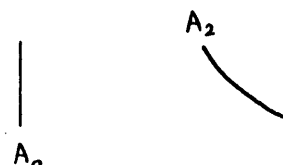
I ショートホイッスラ (short whistler or one-hop whistler)

磁気圏内を一回伝はんしてきた
ホイッスラ



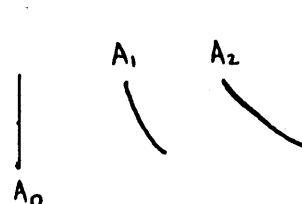
II ロングホイッスラ (long whistler or two-hop whistler)

磁気圏内を二回伝はんしてきた、
いいえれば磁気圏内を一往復
したホイッスラ



III ハイブリッドホイッスラ (Hybrid whistler)

同一の源から出たショートホイッスラと
ロングホイッスラとの組合せ



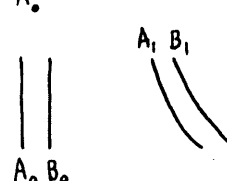
IV エコートレインホイッスラ (Echo-train whistler)

ショートホイッスラのエコー



V マルチフラッシュホイッスラ (Multi-flash whistler)

源の多点落雷に伴うショートホイッスラの
一群



VI ノーズホイッスラ (Nose whistler)

スペクトルが人間の鼻の形をして
ホイッスラ



VII 密離層ホイッスラ (Ionospheric whistler or short fractional-hop whistler)

密離層分數だけを受けたホイッスラ



1-2 ホイッスラにに関する従来の研究経過

ホイッスラ波は磁化プラズマ中の「伝^{4,5)}いんモード」²⁾、その特徴としておもむね地球磁場に沿って伝^{いん}する事が知られる。この誘導交か界を magneto-ionic ducting と呼んでいる。ところが、この誘導効果だけと考慮に入れたホイッスラ波の磁気圏内の伝^{いん}路に関するその後の理論的研究²⁷⁾によると、ホイッスラ波は一般的に、地球の磁力線からかなりはずれて伝わることから明らかになつた（図1-1参照）。しかし、この伝^{いん}様式ではエネルギーの散逸が著しいことや、地上でしばしば観測されるエコートレインホイッスラ（echo-train whistlers）の分散比を説明できないことなどから、Smith(1961)²⁸⁾は地上で観測されたホイッスラを説明するには、磁気圏内に磁力線に沿って電子密度が周囲よりも濃くなつた管状の領域がホイッスラに対してダクト²⁹⁾として作用するという考えをはじめ提唱した。さらにホイッスラ波を捕捉するには必要なダクト²⁹⁾の電子密度の周囲よりの増加率（enhancement factor といふ）が高さ度によつていかに変化するかと示した。彼の計算によると、磁気高さ度40°～50°の高さ度では数%程度の enhancement factor のダクト²⁹⁾がホイッスラ波を捕捉することができる。このようなダクト²⁹⁾に捕捉されたホイッスラ波の伝^{いん}をダクト²⁹⁾伝^{いん}（ducted propagation）と呼び、これに対し前述したダクト²⁹⁾に捕捉されず magneto-ionic ducting だけを考慮した伝^{いん}を非ダクト²⁹⁾伝^{いん}（non-ducted propagation）と呼んでいる。ダクト²⁹⁾伝^{いん}および非ダクト²⁹⁾伝^{いん}するホイッスラの実際の磁気圏電子密度分布²⁹⁾の伝^{いん}路が図1-1に示してある。Smith の理論が発表されて以来、地上で受信されるホイッスラはダクト²⁹⁾伝^{いん}によるものと考えられ、磁気圏プラズマの有力な探査手段として使用されてきた。しかしダクト²⁹⁾の存在を完全に実証するような観測結果は長らく得られていない、たゞダクト²⁹⁾の形成には磁気圏プラズマと粒子との相互作用や、電離層と磁気圏との相互作用が

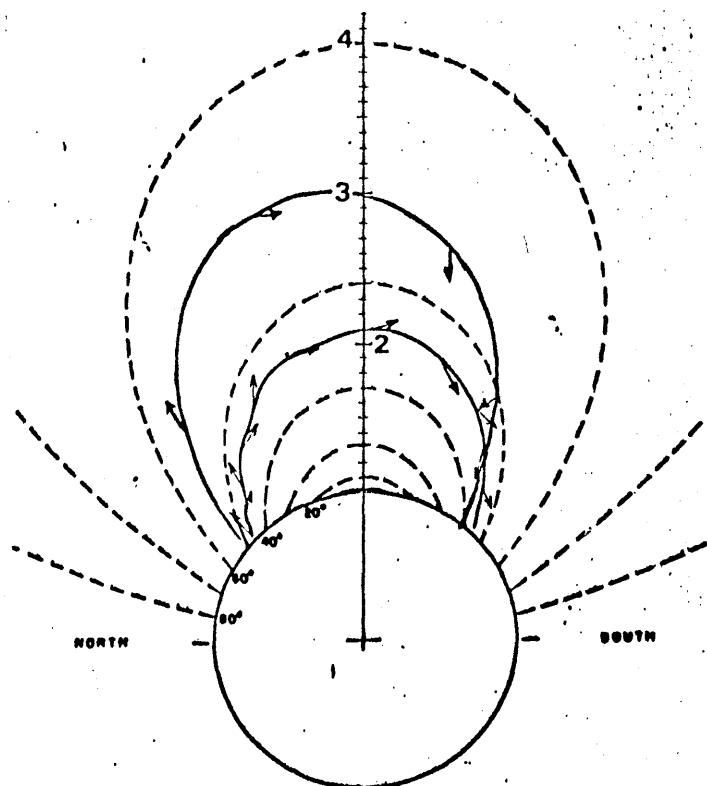


図1-1 ダクト伝はんおよび非ダクト伝はんホイップラの伝はん路。磁気緯度 50° から出発するホイップラは非ダクト伝はんモードであり、磁気緯度 45° から出発するホイップラは 20% の enhancement factor のダクトは捕獲され \sim る。いずれの場合も初期波面法線方向は鉛直上方として \sim る。周波数は 10 kHz で、伝はん路上の矢印は波面法線方向を示す。破線は地球磁力線を表わす。

実としていると考えられ、興味深い問題である。最近 Angerami (1970) は、衛星観測結果中に Smith の理論的予測と一致するよう、新しい種類の一群のホイップラを見い出し、ダクトの直接的検証を得た。さらに理論的考察を加味して、ダクトの enhancement factor、スケールやダクトの陽等ダクトの特性がはじめて明らかにした。この Angerami の研究はダクト伝はんにおける特筆すべきものである。ところが高緯度におけるこの研究以外には、ダクトの存在の直接的検証やダクトの性質に関する研究は遅れ \sim る。特に低緯度では、感度が強い。ダクトに関する研究は磁気圏探査の基礎として重要である。

飛翔体観測、発展に伴い、飛翔体にはダクト伝はんモードのホイップラ波ばかりではなく、非ダクト伝はんモードのホイップラが多発見されて \sim る。これらの非ダクト伝はんにはイオンの存在も重要な役割を果たしている。Smith and

Angerami(1968)³⁰⁾ は、非ダクトホイストの典型的な一例として磁気圏反射ホイストを発見し、その伝播特性を利用して磁気圏電子密度を推定することを試みた。また Scarabucci(1969)³¹⁾ はホイスト波、磁気圏非ダクト伝播と論ずる際には、電子密度の緯度変化が重要な因子であることを指摘している。このような電子密度の緯度変化は新しい種類のホイストでありその後受信され³²⁾いる。すなわち Walter(1969) が発表した Walking trace whistlers や, Kimura(1971)³³⁾が見い出した whistler striation 現象もこの例である。非ダクト伝播には磁気圏内伝播が複雑であるが、これはいかえれば磁気圏電子密度の豊富な情報を提供してくれるところである。このため非ダクト伝播のホイストを利用した磁気圏探査は今後盛んに行なわれるようになる。

ダクト伝播にせよ、非ダクト伝播にせよ、磁気圏内を伝播してきたホイストは再び電離層に遭遇する。この下降ホイスト波、電離層内反射および透過問題は地上データのみならず、衛星データと解釈する際にもきわめて重要であるものの、十分に理解されていない。Storey(1953)⁴⁾ は彼の論文の中で、簡単に下降ホイスト波、反射は地表面で起つと述べている。その後 Helliwell(1965)⁵⁾ はこの問題を幾分詳しく論じ、下部電離層が反射レベルだとしている。一方 Cartwright(1964)³⁴⁾ はロケット観測により、地上では受信されなくても電離層内には多数のホイストが存在することを示したが、反射機構は言及していない。最近 Laaspere(1966)³⁵⁾ はエコートレインホイスト間の強度比較を行ない、各々の差が数dB程度であるから、反射レベルは吸收の強い下部電離層よりも高高度であることを実験的に明らかにした。下降ホイスト波、電離層内反射および透過問題は、Helliwell の指摘⁵⁾のように、最大電子密度の F_2 領域における波面法線方向の透過円錐の内にありかたり、二つの場合に分け議論が必要である。透過円錐

とし光^ひるにおける全反射 (total reflection)。臨界角に相当するものである。Storey, Cartwright, Laaspere の論文はすべて波面法線方向が透過円錐といふことを意味するが、これは触れていない。波面法線方向が透過円錐内にある場合にはつづいて、Pitteway (1966)³⁶⁾ が理論的に波動論と用いて下部電離層透過係数を求めているが、反射レベルについては述べてない。以上のことを参考して、下降ホイッグ波の電離層透過問題は総合的な議論が待たれるべき現状である。

ホイッグ波の磁気圏内における強度やスペクトルを決定するには、電離層透過係数である。この問題は低周波電波に対する電離層反射係数を求めるところから始まり、古くからよく研究されつつある (Budden, 1961 : Wait, 1962³⁷⁾) が、現在も異方性のため不均一な電離層中、電波伝播³⁸⁾に関する理論的研究が続けられている。しかし従来、電離層反射係数導出においては、入射波は直線偏波と仮定しているが、磁化された電離層内の伝播³⁹⁾は左回りまたは右回り偏波といい、取り扱いの方がより現実的である。この点を考慮して、Pitteway (1966)³⁶⁾ は不均一な磁化された電離層に対する、マックスウェルの方程式の新しい数値解法を開発した。しかし、今後、ホイッグ波の磁気圏内伝播⁴⁰⁾の詳しい研究はおこなわれ、これまでの電離層に対する、伝播特性と言葉の理論的考察における必要がある。理論的研究に比し、下部電離層中のホイッグ波の伝播⁴¹⁾に関する実験的研究はきわめて遅れおり、実験的仕事は皆無といえるのが実情である。

最後にホイッグによる磁気圏探測の従来の研究のあらましを述べる。ホイッグは磁気圏探査の有力な手段として、重要な役割を果たしている。ホイッグの最も大切な情報は磁気圏電子密度である。ホイッグの分散は伝播路の頂点附近の電子密度によって決定されるおり、分

散を用いて云はん路。頂点における密度と知ることはできる(Helliwell, 1965)⁵⁾。ところがある観測莫が受信され、ホイッスラの下降度³⁹⁾がよくわからぬという欠点がある。下降度⁴⁰⁾の情報と連んでくるノーズホイッスラ(nose whistlers)が発見され、磁気圏電子密度分布⁴¹⁾は精度よく求められるようになつた(Smith, 1960, 1961)⁴²⁾。現在もノーズホイッスラによる磁気圏研究は盛んに高緯度⁴³⁾帯⁴⁴⁾で行なわれてゐる(Corcuff, 1965: Bouriot et al., 1967: Carpenter, 1970)。

その後ノーズホイッスラの変種としてのニーウホイッスラ(knee whistlers)がCarpenter (1963)⁴⁵⁾で発見され、これはプラズマ圏境界(plasma-pause)の存在とはじめ明らかになつた。これは地球物理学上の貴重な成果で、プラズマ圏境界の位置や運動⁴⁶⁾研究がホイッスラによつて進められてゐる。一方日本のような低緯度帶では、ノーズホイッスラはさわめて稀にしか受信されず(Ohtsu and Iwai, 1967), ことに高緯度に比し幾多の困難な問題莫が存在するため、中、低緯度における密度分布を決定する仕事は遅れていふ。ところがれば、中、低緯度ホイッスラは、今問題となつて電離層と下部磁気圏との相互作用の研究に対する十分な貢献が期待される。

磁気圏電子密度の議論は盛んに進められてゐるが、磁気圏電子密度の太陽活動との関係といつては長期間特性や磁気擾乱時の磁気圏の振舞いは十分に調べられてゐる。磁気圏プラズマの太陽活動との関係は電離層と磁気圏との相互作用との関係でさわめて重要な問題である。高緯度では Bouriot et al. (1967)⁴⁷⁾によって電子密度の太陽年変化を詳しく述べた結果が発表されてゐる。しかしこの問題は高緯度から低緯度までの統合的な考察が必要で、低緯度ホイッスラによる内部磁気圏電子密度の太陽年変化の研究が待たれてゐる。次に磁気嵐の際のホイッスラ生産性は、磁気擾乱に伴う磁気圏の動的変化と知られていふ。磁気擾乱の効果は中、低緯度におけるより顕著な現象で

であることが知られている(Outsu and Iwai, 1962; Allcock, 1966) ⁴⁶⁾, ⁴⁷⁾, ⁴⁸⁾ 十分には解明されていない。磁気擾乱時の変化として、磁気圏電子密度の変化、夕焼けの形成等の問題を挙げることはできる。一方高緯度では磁気嵐時の振舞よりも、磁気圏尾部(magnetospheric tail)から極地域へ荷電粒子の降下問題がホイストラとはじめとする波動現象を利用して議論されている(Akasofu, 1968)。

最後に本論文の舞台となる電離層および磁気圏の標準的な電子密度分布を図1-2に示す。電離層は一般にD層, E層およびF層から成り, F₂層の最大電子密度は大体 10^6 cm^{-3} と考えられ, したがって電子 plasma

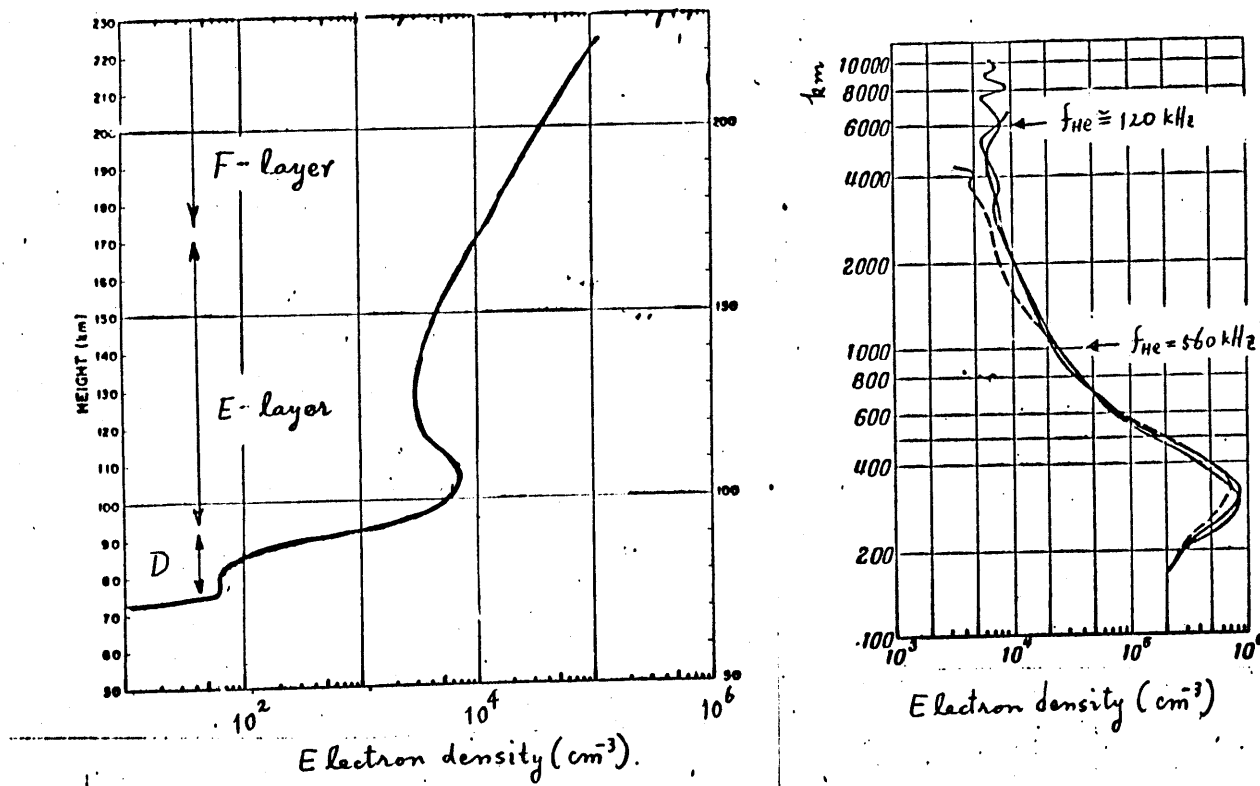


図1-2 電離層・磁気圏の標準的電子密度分布 ^{49), 50)}

周波数に換算すると 9 MHz 程度になる。また電子ジャイロ周波数は電離層領域では 1 MHz よりもいくぶん低いと考えればよい。次に磁気圏領域。電子密度は地上高 1000 km で 10^4 cm^{-3} のオーダの値を示し、それ以後は仰るやうに減少する。各領域でのプラズマの特性周波数が表1-2にまとめある。これらは問題に対する周波数 f は $f \ll f_{\text{He}} < f_{\text{pe}}$ の関係にあることか理解される。たゞし f_{He} , f_{pe} はそれぞれ電子ジャイロ周波数および電子プラズマ周波数を表す。

表1-2 電離層・磁気圏 プラズマの特性周波数

	電子密度 (cm^{-3})	電子プラズマ周波数	電子ジャイロ周波数
電離層プラズマ (F_2 層)	$\sim 10^6$	$\sim 9 \text{ MHz}$	$\sim 870 \text{ kHz}$
磁気圏プラズマ (地上高 1000 km)	$\sim 2 \times 10^4$	$\sim 1.3 \text{ MHz}$	$\sim 560 \text{ kHz}$
" (地上高 6000 km)	$\sim 8 \times 10^3$	$\sim 800 \text{ kHz}$	$\sim 120 \text{ kHz}$
実験室プラズマ	$10^8 \sim 10^{13}$	$90 \text{ MHz} \sim 28 \text{ GHz}$	

1-3 本研究の概要とその意義

1-2節での従来の研究経過をふまえ、本論文の概要について述べる。本論文はホイッスル波の磁気圏・電離層アラスマ中における特性を総合的に論じたものである。第2章では雷放電や地上のVLF局から生ずる低周波電波あるいは機構でホイッスル波との電離層へ透過するかという問題と、磁気圏内を伝はんしきい下降ホイッスル波の電離層反射および透過問題と論ずる。続いて本研究の最も重要な第3章では、磁気圏内のホイッスル波の伝はん特性を考察する。最後の第4章では、ホイッスル波を用いた磁気圏の探査につれての結果を述べる。以下次の順に従って本論文の意義を簡単に述べる。

- (a) 低周波電波の電離層への透過(第2章)
- (b) ホイッスル波の磁気圏内伝はん(第3章)
- (c) 下降ホイッスル波の電離層透過および反射(第2章)
- (d) ホイッスル波による磁気圏の探査(第4章)

(a) 低周波電波・電離層への透過

この問題は低周波電波・電離層反射係数を求める上に帰着し、古くから理論的ばかり研究されてゐる(Budden, 1961; Wait, 1962)^{37), 38)}ことは述べたが、さらに種々の条件下の電離層透過特性を理解する上において是非必要である。

第2章の2-3-1節ではまず高緯度におけるホイッスル波の電離層中の伝はんを論じてゐる。現実の下部電離層の電子密度分布のよき近似として双直線電子密度分布に対する解析解と導かれ、ホイッスル波の反射係数の周波数特性や電子密度勾配がきわめて重要な働きをしていることや、波の干涉効果の周波数特性が現われることなどが明らかになつた(Hayakawa and Ohtsu, 1972, 1973)³⁹⁾。

赤道帯における VLF, ELF 波の電離層伝播特性は、従来全く議論されなかったが、1968, 1970, 2-3-2 計画の問題とはじめ取り扱った。赤道伝播⁵¹⁾は、下部電離層電子密度として直線モデルを考え、VLF, ELF 波の電離層透過程数の解析的⁵²⁾を求められ、種々のパラメータを変化させることにより、VLF, ELF 波の赤道伝播と詳しく述べた。その結果、トンネル効果⁵³⁾よりのエネルギーが電離層を透過するに沿って、最大透過の起⁵⁴⁾周波数が 1 kHz 前後であることがはじめ明らかにされた (Hayakawa and Ohtsu, 1973)。

つきに中緯度帯では解析解を得ることはできなかつて、本論文では Pitteway³⁶⁾と同様の方法を用いて、ホイッグ波の電離層透過程度変化、周波数特性を昼夜の電離層モデルにまつて明らかにした。また VLF 周波数送信電波の衛星観測による磁気圏探測は今後盛んに行なわれる情勢にあるが、実際に重要なことを考えられたホイッグの電離層透過程度の方位角依存性についても考察した。

これらの理論的研究に加え、下部電離層中のホイッグ波の伝播⁵⁵⁾に関する実験結果の報告⁵⁶⁾ (Hayakawa et al., 1973) がある。ロケット観測ではホイッグの諸特性が理論と対照され、磁気緯度 20° 前後の E 領域でも Θ_L 近似が成立するといや、ホイッグの捕捉は下部電離層内部に起つ、といふなどと明らかにした。

以上により不均質で異方性な電離層中のホイッグ伝播特性を高緯度から低緯度までほぼ完全に理論的に明らかにしたのみならず、実験的にも論じた。これらの研究は超高層大気を舞台とする電磁波の伝播現象を対象としており、電波工学の基礎としてきわめて大切なものである。

(b) ホイッスラ波の磁気圏内伝播

ホイッスラ波の磁気圏内伝播にはダクト伝播と非ダクト伝播²⁸⁾とかいふ。ダクト伝播の考えはSmith(1961)²⁸⁾によ、2提唱されたが、ダクトの存在の直接的検証は極く最近のAngerami(1970)²⁹⁾の高緯度における衛星観測以外にはないことはさて述べた。

本論文では中、低緯度ホイッスラダクトの存在およびその特性をはじめ明らかにした。また空電研究所の三観測所による同時観測が得られた中、低緯度ホイッスラダクトの存在を強く暗示するデータを示す。これに対する理論的考察より、これらの結果はホイッスラダクトの存在によつて説明しえると³⁰⁾明らかにした(Hayakawa, 1973 : Hayakawa and Otsu, 1973)。このようすは直接的検証をさへしてはっきりさせたため、電離層内におけるホイッスラ波の波面法線方向の測定を計画し、その実験に成功した。その結果、低緯度の日没時のホイッスラダクトに捕捉され³¹⁾正確な測定が可能かめられた。かゝるショットホイッスラの電離層内の波面法線方向の測定は世界でもはじめて³²⁾その意義は大きい(Iwai and Hayakawa, 1974)。

以上のダクトの検証をふまえ、地上観測のホイッスラの分散を、衛星による磁気圏電子密度分布と比較するとともに、低緯度ホイッスラダクトの enhancement factor やダクト間隔等の特性を調べた。その結果、日没時のホイッスラダクトは 100% 以上の enhancement factor をもち、低緯度特有の電子密度の赤道異常(equatorial anomaly)との関連性をはじめ指摘している。また夜間の低緯度ダクトにせんぜい 10% 程度の enhancement factor³³⁾をもつダクトによる捕捉機構を考察した(Hayakawa and Tanaka, 1973)。³⁴⁾また、20°以下の起低緯度帯におけるエコートレインホイッスラやハイブリッドホイッスラの説明といふ、HF ダクトによるホイッスラの捕捉の可能性³⁵⁾をはじめ示唆した(Hayakawa and Tanaka, 1973)。

以上の中、低緯度木イッスラダクトの総合的研究は磁気圏内の
木イッスラ波のダクト伝ばんの研究において貴重な成果と考えられる。

磁気圏内ではダクト伝ばんばかりではなく、非ダクト伝ばん¹⁼⁸³新しータイプのホイッスラが種々発見され、その伝ばん特性から磁気圏電子密度に関する情報が得られ⁵⁸⁾いる (Smith and Angerami, 1970)。本論文では、低緯度下部磁気圏中の非ダクト伝ばん¹⁼⁸³と考えられる分散の大ないホイッスラの観測結果を報告する。これらのホイッスラは磁気圏内を一往復したものであることが明らかとなつたが、このような two-hop の非ダクト伝ばんのホイッスラは稀な例である。さらに観測された分散特性から、低緯度の非ダクト伝ばんには電子密度の赤道異常¹⁼⁸³緯度効果が重要な因子であることをわかつた (Hayakawa, 1974⁵⁹⁾)

磁気圏プラズマ中のホイッスラ波は異方性プラズマ中、電波伝ばん現象の顯著なもので、電波工学の基礎として重要である。また宇宙通信の舞台となる磁気圏の性質を理解しえるに宇宙空間開拓上も大切なことである。

(c) 下降ホイッスラ波、電離層透過および反射特性

この問題は1-2節でも述べたように一番遅れて¹⁼⁸³る分野である。本論文はこの問題を詳細に検討している。実験的には、トケットによる波面法線方向の測定^{1=83, 2}、透過円錐の概念を明確なものとした (Iwai and Hayakawa, 1974⁵⁵⁾)。理論的にも詳しく述べた。まず下降ホイッスラ波の波面法線方向が透過円錐外にある場合の下降ホイッスラ波の電離層内反射高度をスネルの法則を用いて検討し、入射波面法線方向により反射レベルが著しく変化することを判明した (Hayakawa and Okada, 1974⁶⁰⁾)。次に、波面法線方向が透過円錐内に入ると、媒質の不均質による反射が主役をなし、波動論的考察が必要となる。最初、地表の存在を考慮して

時の下降ホイストラ波の透過係数を評価した。その結果、かなりのホイストラ波の透過が起こり得ることから、地表からの波の反射の重要性が示唆された。この点を高緯度伝播に対する吟味し、高緯度では下降ホイストラ波の地表からの反射は本質的なものであることが明らかとなつた (Hayakawa and Otsu, 1972)。⁶¹⁾ さらに高緯度での取り扱いを任意の磁気緯度の場合に拡張し、地表反射、下降ホイストラ波の反射係数に及ぼす影響、緯度変化を論じた (Hayakawa, 1974)⁶²⁾)。

(d) ホイストラ波による磁気圏の探査

前節のあらましでも述べた研究、遅れて、磁気圏電子密度の長期的変化と磁気擾乱時の磁気圏の動的特性を本論文では論じる。北海道における 1958 年から 1968 年までの一太陽年周期におけるホイストラの分散および発生数の特性を報告する (Hayakawa et al., 1969)⁶³⁾。分散の季節変化の解析から、内部磁気圏電子密度は外部磁気圏電子密度とはその変動には顕著な差があることを見出している (Hayakawa and Otsu, 1972)⁶⁴⁾。高緯度から低緯度までの磁気圏電子密度の振舞、総合的研究は今後興味ある問題である。

磁気嵐の磁気圏への影響は中、低緯度ホイストラに顕著な変化と現われるといふ知られてる (Otsu and Iwai, 1962 : Allcock, 1966)^{46), 47)}。本論文ではまず Otsu and Iwai (1962) の仕事をさらに多くの磁気嵐の場合に発展させ、中緯度では分散の減少と発生数の上昇が磁気嵐の二日後位に起ると確めた (Hayakawa et al., 1969)⁶⁵⁾。しかも発生数の上昇はホイストラタクトの生成⁶⁶⁾、2¹¹³ = と明かにするとともに、磁気嵐時のタクトの特性の変化 (Tanaka and Hayakawa, 1973) および電離層中の不規則性 (Spread-F irregularities)⁶⁷⁾との関連性をはじめて検討した (Tanaka and Hayakawa, 1973)。

これらの磁気圏探査は宇宙空間開発上さわめて大切なものである。

参考文献

- (1) Barkhausen,H. : Zwei mit Hilfe der neuen Verstarker entdeckte Erscheinungen, Physik Z., 20, 401(1919).
- (2) Eckersley,T.L. : Note on musical atmospheric disturbances, Phil.Trans. 49,1250 (1925), Electrical constitution of the upper atmosphere, Nature 117 (2954), 821(1926).
- (3) Burton,E.T. and Boardman,E.M. : Audio-frequency atmospherics, Proc.IRE 21,1476 (1933).
- (4) Storey,L.R.O. : An investigation of whistling atmospherics, Phil.Trans.Roy.Soc. A246, 113(1953).
- (5) Helliwell,R.A.: Low-frequency propagation studies:Part I Whistlers and related ionospheric phenomena,Final Rep.Air Force Contract No.AF 19(60-4)-795 AFCRC-TR-p.56(1956). ;Whistlers and related ionospheric phenomena, Stanford Univ.Press(1965).
- (6) Morgan,M.G. and Allcock,G.McK. : Observations of whistling atmospherics at geomagnetically conjugate points, Nature 177(4497), 30(1956).
- (7) Laaspere,T.,Morgan,M.G. and Johnson,W.C. : Some results of five years of whistler observations from Labrador to Antarctica, Proc.IEEE 51,554(1963).
- (8) Rivault,R. : Atmospherics, Onde Elect. 33, 165(1953).
- (9) Allcock,G.McK. : IGY whistler results, URSI 13th Gen.Assembly, Comm.4, Doc.AG 60/4/9(1960).
- (10) Ellis,G.R.A. : On the propagation of whistling atmospherics, J.Atmosph.Terr. Phys. 8,338(1956).
- (11) Morgan,M.G. : Whistlers and dawn chorus, Ann.IGY 1957-58, 3, 315(1957).
- (12) Helliwell,R.A.: Whistlers and VLF emissions, Geophys. and the IGY (Geophys. Monograph no2) AGU Wash.DC (1958).
- (13) Ellis,G.R.A. : Low frequency radio emissions from aurorae, J.Atmosph.Terr.Phys. 10,302(1957).
- (14) Gallet,R.M. : The very low frequency emissions generated in the earth's exosphere, Proc.IRE 47,211(1959).
- (15) Koster,J.R. and Storey,L.R.O. : An attempt to observe whistling atmospherics near the geomagnetic equator, Nature 175(4444), 36(1955).
- (16) Iwai,A. and Otsu,J. : On an investigation of whistling atmospherics in Japan, Proc.Res.Inst.Atmosph. Nagoya Univ. 5,50(1956).
- (17) Gurnett,D.A. and O'Brien,B.J. : High-latitude geophysical studies with satellite Injun 3, Part 5, Very-low-frequency electromagnetic radiation, J.Geophys.Res. 69, 65(1964).
- (18) Barrington,R.E. and Belrose,J.S. : Preliminary results from Canada's Alouette satellite, Nature 198,651(1963).

- (19) Cartwright,D.G. : Rocket observations of very low frequency radio noise at night, Planet.Space Sci. 12, 11(1964).
- (20) Ficklin,B.P. et al. :Description and operation of the instruments for the Stanford University/Stanford Research Institute Experiment to be flown on the POGO satellite, Tech. Memo. No.2, Stanford Res.Inst.,Menlo Park,Calf.(1965).
- (21) Gurnett,D.A.,Shawhan,S.D.,Brice,N.M. and Smith,R.L. : Ion cyclotron whistlers, J.Geophys.Res. 70, 1655(1965).
- (22) Gurnett,D.A. and Shawhan,S.D. : Determination of hydrogen ion concentration, electron density, and proton gyrofrequency from the dispersion of proton whistlers, J.Geophys.Res. 71,741(1966).
- (23) Gurnett,D.A. and Brice,N.M. : Ion temperature in the ionosphere obtained from cyclotron damping of proton whistlers, J.Geophys.Res. 71,3639(1966).
- (24) Smith,R.L. and Brice,N.M.: Propagation in multicomponent plasma, J.Geophys.Res. 69, 5o29(1964).
- (25) Scarf,F.L.,Crook,G.M. and Fredricks,R.W. : Preliminary report on detection of electrostatic ion waves in the magnetosphere, J.Geophys.Res. 70, 3045(1965).
- (26) Iwai,A.,Ohtsu,J. and Tanaka,Y. : The observation of ELF-VLF radio noise with sounding rockets L-3-2,K-9M-6, Proc.Res.Inst.Atmosph. Nagoya Univ. 13,1(1966).
- (27) Yabroff,I.W. : Computations of whistler ray paths, J.Res.Natn.Bur.Stand. 65D, 1061(1961).
- (28) Smith,R.L. : Propagation characteristics of whistlers trapped in field-aligned columns of enhanced ionization, J,Geophys.Res. 66,3699(1961).
- (29) Angerami,J.J. :Whistler duct properties deduced from VLF observations made with the OGO 3 satellite near the equator, J.Geophys.Res. 75,6115(1970).
- (30) Smith,R.A. and Angerami,J.J. : Magnetospheric properties deduced from OGO-I observations of ducted and non-ducted whistlers, J.Geophys.Res. 73,1 (1968).
- (31) Scarabucci,R.R. : Interpretation of VLF signals observed on the OGO-4 satellite, Tech.Rep. No.3418-2, Stanford Univ.(1969).
- (32) Walter,F. : Non-ducted VLF propagation in the magnetosphere, Tech.Rep. No.3418-1,Stanford Univ. (1969).
- (33) Kimura,I. : Drifting whistler cutoff phenomena-striations-observed by POGO satellites, Space Res. 11,1331(1972).
- (34) Cartwright,D.G.: Rocket observations of very low frequency radio noise at night, Planet.Space Sci. 12,11(1964).

- (35) Laaspere,T.,Johnson,W.C. and Walkup,J.F. : Study of the phenomena of whistler echoes, J.Res.Natn.Bur.Stand. 69D, 407(1966).
- (36) Pitteway,M.L.V. and Jespersen,J.L. : A numerical study of the excitation, internal reflection and limiting polarization of whistler waves in the lower ionosphere, J.Atmosph.Terr.Phys. 28,17(1966).
- (37) Budden,K.G.: Radio waves in the ionosphere, Cambridge Univ.Press(1961).
- (38) Wait,J.R. : Electromagnetic wave propagation in stratified media, Pergamon Press(1962).
- (39) Smith,R.L. : The use of nose whistlers in the study of the outer ionosphere, Tech.Rep. No.6 Stanford Univ(1960).
- (40) Smith,R.L. : Properties of the outer ionosphere deduced from nose whistlers, J.Geophys.Res. 66,3709(1961).
- (41) Corcuff,Y. : Etude de la magnétosphère au moyen des sifflements radioélectriques, Ph.D. (1965).
- (42) Bourriot,M.,Tixier,M. and Corcuff,Y. : Etude de l'ionisation magnétosphérique entre 1,9 et 2,6 rayons géocentriques au moyen des sifflements radioélectriques reçus à Poitiers au cours d'un cycle solaire, Ann.Géophys. 23,527(1967).
- (43) Carpenter,D.L. : Remarks on the ground-based whistler method of studying the magnetospheric thermal plasma, Ann.Géophys. 26,363(1970).
- (44) Carpenter,D.L. : Whistler evidence of a "knee" in the magnetospheric ionisation density profile, J.Geophys.Res. 26,363(1963).
- (45) Ohtsu,J. and Iwai,A. : Low-latitude nose whistlers, Proc.Res.Inst.Atmosph. Nagoya Univ. 14,15(1967).
- (46) Otsu,j. and Iwai,A. : VLF phenomena in the lower latitudes during magnetically high active periods, J.Phys.Soc. Japan 17,Suppl.A-2,88(1962).
- (47) Allcock,G.McK. : Whistler propagation and geomagnetic activity, I.Inst.Telem. Engrs. 12,158(1966).
- (48) Akasofu,S-I : Polar and magnetospheric substorms, Reidel Pub.Co.(1968).
- (49) Maeda,K. : Mid-latitude electron density profile as revealed by rocket experiments, J.Geomag.Geolect. 21,557(1969).
- (50) Al'pert ,Ya.L. : Radio wave propagation and the ionosphere, (1972).
- (51) Hayakawa,M. and Ohtsu,J. : On the reflection of whistler-mode waves in the model lower ionospheres, Proc.Res.Inst.Atmosph. Nagoya Univ. 19,21 (1972), Wave interference effect in whistler mode reflection coefficients for model lower ionospheres, J.Geomag.Geolect. 23,419(1971).
- (52) Hayakawa,M. and Ohtsu,J. : Tunneling transmission through the equatorial lower ionosphere of VLF and ELF electromagnetic waves, J.Atmosph.Terr.Phys. 35,851(1973).

- (53) Hayakawa,M., Ohtsu,J. and Iwai,A. : On the propagation of ionospheric whistlers at low latitude, J.Atmosph.Terr.Phys. 35, 1677(1973).
- (54) Hayakawa,M. and Ohtsu,J. : Ducted propagation of low latitude whistlers deduced from the simultaneous observations at multi-stations, J.Atmosph.Terr. Phys. 35, 1685(1973). ,
 早川：低緯度木内スラッシュ等の伝播性，信学誌，53-B, 21(1973).
- (55) Iwai,A. and Hayakawa,M. : Rocket measurement of wave normal direction of low-latitude sunset whistlers, accepted for publication in J.Geophys.Res.
- (56) Hayakawa,M. and Tanaka,Y. : Properties of low-latitude whistler ducts inferred from a comparison of ground whistler dispersion and magnetospheric electron density profile, Rep.Ionosph.Space Res.Japan 27, 213(1973).
- (57) Hayakawa,M. and Tanaka,Y. : Equatorial field-aligned irregularities deduced from low-latitude echo-train and hybrid whistlers, Pure Appl.Geophys. 111, 2336(1973).
- (58) Smith,R.L. and Angerami,J.J. : Magnetospheric properties deduced from OGO-1 observations of ducted and non-ducted whistlers, J.Geophys.Res. 73, 1(1968).
- (59) Hayakawa,M. : Non-ducted two-hop whistlers in the inner magnetosphere deduced from rocket measurement, Planet.Space Sci. 22, 638(1974).
- (60) Hayakawa,M. and Okada,T. : On the reflection level in the ionosphere of downcoming whistler waves, to be submitted to Planet.Space Sci.
- (61) Hayakawa,M. and Ohtsu,J. : Transmission and reflection of magnetospheric whistlers in the lower exosphere and ionosphere, Planet.Space Sci. 20, 1895(1972).
- (62) Hayakawa,M. : On the ionospheric reflection of downcoming whistler waves including ground effect, Pure Appl.Geophys. in press
 早川：下降木内スラッシュ波の電離層内反射構造について，信学誌，57-B, 177(1974).
- (63) Hayakawa,M. et al. : Characteristics of dispersion and occurrence rate of whistlers at low latitudes during one solar cycle, J.Geomag.Geoelct. 23, 187(1971).
- (64) Hayakawa,M. and Ohtsu,J. : Annual and semi-annual variations in the electron density of the inner magnetosphere deduced from whistler dispersion, J.Atmosph.Terr.Phys. 35, 339(1973).
- (65) Hayakawa,M. et al. : Occurrence rate and dispersion of whistlers at lower latitudes in magnetically disturbed periods, Rep.Ionosph.Space Res. Japan 23, 9(1969).

- (66) Tanaka,Y. and Hayakawa,M. : The effect of geomagnetic disturbances on duct propagation of low latitude whistlers, J.Atmosph.Terr.Phys. 35,1699 (1973).
- (67) Tanaka,Y. and Hayakawa,M. : Storm-time characteristics of low latitude whistlers, Planet.Space Sci. 21,1797(1973).

第2章 低周波電波の電離層への透過および下降ホイップラ波の 電離層内反射 および透過

2-1 まえがき

第2章の前半の主題は雷放電やVLF局から来る低周波電波のD層およびE層、如き下部電離層中の伝ばん特性を理解することである。低周波電波による電離層中のホイップラ波の発生は、異方性をもつて不均質な電離層プラズマ中の電波伝ばんの問題に帰着する。均質な異方性電離層からの電波の反射の問題は古くから多くの研究者によって扱われた。¹⁻⁵⁾ その後不均質性を考慮した数値解法に関する論文も発表された。^{6,7)} これらを取り扱いはすべて直線偏波した電波を入射させた際の反射係数、 R_{\perp} 、 R_{\parallel} 、 R_{\perp} および R_{\parallel} を求めていた。ただし R_{\parallel} はTM波を入射させた時、 R_{\perp} はTE波を入射させた時、 R_{\perp} はTM波を入射させた時、 R_{\parallel} はTE波への変換係数と表す。ところが電離層内の伝ばんでは右回りと左回りとかいう円偏波の取り扱いの方が現実的であり、これが現象との対比を明確となる。この裏に留意してPitteway and Jespersen⁸⁾は異方性、不均質なプラズマ中の電波伝ばんを扱う新しい数値解法を開発した。この方法は数値解法における不安定性などをすべて解決している注目すべきものである。

以上のことを、本章の前半、すなわち2-2節および2-3節の内容について述べる。

2-2節では、異方性をもつて不均質なプラズマ中の電波伝ばんを取扱う基本的な波動方程式が示されている。

2-3-1節では、高緯度の特殊な場合として、地球磁場が南北方向の極地帯における下部電離層中のホイップラ波の伝ばん特性と論じる。一般に異方性をもつて不均質なプラズマ中の電磁界を解析的に解いた論文は少ない。本節では下部電離層のよき近似と考えられる双直線電子密度分布

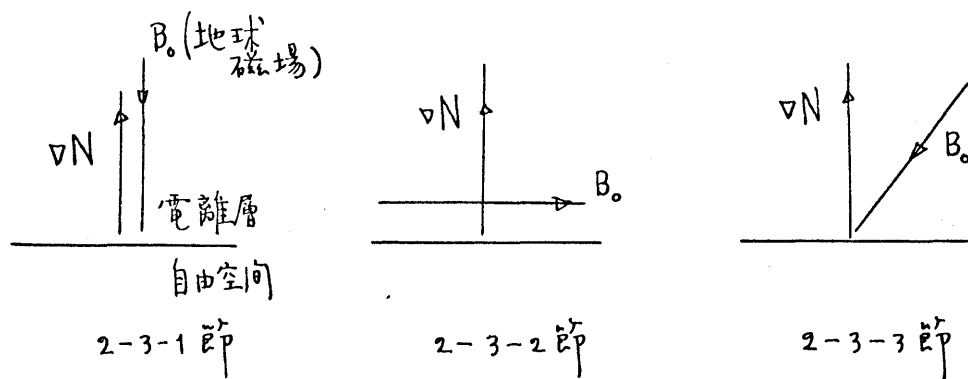
に対して、解析解を得ることでできると示す。解析解は数値解に比べ、種々のパラメータと変化させることで、物理的伝播特性と理解する上で有用である。理論計算の結果、下部電離層の電子密度の勾配がいかにVLF, ELF電波の伝ばんに本質的な働きをしているかを指摘するとともに、下部電離層中の波の干渉効果の重要性を明らかにする。⁹⁾

2-3-2節では従来全く目向けていなかつた赤道帯でのVLF, ELF電波の電離層透過問題をはじめ取り扱う。下部電離層の電子密度を直線モデルとする、波动方程式は解析的に解かれず。詳しい数値計算より、減衰領域(evanescent region)をトンネル効果¹⁰⁾、異常波が透過する¹¹⁾、その最大透過は周波数1kHz前後で起る¹²⁾ことが明らかになつた。また、この赤道帯伝播との関連性を考えられた赤道帯ELFビスの発生機構¹³⁾を論じる。

2-3-3節では、任意の磁気緯度でのホーリスラ波の透過特性を論ずる。この場合には解析解を得ることはできず、数値解法による以外にはない。本論文では前述⁸⁾のPittewayと同様の方法を用いた。Pitteway⁸⁾の論文では論じられていない重要な問題として、ホーリスラ波の透過係数の緯度変化および周波数特性を昼夜の電離層モデルに対して示した。さらにホーリスラ伝ばんにおける方位角依存性も詳しく論じる。これらは、地上のVLF送信局からの電波¹⁴⁾、¹⁵⁾磁気圏の探測を行なう際十分に理解しなくてはならない事柄である。

下部電離層中のホーリスラ伝ばんに関する実験的研究はMaynard et al.¹¹⁾の報告だけである。2-3-4節の結果はそれにつづるものである。ロケットで受信された電離層ホーリスラの分散の高度変化から、磁気緯度20°でもE領域以高ではQL近似が成立する¹⁶⁾ことや、F₂層以下ではタクト¹⁷⁾と認められないことが明らかとなる。また強度特性から、これらの電離層ホーリスラは源からある程度の距離を地表・電離層導波管中を伝ばんした後、鹿児島付近の電離層に進入したものであることがわかつ¹⁸⁾。

以上の 2-3-1, 2-3-2 および 2-3-3 節の取り扱い、1 問題、構成は次のような根元圖を理解されよう。



次に、第2章の後半の主題は下降ホイッグ波の電離層内伝播に関する問題である。この主題は第3章と切り離す議論するわけにはいかないが、前半の問題と同じく電離層中の電波伝播であることを本章で論ずる。この問題は第1章で述べたように、未解明の点が実に多く、理論的、実験的研究が望まれる。Storey(1953)¹³⁾は下降ホイッグ波の反射は地表面で起きると述べているが、その根柢は明確ではない。最近 Laaspere et al.(1966)¹⁴⁾はエコートレインホイッグ波の強度比較を行ない、反射レベルは吸收の強い下部電離層よりも高々度であると述べた。ところが下降ホイッグ波、電離層透過では、波面法線方向が鉛直といひがた角をなしていふにより著しく特性が異なるので、上述した論文を同一レベルで参考とするのも疑問である。屈折率、大きい領域から小さい領域への伝播であるので、全反射という現象が現われる。鉛直のまわりの狭い円錐内に波の波面法線方向が傾く場合には、全反射を受けず下部電離層を通過する。一方で、円錐外に波面法線方向が傾く時には、必ず全反射を受けた。この円錐を我々は透過程錐(transmission cone)と名付ける。

まず 2-4 節では、波の波面法線方向から透過円錐外にある場合について、スネルの法則を用ひ、下降ホイップラ波の反射レベルが周波数、緯度をパラメータとして、入射角にいかに依存するかを明らかにした。¹⁵⁾

次に、波面法線方向から透過円錐内にある場合(2-5 節)では、D 層より高々度で反射が起ると考えられきにか、十分な定量的な議論はなされない。まず現実的な電離層モデルに対する、地表の効果を無視した際の下降ホイップラ波の透過係数を 2-3-3 節と同様の方法で評価した。この結果、かなりのエネルギーが下部電離層を透過するに明らかになり、透過波の地表反射の重要性が指摘された(2-5-1 節)。¹⁶⁾ そこで 2-5-2 節では高緯度伝播における地表の効果を考察し、下降ホイップラ波の反射係数が 1 に近づくことわかった。このことは地表反射が高緯度では重要な因子であることを意味している。このような反射係数の算定は、ホイップラ波と粒子との相互作用における波の増幅率の評価の際にも意味がある。つまり電離層反射は VLF 放射の最大の損失機構であるからである。高緯度伝播を、さらに任意の磁気緯度の場合に拡張した方法を述べ、それと用いて地表反射の効果の緯度依存性を議論した(2-5-3 節)^{17), 18)}

最後に、この下降ホイップラ波の電離層内伝播特性は第 3 章の磁気圏内伝播特性とさわめて密接な関係にあることわかったといふことを付け加えておく。

2-2 波動論的取り扱い

異方性や不均質なプラズマ中の電波伝ばんを取り扱うのに本論文では二つの手法を用いている。すなわち、波動論(full-wave theory)と幾何光学論(ray theory)といふ。どちらの手法を用いるかは、電波の波長と媒質の不均質の特性長との関係で決まる。もし電波の波長が媒質の変化の特性長より短いならば、波動論の近似的取り扱いとして、幾何光学論が十分な理解が得られる。ところが、その反対の場合には、部分反射(partial reflection)が重要な因子となるため、波動論的考察なくして伝ばん特性を正しく理解することはできない。本論文で取り扱う低周波電波($\sim 100\text{ Hz} \sim 30\text{ kHz}$)に対しては、E領域以高ではいわゆる slowly varying の条件が満足され、幾何光学論が十分である。第3章のホイッグ波の磁気圈内伝ばん路の計算は幾何光学論によるもの。ところが下部電離層では、波動論的考察が必要である。以下ではその概念と簡単述べる。

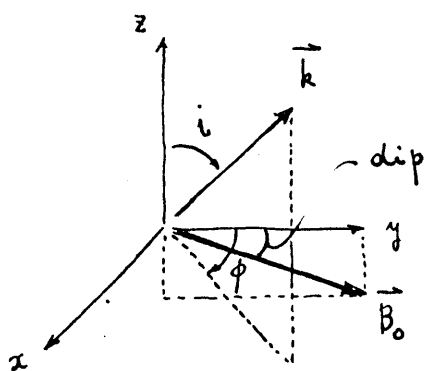


図2-1 用いた座標系

用いた座標系を図2-1に示す。電離層は水平層をなしていと仮定する。つまり電子密度、電子衝突周波数等はあくまで (z) の関数である。地球磁場は $y-z$ 面内において y の伏角を dip と名付ける。すると地球磁場の方向余弦は $(0, \gamma, \beta)$ とえられる。 $\gamma = \cos(\text{dip})$
 $\beta = \sin(\text{dip})$

$$\left. \begin{aligned} \gamma &= \cos(\text{dip}) \\ \beta &= -\sin(\text{dip}) \end{aligned} \right\} \quad (2-1)$$

である。次に入射波の波面法線方向、すなわちベクトルは y 軸と角度 i (入射角)、地磁気子平面と方位角 ϕ となつ。すると入射波

方向余弦は (l, m, n) で与えられる。ただし

$$\left. \begin{aligned} l &= \sin i \sin \phi \\ m &= \sin i \cos \phi \\ n &= \cos i \end{aligned} \right\} \quad (2-2)$$

水平に成層した電離層中の平面波の伝ばんを支配する微分方程式について述べる。電磁界は $\exp(i\omega t)$ の時間因子を仮定すると、次のマックスウェルの方程式が与えられる。

$$\left. \begin{aligned} \nabla \times \vec{E} &= -i\omega\mu_0 \vec{H} \\ \nabla \times \vec{H} &= i\omega\epsilon_0 (\tilde{\mathbf{I}} + \tilde{\mathbf{M}}) \cdot \vec{E} \end{aligned} \right\} \quad (2-3)$$

上式で $\tilde{\mathbf{I}}$ は単位テンソル、 \mathbf{M} は susceptibility テンソルのよう に与えられる。

$$\tilde{\mathbf{P}} = \epsilon_0 \tilde{\mathbf{M}} \cdot \vec{E} \quad (2-4)$$

ただし $\tilde{\mathbf{P}}$ は媒質の体積分極ベクトルである。 $\tilde{\mathbf{M}}$ テンソルは constitutive relation から求められる。

ここで式(2-3)を成分表示し、電界、磁界の各成分を消去すると、異方性、不均質プラズマ中の電波伝ばんを規定する次のような微分方程式が得られる。¹⁹⁾

$$\frac{d}{dz} \begin{bmatrix} E_x \\ -E_y \\ Z_0 H_x \\ Z_0 H_y \end{bmatrix} = -i k_0 \tilde{T} \cdot \begin{bmatrix} E_x \\ -E_y \\ Z_0 H_x \\ Z_0 H_y \end{bmatrix} \quad (2-5)$$

ただし k_0, Z_0 はそれぞれ自由空間中の伝ばん定数と特性インピーダンスである。

式(2-5)のマトリックス \tilde{T} の各要素は、電子プラズマを仮定すると、次のように表わされる。

$$T_{11} = -i \ell X \cup \gamma Y / b$$

$$T_{12} = \ell X \gamma \bar{z} Y^2 / b$$

$$T_{13} = \ell m \cup (U^2 - Y^2) / b$$

$$T_{14} = 1 - \ell^2 \cup (U^2 - Y^2) / b$$

$$T_{21} = i m X \cup \gamma Y / b$$

$$T_{22} = -m X \gamma \bar{z} Y^2 / b$$

$$T_{23} = 1 - m^2 \cup (U^2 - Y^2) / b$$

$$T_{24} = T_{13}$$

$$T_{31} = -m \ell - i X \bar{z} Y (U - X) / b$$

$$T_{32} = 1 - \ell^2 - [X \cup (U - X) - X \gamma^2 Y^2] / b$$

$$T_{33} = T_{22}$$

$$T_{34} = T_{12}$$

$$T_{41} = 1 - m^2 - X \cup (U - X) / b$$

$$T_{42} = -\ell m + i X \bar{z} Y (U - X) / b$$

$$T_{43} = -T_{21}$$

$$T_{44} = -T_{11}$$

(2-6)

$$\text{左辺 } b = U(U^2 - Y^2) - X(U^2 - \bar{z}^2 Y^2)$$

以上の表式中の X, Y および \cup はこれらを

$$\left. \begin{aligned} X &= (\omega_{pe}/\omega)^2 = (\delta_{pe}/f)^2 \\ Y &= \omega_{He}/\omega = \delta_{He}/f \\ \cup &= 1 - i \nu/\omega \end{aligned} \right\}$$

(2-7)

で与えられる。 ω_{pe} ($= 2\pi f_{pe}$)、 ω_{He} ($= 2\pi f_{He}$) はそれぞれ電子プロラズマおよび
電子ジャイロ角周波数を表すし、 ν は電子衝突角周波数を表す。また ω ($= 2\pi f$)
は波の角周波数である。

2-3 低周波電波の電離層への透過

2-3-1 高緯度電離層中のホイッスル波の伝ばん

ホイッスルの発生数は、その源の雷放電の活発な低緯度では一般に少なく、磁気緯度 50° 前後の高緯度において最大を示すとか知られる。また最近では、極地方において地上からVLF電波を磁気圏へ打ち上げ、粒子との相互作用を起こすという試みも行なわれる。したがって高緯度のホイッスル波の下部電離層透過特性を十分に理解しておく必要がある。本節では、高緯度の特殊な場合として地球磁場が鉛直方向へ、極伝ばん(polar propagation)を考え、下方より不均質下部電離層に垂直に電波が入射するとする。

a) 波動方程式と反射係数

上述した極伝ばんでは、2-2節の l, m, n 等の値は次のようになつた。 $l = m = 0, n = 1, \gamma = 0, \zeta = -1$ である。また高緯度では電子の中性粒子との衝突による損失はきわめて少ないので、この ζ 、電子衝突周波数 ν は $\nu = 0$ とし得る。すると式(2-5)は次のようにならう。

$$\frac{d^2}{dz^2} (E_x + iE_y) = \left[1 - \frac{X}{1-Y} \right] (E_x + iE_y) \quad (2-8)$$

$$\frac{d^2}{dz^2} (E_x - iE_y) = \left[1 - \frac{X}{1+Y} \right] (E_x - iE_y) \quad (2-9)$$

式(2-8), (2-9)はそれぞれ右回り偏波, 左回り偏波における波の波動方程式を表わす。すなわち極伝ばんでは右回り, 左回り偏波はモード独立して伝ばんするといふ理解ができる。ホイッスル波は右回り偏波のため、式(2-8)が高緯度における基礎方程式となる。 $\phi = E_x + iE_y$ とすると、式(2-8)は X, Y を電子密度 N_e , 電子ジャイロ周波数 ω_{He} で表わすと

$$\frac{d^2}{dz^2} \phi + k_0^2 \left[1 - \frac{e^2 N_e}{m_e \epsilon_0 \omega (\omega - \omega_{He})} \right] \phi = 0 \quad (2-10)$$

となる。ただし m_e , e はそれぞれ電子の質量および電荷を示す。 ϵ_0 は真空の誘電率である。

下部電離層の電子密度のモデルとして双直線モデル (bi-linear model) を採用する。すなわち電子密度 N_e は次のように表わされる。

$$N_e(z) = \begin{cases} \beta_1 z & (0 \leq z \leq d) \\ \beta_1 d + \beta_2 (z-d) & (z \geq d) \end{cases} \quad (2-11)$$

式 (2-11) において β_1 , β_2 はそれぞれ下層および上層の直線電子密度分布の勾配を表す。 $z=0$ は自由空間と下部電離層との境界である。またこのモデルでは上層において高度が増すにつれ、電子密度も単調に増加するようになる、 $z \rightarrow \infty$ の $N_e \rightarrow \infty$ である。実際には F_2 層における最大電子密度を呈し、それ以上高では電子密度は減少する。ところが E 層上部や F 層では 2-2 節で述べたように slowly varying の条件が満足され、かつ領域での反射は十分無視でき、反射の卓越する D 層および E 層下部領域とよく近似する電子密度分布である。このモデルは階段的形状を示し、これは Cross-modulation²⁰⁾ や 最近のロケット観測結果からもさわめて妥当なモデルと考えられる。

上述のモデルに対する、式 (2-10) の電磁界の振舞を調べるために、まず各層中の電磁界を求める。電離層下の自由空間 ($z \leq 0$) では、界は入射波とそれに対応する反射波から成り、次のように与えられる。

$$\phi = E_i(\omega) \exp(-ik_0 z) + E_r(\omega) \exp(ik_0 z) \quad (2-12)$$

\therefore E_i, E_r は入射波と反射波の振幅を表す。

次に下層 ($0 \leq z \leq d$) 中で、式 (2-11) の表式を式 (2-10) に代入し、

$\omega = 1 + e^2 \beta_1 z / m_e \epsilon_0 \omega (\omega_{He} - \omega) + \text{3}$
変数変換を施すと、界は次のようにならざる。

$$\phi = A \sqrt{\omega} H_{\frac{1}{3}}^{(1)} \left(\frac{2}{3} l_1 \omega^{3/2} \right) + B \sqrt{\omega} H_{\frac{1}{3}}^{(2)} \left(\frac{2}{3} l_1 \omega^{3/2} \right) \quad (2-13)$$

$\therefore l_1 = k_0 m_e \epsilon_0 \omega (\omega_{He} - \omega) / e^2 \beta_1$. また A, B は未定定数を表す。 $H^{(1)(2)}$ は第1種および第2種のハンケル関数である。

最後に上層 ($z \geq d$) の界は式 (2-13) と同様にして

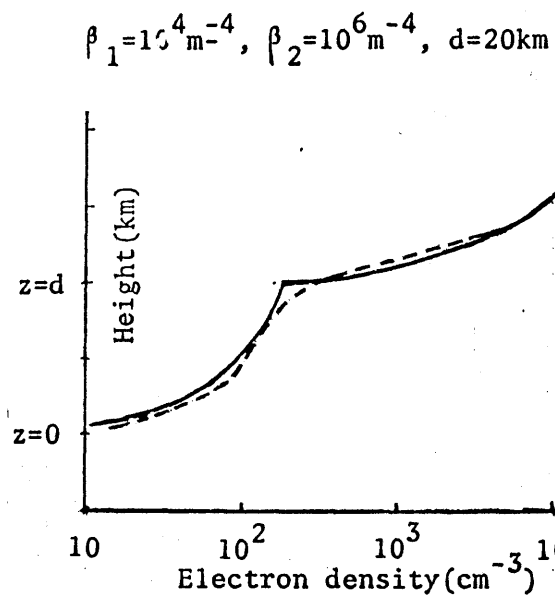
$$\phi = E_t \sqrt{u} H_{\frac{1}{3}}^{(2)} \left(\frac{2}{3} l_2 u^{3/2} \right) \quad (2-14)$$

$\therefore l_2 = k_0 m_e \epsilon_0 \omega (\omega_{He} - \omega) / e^2 \beta_2$, $u = 1 + e^2 \{ (\beta_1 - \beta_2) d + \beta_2 z \} / m_e \epsilon_0 \omega (\omega_{He} - \omega)$. E_t は透過波の振幅を表す。式 (2-14) を導出する際 $l_1 = l_2$, 十分な高さ度で上方へ伝はるモードを表す第2種ハンケル関数を採用してある。

\therefore $z=0$ と $z=d$ における境界条件を施せば、ホイッスラ波の電界反射係数が周波数、 β_1 , β_2 および d の関数として次のように与えられる。

$$r = -\frac{\Delta_x}{\Delta} \quad (2-15)$$

ただし行列式 Δ は式 (2-16) に与えられる。



[2] 2-2 双直線モデル(実線)と実測電子密度分布²⁻²(破線)。

$$1 - H_{\frac{1}{3}}^{(1)} \left(\frac{2}{3} l_1 \right)$$

$$- H_{\frac{1}{3}}^{(2)} \left(\frac{2}{3} l_1 \right)$$

0

$$ik_0 - \left[\frac{d}{dz} \left\{ \sqrt{w} H_{\frac{1}{3}}^{(1)} \left(\frac{2}{3} l_1 w^{\frac{1}{2}} \right) \right\} \right]_{z=0} - \left[\frac{d}{dz} \left\{ \sqrt{w} H_{\frac{1}{3}}^{(2)} \left(\frac{2}{3} l_1 w^{\frac{1}{2}} \right) \right\} \right]_{z=0}$$

0

 $\Delta =$

$$0 \quad \left[\sqrt{w} H_{\frac{1}{3}}^{(1)} \left(\frac{2}{3} l_1 w^{\frac{1}{2}} \right) \right]_{z=d} \quad \left[\sqrt{w} H_{\frac{1}{3}}^{(2)} \left(\frac{2}{3} l_1 w^{\frac{1}{2}} \right) \right]_{z=d} \quad - \left[\sqrt{u} H_{\frac{1}{3}}^{(2)} \left(\frac{2}{3} l_2 u^{\frac{1}{2}} \right) \right]_{z=d}$$

$$0 \quad \left[\frac{d}{dz} \left\{ \sqrt{w} H_{\frac{1}{3}}^{(1)} \left(\frac{2}{3} l_1 w^{\frac{1}{2}} \right) \right\} \right]_{z=d} \quad \left[\frac{d}{dz} \left\{ \sqrt{w} H_{\frac{1}{3}}^{(2)} \left(\frac{2}{3} l_1 w^{\frac{1}{2}} \right) \right\} \right]_{z=d} - \left[\frac{d}{dz} \left\{ \sqrt{u} H_{\frac{1}{3}}^{(2)} \left(\frac{2}{3} l_2 u^{\frac{1}{2}} \right) \right\} \right]_{z=d}$$

(2-16)

また Δ_{\pm} は式(2-16)の2式1列を列マトリックス $(-1, ik_0, 0, 0)$ で置き換えたものである。

b) 数値計算結果および討論

まず下部電離層の電子密度の勾配がいかに VLF, ELF 電波の反射率に及ぼすかを明らかにする目的で、又直線モデルの特別の場合と $l_2 = 0 \text{ km}$ の直線モデルを考える。この場合は β_2 のみが意味があり、これを β と表示する。図 2-3 は周波数をパラメータとした時の反射係数の勾配 β による変化を描いたものである。 β の値を固定してみると、低周波ほど反射係数が上昇するが、これは低周波電波に対するほど電離層はより鋭い境界(sharp boundary)として作用するとともに意味する。下部電離層の D 領域に近い値を想定すると $\beta = 10^4 \text{ m}^{-4}$ 程度になるが、この程度の β 値に対しては $5, 10 \text{ kHz}$ の電波の反射係数はせいぜい 0.1 で、反射エネルギーは非常に少なく、大部分の入射電波エネルギーは木側で

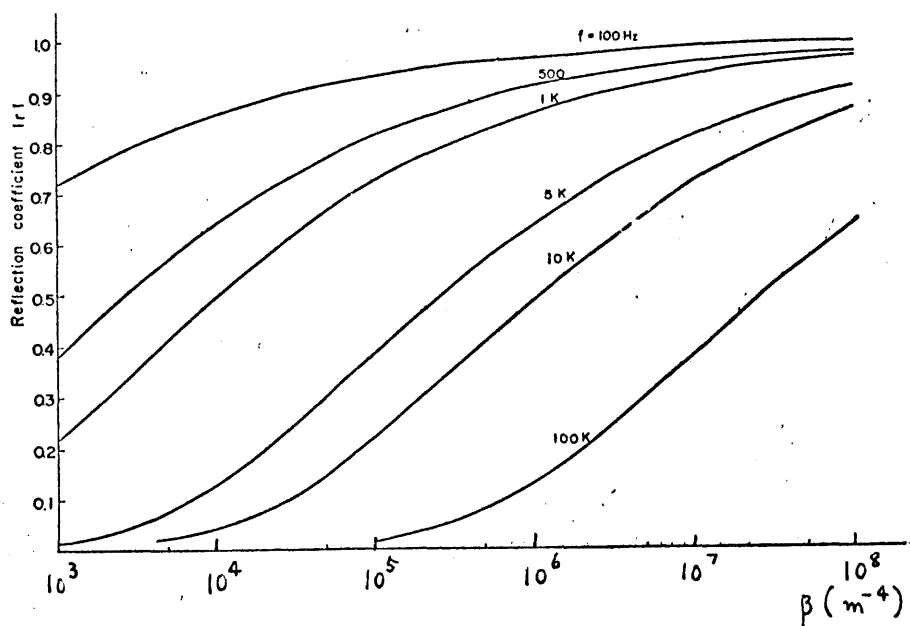


図 2-3 反射係数、電子密度勾配への依存性。 $f_{He} = 1 \text{ MHz}$ とする。

モードとし、電離層を突抜け、磁気圏へ進入していく。しかし周波数が 1 kHz 以下になるとかなりの反射が生ずるといわかる。D領域のような下部電離層は太陽爆発のような場合には擾乱を受けたといしばられ、下部電離層の電子密度勾配の著しい変化と引き起す。この際には、図2-3からわかるように VLF, ELF電波の伝ばん特性は顕著な変化を受ける。さて現実的な双直線モデルについて論じよう。図2-4, 2-5は $\beta_1 = 10^4 \text{ m}^{-4}$ は固定した時、 $\beta_2 = 10^6 \text{ m}^{-4}$ と $\beta_2 = 10^7 \text{ m}^{-4}$ の場合の結果である。図2-4は d の値が $1, 10, 20, 30 \text{ km}$ と変化させある。図2-4 (= おなじ $d = 0 \text{ km}$) の曲線は単調減少する、 $d = 10 \text{ km}$ は 1 kHz と 10 kHz あたりに反射係数の谷が現われる。さらに現実に近い $d = 20 \text{ km}$ なら 30 km は 1 kHz と、反射係数は周波数とともに振動する特性を示す。これは波の干渉効果(wave-interference effect)である。考えられ、透過係数にも同様の干渉効果が現われることであろう。このような干渉効果はホイストラのスペクトルを理解する際には十分考慮すべき点である。

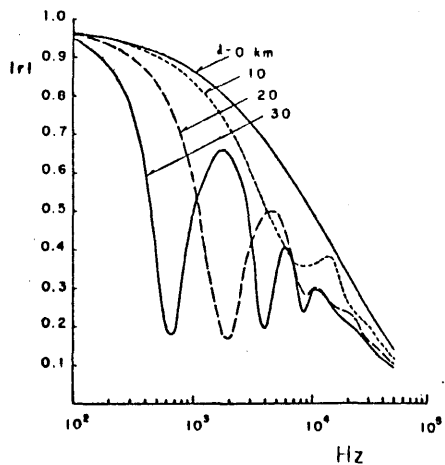


図2-4 $\beta_1 = 10^4 \text{ m}^{-4}$, $\beta_2 = 10^6 \text{ m}^{-4}$
の時の反射係数の
周波数特性

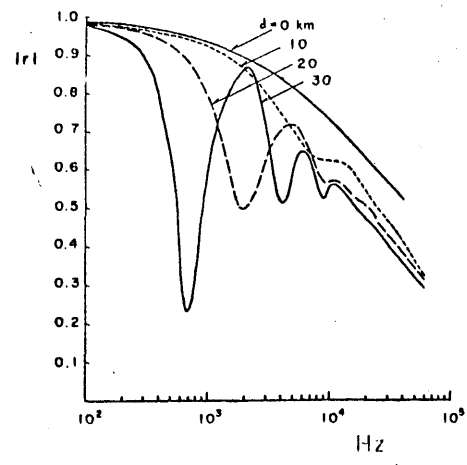


図2-5 $\beta_1 = 10^4 \text{ m}^{-4}$, $\beta_2 = 10^7 \text{ m}^{-4}$
の時の反射係数の周波数
特性

図2-5は図2-4に比べて β_2 が1桁大きいので、全体的に反射係数が増加する。

本節の結果より、次の点を指摘することがべきよう。

- i) VLF, ELF電波の下部電離層からの反射特性は、下部電離層の電子密度勾配により著しく変化する。下部電離層は、昼間には太陽爆発による異常電離や、夜間に荷電粒子の降下等による異常電離を受けたりしがあり、電子密度勾配は大きく変化する。したがって、このような異常電離の場合にはVLF, ELF電波の伝播特性に顕著な影響を受けることが予想される。
- ii) 一般に低周波電波に対しては、下部電離層により鋭い境界として作用し、低周波ほど反射係数は大きくなると考えられる。
- iii) 本節の双直線モデルの場合からも理解されるように、下部電離層中に電子密度の変化の激しい領域が存在する場合では、顕著な波の干涉効果が現われる。又直線モデルでは、顕著な反射は下層と上層との境界で起きる。このように下部電離層中に反射が卓越する領域が存在するときは、波のスペクトルに波の干涉効果が現われることが予想される。i)で述べた異常電離などの場合に相当する。

2-3-2 低緯度電離層中の VLF, ELF 電波の反射および透過

2-3-1 節で扱った高緯度のオーヴィー波のエネルギーは赤道帯や低緯度で多発する雷放電エネルギーによるものであることは明らかである。したがって高緯度のオーヴィー波は低緯度の雷放電からの電波が電離層と地表から成る導波管中をかなり距離伝ばんして後、高緯度帯で電離層に進入したものである。ところが雷活動の活発な低緯度の雷放電エネルギーの程度が電離層を通過して磁気圏内へ進入していくことは興味深いにもかかわらず、よく理解されない。そこで本節では、低緯度の極限として赤道帯を想定し、VLF, ELF 電波の電離層内伝ばん特性を解析的に行なう結果を報告する。

a) 赤道電離層中の ELF, VLF 電波の伝ばん

本節では赤道帯を想定し、式(2-6)において $dip = 0^\circ$ とし、垂直入射を考える。すると式(2-5)は式(2-17)で表わされる二つの微分方程式に分離される。

$$\left. \begin{aligned} \frac{d^2 E_y}{dz^2} + k_0^2 n_0^2 E_y &= 0 \\ \frac{d^2 E_x}{dz^2} + k_0^2 n_x^2 E_x &= 0 \end{aligned} \right\} \quad (2-17)$$

式(2-17)からわかるように、磁場が垂直な伝ばんでは二つの直線偏波モードに分離が可能である。式(2-17)の上式、下式はそれぞれ正常波(ordinary mode)、および異常波(extraordinary mode)を表す。正常波は VLF, ELF 帯周波数帯では減衰波となり全く興味はない。以下では異常波についてのみ言及する。異常波の屈折率 n_x^2 は次のようになされた。

$$n_x^2 = \epsilon_{xx} + \epsilon_{xz}^2 / \epsilon_{zz} \quad (2-18)$$

たゞし

$$\left. \begin{aligned} \varepsilon_{xx} &= \varepsilon_{zz} = 1 - a N_e(z) \\ \varepsilon_{xz} &= -i b N_e(z) \end{aligned} \right\} \quad (2-19)$$

$$\left. \begin{aligned} a &= \left(\frac{1}{1 - Y_e^2} \cdot \frac{1}{m_e} + \frac{1}{1 - Y_i^2} \cdot \frac{1}{m_i} \right) \frac{e^2}{\epsilon_0 \omega^2} \\ b &= \left(\frac{Y_e}{1 - Y_e^2} \cdot \frac{1}{m_e} - \frac{Y_i}{1 - Y_i^2} \cdot \frac{1}{m_i} \right) \frac{e^2}{\epsilon_0 \omega^2} \end{aligned} \right\} \quad (2-20)$$

異常波の屈折率の表示は、イオンの効果が含まれているが、磁場は直角に位するには本質的な役割を果たす。また衝突効果は電離層最下端部を除いては顕著でないため無視される。 n_x^2 の屈折率表示は陽子に対する、遮断(cut-off)と共鳴(resonance)といふ意味で用いられる。遮断周波数 $\omega_{cut}(z)$ は $n_x^2 = 0$ に対応し、

$$\omega_{cut}(z) = \left(-\omega_{He} + \sqrt{\omega_{He}^2 + 4(\omega_{He}\omega_{Hi} + \omega_{pe}^2(z))} \right) / 2 \quad (2-21)$$

これより、 $n_x^2 \rightarrow \infty$ に対応し、いわゆる低部混成共鳴周波数(lower hybrid resonance frequency)である。

$$\frac{1}{\omega_{LHR}(z)^2} = \frac{1}{\omega_{Hi}^2 + \omega_{pi}^2(z)} + \frac{1}{\omega_{He}\omega_{Hi}} \quad (2-22)$$

式(2-21), (2-22)で表わされる遮断周波数、共鳴周波数の高度分布を図2-6に示す。図1は直線電子密度分布の結果である。図からわかるように、高度が増加すると電子密度が増加し、その結果共鳴周波数は次第に増大し、ある周波数 $\omega \approx \sqrt{\omega_{He}\omega_{Hi}}$ (≈ 4 kHz) に漸近する。一方遮断周波数は高度とともに単調に増加する。電離層下部の低高度では遮断、共鳴周波数とも $\omega \approx \omega_{Hi}$ (34 Hz) に近づく。図中の斜線を施した領域は、 $n_x^2 < 0.9$ 減衰域を表す。 $\omega = \omega_{Hi}$ と $\omega \approx \sqrt{\omega_{He}\omega_{Hi}}$ の

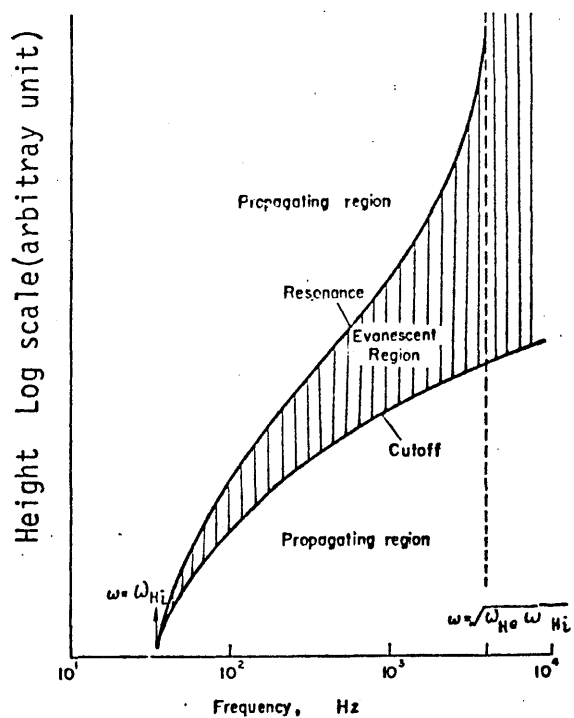


図 2-6 遮断共鳴周波数の高度変化。この図は電子密度分布を直線モデルを採用した結果で、縦軸は対数寸法である。

一向の周波数の波が電離層下より入射する場合を考えよう。上昇する波はまず遮断に遭遇し、一部の透過エネルギーは減衰域で強い吸収を受け、共鳴高度を過ぎると再び伝ばん可能となる。

下部電離層の電子密度分布を直線モデルを考えたのと、その表式を $N_e(z) = \beta z + \alpha$ とする。 β は電子密度勾配である。この表式を式(2-17), (2-19)に代入し、次のような変数変換 $w (= a\beta z - 1)$ を行なうと、異常波に対する波动方程式は式(2-23)となる。

$$\frac{d^2 E_x}{dw^2} + \frac{k_0^2}{(\alpha\beta)^2} \left[\frac{2b^2}{a^2} + \left(\frac{b^2}{a^2} - 1 \right) w + \frac{b^2}{a^2} \cdot \frac{1}{w} \right] E_x = 0 \quad (2-23)$$

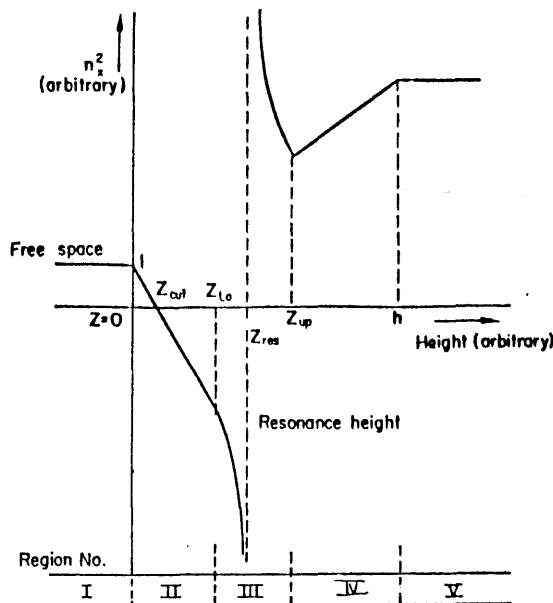


図 2-7 屈折率 n_x^2 の近似高度分布。電子密度分布は $N_e(z) = \beta z$ を採用した。

全高度にわたる上式を満足する波動解は知られていないので、 n_x^2 の高度分布を図 2-7 のように便宜的に近似する。しかしこの近似は最終的結果に重大な変化を生ずることはない。図 2-7 は高度 z とともに各領域に番号が付けてある。領域 III の共鳴領域 z_{res} は式(2-23)中の屈折率の表示。うち第一項と第三項との和をとり、 z_{II} 、 z_{IV} 領域との境界 z_{up} 、 z_{up} は第一項と第三項の和が第二項に等しいなす高度である。領域 IV では、式(2-23)の屈折率表示の第二項のみが考慮されている。領域 II の屈折率の表示は $z = z_{Lo}$ における領域 III の屈折率と領域 I の自由空間の屈折率 1 との一次関数で近似している。すなはち各領域中の電磁界を求めよう。

電離層下。領域 I の界は入射波と反射波から成り、次のように与えられる。

$$E_x^I = E_i \exp(-ik_0 z) + E_r \exp(ik_0 z) \quad (2-24)$$

\therefore E_i, E_r は入射波と反射波の振幅である。

領域Ⅱ中・境界の表示は

$$E_x^{II} = A \sqrt{u} J_{\frac{1}{3}}\left(\frac{2}{3}\theta u^{3/2}\right) + B \sqrt{u} J_{-\frac{1}{3}}\left(\frac{2}{3}\theta u^{3/2}\right) \quad (2-25)$$

とする。ただし $\theta = k_0 z_0 / (\eta_1^2 + 1)$, $u = 1 - (\eta_1^2 + 1)^2 / z_0$, $\eta_1^2 + 2 = 2k_0$

はおける屈折率である。 J は第一種ベッセル関数である。

同様にして、領域Ⅲの境界は

$$E_x^{III} = E \sqrt{w} J_{\frac{1}{3}}\left(\frac{2\sqrt{\delta}}{3} w^{3/2}\right) + F \sqrt{w} J_{-\frac{1}{3}}\left(\frac{2\sqrt{\delta}}{3} w^{3/2}\right) \quad (2-26)$$

とする。 $\therefore \delta = \frac{k_0^2}{(\alpha \beta)^2} \left(\frac{b^2}{a^2} - 1 \right)$ となる。式(2-25), (2-26)中の A, B, E, F はすべて未定係数である。

領域Ⅲの共鳴領域では式(2-23)の括弧の中の第一項と第三項を考慮し、種々の変数変換を行なう後、次のような界を得る。

$$E_x^{III} = C s e^{-\frac{1}{2}s} {}_1F_1(x-1, 2; s) + D s e^{-\frac{1}{2}s} G(x+1, 1; s) \quad (2-27)$$

ただし ${}_1F_1(\alpha, \gamma; z)$ は合流型超幾何級数である

$${}_1F_1(\alpha, \gamma; z) = \frac{\Gamma(\gamma)}{\Gamma(\alpha)} \sum_{n=0}^{\infty} \frac{\Gamma(\alpha+n)}{\Gamma(\gamma+n)} \cdot \frac{z^n}{n!}$$

である。 Γ はガンマ関数を表す。また式(2-27)の $G(\alpha, m; x)$ は次のようになる。

$$\begin{aligned} G(\alpha, m; x) &= (\alpha-1)\dots(\alpha-m) \log x {}_1F_1(\alpha, m+1; x) \\ &+ m! \sum_{n=0}^{m-1} \frac{(-1)^{m-n-1} (m-n-1)!}{n!} \frac{\Gamma(\alpha+m+n)}{\Gamma(\alpha)} x^{n-m} \\ &+ (\alpha-1)\dots(\alpha-m) \sum_{n=0}^{\infty} \frac{\Gamma(\alpha+n) \Gamma(m+1)}{\Gamma(\alpha) \Gamma(m+1+n)} \frac{1}{n!} \left[\left(\frac{1}{\alpha} + \dots + \frac{1}{\alpha+n-1} \right) \right. \\ &\quad \left. - \left(1 + \frac{1}{2} + \dots + \frac{1}{n} \right) - \left(\frac{1}{m+1} + \frac{1}{m+2} + \dots + \frac{1}{m+n} \right) \right] x^n \end{aligned}$$

常数 κ および変数 s は

$$\kappa = i \frac{\sqrt{2}}{4} \left(\frac{k_0 b}{a^2 \beta} \right), \quad s = \left(i 2\sqrt{2} \frac{k_0 b}{a^2 \beta} \right) \omega$$

である。

最後に、領域 V の電界は

$$E_x^V = E_t \exp(-i k_s z) \quad (2-28)$$

となる。 E_t は直進波の振幅、 k_s は領域 V の 1 次元定数である。

以上各領域で得られた境界条件を課す限り、次のような
電界反射係数および電界透過程数の表式を得ることができる。

$$\left. \begin{aligned} r &= \frac{E_r}{E_i} = -\frac{\Delta_r}{\Delta} \\ t &= \frac{E_t}{E_i} = -\frac{\Delta_t}{\Delta} \end{aligned} \right\} \quad (2-29)$$

式(2-29)中の行列式 Δ は式(2-30)で与えられる。また Δ_r 、 Δ_t はそれぞれ式(2-30)の第一列および最終列を列マトリックス $(-1, ik, 0, 0, \dots)$ で置き換えたものである。以下では式(2-29)の数值計算について述べる。

$$\Delta = \begin{vmatrix} 1 & -[\sqrt{w}J_{1/3}]_o & -[\sqrt{w}J_{-1/3}]_o & 0 & 0 & 0 & 0 & 0 \\ ik_0 & -\left[\frac{d}{dz} \left\{ \sqrt{w}J_{1/3} \right\} \right]_o & -\left[\frac{d}{dz} \left\{ \sqrt{w}J_{-1/3} \right\} \right]_o & 0 & 0 & 0 & 0 & 0 \\ 0 & [\sqrt{w}J_{1/3}]_{z_l o} & [\sqrt{w}J_{-1/3}]_{z_l o} & -[se^{-1/2s} {}_1F_1]_{z_l o} & -[se^{-1/2s} G]_{z_l o} & 0 & 0 & 0 \\ 0 & \left[\frac{d}{dz} \left\{ \sqrt{w}J_{1/3} \right\} \right]_{z_l o} & \left[\frac{d}{dz} \left\{ \sqrt{w}J_{-1/3} \right\} \right]_{z_l o} & -\left[\frac{d}{dz} \left\{ se^{-1/2s} {}_1F_1 \right\} \right]_{z_l o} & -\left[\frac{d}{dz} \left\{ se^{-1/2s} G \right\} \right]_{z_l o} & 0 & 0 & 0 \\ 0 & 0 & 0 & [se^{-1/2s} {}_1F_1]_{z_u p} & [se^{-1/2s} G]_{z_u p} & -[\sqrt{w}J_{1/3}]_{z_u p} & -[\sqrt{w}J_{-1/3}]_{z_u p} & 0 \\ 0 & 0 & 0 & \left[\frac{d}{dz} \left\{ se^{-1/2s} {}_1F_1 \right\} \right]_{z_u p} & \left[\frac{d}{dz} \left\{ se^{-1/2s} G \right\} \right]_{z_u p} & -\left[\frac{d}{dz} \left\{ \sqrt{w}J_{1/3} \right\} \right]_{z_u p} & -\left[\frac{d}{dz} \left\{ \sqrt{w}J_{-1/3} \right\} \right]_{z_u p} & 0 \\ 0 & 0 & 0 & 0 & 0 & [\sqrt{w}J_{1/3}]_h & [\sqrt{w}J_{-1/3}]_h & -[e^{-ik_5 z}]_h \\ 0 & 0 & 0 & 0 & 0 & \left[\frac{d}{dz} \left\{ \sqrt{w}J_{1/3} \right\} \right]_h & \left[\frac{d}{dz} \left\{ \sqrt{w}J_{-1/3} \right\} \right]_h & ik_5 [e^{-ik_5 z}]_h \end{vmatrix}$$

(2 - 30)

b) 数値計算結果との検討

図2-8(a), (b) は $\beta = \beta_0$ の電子密度勾配, すなわち $\beta = 5 \times 10^6 \text{ m}^{-4}$ と $\beta = 5 \times 10^5 \text{ m}^{-4}$ に対する電離層透過程数の絶対値の周波数特性を描いたものである。これらの β 値は実際の D 層および E 層に対する平均的な値である。また取り扱った周波数範囲は 100 Hz から 4 kHz までである。4 kHz 以上の周波数領域は、図2-6 からわかるように高高度では伝ばん不可能で、エナルギー透過ではなく、考へる必要がない。図2-8 からまず理解されるべきは、透過程数が一般に非常に小さなことである。これは Budden²²⁾ がすでに指摘しているように、減衰域の存在による著しい波の減衰である。図2-8(a) の一般的傾向として、次の二点が指摘できる。

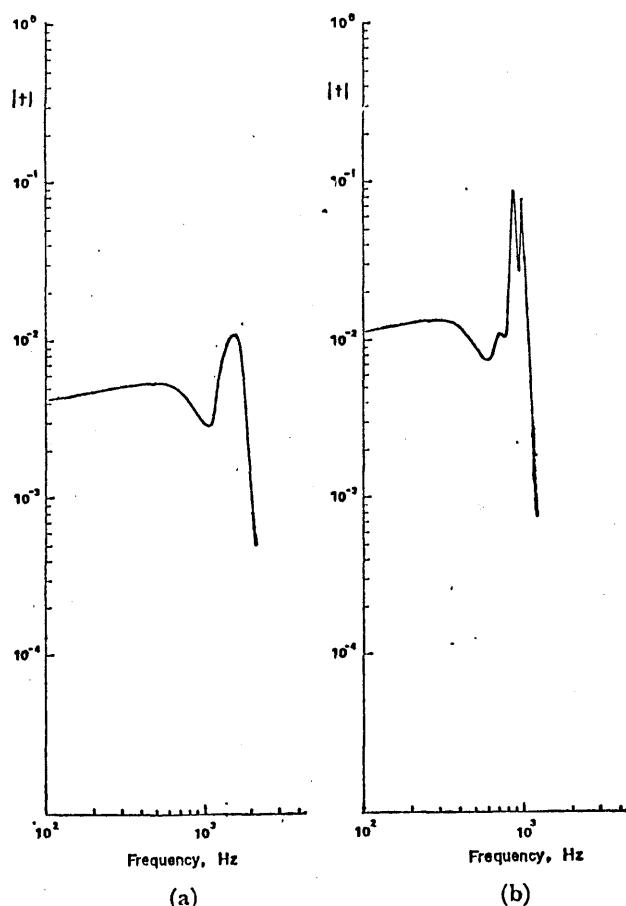


図2-8 電離層透過程数の周波数特性。(a) $\beta = 5 \times 10^6 \text{ m}^{-4}$,
(b) $\beta = 5 \times 10^5 \text{ m}^{-4}$ の場合の結果である。

(i) 透過係数は ~ 600 Hz まではゆるやかに増加し, 1 kHz 前後において減少を示し, さらには 1.5 kHz 附近において鋭い最大を示す。それより周波数が高くなると, 透過係数は急激に減少する。

この傾向は同図(b)のより小さな β 値の場合でも認められるが, 異なる点と(2)次の事が気付かれる。

(i) 最大透過の起始于周波数が, より低周波側に移動する。すなわち低 β 値の $5 \times 10^5 \text{ m}^{-4}$ の際には, 最大透過は 1 kHz よりも少し低い周波数で起始于。

(ii) 電子密度勾配が小さいため, 最大透過係数が著しく増加している。

図(a)では $\sim 10^2$ 程度であるが, たゞの如く, 図(b)では 1 行近く上昇して, 10^4 程度になつてゐる。つまり図(b)の場合には入射波の強度(0 dB)に対して, 透過波は -20 dB 前後の強度を示すことがわかる。

以上の二から, 赤道帯下部電離層は異常波の位相に対しても 1 kHz 前後に pass band を持つフィルターとして作用する事が明らかになつた。

本節の結果と密接な関係にありうる現象が最近衛星観測により発見された。Gurnett(1968)²³⁾ は磁気圏の低緯度・低高度の赤道帯で広帯域 VLF ヒス (equatorial VLF hiss) を発見した。その後の POGO 衛星による観測によると, 赤道帯上空での観測されるヒスは Gurnett およびような 8 kHz 程度までの伸びたものは稀²⁴⁾, ELF ヒスと呼ぶべきものである事が明らかとなつた(Kimura, 1968, 1970)。つまり, これらの ELF ヒスの特徴はそのスペクトルが 2 kHz 以下の周波数に偏かれていることである。ELF ヒスの機構としては二つのが考えられる。(i) 一つはその源が雷放電であるとするもの, (ii) 他は波と粒子との相互作用によるとする考え方である。前者の可能性は本節の理論的考察と密接に関係する。この源が雷²⁵⁾, 赤道帯伝導²⁶⁾などと,

この伝ばん特性より 2 kHz 以下においてのみ観測されるとは理論から容易に説明がつく。したがって赤道帯 ELF ヒス (equatorial ELF hiss) の源として、(i) の可能性だけでも十分に説明が可能である。もし (ii) のような波と粒子との相互作用が関与しているとも、この波の種 (seed) として、本節の仕事は意義がある。

2-3-3 中緯度におけるホイッスル波の電離層内伝ばん

2-3-1, 2-3-2 節において二つの極限の場合、すなわち極伝ばんおよび赤道伝ばんの電離層中の伝ばん特性を解析的に議論した。その結果、種々の興味ある結果を得、下部電離層中の伝ばん特性がかなりはっきりした。地球磁場が任意の伏角を示す中緯度では、異方性の不均一度が下部電離層中の電磁界を解析的に解くことはできず、波动方程式の数値解法によらねばならぬ。本節では Pitteway²⁵⁾と同様の方法を用いて、ホイッスル波の伝ばん特性を考察する。本節の中緯度におけるホイッスル波の電離層透過に関する総合的理識が得られるところである。

a) 数値解法²⁵⁾

数値解法の基礎式は式(2-5)で与えられるが、重要なのが再び記すこととする。

$$\frac{d\vec{e}}{dz} = -i k_0 \tilde{T} \cdot \vec{e} \quad (2-31)$$

である。ただし \vec{e} は次のように表示される。

$$\vec{e} = \begin{bmatrix} E_x \\ -E_y \\ Z_0 H_x \\ Z_0 H_y \end{bmatrix} \quad (2-32)$$

また行列 \tilde{T} は 4×4 の行列で、各要素は電子密度、電子ジャイロ周波数や入射方向等の実数であり、すなは式(2-6)に示してある。

式(2-31)は明らかに数値積分には都合のよい形になる。数値積分は電離層中の十分な高い高度から始め、下方へと積分を繰り返していく。つまり十分な高さ度では波は上方へのみ伝ばんすることを仮定

している。これは電離層の高さ度では媒質は slowly varying の条件が成り立つ、分反射やモードの結合は起こらないと考えられるからである。ある高度 (z_1 とする)において上方へ伝ばんする二つの特性波 (characteristic modes) に対応する二つの固有値を選び、その各々に対する固有ベクトル $\vec{e}_1(z)$ と $\vec{e}_2(z)$ を導く。この値を初期値として、式 (2-31) を下方へルンゲ・クッタ法により数値積分していく。 $\vec{e}_1(z)$ は積分につれて急激に振幅が増大する解であるとすると、このモードは減衰波 (evanescent wave) を意味する。もう一つの解 $\vec{e}_2(z)$ は積分につれてそれほど急激に振幅が増大するようではなく、ホイツラ波に対応する。計算機には必ずその精度に限度があり、 \vec{e}_2 の偏波は積分が進むにつれ、 \vec{e}_1 の偏波に近づいていく。この点はシミュレーションの直交条件 (Schmidt orthogonalization process) を用いて改良されている。この過程は次のようなものである。

$$\begin{aligned} \vec{e}_1 &\longrightarrow \vec{e}_1 \\ \vec{e}_2 &\longrightarrow \vec{e}_{20} = \vec{e}_2 + a \vec{e}_1 \quad (2-33) \\ \text{ただし} \quad a &= -\frac{\vec{e}_1^* \cdot \vec{e}_2}{\vec{e}_1^* \cdot \vec{e}_1} \end{aligned}$$

積分が進み、電子密度の無視し得る自由空間の領域に到達すると、解を上昇する成分と下降する成分とに分解することが可能となり、その比から反射係数を求めることができる。すると上昇波は 楕円偏波にて入射波を表す。

得られた解のうち、 \vec{e}_1 は高さ度ではホイツラモードのエネルギーが最小となるような偏波をもつ、電離層下から入射するモードであり、非透過波 (non-penetrating mode) と名付けた。次に電離層下の \vec{e}_1 、 \vec{e}_2 を用いて、電離層の高さ度ではホイツラ波のエネルギーが最大となるように入射波の偏波を選ぶことができる。このモードを透過波 (penetrating mode) とする。

b) 数値計算結果と討論

以下ではホイッスラ波に相当する透過波に関する数値計算結果を述べる。

ホイッスラ波の透過係数の緯度依存性と周波数依存性

ホイッスラ波の透過特性は昼夜により著しく異なるので、昼間時、夜間時ともに詳しく考察する。図2-9は用いた夜間と昼間時の下部電離層の電子密度と電子衝突周波数の高度分布である。これらのモデルに対する

表2-1 磁場の伏角の緯度による変化

緯度(度)	電子シマノ周波数(kHz)	伏角(度)
10	90.5	19.43
20	112.2	36.05
30	154.3	49.11
40	185.9	59.21
50	229.2	67.24

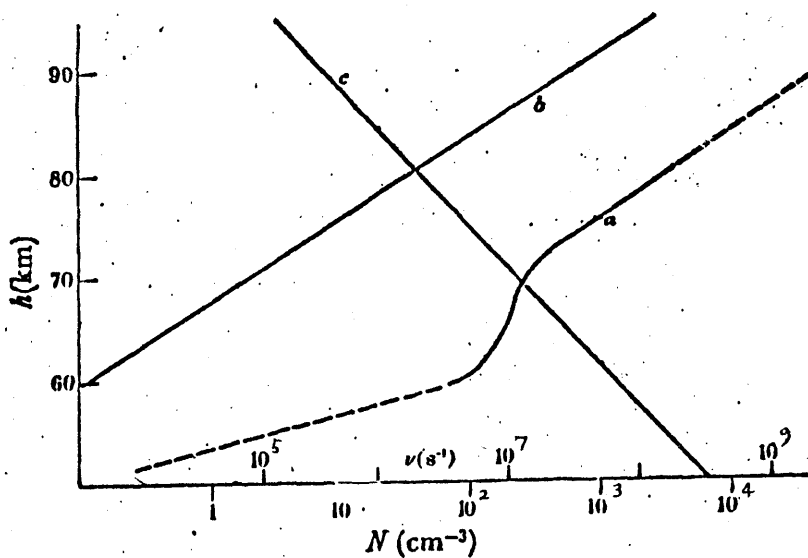


図2-9 下部電離層モデル。aは昼間時, bは夜間時
の電子密度分布, cは電子衝突周波数分布を示す。

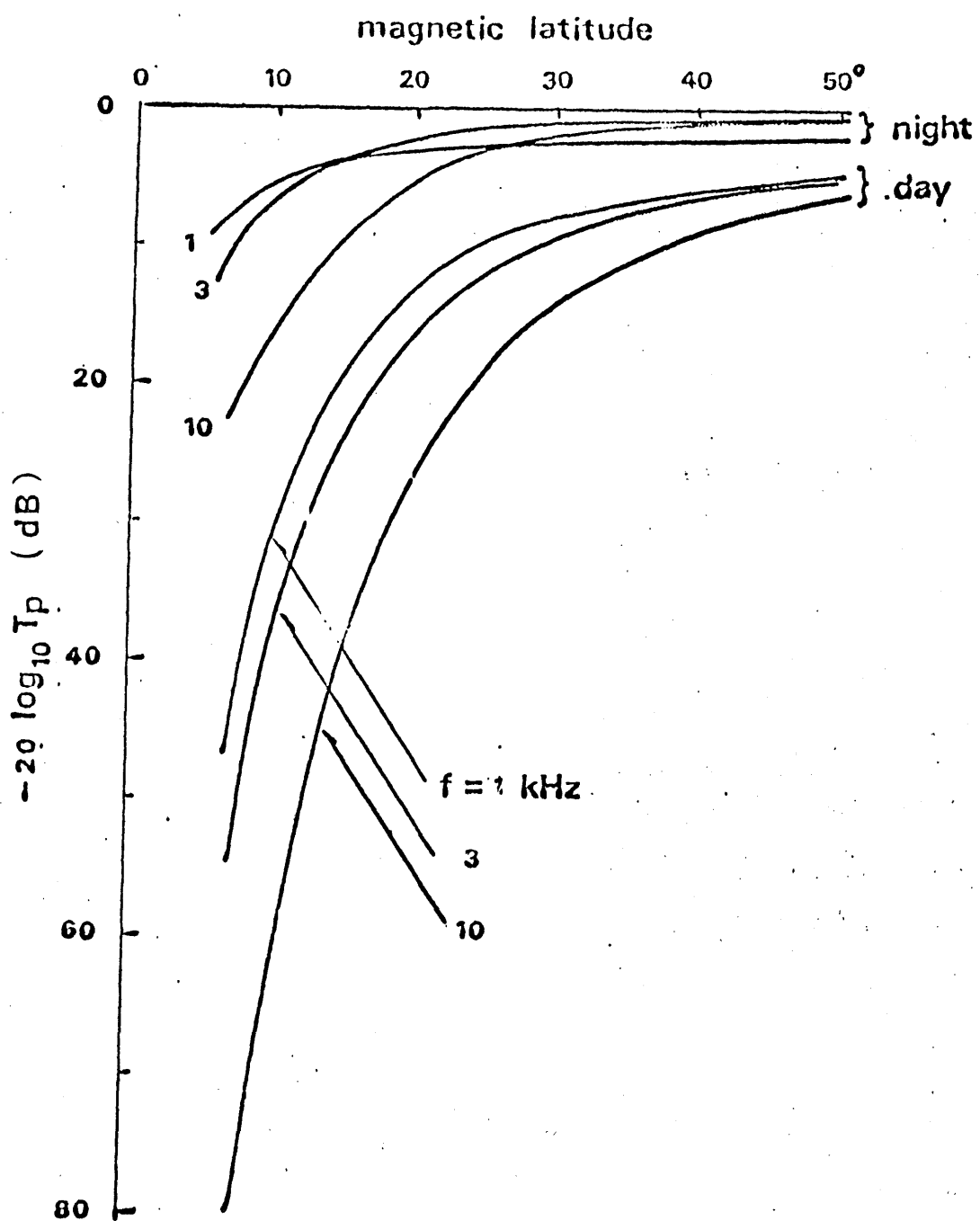


図2-10 木イソラ波の透過損失の緯度変化および
周波数特性

ホイッスル波の透過率の緯度変化および周波数依存性が図2-10に示されている。図中の縦軸は透過波の電界透過率 T_p と損失 α を表示したものである。この結果は垂直入射の条件のもとに計算したものである。磁気緯度により地球磁場の伏角が著しく変化し、これがホイッスル伝ばんに最も重要な役割を果たしている。参考のため磁気緯度と伏角との関係を表2-1に示しておく。

まずホイッスル活動の高い夜向の特性について重要な諸実を列記する。

- (i) 夜向は一般に昼向に比べて、少ない損失で電離層を透過する。特に、磁気緯度が 30° 以上では、 10 kHz 以下の周波数のホイッスル波の透過損失は数dB程度である。
- (ii) 20° 以下の低緯度では緯度効果が現われているが、それは比較的顕著ではない。
- (iii) 周波数のちかいによる透過損失の差違は 20° 以下の低緯度で明瞭で、 10 kHz が最も損失が大きい。

一般に雷放電は低緯度で多発することを考えると、夜向にはそのエネルギーのかなりの部分がホイッスル波として電離層を透過して磁気圏へ進入していくこととなる。したがって多くのホイッスル波が地上で観測されるためには、磁気圏内伝ばんがより重要な要素となる。一般にホイッスルの発生頻度が磁気緯度 50° 附近で最大を示していることは、この現われである。いいかえれば、磁気緯度 50° 帯ではダクトがよく形成されることによるのである。以上よりホイッスル波の夜向伝ばんでは透過損失がきわめて少なく、絶えずかなりのエネルギーが磁気圏へ進入していると考えられ、磁気圏内伝ばんの主たる効果をもつてゐるといつても過言ではない。

次に昼向時のホイッスル伝ばん特性を吟味しよう。夜向に比べて昼向の特徴といふのを指摘せよう。

(i) 高緯度効果がきわめて顕著に現われている。特に磁気緯度が 30° 位から低緯度へ行くにつれ、急激に透過損失が増加する。

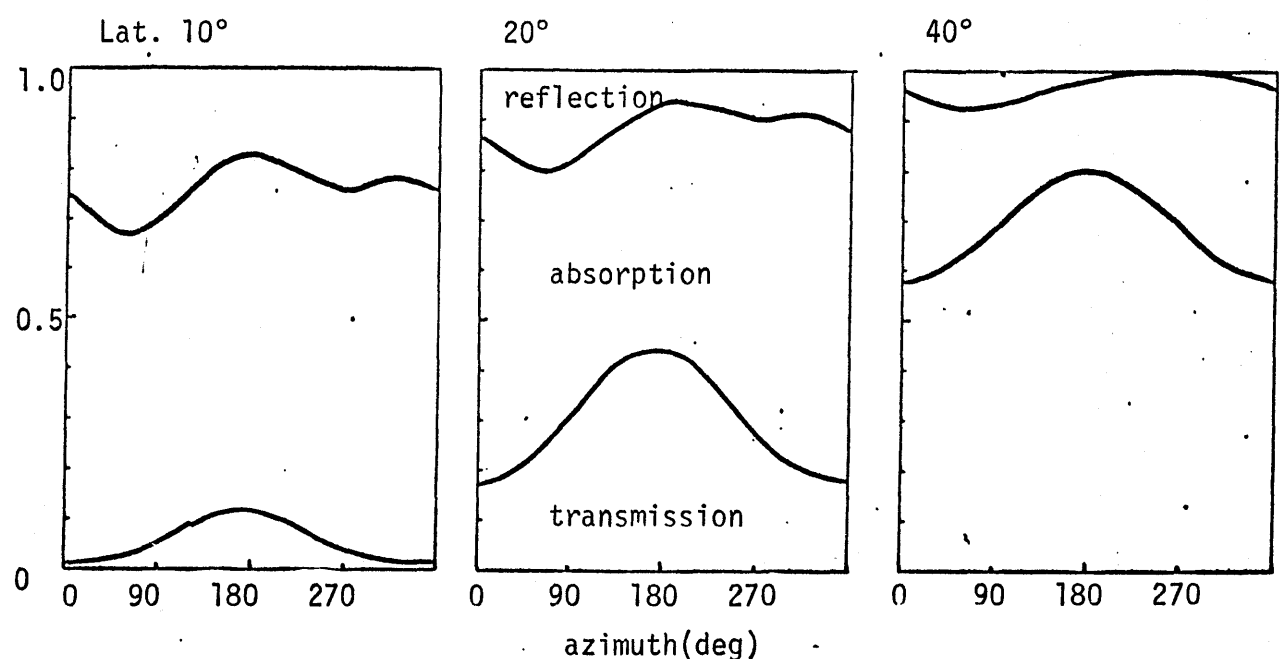
(ii) 周波数特性が明確に認められ、高周波ほど強い透過損失を受ける。

一般に昼間では透過損失が増大し、しかも低緯度では特に重要な因子となる。 $i < 3$ の例えば磁気緯度 20° では、 1kHz で 12.7dB , 3kHz では 16.6dB で 10kHz では 27.2dB の損失を受ける。したがって昼間に低緯度からホーリスラ波として電離層を通過し、磁気圏内へ伝播する際には、磁気圏内伝播のみならず、電離層通過の際に起る強い高緯度効果や周波数依存性とい、この問題が十分に加味して議論を進めること必要である。したがって昼間時は夜間時よりも特性が複雑となる。この点は3-5節においてもう一度言及することになる。

方位角依存性

ホーリスラの源となる雷放電やVLF送信局の位置がわかっている時、反対半球のある受信点でホーリスラを観測したとしよう。源と観測点との間にはいろいろな伝播経路が可能であるが、そのうち1つは極めて損失の少ない経路が存在するはずである。2-3-4節でも述べるように源と電離層への入口との間におけるホーリスラ波、電離層出口と受信点との間には地表・電離層導波管内伝播が併存し、この間ににおける方位角依存効果を得るが、主として重要な役割を果たすのはホーリスラ波の電離層透過係数 $\Gamma = \Gamma(\theta)$ 方位角依存性である。以下ではこの点に関する数値例を示す。用いた周波数は 5kHz と 0.8kHz である。入射角 i : steep incidence として $i = 30^{\circ}$ を、また oblique incidence として $i = 80^{\circ}$ を採用する。steep incidence は源と波、電離層への入射が比較的近い場合に対応し、 $i = 80^{\circ}$ の oblique incidence は地表と電離層との導波管内を長距離伝播する際の入射角に近い値である。

$f = 5\text{kHz}$ $i = 30^\circ$ (a)



$f = 5\text{kHz}$ $i = 80^\circ$ (b)

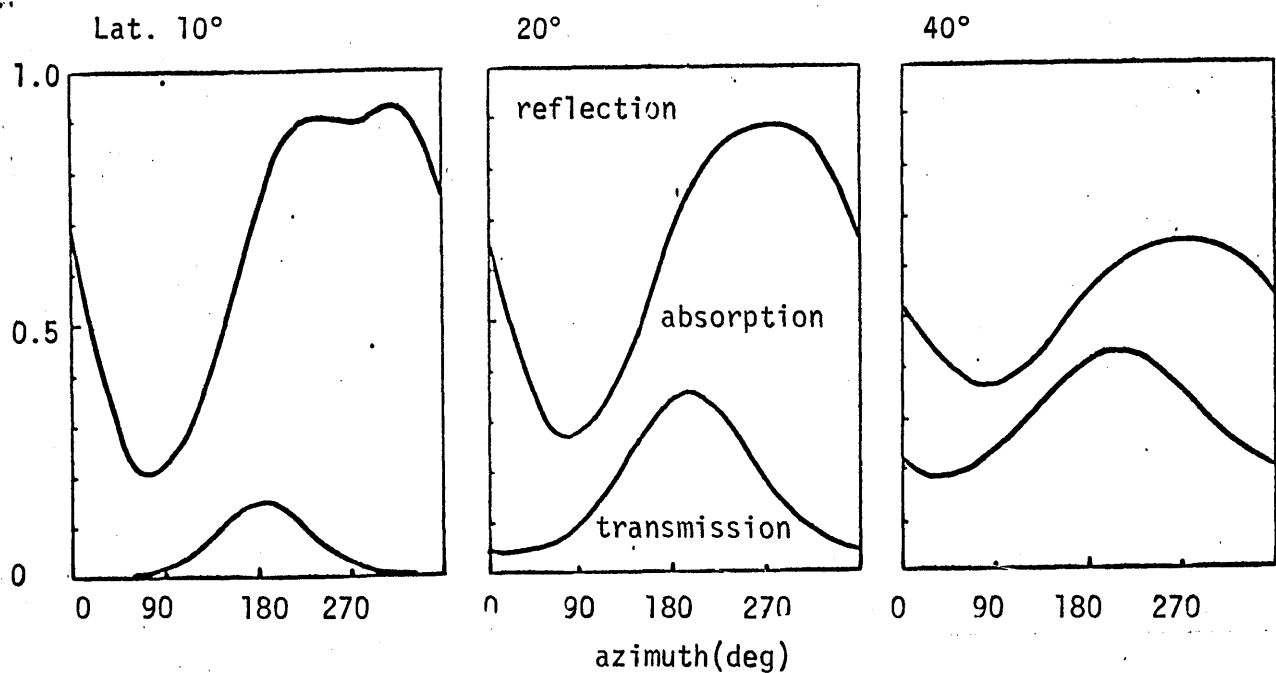
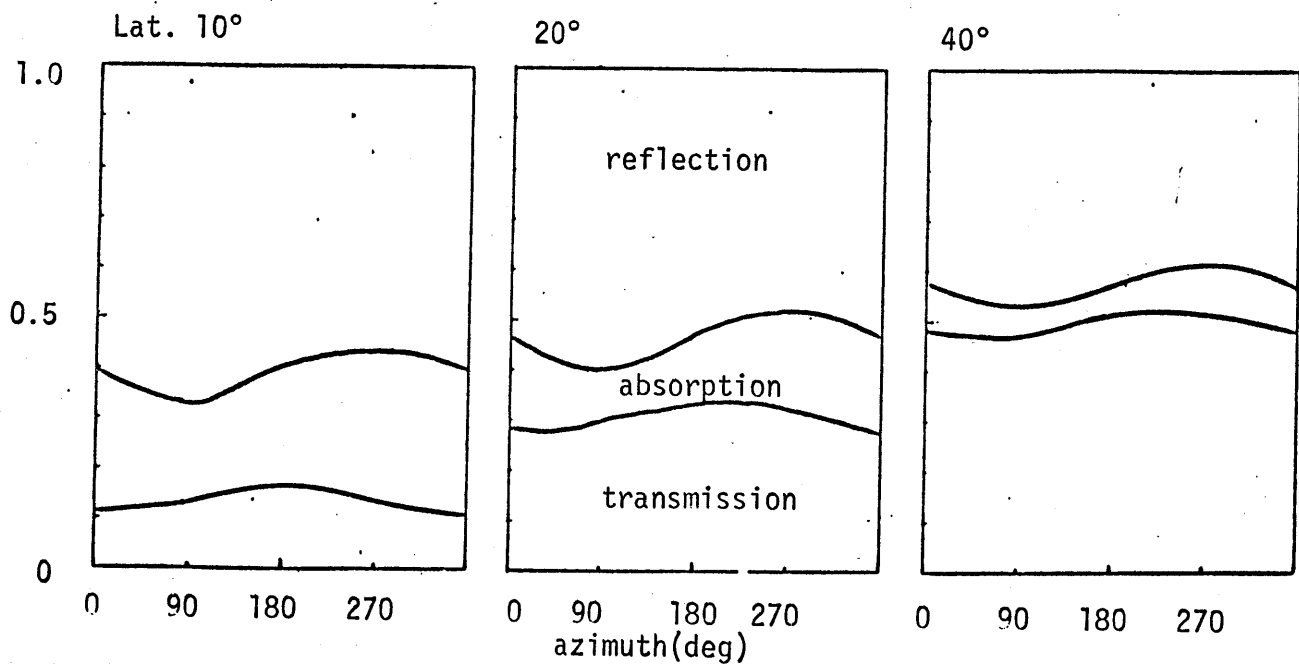


図 2-11 木村スラ波、電離層伝播における方位角依存 ($f = 5\text{kHz}$)。
縦軸は入射電力を 1 としたときの透過、吸収および反射電力の
割合を示す。

$f = 0.8 \text{ kHz}$ $i = 30^\circ$ (a)



$f = 0.8 \text{ KHz}$ $i = 80^\circ$ (b)

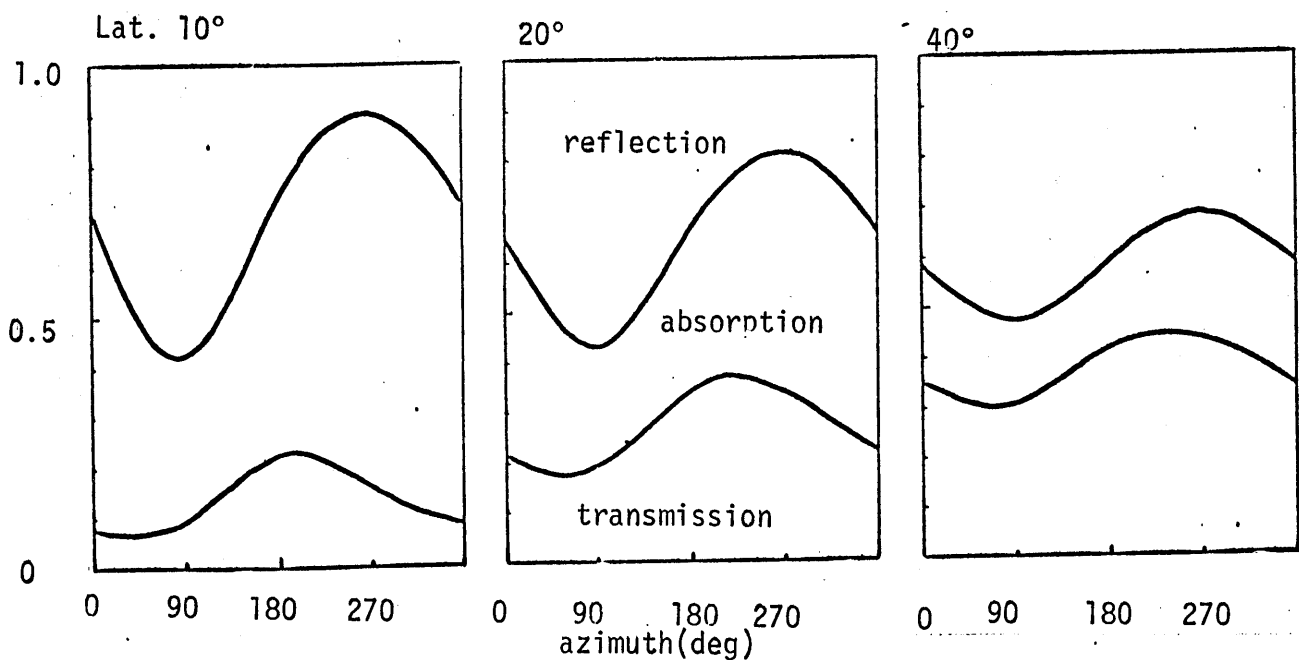


図2-12 木曽スラ波。電離層伝播における方位角依存(0.8 kHz)。
縦軸は入射電力を1としたときの透過、吸収および反射電力の
割合を示す。

緒度は 10° , 20° および 40° と変化させある。図2-11は周波数 5kHz の場合、図2-12は周波数 0.8kHz の場合の結果である。北半球を考へ、方位角 0° および 180° はそれがれ南から北への伝ばん、北から南への伝ばんを意味する。また 90° , 270° の方位角は西から東への及び東から西への伝ばんに対するものである。図2-12は入射電力を1とした時の、反射、吸収および透過における電力の表示である。

まず 5kHz の結果から次のことがわかる。

- (i) ホイッスル波のエネルギー透過は垂直入射に近づくにつれ、方位角 180° 附近で最大を示す。しかし oblique incidence では、この傾向はくずれ、 180° 以上の方位角において最大を示す。
- (ii) 吸收損失は 180° 以上の方位角において大きな傾向にある。しかもこの傾向は oblique incidence ではきわめて顕著に現われ、 270° 前後において最も吸収が強いようである。

次に、より低周波の 0.8kHz の結果は、 5kHz の結果と比較して、次のように要約することができる。

- (i) Steep incidence, oblique incidence とも、 5kHz に比べて透過に関する方位角依存性は顕著でない。すなわち $i=30^\circ$ では鋭ビードは現われない。しかし oblique incidence では、かなりには、さりとて $i=90^\circ$ の透過エネルギーの方位角依存性が出現し、一般に 180° 以上である。この点は 5kHz の結果と同じである。
- (ii) 吸収については、方位角 270° 前後において最大を示すようである。この点も 5kHz の結果と一致している。

本節で得られた木星ラジオ波の透過係数の緯度依存性や方位角依存性は、衛星等で観測される木星ラジオ波のスペクトルおよび強度の解釈では不可欠のものである。最近打ち上げられた日本の電波探査衛星(Radio Exploration Satellite, REXS) 1号は、地上のVLF送信局から木星ラジオ波をしばしば受信された。その強度、緯度変化は、本節で取り扱った透過係数の緯度変化と方位角依存性とを考慮に入れるときかなりよく説明できるといふ明らかになつた。²⁹⁾

2-3-4 下部電離層中のオイコスラ波の伝播に関する実験結果

D層および下部E層中のオイコスラ波の伝播は前節で理論的に論じた。ところが、¹⁾下部電離層中のオイコスラ波の伝播に関する実験的仕事はきわめて少なかつ。本節では、ロケットによる下部電離層中のオイコスラ波の伝播特性の結果を示す。ロケットは時間的制約はあるが、高度方向、変化とみなす場合にはきわめて有効である。本ロケット実験の主な問題点を列記すると、

- (i) 鹿児島(磁気緯度 20° N)の如き低緯度電離層内のオイコスラ波、伝播に付しては、Quasi-longitudinal (QL) 近似、Quasi-transverse (QT) 近似のどちらが適当か。
- (ii) オイコスラ波のダクト化は通常 F_2 層以高にて起るか否か。
あるいは、下部電離層までダクト化伸びてゐるか否か。
- (iii) 下部電離層中のオイコスラ波、伝播経路。
などである。

a) 実験方法

本実験は K-9M-26 号ロケットを用いて行なわれ、本機は東京大学鹿児島宇宙空間観測所(磁気緯度 20°)から 1969 年 8 月 24 日の地方時 17:03 1:27 から方位角 135° の方向に打ち上げられた。その軌道が図 2-13 に示されている。100 Hz から 10 kHz までの広帯域観測用のセンサ(アンテナ)としては、長さ 0.6 m のモールアンテナ、直徑 9 cm の球アンテナ および ループアンテナを時分割で使用した。これらの数種のアンテナは、電離層内における電波観測、感度の相互比較を目的としている。得られた広帯域信号は、広帯域テレメータにより地上へ伝送され、磁気テープに録音される。さらに、オイコスラ波の電界強度($\mu = 7.9$ 周波数 0.74 および 3.5 kHz (帯域巾はそれぞれ $100\text{ Hz} \pm 200\text{ Hz}$))はおもに測定された。主増幅器はストレート方式で、約 100 dB の利得を持ち、

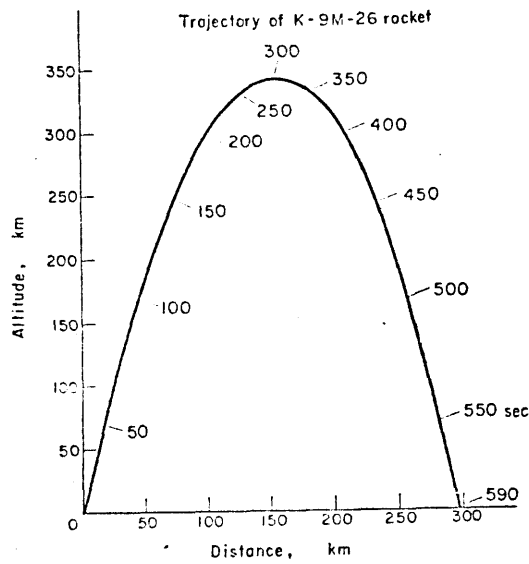


図 2-13 K-9M-26 号ロケットの軌道。曲線の
わきの数字は打ち上げ後的时间を表す。

ダイナミックレンジ $\pm 60 \text{ dB}$ である。これは 1 周波の出力信号は検波されて、
後、DC に変換され、レシーバー系へ送られる。

b) 結果および検討

打ち上げ時期が夏であるため、主として北半球に起きた電離層による
よく-known なホイップラ (これを ionospheric whistlers, 正確には short fractional-
hop whistlers という) が多数受信された。これらのホイップラは電離層プラズマに
よる分散だけを受け、磁気圏内の分散は受けられないホイップラである。以下
これらの分散および強度特性について順次述べる。

分散特性

図 2-14 は電離層ホイップラの高度とともにプラズマの分散効果を
次第に受け行く過程を周波数解析結果として示したものである。図中
一番上のスペクトルは打ち上げ時、空電研究所鹿児島観測所における地上
観測結果で、これから空電活動が高かたこと理解される。分散効果は

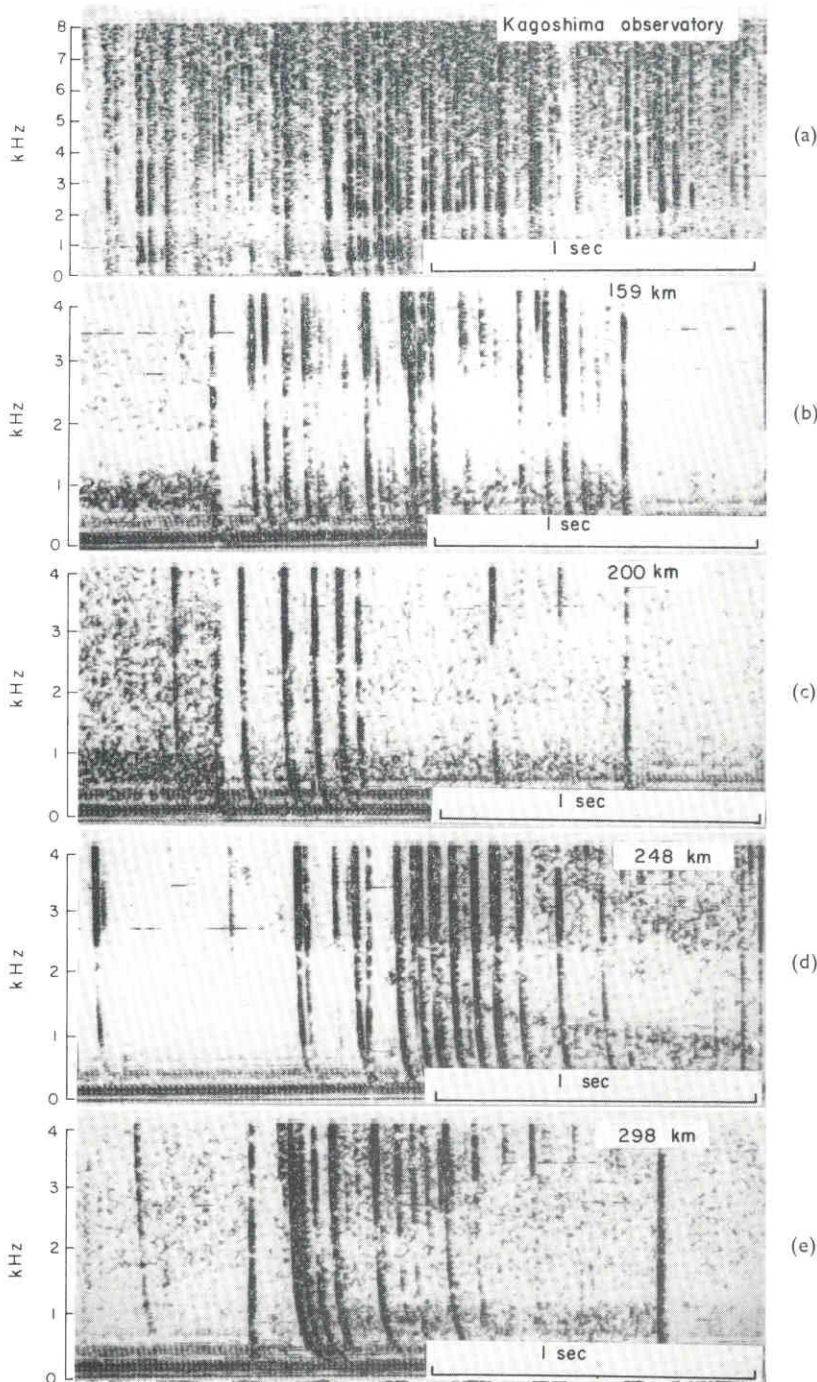


図 2-14 空間内層不規則の分散の高度変化

159 km の高度におけるものはそれほど顕著ではないが、低周波部分を見ると容易に理解できる。さらに高度が増し、電子密度が増加すると分散効果ははつきりと認められる。例えば、298 km の高度では高周波部分が傾斜し、しかも 1 kHz 以下の低周波部分は明瞭にその影響がかかる。この分散の高度依存性を評価する。7.5 inch/sec で金录音された信号を数倍の低速度で金录音し直し、それを音声周波解析機の時間引き伸ばし装置を用い、スペクトルをかせ。そのスペクトルにおいて二周波向の時向差を測定し、分散を決定する。高度 10 km 每の平均分散値の高度変化を図 2-15 に示す。图中の実は 10 km 每の平均分散値を表わし、誤差バー(error bars) は各 10 km 区間内の観測値の標準偏差の三倍の値を示している。これらの観測値と、実測の電子密度プロファイルと磁場強度に基づいて分散の計算を行ない、比較を試

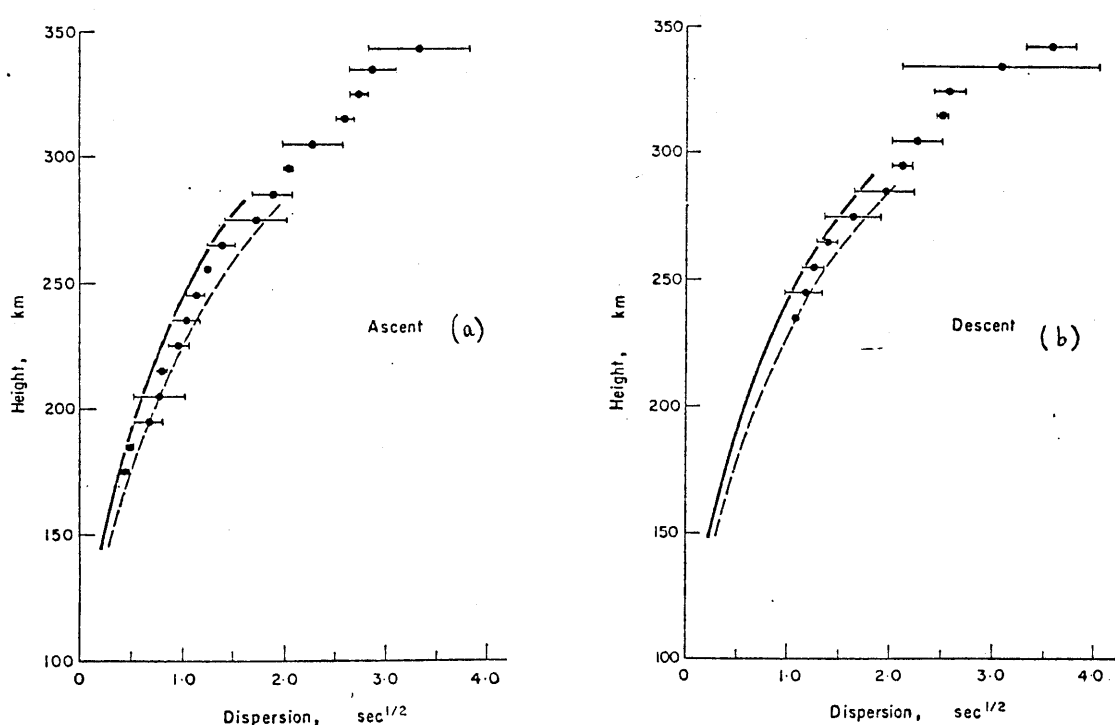


図 2-15 分散の高度変化。実は高度 10 km 毎の分散の平均値で、誤差バーは 3σ (すなはち標準偏差) の線である。実線および破線はそれぞれ非ダクト伝はん、ダクト伝はんを仮定した際の計算値の高度変化を示す。

2-3. QL 近似を仮定すると、分散 D は 3-2 節で詳しく述べるが、

$$D = \frac{1}{2c} \int_{\text{path}} \frac{f_{pe}}{\sqrt{f_{He}}} \left(\frac{\cos \alpha}{\sqrt{\cos \theta}} \right) ds \quad (2-34)$$

となる。ただし f_{pe} は電子プラズマ周波数、 f_{He} は電子ジャイロ周波数 c は光速である。 θ は波面法線方向と磁場とのなす角、そして α はエネルギー伝ばん方向と波面法線方向とのなす角を表す。下方から下部電離層へ本例では波とし进入すると、その屈折率が 1 に比べてきわめて大きいため、スネルの法則より波面法線方向は鉛直上方を向くと考えられる。したがって θ の値は鹿児島で 1345° となる。次にエネルギー伝ばん方向は α の近似といふ

$$\tan \alpha = -\frac{1}{2} \tan \theta \quad (2-35)$$

とえられる（3-2 節参照）。以上の事柄と、実測の電子密度分布および磁場強度分布を用ひ式 (2-34) の微積分を高度 100 km から行なう結果が図 2-15 の実線である。実測値と計算値とは一般的には、上昇時も下降時もよく一致しているといふ過言ではない。しかし実際には観測値の方が計算値よりも約 0.2 sec^{-1} 大きい。以上の計算ではいわゆる magneto-ionic ducting のみを考慮した非ジグマト伝ばんの場合であるが、今 波が 100 km 以上高さをダクトに捕捉されると仮定した際の分散の高度変化を調べみよう。この際の計算結果が破線で示されている。計算ではダクトの enhancement factor は 0 といふ。図から実線、破線のどちらかより観測値に近いとはいひ難い。ところが実際には波の捕捉が起つてみると、鹿児島の緯度におけるダクトの enhancement factor は 100% 程度なりねばならない。³⁰⁾ するとダクト伝ばんの際の破線は 40% 左側へずれ、観測値とは大きな差を生ずる。そのため非ジグマト伝ばんに基づいて計算値の方が実測値に近いと結論できる。さて前述した図中の実線と観測値との差について考察しよう。

可能性として三つのもを挙げておきよう。(i) 計算で無視したD領域や地表と電離層から成る空間における分散である。(ii) 計算に用いたQL近似や鉛直上方の波面法線等が満足されていない。(iii) 分散測定における誤差。(i)の影響について、高度100km以下における分散を典型的電子密度分布²⁶⁾に対して評価すると、 $0.04 \text{ sec}^{1/2}$ である。飛翔中に存在するスピラティックE(E_s)層が存在していたら、この効果はせいぜい $0.07 \text{ sec}^{1/2}$ である。これより下部電離層の分散は合計 $0.11 \text{ sec}^{1/2}$ となる。一方地表・電離層から成る導波管中の分散は無視できる。次に、(ii)と関連して、もし下部電離層が高緯度方向に向かって傾いていたとすると、数%計算値は大きくなる。(iii)の分散の測定誤差は $0.05 \text{ sec}^{1/2}$ 前後である。以上のことを総合すると、 $0.2 \text{ sec}^{1/2}$ のくいちかいは上述の三作用の重畠として現われたものであろう。

もう一つ注目すべきことは、特定の高度において分散の大きな散らばりが存在することである。すなはち上昇時、下降時とも $270 \sim 290 \text{ km}$, $300 \sim 310 \text{ km}$ そして $330 \sim 350 \text{ km}$ の領域において大きなエラーバーが認められる。また上昇時の 200 km 前後にも存在する。このことはそのような局所における伝播路の多様性を示すものと考えられる。

強度特性

電離層ホイッスラの強度を、 740 Hz と 3.5 kHz の二つの特定周波数²⁷⁾で測定した。受信アンテナは長さ1mのモールアンテナで、ロケット軸に垂直に突き出した。その実効長は約0.5mである。図2-16は各周波数における時間経過につれてのホイッスラの強度変化である。最大、最小レベルはスピニ周期一秒のうちの最大強度と最小強度を取りしたものである。ホイッスラ波の波面法線方向、電界成分は波面内の電界成分とは同程度の大きさを持っているが、これは電界は transverse だという仮定^{28), 29)}で得られた。

2-13。この仮定は以下の結果と本質的に変えないとしない。波の電界測定の際の最も重要な問題はアンテナインピーダンスの問題である。測定高度にわたる、^{33,33)}アンテナインピーダンスの計算を行なうと、我々の周波数領域では抵抗分の方が容量分よりも大きいが、その値は前置増幅器の入力インピーダンスよりは一桁程度小さいことがわかった。したがって測定強度は波自身の強度を正しく反映していると考えよう。図2-16から、一般に3.5 kHzの電界強度は方程式 $0.74 \text{ kHz} + 30 \text{ dB}$ と強度に比例する。 3.5 kHz における最大レベルは受信器入力 85 dB の飽和値に達している。これは電界強度 40 mV/m に相当する。最小レベルは両周波数とともに約 $1 \mu\text{V/m}$ である。荒ら表現をすると、両周波数ともに最小レベルは高度とともに減少する。この電界強度の変化は屈折率の高度変化による影響だけでは説明がつかず、源の空電の強度の多様性による。すなはち 0.74 kHz および 3.5 kHz の ELF, VLF 両成分の飽和値に達しない電離層ホイップスラントについて両周波数の強度比較を行なう。図2-17は 3.5 kHz の強度を 0.74 kHz に対する比の高度依存性である。図から高度 300 km 附近では、 3.5 kHz の強度が 0.74 kHz よりも 30 dB 程度強いことがわかる。さてこの強度比を両周波数における屈折率の変化と考慮して 100 km の高度における比に変換、さらにこの強度比を下部電離層中の吸収のちがいを考慮して計算すると、電離層下では 47 dB の強度比となる。この比は明らかに電離層下の伝播と源のスペクトル ν_1, ν_2 のスペクトル $\nu_1 \sim 1.5 \text{ kHz}$ と $\sim 2.5 \text{ kHz}$ の周波数で著しく強度が減少しており、これは受信されるホイップスラント電離層・地表導波管の伝播損失を受けていることを示唆している。 $\sim 2.5 \text{ kHz}$ の遮断周波数は電離層・導波管モードの一次モードの遮断周波数に対応し、これは反射高度が約 60 km であることを意味している。^{34,35)} Chapman and Macario の実測によれば、昼間時の 0.74 kHz の導波管伝播の減衰係数は 3.5 kHz よりも 1000 km あたり約 3 dB 強いと言っている。³⁶⁾ しかし

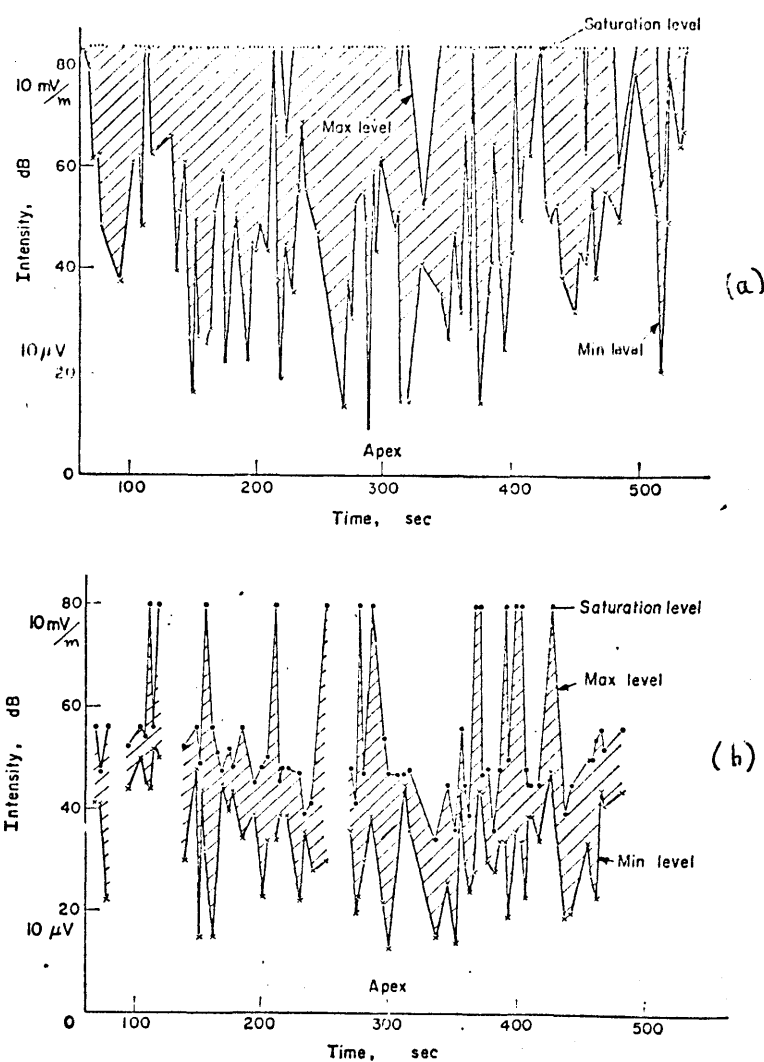


図 2-16 窓界強度の時間変化。 (a) は 3.5 kHz , (b) は 740 Hz の結果である。

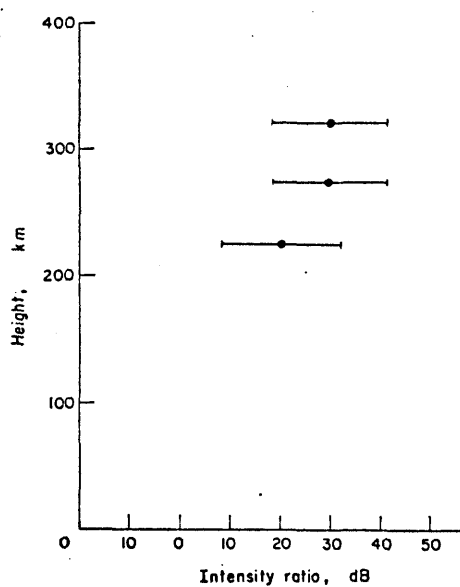


図 2-17 3.5 kHz 窓界強度と 0.74 kHz の強度との比と高度変化。

源において 3.5 kHz の強度が 0.74 kHz よりも 40 dB 大きいとすると、伝はる距離は $\sim 2500 \text{ km}$ となる。いずれにせよ、観測された電離層ホイップラは源から数千 km 電離層・地表導波管内を伝はんした後、鹿児島附近における電離層へ進入したものである。

本節の結果を要約すると、次のようにある。

- (i) 磁気緯度 20° の低緯度域も E 層以高では QL 近似が成立する。
- (ii) E 層領域では非ダクト伝はんにはおり、ダクトの存在は認められない。
- (iii) 源からかたりの距離伝はんした後でも、ホイップラ波とい電離層に進入し得る。

2-4 下降ホイップスラ波の電離層内反射(波面法線方向が透過円錐外にある場合)

下降ホイップスラ波の電離層内反射および透過問題は、本章前半の下方から電波が入射する場合と同様、電離層内伝はん²⁾³⁾⁴⁾あり、同じ波動論的取り扱いによれば、本章で論じた。しかし、この問題は第3章の磁気圏内伝はんと密接に関係している。すなわち、磁気圏ホイップスラの電離層突抜けやエコートレインホイップスラ等の機構を明らかにするという意味であるばかりではなく、磁気圏内³⁸⁾生起するVLF放射の主たる損失機構⁵⁾もあり、その定量的評価はVLF放射の成長率の算定にも影響を与える。³⁸⁾2-1節で述べたように、下降ホイップスラ波の波面法線方向が透過円錐内にあるか否かにより、その特性が異なる。したがって以下では両者の場合について詳しく述べる。

本節では波面法線方向が透過円錐外にある場合を取り扱う。この場合には、入射ホイップスラ波は全反射を受け磁気圏へ戻る。また電離層下へのエネルギー透過は、2-3-2節で取り扱った減衰域中のトンネル透過となり、きわめて少ないと考えられ、入射ホイップスラが電離層との高度で反射されるかの問題となる。

この問題を取り扱うには一般にBooker quarticを用いればよい。かくしてはBooker quarticと等価な、取り扱いのより簡単なスネルの法則によると、最大電子密度領域へ実角(real angle)で入射する下降ホイップスラ波の波面法線方向を追跡し、反射レベルを決定する。ある角度で入射したホイップスラは下方へ進むにつれ、その波面法線方向は水平に近づき、遂には水平となる。このレベルを“反射レベル”と定義している。用いた電子密度分布は夜間の典型的モデルを採用し、図2-18に示す。以下の解析では磁気子午面内伝はんのみを対象としている。図2-18ではF₂層の最大電子密度高度は315km²⁾

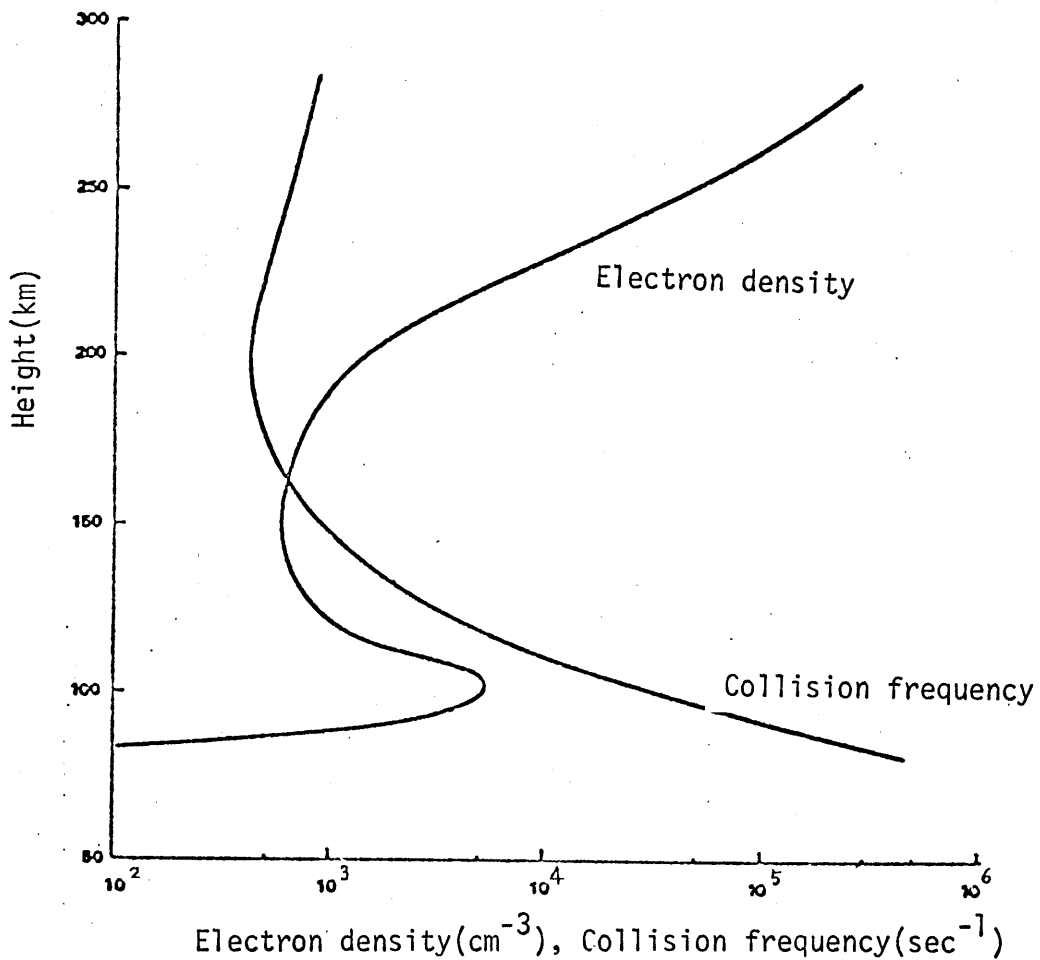


図 2-18 用いた夜間の典型的電離層プロファイル。

ある θ 、この高度 z ある実角の入射角 Θ 波が入射するとする。スネルの法則は

$$n(\theta) \sin \Theta = \text{const} \quad (2-36)$$

とえられる。ただし θ および Θ はそれぞれ波面法線方向から磁場および鉛直なす角を表す。 $n(\theta)$ は本イクスラモードに対する位相屈折率である(3-2節参照)。 const は315 kmにおける入射角と電子密度によって決定される値である。屈折率の式にはオシと衝突の効果は考慮に入れてない。各高度において電子計算機を用い、iteration で式(2-36)を満足する Θ を求める。すると入射波が下降するにつれ、鉛直なす角が次第に増大し、遂にある高度にてインベクトルが水平、すなわち $\Theta = 90^\circ$ となる。これが反射レベル

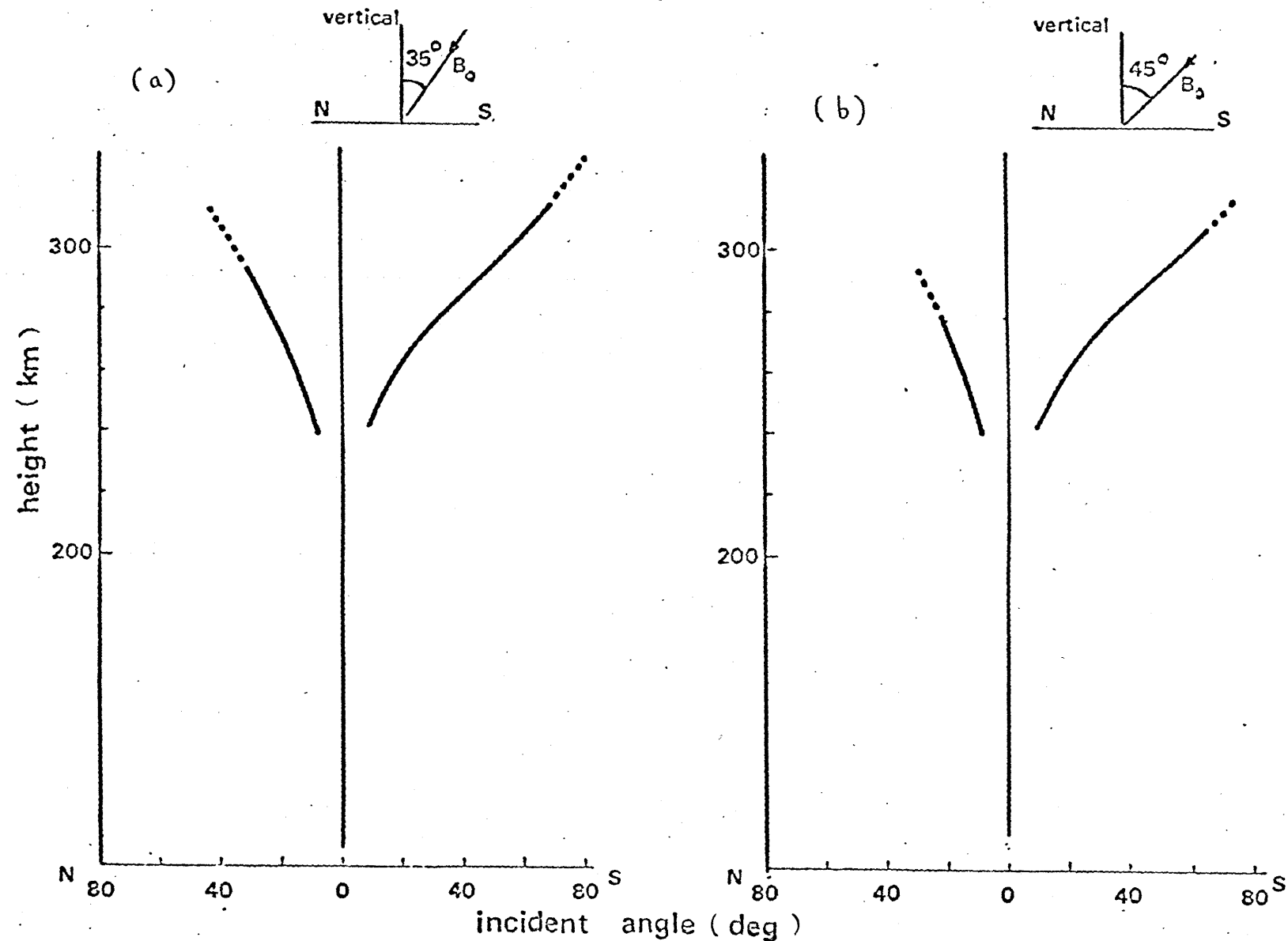


図 2-19 入射角による反射レベルの変化。(a)は地球磁場が鉛直と 35° の場合、(b)は磁場が鉛直と 45° の場合である。

である。このレベル以下の高度では波はいわゆる evanescent となり、電離層下への透過はトンネル効果によつてのみ可能であるが、一般にはその透過エネルギーはきわめて少ない。反射レベルの入射角に対する変化を計算した結果が図2-19 である。(a) 図は磁場と鉛直とのなす角が 35° の場合、(b) 図は 45° の場合である。用いた周波数は $1, 3, 10$ および 20 kHz であるが、周波数 $1 = \pm 3$ 差違は認められなかつた。また実線で示されている部分は最大電子密度高度ではすくに実角の入射角が存在し得ない、つまりそれ以上の高度に反射レベルがあることを示している。図から次の諸実理角が理解される。

- (i) 反射レベルは、我々が問題とする周波数領域においては周波数に依存しないと考えよ。
- (ii) また反射レベルは磁気緯度にもほとんど依存しない。
- (iii) 反射レベルの最大電子密度領域における入射角による変化は N側と S側とは非対称である。明らかに磁場の存在による効果と考えられる。一般に S側の入射角に対して反射レベルの変化が比較的ゆるやかである。S側 60° の入射角に対して 305 km の反射レベルが入射角の減少とともに直線的に減少し、S 30° では 275 km の反射レベルを呈し、その後は入射角の減少とともに急激に低下する。一方 N側については、 30° の入射角の際の反射レベルは S側の 30° の場合よりも高高度の 290 km で、入射角の減少とともに急激に減少する。一般に N側は S側と同じ入射角の場合よりも $5 \sim 10 \text{ km}$ 程度反射レベルは高いといえる。さらに入射角が鉛直に近づくと著しい反射レベルの低下が認められる。

上述した事柄を利用して、ロケットによるホイップ、発生頻度の高度分布より、電子密度分布が既知であれば、最大電子密度領域における入射波面法線方向にに関するある程度の情報が得られるかもしれません。これは今後の問題である。

以上の反射レベルの算定においては、イオンおよび衝突の効果を無視したが、伝播の途中において両効果が本質的な役割を果たしていることは言しておかねばならない。高輝度方向への伝播（図2-19 の S側に相当する）では反射後、また低輝度方向への伝播では反射前に、磁場と直角な伝播に遭遇する。衝突がない時には、磁場を横切る伝播には、イオンの存在を考慮に入れると低部混成周波数（Lower hybrid resonance frequency, LHR frequency）よりも低周波数においてのみ可能で、LHR周波数よりも高い周波数成分は伝播が不可能である。³⁹⁾ ところがエコートレインホイップ等において10kHz程度の、当然LHR周波数よりも高いと考えられる周波数成分も受信されている。これは衝突の効果によるものである。すなわち、衝突が存在するため、LHR周波数よりも高周波の波が磁場を横切る伝播することができない。換言すれば、LHRは、衝突が存在する際には、real height では起り得ることに關係している。

2-5 下降ホイップラ-波の電離層内反射および透過(波面法線方向か 透過円錐内にある場合)

波面法線方向か透過円錐内にある場合には、下降ホイップラ-波、透過および反射は問題は媒質のパラメータの不均質に基づく部分反射(partial reflection)が重要な因子となる。波動論的取り扱いによつてのみ理解される。

2-5-1 下降ホイップラ-波の下部電離層透過係数

まず典型的な夜間時。電子密度および電子衝突周波数分布に対して、下降ホイップラ-波の下部電離層透過係数を計算する。用いた計算方法は2-3-3節で取り扱いを下降波の場合に拡張したものである。この方法を用いた下降ホイップラ-波の透過係数、射出角(exit angle)に対する変化の様子が図2-20である。ただし用いた周波数は 10 kHz である。(a)図は石炭気緯度 40° の場合、また(b)図は石炭気緯度 10° の場合の結果である。図から次のことがわかる。

- (i) 石炭気緯度が高いほど吸収が少なくて、透過係数は大きくなる。これは2-3-3節の電離層下からの電波入射の場合と定性的には一致している。
- (ii) 最大の透過係数は下降波の射出角が磁力線方向(図中の経緯の点の実線で示されてる角)と一致する場合に起る。
- (iii) 低緯度から高緯度への射出の場合には、より大きいエネルギー透過が起きる。すなわちS側ではN側に比べて、同じ射出角に対し、より小さなエネルギー透过しか起きない。

周波数依存性については2-3-3節の電離層からの入射の場合と定性的には一致する。一般的に言つて、下降ホイップラ-波の電離層透過係数はかなり大きいので、地表から電波反射が重要な役割を果たしているといふ

予想される。そこでこの実験を明らかにするために、次節では地表の存在が下降木イッシュ波の底部界面透過にいかなる影響を持つかを論ずる。

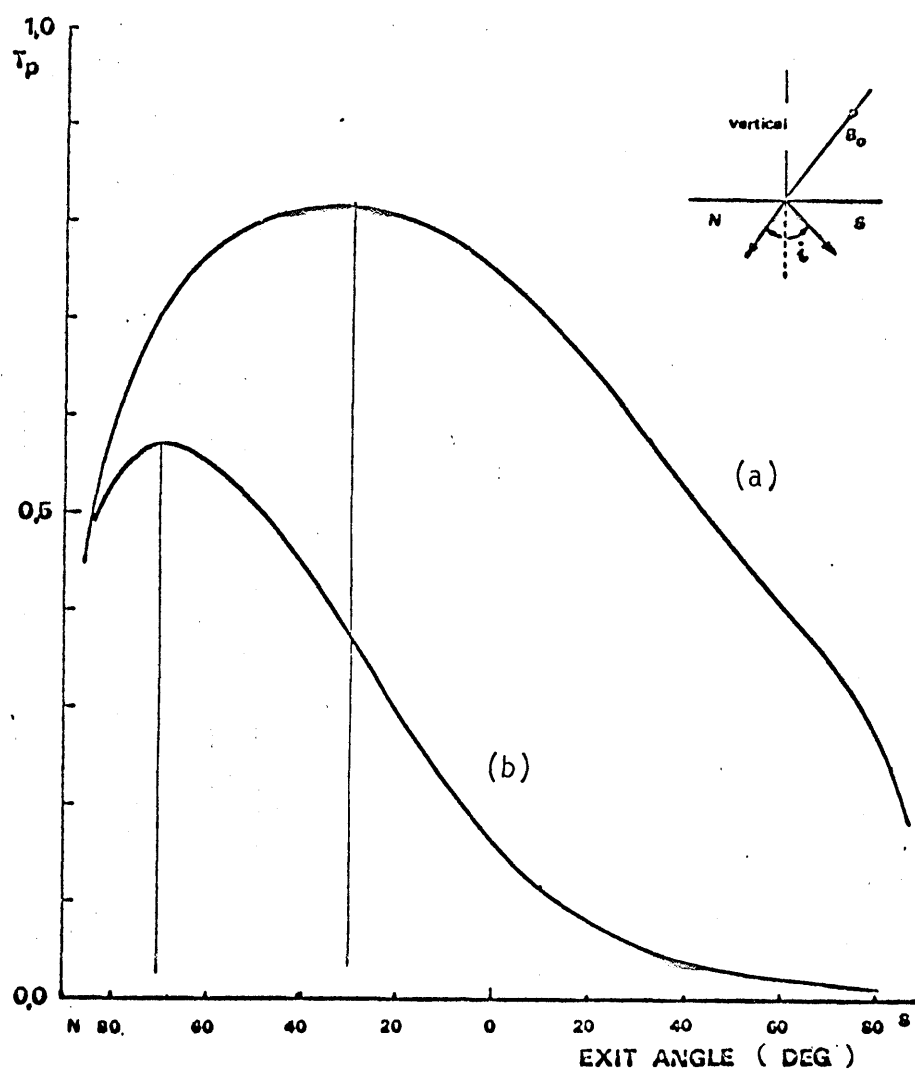


図2-20 下降木イッシュ波の底部界面透過係数。(a)は磁気緯度40°の場合、(b)は磁気緯度10°の場合である。

2-5-2 高緯度における下降ホイッグ波の電離層透過特性

前節で指摘したように地表からの反射が重要な因子となることを考慮、電離層・地表向空間を考慮に入れ、現実的な下部磁気圏モデルに対し、鉛直に下降いくホイッグ波の透過および反射特性を論じる。地球磁場は均質で、鉛直方向に向いているとする。

a) 下部磁気圏モデルと反射係数

下部磁気圏の電子密度分布は、⁴⁰⁾ 衛星観測や、後方散乱法やホイッグ法等の地上観測により得られる。⁴¹⁾ その結果、電子密度分布は大きく変動するところがわかる。そこで、次のような平均的なモデルを採用した。下部磁気圏を図2-24に示すように五つの領域に分け、各領域での電子密度、衝突周波数分布を示している。観測より、磁気圏領域では電子密度、高度に

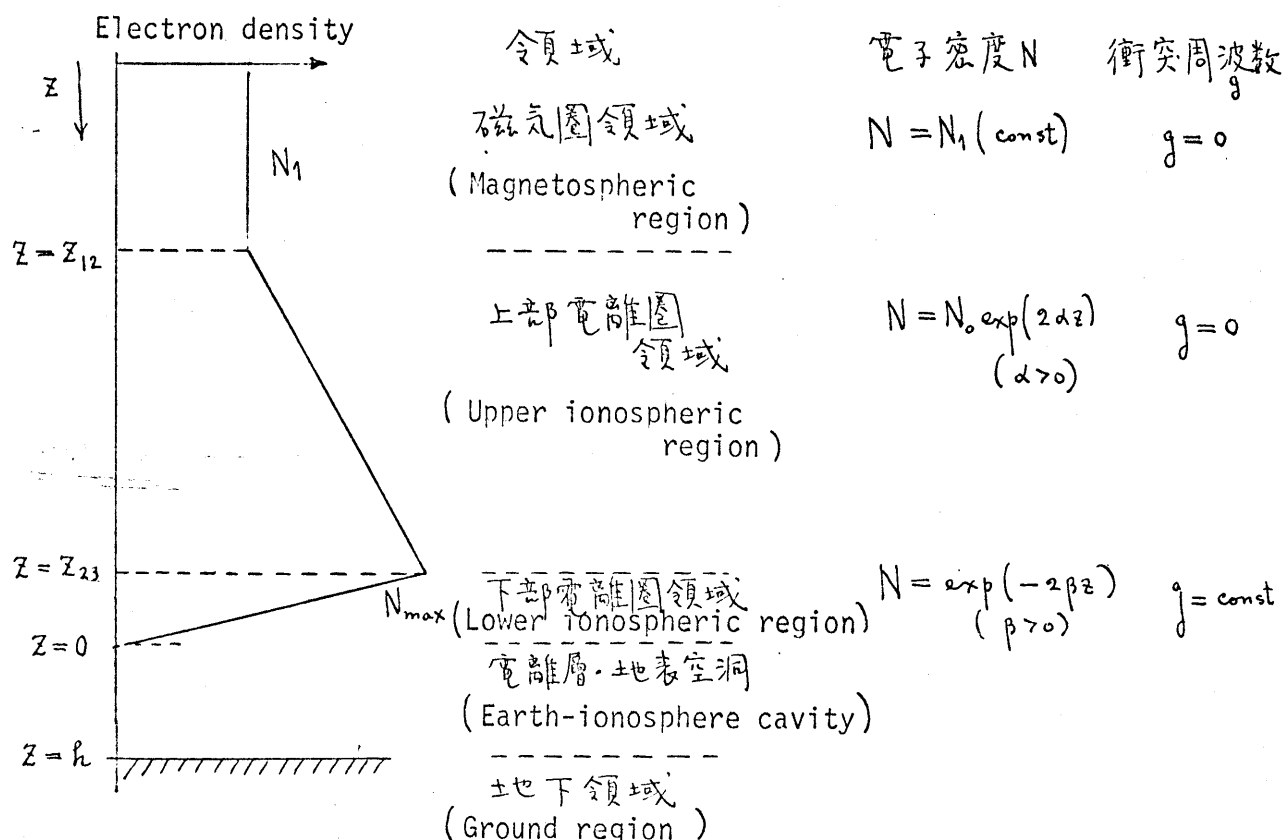


図2-24 下部磁気圏モデル。本節では衝突周波数を \mathbf{g} としているので注意されたい。

に対する減少率はきわめて小さいので、モデル化は一定としてある。また上部および下部電離圏領域では合理的な指數関数分布を用いていた。下部電離圏中で、電子衝突周波数は高度とともに変化するが、実効的に一定とし、その値を複々変化させることによつて実際の場合に近づける。全体のプロファイルを決定するには次の四つの量を与えねばならない。すなはち 磁気圏領域電子密度 N_1 、 F_2 層の最大電子密度 N_{max} および二つの境界レベル z_{12}, z_{23} である。かゝる諸量が与えられると、必然的に電子密度勾配 α および β が決定される。

主軸の正方向を鉛直下方とする。小振幅中の平面ホイッグラ波に対する波動方程式 1+2-3-1節で述べたように

$$\frac{d^2\phi}{dz^2} + k_0^2 \left[1 - \frac{X(z)}{(1-Y-iZ)} \right] \phi = 0 \quad (2-37)$$

である。ただし $\phi = E_x + iE_y$ 、 Y, Z および $X(z)$ は フラズマパラメータを表す。 k_0 は自由空間の伝はん定数、 i は時間因子 $= i \exp(i\omega t)$ を仮定したもの。式(2-37)で $X(z)$ は各領域の電子密度分布を代入し、各領域との電磁界を求めよう。

磁気圏領域での界は次式で与えられる。

$$\phi = E_i \exp(-ik_1 z) + E_r \exp(ik_1 z) \quad (2-38)$$

ただし第一項、第二項はそれぞれ入射波と反射波を表すし、 E_i, E_r はその振幅である。また k_1 はこの領域での伝はん定数である。

次に上部電離圏領域での電子密度分布を式(2-37)に代入すると、

$$\frac{d^2\phi}{dz^2} + k_0^2 \left[1 + e^2 N_0 \exp(2dz) / m_e \epsilon_0 \omega (\omega_{He} - \omega) \right] \phi = 0 \quad (2-39)$$

となる。式(2-39)で $z = \ln t = \exp(\alpha z)$ なる変数変換を施すと、式(2-39)は式(2-40)に変形される。

$$\frac{d^2\phi}{dt^2} + \frac{1}{t} \frac{d\phi}{dt} + \nu^2 \left[\frac{1}{t^2} + \frac{e^2 N_0}{m_e \epsilon_0 \omega (\omega_{He} - \omega)} \right] \phi = 0 \quad (2-40)$$

たゞし $\nu = k_0/\omega$ すなは式(2-40)の解は二つの独立な解の和として次のように表わされる。

$$\phi = A J_{iv}(\delta e^{\alpha z}) + B J_{-iv}(\delta e^{\alpha z}) \quad (2-41)$$

たゞし $\delta = \nu \sqrt{e^2 N_0 / m_e \epsilon_0 \omega (\omega_{He} - \omega)}$ で $J_{\pm iv}$ はオーディオの第一種ベッセル関数である。

同様に下部電離層領域の界は

$$\phi = C J_{ip}(\gamma e^{-\beta z}) + D J_{-ip}(\gamma e^{-\beta z}) \quad (2-42)$$

と与えられる。ここで $\mu = k_0/\beta$, $\gamma = \mu \sqrt{e^2 / m_e \epsilon_0 \omega (\omega_{He} + ig - \omega)}$ (g は衝突周波数) である。

電離層・地表空洞中の界表示は式(2-43)と与えられる。

$$\phi = E \exp(-ik_0 z) + F \exp(ik_0 z) \quad (2-43)$$

また地下領域は一般に不完全導体であるとして、界は

$$\phi = G \exp(-ik_g z) \quad (2-44)$$

と表示される。ただし $k_g = k_0 \sqrt{\kappa - j\sigma / \omega \epsilon_0}$ 。ここで κ および σ は地面の比誘電率および導電率である。

以上の表式中、 E_i, E_r および A から G は未定係数であり、境界条件により決定されるものである。

ここで得られた界の表式に境界条件を課す。 $z = z_{12}, z_{23}, 0$ および h における境界条件は界の連続性と、界の z に対する微分の連続性である。これら境界条件を適用すると、下降ホイント波に対する電界反射係数が得られる。

$$T = \frac{E_r}{E_i} = -\frac{\Delta_x}{\Delta} \quad (2-45)$$

たゞし Δ は式(2-46)と与えられる行列式で、式(2-46)中のプライムは3, 3]数による微分を表す。 Δ_x は式(2-46)の第一列を列ベクトル $(-e^{-ik_1 z_{12}}, ik_1 e^{-ik_1 z_{12}}, 0, 0, \dots)$ で置き換えたものである。

$$\Delta = \begin{vmatrix} e^{ik_1 z_{12}} & -J_{iv}(\delta e^{\alpha z_{12}}) & -J_{-iv}(\delta e^{\alpha z_{12}}) & 0 & 0 & 0 & 0 & 0 \\ ik_1 e^{ik_1 z_{12}} & -[J'_{iv}]_{z_{12}} & -[J'_{-iv}]_{z_{12}} & 0 & 0 & 0 & 0 & 0 \\ 0 & J_{iv}(\delta e^{\alpha z_{23}}) & J_{-iv}(\delta e^{\alpha z_{23}}) & -J_{i\mu}(\gamma e^{-\beta z_{23}}) & -J_{-i\mu}(\gamma e^{-\beta z_{23}}) & 0 & 0 & 0 \\ 0 & [J'_{iv}]_{z_{23}} & [J'_{-iv}]_{z_{23}} & -[J'_{i\mu}]_{z_{23}} & -[J'_{-i\mu}]_{z_{23}} & 0 & 0 & 0 \\ 0 & 0 & 0 & J_{i\mu}(\gamma) & J_{-i\mu}(\gamma) & -1 & -1 & 0 \\ 0 & 0 & 0 & [J'_{i\mu}]_0 & [J'_{-i\mu}]_0 & ik_0 & -ik_0 & 0 \\ 0 & 0 & 0 & 0 & 0 & e^{-ik_0 h} & e^{ik_0 h} & -e^{-ik_0 h} \\ 0 & 0 & 0 & 0 & 0 & -ik_0 e^{-ik_0 h} & ik_0 e^{ik_0 h} & ik_0 e^{-ik_0 h} \end{vmatrix}$$

(2-46)

b) 数値計算結果と討論

以下の図は夜のおよび昼間モデルに対する下降ホイッスル波の反射係数(1/Ω)の数値計算結果を示す。夜間および昼間モデルを規定する諸量を表2-2に示す。反射係数の計算では地表からの反射の影響を考慮する目的であるので、地表の存在を考慮した場合と考慮しない場合の結果の比較を行なう。前者のモデルを“終端モデル”，後者を“非終端モデル”と名付ける。図2-22, 2-23は非終端モデルに対する夜間および昼間時の反射係数の周波数特性の値をパラメータとして描かれている。図2-22の夜間時の結果について吟味してみよう。 $\Omega \times 10^3$ は 10^4 sec^{-1} である。反射係数は 1 kHz 以下の周波数領域では周波数とともに低下し、 2 kHz から 4 kHz 附近では振動を伴つながら低下する。その後は周波数が高くなるにつれ、ゆるやかに上昇を示す。高周波領域では Ω の値に対する結果はほとんど一致する。数値例として 6 kHz 以上の周波数に対する反射係数は

表 2-2 夜間および昼間モデルを規定する諸量

	N_1 (cm^{-3})	N_{\max} (cm^{-3})	z_{12} (km)	z_{23} (km)
Night	1×10^4	3×10^5	-1000	-200
Day	2×10^4	1×10^6	-1400	-200

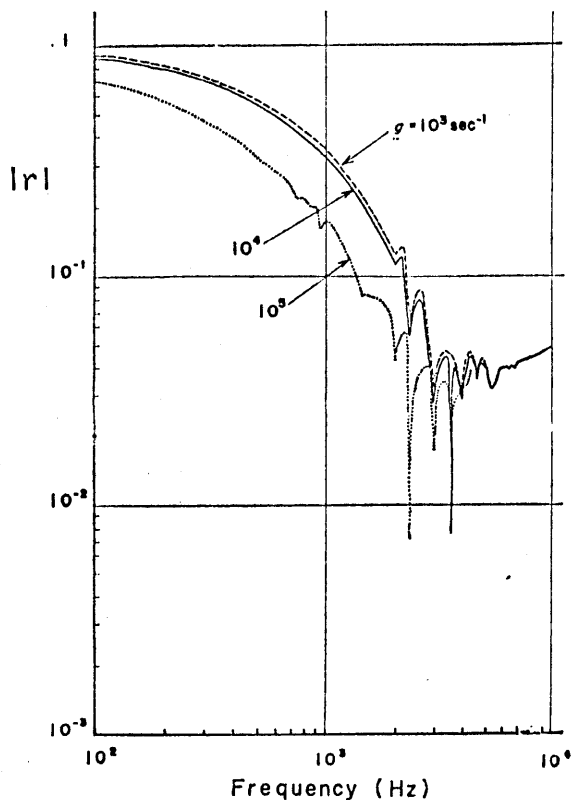


図 2-22 夜間時の非終端モデルに対する反射係数の周波数特性。

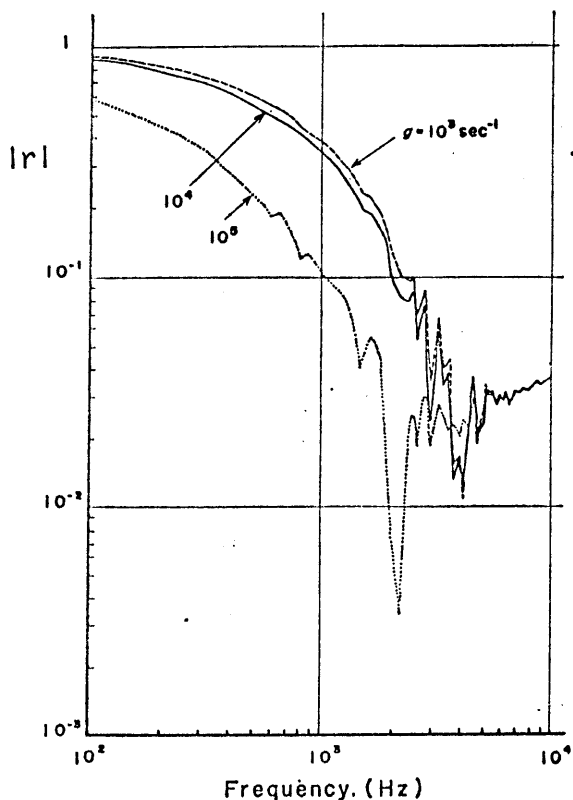


図 2-23 昼間時の非終端モデルに対する反射係数の周波数特性。

4×10^{-2} から 5×10^{-2} まであり、反射エネルギーはきわめて少なくて、入射エネルギーの大部分が電離層下へ透過するといふ理解される。一方 $g = 10^5 \text{ sec}^{-1}$ は増加した時は、低周波領域ではかなり反射係数が減少状態となるが、数 kHz 位から上述の g 値に対する結果に近づく。昼間時に対しても反射係数の周波数特性はほとんど同様である。たゞ数 kHz 附近の振舞がいくぶん異なる程度である。両図中の反射係数の振動波形は一波の干涉効果のためである。⁴³⁾

次に終端モデルについての計算が図 2-24 である。図 2-24 は夜間時の結果で、図(a)は地面の完全導体の場合の、また図(b)は不完全導体の場合の結果である。不完全導体に対する諸定数としては、最も損失の大きい乾燥地に対する比誘電率 $K=4$ より導電率 $\sigma = 10^{-5} \text{ S/m}$ を採用した。しかし VLF, ELF 帯では、地表は完全導体と考えよう。図 2-25 は昼間時の結果を示す。

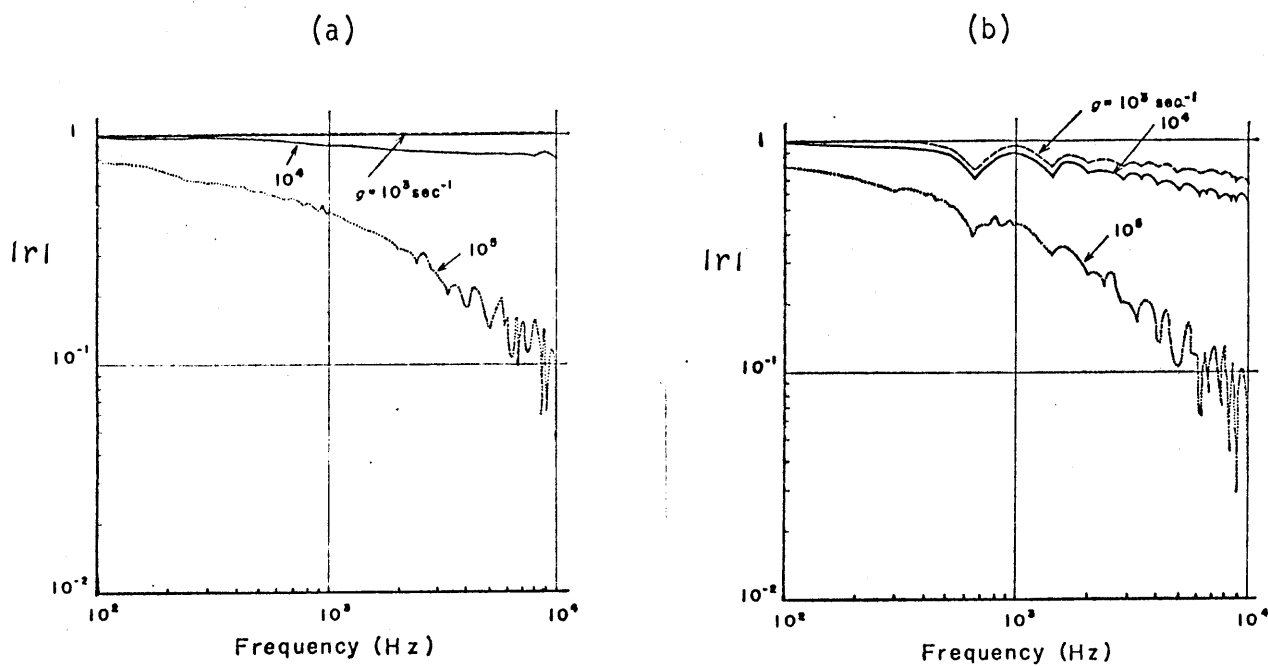


図2-24 夜間時の終端モデルに対する反射係数の周波数特性。(a)は地表を完全導体とした場合、(b)は不完全導体とした場合の結果である。 $h=80\text{ km}$ 。

ものである。図2-24, 2-25と図2-22, 2-23の非終端モデルと比較して、次の諸実験結果を摘んでみよう。

- (i) g 値が 10^3 から 10^4 sec^{-1} の時には、終端モデルの反射係数は非終端モデルの場合に比し、著しく 1 に近づく。これは昼夜とも同じである。
- (ii) g が 10^5 sec^{-1} という強い吸收のある際には、反射係数は非終端モデルの場合よりも全周波数において、幾分増加している程度で、低 g 値に対する時よりも地表反射の効果は顕著ではない。

要実(i)は非終端モデルの際、透過波の大部分が、強力な反射体即ち地表の存在により再び磁気圏へ進入しないことを物語っている。高緯度では吸収が少ないので、より明瞭に地表反射の効果が現われる。不完全導体の地表面では同じ g 値にせよ、完全導体の時よりも、反射係数は地中の損失による減少している。これは反射損失を衝突周波数 g_0 と周波数 f の関数として描いたのが図2-26である。用いた周波数は 4 kHz である。図から

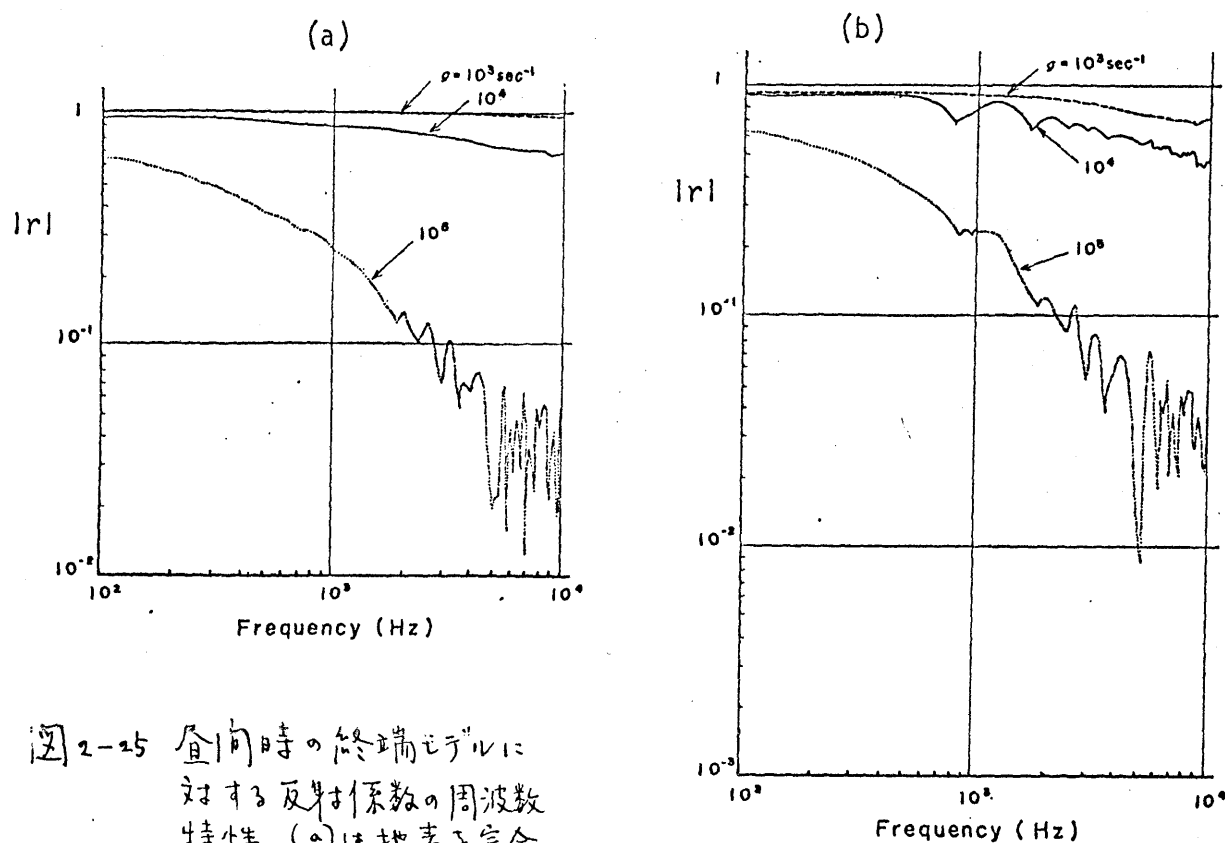


図 2-25 直向時の終端モデルに対する反射係数の周波数特性。(a)は地表を完全導体とした場合、(b)は不完全導体とした場合の結果である。
 $h = 40 \text{ km}$ 。

昼夜とも $\rho \approx 10^5 \text{ sec}^{-1}$ 程度から損失が著しく増加するが、実際の電離層に対する低 ρ 値ではせいぜい数 dB 程度であることがわかる。

次に終端モデルにおける透過係数について調べる。この透過係数とは従来の透過係数とは異なり、磁気圏領域の入射波境界に対する、すなわち電離層下端における全電界との比と定義している。つまり透過係数 t は次式によって得られる。

$$t = \frac{E + F}{E_i} \quad (2-47)$$

ただし E/E_i および F/E_i は式 (2-45) と同様な行列式の比とえられる。図 2-27, 2-28 は透過係数の周波数特性を完全導体地表の場合について計算したものである。 10^4 sec^{-1} 以下の ρ 値に対しては 10^4 sec^{-1} と同じ結果を示してない。まず透過係数が 1 より大きくなるのは、このことは、屈折率の大きい磁気圏

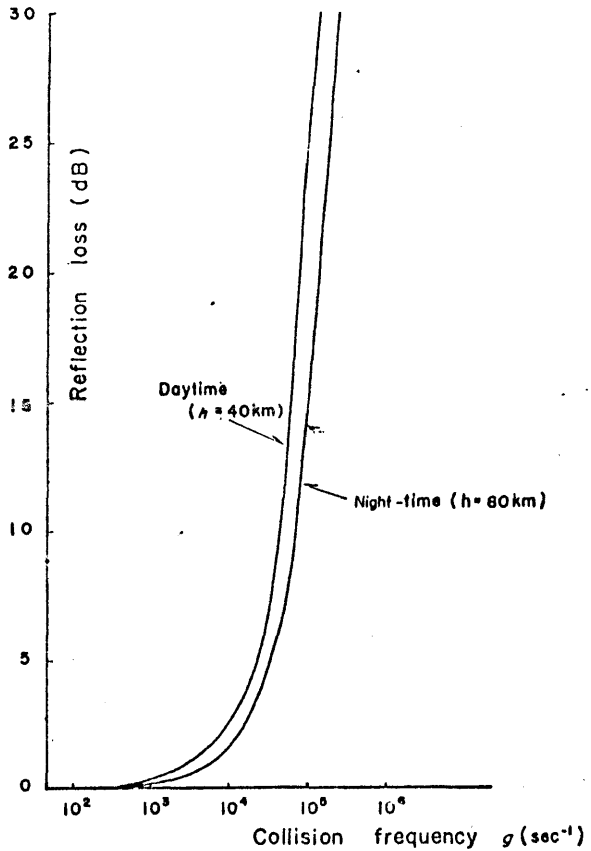


図2-26 反射損失。衝突周波数による変化。

領域から屈折率の小さな領域への伝播であるが、電界強度の比は1よりも大きくなり得る。図2-27 から次のことがわかる。

- (i) 透過係数は 700 Hz 附近の周波数では急湯立に増加し、さらに周波数が上がると、一般的な傾向として次第に減少していく。
- (ii) 1 kHz 以上の周波数領域、特定周波数において、透過係数は最小値を現われる。

要す(i)の 700 Hz 附近での透過係数のビーグーは二つの事柄の重畠として現われると考えられる。つまり低周波ほど反射が強いこと、高周波では透過係数は荒い近似をすれば屈折率の平方根に比例するため高周波ほど透過は減少するといふことである。図2-27 における透過係数の最小の現われる周波数は 1.9, 3.8,

5.6, 7.4 および 9.4 kHz², 基本周波数が 1.9 kHz の調和関係にある。この基本周波数は、電離層・地表空間の向隔の自由空間中の波長の半分に等しく f_0 [周波数] に対応する。以上は $\tau = 0$ のレベルでの振舞であるが、本取り扱いは任意の高度に拡張することはでき、各高度での透過係数の周波数特性を理解することは、ロケットや衛星観測におけるスペクトル解析には有益である。

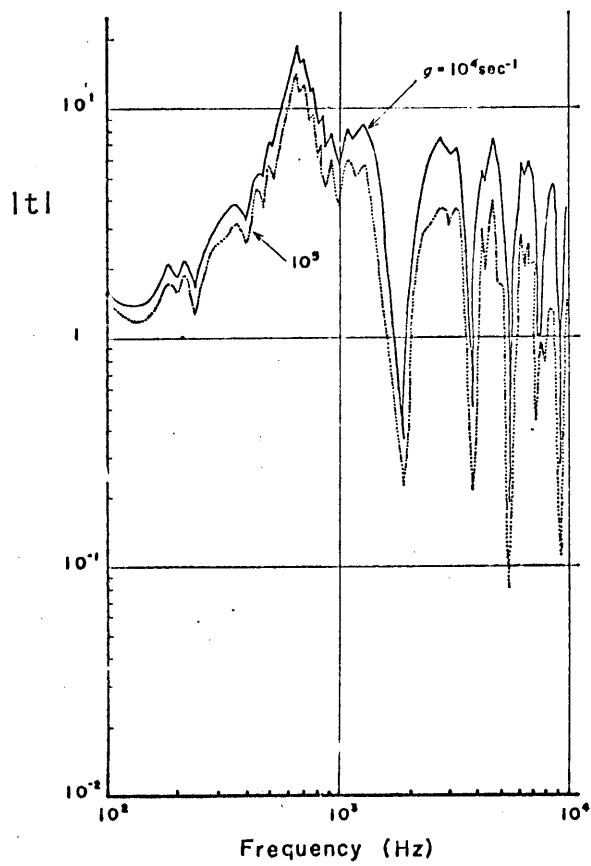


図 2-27 夜間時の透過係数の周波数特性。

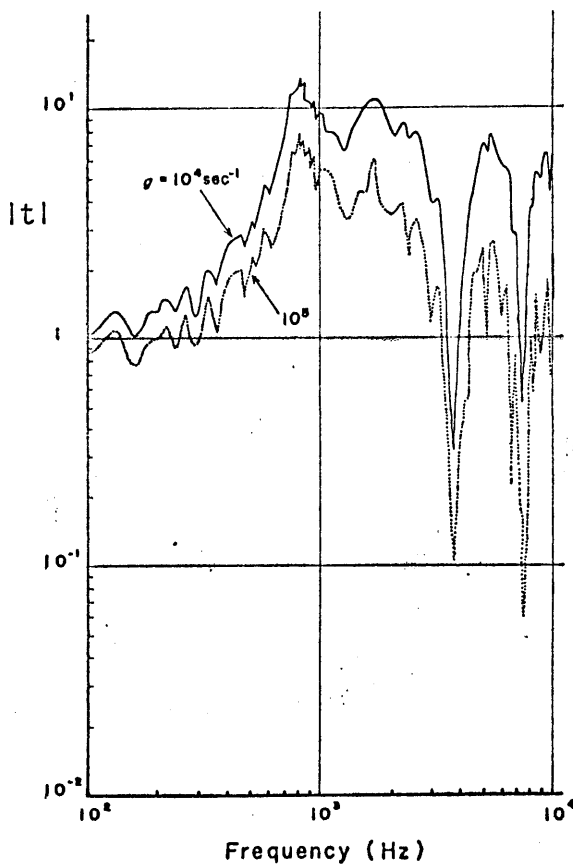


図 2-28 昼間時の透過係数の周波数特性。

2-5-3 中緯度における下降モードラ波の電離層透過程および反射

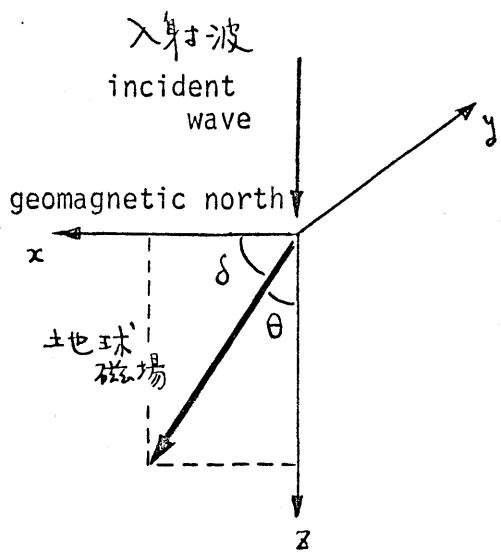


図2-29 問題の構成。

前節の高緯度での取り扱いを任意の磁気緯度の場合に拡張した結果を本節では示す。用いた座標系を図2-29に描く。z軸の正方向は鉛直下方 \vec{z} , x, y軸は水平面内にあり, x軸は地磁場の北と一致している。地球磁場は $x-y$ 面内にあり, x軸と δ の角度をなしている。したがって δ は地球磁場の伏角を表わしている。電離層は水平成層(horizontally stratified)と仮定され, 電子密度, 従突周波数はこの2つの関数である。入射波の波面法線方向は鉛直 \vec{z} あるという合理的な仮定を行なう。このため電離層内の各高度での波面法線方向はすべて鉛直方向 \vec{z} である。

a) 波動論的考察

以下、議論が必要となる事項について簡単に触れる。均質なプラズマ中の波の特性は位相屈折率と偏波 ρ_a , ρ_b で記述される。この特性波に対する位相屈折率はアップルトン・ハートリ(Appleton-Hartree)方程式 ω によって表わされる。詳細は3-2節で論ずる。

$$\frac{\omega^2}{\omega_b^2} = 1 - \frac{\chi}{1 - iZ - \frac{\frac{1}{2}Y_T^2}{1 - \chi - iZ} \pm \left\{ \frac{\frac{1}{4}Y_T^4}{(1 - \chi - iZ)^2} + Y_L^2 \right\}^{1/2}} \quad (2-48)$$

対応する偏波状態を表わす量 ρ_a は

$$\rho_b = \frac{i Y_T^2}{2 Y_L (1 - X - i Z)} \pm i \left\{ \frac{Y_T^4}{4 Y_L^2 (1 - X - i Z)^2} + 1 \right\}^{1/2} \quad (2-49)$$

とえられ。 Y_L および Y_T はそれされ $Y_L = Y \cos \theta$, $Y_T = Y \sin \theta$ とえられ, θ は波面法線方向と磁場とのなす角, 伏角とは $\theta = 90^\circ - \delta$ の関係にある。式(2-48), (2-49)においては正常波, 異常波, 命名法における不明確さを避けていたの, a モード, b モードという名称を用いる。 $|Y_T^2/2Y_L| \ll |1 - X - iZ|$ となる QL 近似が成立する際には、式(2-48), (2-49)は次のように簡単化される。

$$n_a^2 = 1 - \frac{X}{1 - iZ \mp |Y_L|}, \quad \rho_b = \mp i \quad (2-50)$$

この QL 近似は電離層, D 層, 下端部を除くで満足される。磁気緯度 20° 以下の領域以高では成立するとはすこい 2-3-4 节で示した。式(2-50)の a モードは左回り偏波反射波, つまりホップスラモードを表わし, 他方 b モードは左回り偏波の波である。

電離層の不均質性は電離層と多数の均質な層に分割することにより考慮しえる。高度が減少するにつれ, すなわち Z が増加するにつれて, 層の番号が大きくなるように付番してある。また第一番目の層は高々度へは無限に伸びてゐる。第一番目の層では a モードの上昇伝播モード, 下降ホップスラ波は a モードの伝播したと考える。電界の x 成分が単位振幅, a モードの波が鉛直に下降し, 第二番目の層に入射する。すると a モードの入射波は一番目と第二番目の境界における反射波 a モードのみならず b モードの反射波も起る。この境界を通過した波は a モードおよび b モードとして下方へ伝播していく。第一番目の層内の入射波の電磁界は時間因子を $\exp(i\omega t)$ と仮定して, 次のように表わされる。

$$\left\{ \begin{array}{l} E_x = \exp(-ik_0 n_a^{(1)} z) \\ E_y = \beta_a E_x = \beta_a \exp(-ik_0 n_a^{(1)} z) \\ H_x = \frac{1}{i\omega\mu_0} \frac{\partial E_y}{\partial z} = \frac{-k_0}{\omega\mu_0} n_a^{(1)} \beta_a \exp(-ik_0 n_a^{(1)} z) \\ H_y = \frac{-1}{i\omega\mu_0} \frac{\partial E_x}{\partial z} = \frac{k_0}{\omega\mu_0} n_a^{(1)} \exp(-ik_0 n_a^{(1)} z) \end{array} \right. \quad (2-51)$$

以上の入射波の表示に対する反射波、反射波の電磁界は、 a モード波と b モード波との電磁界の重畠として

$$\left\{ \begin{array}{l} E_x = A_{a-}^{(1)} \exp(ik_0 n_a^{(1)} z) + A_{b-}^{(1)} \exp(ik_0 n_b^{(1)} z) \\ E_y = \beta_a A_{a-}^{(1)} \exp(ik_0 n_a^{(1)} z) + \beta_b A_{b-}^{(1)} \exp(ik_0 n_b^{(1)} z) \\ H_x = \frac{k_0}{\omega\mu_0} n_a^{(1)} \beta_a A_{a-}^{(1)} \exp(ik_0 n_a^{(1)} z) + \frac{k_0}{\omega\mu_0} n_b^{(1)} \beta_b A_{b-}^{(1)} \exp(ik_0 n_b^{(1)} z) \\ H_y = \frac{-k_0}{\omega\mu_0} n_a^{(1)} A_{a-}^{(1)} \exp(ik_0 n_a^{(1)} z) - \frac{k_0}{\omega\mu_0} n_b^{(1)} A_{b-}^{(1)} \exp(ik_0 n_b^{(1)} z) \end{array} \right. \quad (2-52)$$

と表わされる。式(2-52)において第一項は a モード、第二項は b モードにそれぞれ対応する。未定係数 $A_{a-}^{(1)}$ 、 $A_{b-}^{(1)}$ 等、下の添字の最初の $-$ はモードを表す、一番目の正負の符号は伝はん方向を示し、負は正の負方向への伝はんすなわち反射波と、また正は透過波を表す。 $n_a^{(1)}$ および $n_b^{(1)}$ は一番目の層における a モード、 b モードに対する屈折率である。

次に \neq 番目の層中の a 、 b 両モード、透過波は \neq 、 \neq 三層間の境界において反射および変換(conversion)を受ける。これら過程は層毎に繰り返される。このたび一般に i 番目の層中の電磁界は両モードの反射波および透過波に対する四つの項から成っている。これは Booker quartic の四つの解によるものである。これらの電磁界は式(2-51)、(2-52)と同様に記述することができる。

最後に電離層下の自由空間には二つの異なる取り扱いを行なっていふ。一つは自由空間が下方へ無限に伸びるモデル、これは非終端

モデルである。他の一つは地表の存在を考慮に入れた終端モデルである。これら二つのモデルの結果の比較から地表反射効果の深度による変化と言評価することができる。まず非終端モデルの場合の自由空間の電磁界は次のように表される。

$$\left\{ \begin{array}{l} E_x = B^{(fs)} \exp(-ik_0 z) \\ E_y = C^{(fs)} \exp(-ik_0 z) \\ H_x = -\frac{k_0}{\omega \mu_0} C^{(fs)} \exp(-ik_0 z) \\ H_y = \frac{k_0}{\omega \mu_0} B^{(fs)} \exp(-ik_0 z) \end{array} \right. \quad (2-53)$$

ただし $B^{(fs)}$ と $C^{(fs)}$ は未定係数である。次に終端モデルに対する電磁界表示は

$$\left\{ \begin{array}{l} E_x = B^{(fs)} \sin k_0 (h-z) \\ E_y = C^{(fs)} \sin k_0 (h-z) \\ H_x = \frac{i k_0}{\omega \mu_0} C^{(fs)} \cos k_0 (h-z) \\ H_y = \frac{-i k_0}{\omega \mu_0} B^{(fs)} \cos k_0 (h-z) \end{array} \right. \quad (2-54)$$

となる。ただし h は $z=0$ の基準レベルからの測定、すなわち地表の位置を表す。式(2-54)の導出の際には、地表面が完全導体であるとの仮定に基づいている。

これが各領域の電磁界表示が得られたので、各境界における水平電界および磁界の連続性という境界条件を課すと、未定係数に関する連立方程式が得られる。すると容易に下降ホーリスラ波に対する電界反射率係数の表式が得られる。この反射率係数は多重反射やモード結合をすべて含んだものである。

以上で波動論的解法の一例的方法を述べたが、多層モデルの取り扱いは複雑であるので、第一段階として電離層と三層を模擬した。この三層モデルの妥当性をまず示す。WKB criterion を用いて現実的な電離層

モデルに対するこのレベルで反射が起りやすいかと聞くべし。WKB criterion は次のような量 $f(z)$ に依存する。⁴⁶⁾

$$f(z) = \frac{1}{k_0} \left| \frac{3}{4} \left(\frac{1}{n^2} \frac{dn}{dz} \right)^2 - \frac{1}{2} \cdot \frac{1}{n^3} \frac{d^2 n}{dz^2} \right| \quad (2-55)$$

ただし n は a モードに対する屈折率である。もし $f(z)$ のある領域できわめて小さな値を示せば、そこでは反射は少ない。一方 $f(z)$ の大きな値を示すような領域では、かなりの分反射が起ると考えねばならない。現実的な夜間の電離層モデルに対して $f(z)$ を計算した結果を図 2-30 に示す。図から高度 85 km および 115 km の鋭いピークと 180 km 前後のピークと言認められる。高高度より入射するホーリスラ波を考えると、250 km から 180 km までの高度領域では幾分の分反射が受けられ、この領域では 180 km 附近で最も分反射が起き易い。このレベルを通過した波は 115 km 附近の次反射レベルに到達する。その後、最も $f(z)$ の大きい 85 km の高度における反射領域に遭遇する。以上のことをもとに分反射が起き易い特性的な高度の 180 km, 115 km および 85 km は境界を設けた。各領域のプロファイルを表 2-3 にまとめある。

このモデルに対する前述した一般的な方法を適用すると、未定係数に関する次のような連立方程式が導かれる。

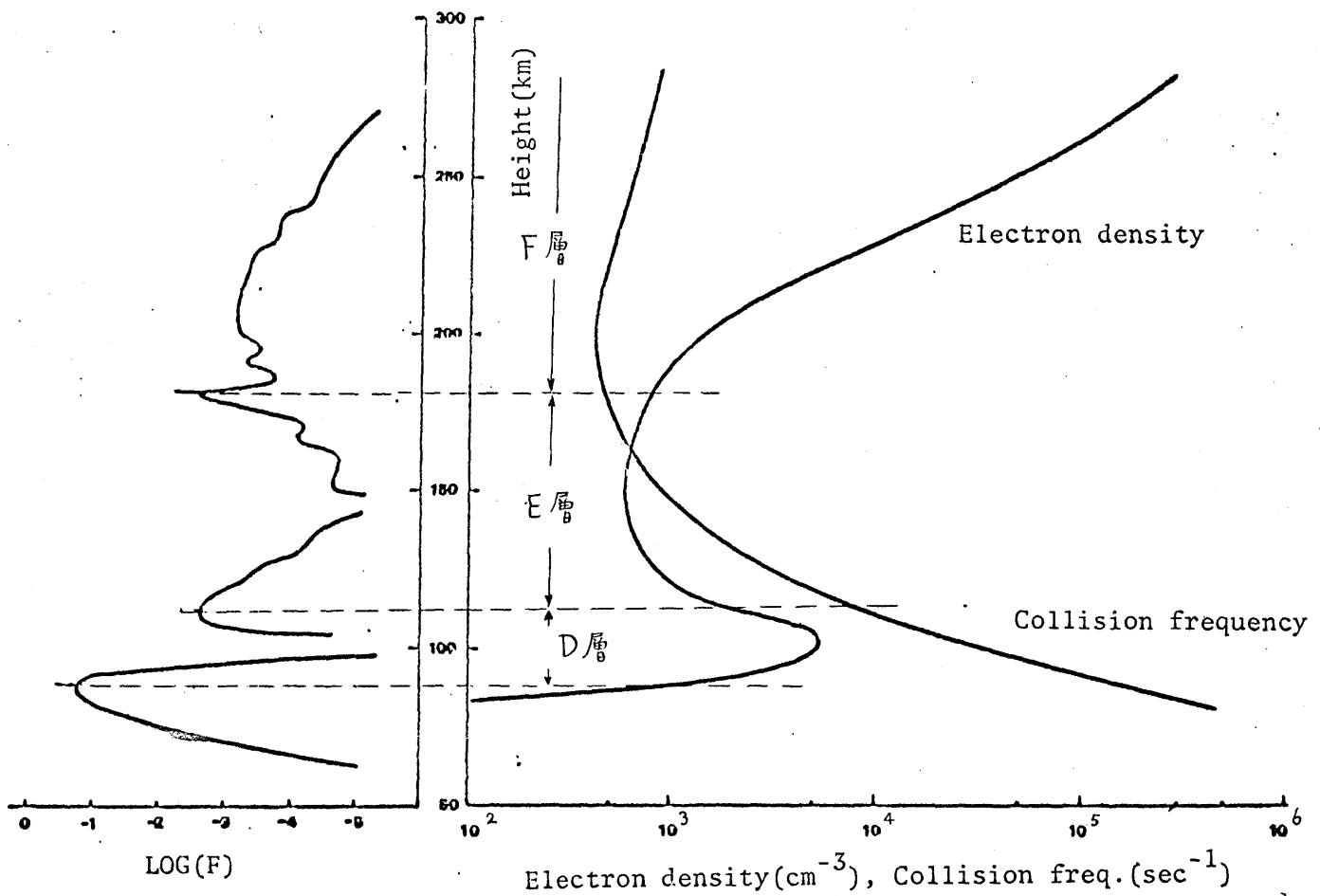


図 2-30 逆の電離層モデル $f(z)$ の高度変化。

層の番号	1	2	3
領域名	F 層	E 層	D 層
電子密度 (cm^{-3})	3×10^3	1×10^3	2×10^3
衝突周波数 (sec^{-1})	10^2	1×10^3	$2,5 \times 10^5$

表 2-3 三層電離層のプラスミダメ。

$$\left[\begin{array}{cccccc}
 a_{1,1} & a_{1,2} & a_{1,3} & a_{1,4} & a_{1,5} & a_{1,6} \\
 a_{2,1} & a_{2,2} & a_{2,3} & a_{2,4} & a_{2,5} & a_{2,6} \\
 a_{3,1} & a_{3,2} & a_{3,3} & a_{3,4} & a_{3,5} & a_{3,6} \\
 a_{4,1} & a_{4,2} & a_{4,3} & a_{4,4} & a_{4,5} & a_{4,6} \\
 & a_{5,3} & a_{5,4} & a_{5,5} & a_{5,6} & a_{5,7} & a_{5,8} & a_{5,9} & a_{5,10} \\
 & a_{6,3} & a_{6,4} & a_{6,5} & a_{6,6} & a_{6,7} & a_{6,8} & a_{6,9} & a_{6,10} \\
 & a_{7,3} & a_{7,4} & a_{7,5} & a_{7,6} & a_{7,7} & a_{7,8} & a_{7,9} & a_{7,10} \\
 & a_{8,3} & a_{8,4} & a_{8,5} & a_{8,6} & a_{8,7} & a_{8,8} & a_{8,9} & a_{8,10} \\
 & & & & a_{9,7} & a_{9,8} & a_{9,9} & a_{9,10} & a_{9,11} \\
 & & & & a_{10,7} & a_{10,8} & a_{10,9} & a_{10,10} & a_{10,12} \\
 & & & & a_{11,7} & a_{11,8} & a_{11,9} & a_{11,10} & a_{11,12} \\
 & & & & a_{12,7} & a_{12,8} & a_{12,9} & a_{12,10} & a_{12,11}
 \end{array} \right] = \left[\begin{array}{c}
 A_{2-}^{(1)} I_1 \\
 A_{b-}^{(1)} I_2 \\
 A_{a+}^{(1)} I_3 \\
 A_{b+}^{(1)} I_4 \\
 A_{2-}^{(2)} \\
 A_{b-}^{(2)} \\
 A_{a+}^{(2)} \\
 A_{b+}^{(2)} \\
 A_{2-}^{(3)} \\
 A_{b-}^{(3)} \\
 B^{(3)} \\
 C^{(3)}
 \end{array} \right]$$

式(2-56) 中の行列 (a_{ij}) の各要素は、次のようすに与えられる。

$$\begin{cases} a_{1,1} = 1 \\ a_{1,2} = 1 \\ a_{1,3} = -1 \\ a_{1,4} = -1 \\ a_{1,5} = -1 \\ a_{1,6} = -1 \end{cases} \quad \begin{cases} a_{2,1} = \rho_a \\ a_{2,2} = \rho_b \\ a_{2,3} = -\rho_a \\ a_{2,4} = -\rho_b \\ a_{2,5} = -\rho_a \\ a_{2,6} = -\rho_b \end{cases} \quad \begin{cases} a_{3,1} = (\frac{k_0}{\omega\mu_0}) n_a^{(1)} \rho_a \\ a_{3,2} = (\frac{k_0}{\omega\mu_0}) n_b^{(1)} \rho_b \\ a_{3,3} = (\frac{k_0}{\omega\mu_0}) n_a^{(2)} \rho_a \\ a_{3,4} = (\frac{k_0}{\omega\mu_0}) n_b^{(2)} \rho_b \\ a_{3,5} = -a_{3,3} \\ a_{3,6} = -a_{3,4} \end{cases}$$

$$\begin{cases} a_{4,1} = -(\frac{k_0}{\omega\mu_0}) n_a^{(1)} \\ a_{4,2} = -(\frac{k_0}{\omega\mu_0}) n_b^{(1)} \\ a_{4,3} = -(\frac{k_0}{\omega\mu_0}) n_a^{(2)} \\ a_{4,4} = -(\frac{k_0}{\omega\mu_0}) n_b^{(2)} \\ a_{4,5} = -a_{4,3} \\ a_{4,6} = -a_{4,4} \end{cases} \quad \begin{cases} a_{5,3} = \alpha \\ a_{5,4} = \beta \\ a_{5,5} = \gamma \\ a_{5,6} = \delta \\ a_{5,7} = -\varepsilon \\ a_{5,8} = -\zeta \\ a_{5,9} = -\eta \\ a_{5,10} = -\kappa \end{cases} \quad \begin{cases} a_{6,3} = \rho_a \alpha \\ a_{6,4} = \rho_b \beta \\ a_{6,5} = \rho_a \gamma \\ a_{6,6} = \rho_b \delta \\ a_{6,7} = -\rho_a \varepsilon \\ a_{6,8} = -\rho_b \zeta \\ a_{6,9} = -\rho_a \eta \\ a_{6,10} = -\rho_b \kappa \end{cases}$$

$$\begin{cases} a_{8,3} = (\frac{k_0}{\omega\mu_0}) n_a^{(2)} \alpha \\ a_{8,4} = (\frac{k_0}{\omega\mu_0}) n_b^{(2)} \beta \\ a_{8,5} = -(\frac{k_0}{\omega\mu_0}) n_a^{(2)} \gamma \\ a_{8,6} = -(\frac{k_0}{\omega\mu_0}) n_b^{(2)} \delta \\ a_{8,7} = -(\frac{k_0}{\omega\mu_0}) n_a^{(3)} \varepsilon \\ a_{8,8} = (\frac{k_0}{\omega\mu_0}) n_b^{(3)} \zeta \\ a_{8,9} = (\frac{k_0}{\omega\mu_0}) n_a^{(3)} \eta \\ a_{8,10} = (\frac{k_0}{\omega\mu_0}) n_b^{(3)} \kappa \end{cases} \quad \begin{cases} a_{7,3} = -\rho_a a_{8,3} \\ a_{7,4} = -\rho_b a_{8,4} \\ a_{7,5} = -\rho_a a_{8,5} \\ a_{7,6} = -\rho_b a_{8,6} \\ a_{7,7} = -\rho_a a_{8,7} \\ a_{7,8} = -\rho_b a_{8,8} \\ a_{7,9} = -\rho_a a_{8,9} \\ a_{7,10} = -\rho_b a_{8,10} \end{cases} \quad \begin{cases} a_{9,7} = \lambda \\ a_{9,8} = \mu \\ a_{9,9} = \nu \\ a_{9,10} = \tau \\ a_{9,11} = -\tau \end{cases}$$

$$\begin{cases} a_{10,7} = \rho_a \lambda \\ a_{10,8} = \rho_b \mu \\ a_{10,9} = \rho_a \nu \\ a_{10,10} = \rho_b \tau \\ a_{10,12} = -\tau \end{cases} \quad \begin{cases} a_{12,7} = (\frac{k_0}{\omega\mu_0}) n_a^{(3)} \lambda \\ a_{12,8} = (\frac{k_0}{\omega\mu_0}) n_b^{(3)} \mu \\ a_{12,9} = -(\frac{k_0}{\omega\mu_0}) n_a^{(3)} \nu \\ a_{12,10} = -(\frac{k_0}{\omega\mu_0}) n_b^{(3)} \tau \\ a_{12,11} = -(\frac{k_0}{\omega\mu_0}) \pi \end{cases} \quad \begin{cases} a_{11,7} = -\rho_a a_{12,7} \\ a_{11,8} = -\rho_b a_{11,8} \\ a_{11,9} = -\rho_a a_{12,9} \\ a_{11,10} = -\rho_b a_{12,10} \\ a_{11,12} = (\frac{k_0}{\omega\mu_0}) \pi \end{cases}$$

たゞし $\alpha = \exp(-ik_0 n_a^{(2)} z_{23})$, $\beta = \exp(-ik_0 n_b^{(2)} z_{23})$, $\gamma = \exp(ik_0 n_a^{(2)} z_{23})$
 $\delta = \exp(ik_0 n_b^{(2)} z_{23})$, $\varepsilon = \exp(-ik_0 n_a^{(3)} z_{23})$, $\zeta = \exp(-ik_0 n_b^{(3)} z_{23})$,
 $\eta = \exp(ik_0 n_a^{(3)} z_{23})$, $\kappa = \exp(ik_0 n_b^{(3)} z_{23})$, $\lambda = \exp(-ik_0 n_a^{(3)} z_{3f})$,
 $\mu = \exp(-ik_0 n_b^{(3)} z_{3f})$, $\nu = \exp(ik_0 n_a^{(3)} z_{3f})$, $\xi = \exp(ik_0 n_b^{(3)} z_{3f})$,
 $\tau = \exp(-ik_0 z_{3f})$ である。以上の方程式中の z_{ij} は境界のレベルを
 表わし, z_{3f} は第3層と自由空間との境界レベルを表わす。式(2-56)の
 右辺の I_i は次のように与えられる。 $I_1 = -1$, $I_2 = -\rho_a$, $I_3 = (k_0/\omega_{\mu_0}) n_a^{(1)} \rho_a$,
 $I_4 = -(k_0/\omega_{\mu_0}) n_a^{(1)}$ である。他の要素はすべて零である。以上は非終端
 モデルに対する表示であるが、終端モデルの場合には次のような要素の
 変換が必要である。すなわち $a_{9,11} = -\sin k_0(h - z_{3f})$, $a_{10,12} = a_{9,11}$,
 $a_{11,12} = -i \cos k_0(h - z_{3f})$, $a_{12,11} = i \cos k_0(h - z_{3f})$ 。

b) 数値計算結果による議論

図2-3は反射係数 $|R|$ の伏角に対する変化を描いたものである。用いた周波数は1 kHz, 5 kHzおよび10 kHzである。実線は非終端モデル、破線は終端モデルの結果である。終端モデルでは電離層・地表間隔は85 kmである。変換係数(conversion coefficient) R_{ab} は無視される程度であるので、 $|R|$ は角むけない。図から非終端モデルに対する一般的の傾向として、伏角が大きくなるにつれ反射係数が増大するようである。これは次のように考えられる。

- (i) 伏角の小さい低緯度では、下部電離層は下降ホップラ波に対して主として吸収体として作用する。
- (ii) 一方高緯度では、吸収が少ないので下部電離層は下降ホップラ波に対して反射体として作用する。

次に終端モデルと非終端モデルの結果との比較から、次の点が指摘できる。

- (i) 伏角が 40° 以下の低緯度では、終端モデルの結果は非終端モデルの結果ほとんど一致する。
- (ii) しかし伏角が 40° 以上になると、終端モデルの結果は非終端モデルの結果とは有意な差を示す。

非終端モデルの結果の要は(i)からわかるように、低緯度では下部電離層中の吸収が大きいため、下部電離層を通過した波自身著しく減衰している。そのため地表からの反射全体。反射係数にはなんら影響も及ばない。ところが高緯度では下部電離層中の吸収が少くなるため、下部電離層を通過した波の地表からの反射は重要な働きをしていることから理解される。図中の大きな振動は鋭い境界のために起きた波の干涉効果による。したがって層の数を増せば、図の曲線をさらに

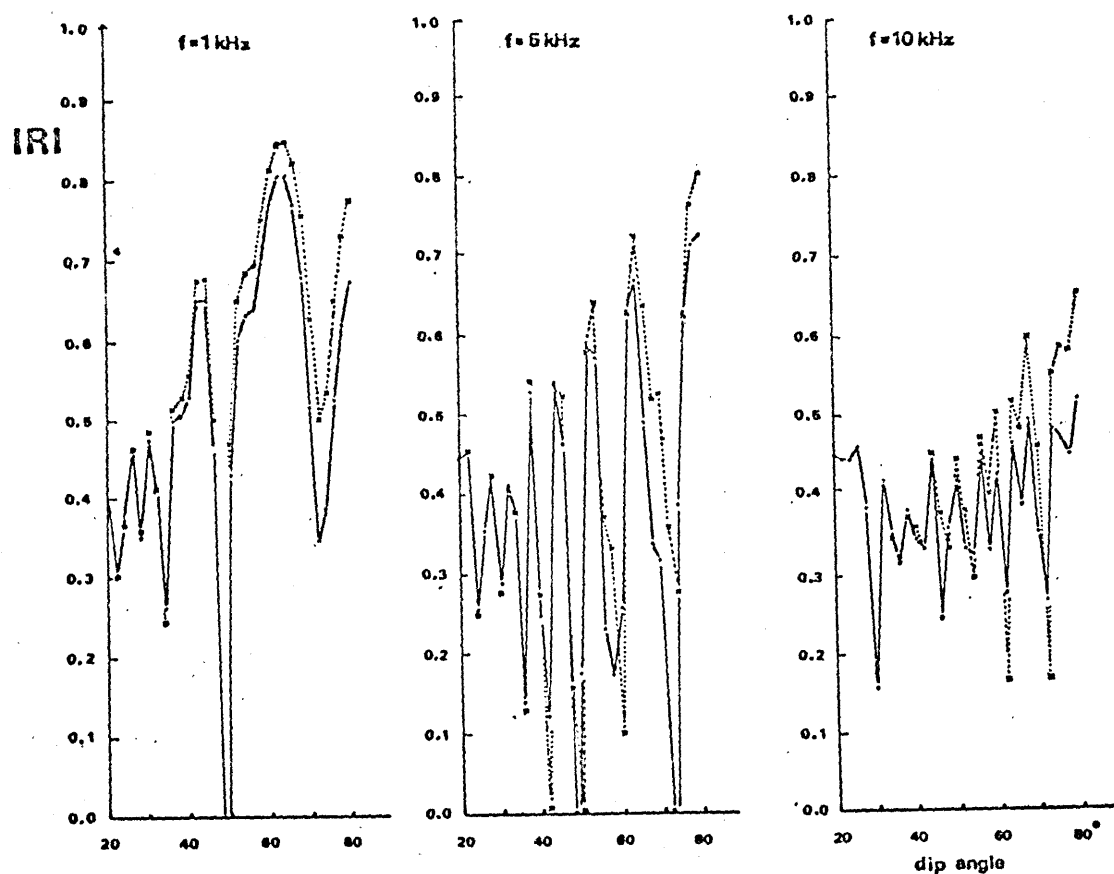


図 2-31 反射係数の磁場伏角に対する変化。実線は非終端モデル、
点線は終端モデルの結果である。

もともと近づくのである。

反射係数は各レベルごとの反射および透過をすべて加え合わせた結果であるのが、各領域からの全体の反射係数への寄与を調べるには不向きである。 $E = i$ 、電磁界の高度分布を用ひ、この裏考察してみよう。図 2-32, 2-33 は周波数 1 kHz , 10 kHz に対する、伏角が 20° , 40° , 80° の際の電界の構成成分 $|E_z|$ の高度分布を示したものである。実線は非終端モデル、点線は終端モデルの結果である。参考のために各領域の境界が矢印で示されている。伏角 40° の場合だけ点線は省略している。図 2-32 の周波数 1 kHz の場合をみてみると、伏角が 20° ような低緯度では下降本ハフ波は 180 km および 115 km 前後の反射レベルにおいて分反射を受けることなく、 115 km 以上高い定在波パターンとなることが理解される。E 領域では波の減衰

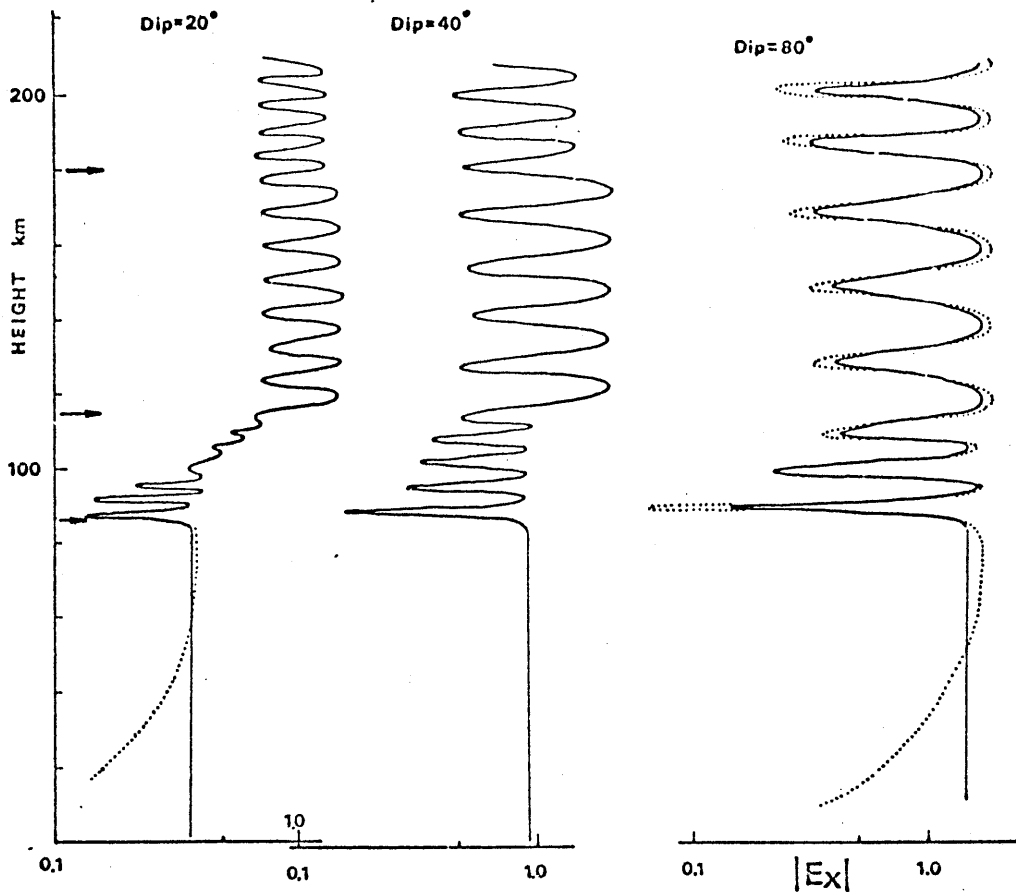


図 2-32 周波数 1 kHz における電界 $|Ex|$ の高度分布。

は無視不得る、D領域では顕著な吸收損失による波の減衰が認められる。しかし D領域中にないことも定在波パターンが存在することは D層の下端部からの反射なし存在することを唆している。ところが周波数が 10 kHz の場合(図 2-33)、伏角 20° の場合では、D領域内においてかく定在波波形は認められない。これは高周波のため、吸收損失が著しく増加したことによるものと考えられる。両周波数とも伏角が 20° の場合には、終端モデルの結果は非終端モデルの結果と一致し、地表からの反射は非常に寄り合はない。次に伏角が 80° の高緯度における結果に注目してみよう。D領域での吸収は、波面法線方向と磁場とのなす角が小さいため、さわめて小さくなる。このため波は伏角が 20° の場合よりもより低

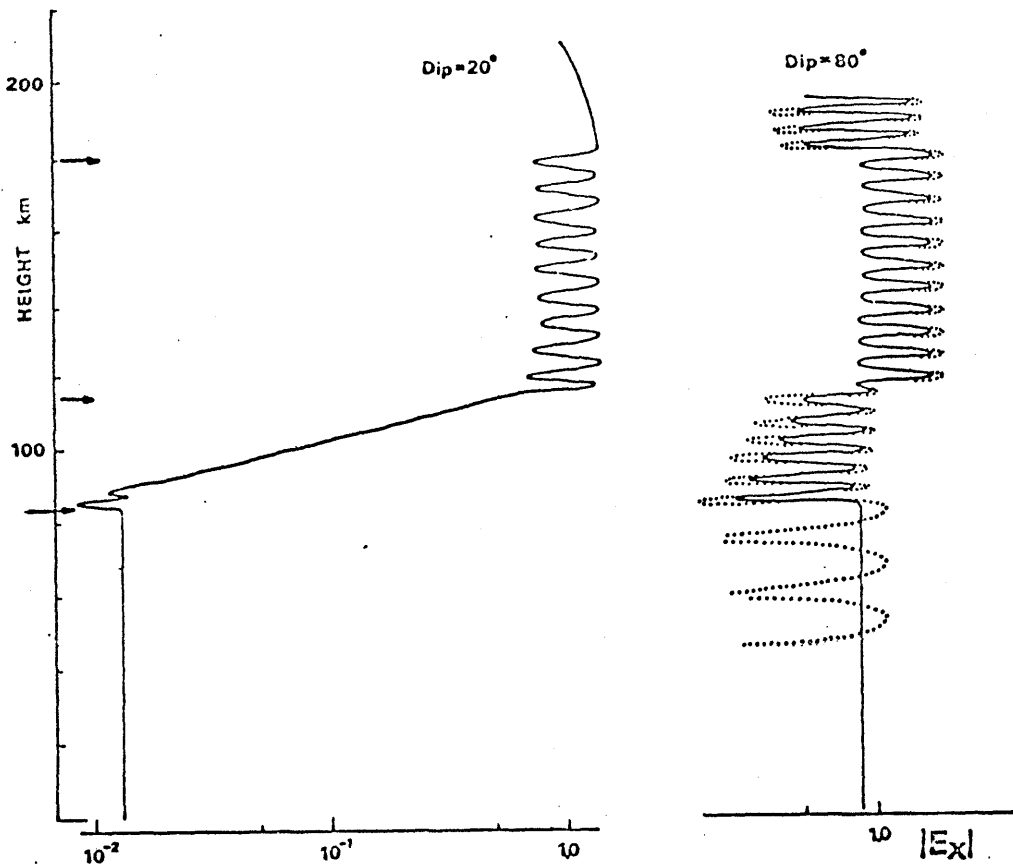


図 2-33 10 kHz における電界 $|Ex|$ の高度分布。

高度までは侵入するようである。地表の効果を考慮した際には、電界の高度分布は非終端モデルとは異なる。これは高緯度では電離層内反射のみならず、地表からの反射が重要な因子であることを示している。以上から高緯度における VLF 波の下降位相と言ふべきである。地表の影響を必ず考慮しなければならない。オーロラ帯における VLF 放射の入射角、偏波の観測から、⁴⁴⁾ Tanaka は下降波。電離層への再透過の重要性をすでに示唆している。10 kHz になると D 領域での減衰はかなり増大するが、低緯度に比較すれば著しく少ない。やはり地表の強力な反射体としての作用を見落すわけにはいかない。最後に伏角 40° の場合にはもやはり地表効果は無視できないことを言ふ添えおく。

以上の議論から伏角が 40° 以上の緯度帯では地表からの反射が電離層中の反射と同様重要であることが明らかにされたが、電離層を三層で近似したため、地表反射は定量的評価は不可能である。そこで図 2-30 の E 層以下の下部電離層を五層に分割し、非終端モデルによる終端モデルに対する反射および透過係数を評価した。その結果を図 2-34, 2-35 に示す。図 2-34 は周波数 1kHz , また図 2-35 は周波数 20kHz の結果である。印で示したのが実際の計算値で、太い実線はそれらの中央値あたりを採った曲線である。さらに層数を増せば、この太い実線あたりに近づくであろう。図はすべてエネルギー収支で示したもので、非終端モデルでは反射 (reflection), 吸收損失 (absorption loss) および透過 (transmission) における電力 入射電力を 1 として表示している。終端モデルでは問題となる反射分だけが描かれている。図 2-34 の 1kHz における非終端モデルの結果において重要な点は次のように要約される。

- 伏角が 20° 以下の低緯度では、入射波エネルギーの大半が吸収して消費される。
- とくに -30° から $+30^\circ$ における透過エネルギーおよび吸収損失がそれぞれ急激に増加および減少する。しかし反射エネルギーはこの間ほとんど変化しない。
- さらに伏角が大きくなり 60° 以上では、反射、吸収および透過はほとんど伏角には依存せず、ほぼ一定と考えられる。

次に 20kHz の非終端モデルの結果は、 1kHz の場合に比べて以下のような差異がある。

- 一般的的にいって吸収損失の著しい増加が認められる。
- 透過の急激な増加の起因は伏角が高緯度側にすくめる。

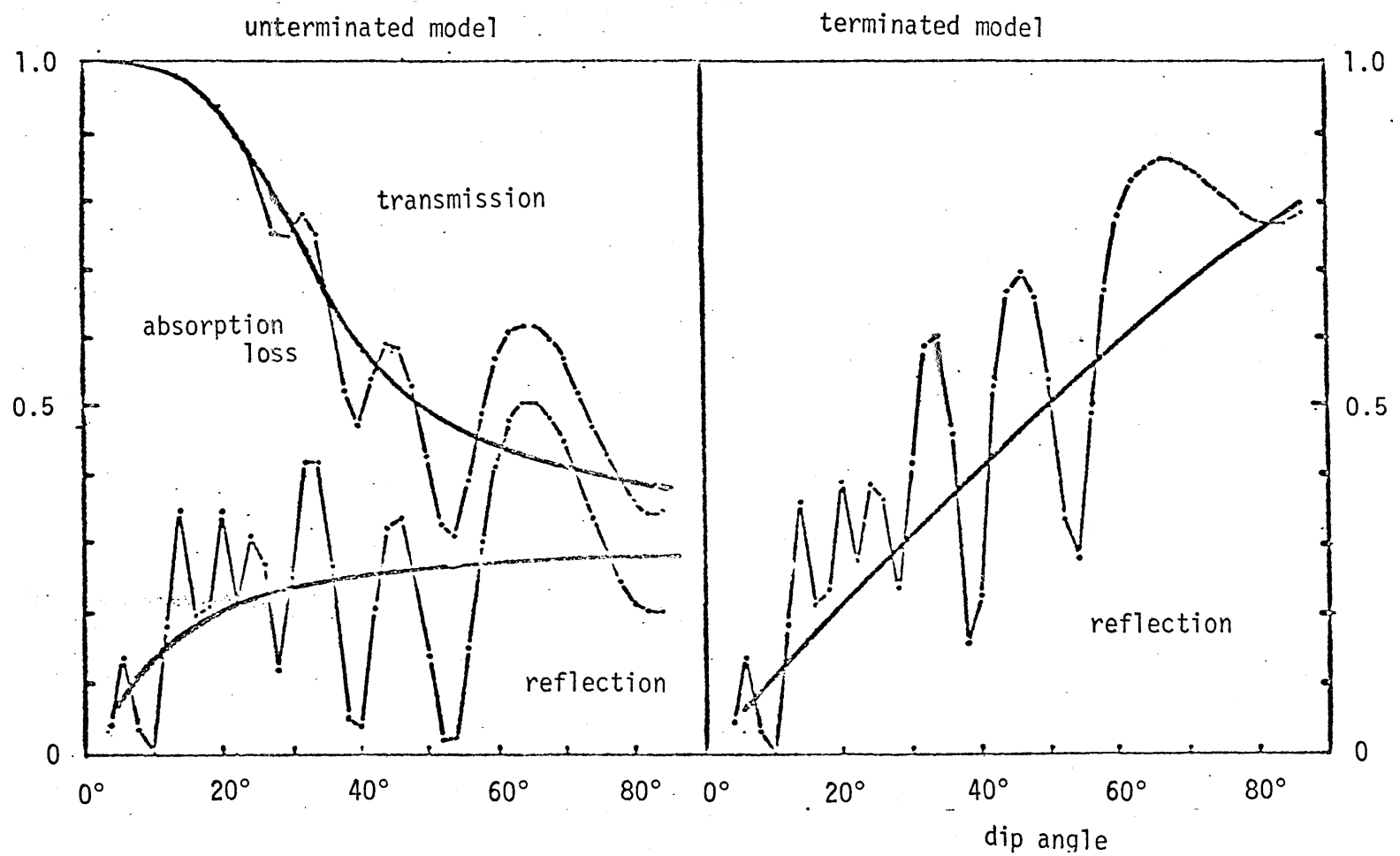


図2-34 非終端モデルおよび終端モデルに対する入射電力の分配を示す図(周波数1kHz)。

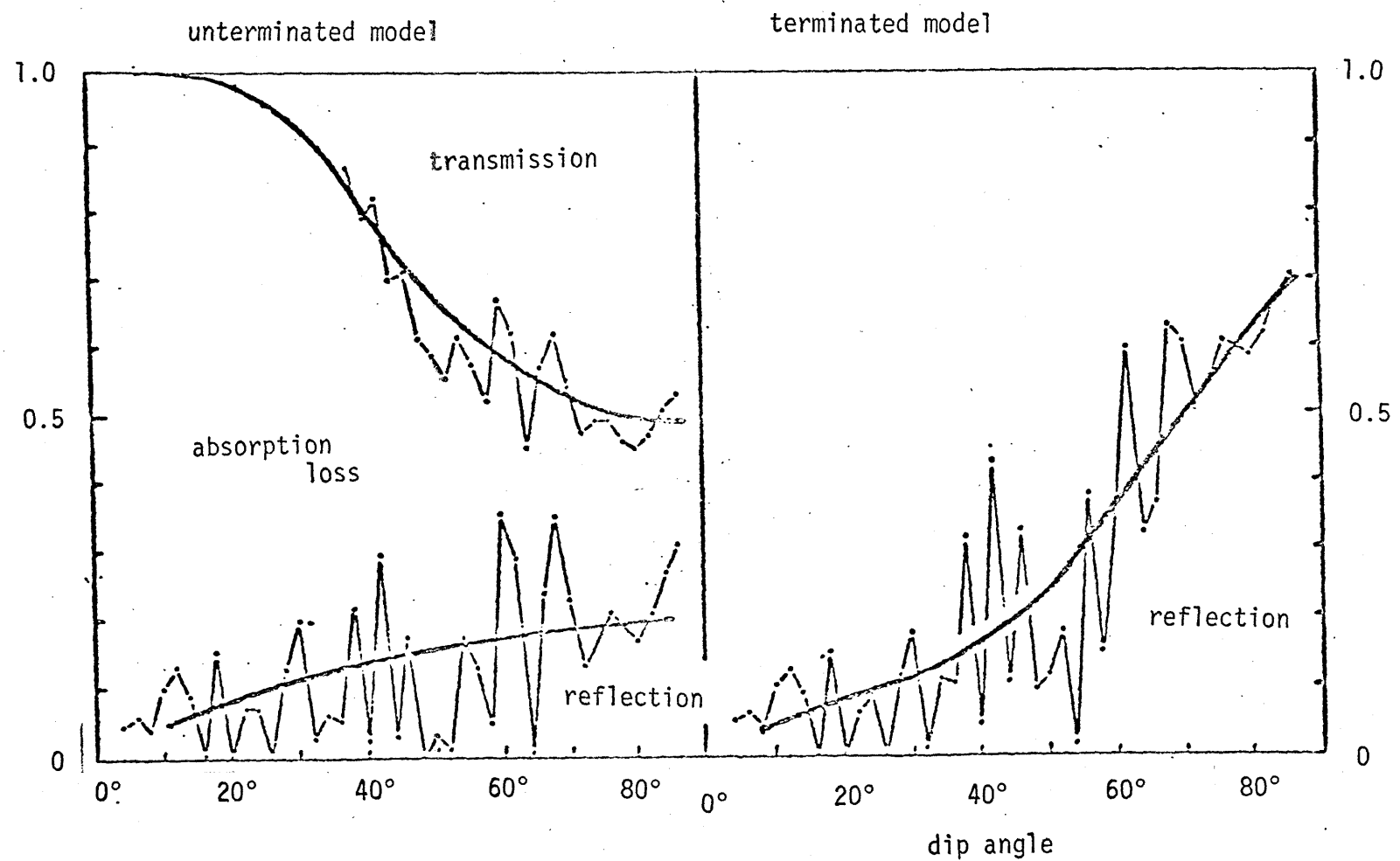


図 2-35 固定波数 20 kHz に対する結果。

また地表反射の交差の高さ度変化は、非終端モデルと終端モデルとの比較から

- (i) 前述した三層モデルでは明らかになつたように、伏角 40° 前後を境り、より低緯度側では反射エネルギーはほとんど変化しない。
- (ii) より高緯度側では、反射エネルギーは伏角とともに急激に上昇する。これは気が付かれた。要す (ii) についに数値表示してみると、 1 kHz 伏角 80° の場合の非終端モデルの反射エネルギーは入射波エネルギー、25%程度であるが、終端モデルでは ~75% に増加する。 20 kHz の際はも大まか同程度の強度の増大が認められる。

2-6 結論

本章を終れるにあたり、本章で得られた結果を要約します。まず低周波電波・電離層への透過に関する理論的研究により、

- (i) 高緯度での取り扱いから、下部電離層の電子密度勾配が低周波電波の伝播に著しい影響をもたらす。また、波の干渉効果が重要な働きをすること。
- (ii) VLF, ELF電波、赤道帯電離層透過はトンネル効果により可能で、最大透過周波数は 1 kHz 前後である。
- (iii) 磁気緯度 40° 以上の領域では、電離層下からの電波は容易にホイッスラ波として電離層内へ進入していく。すなわちこの緯度帯では昼夜とも大きな損失なく下部電離層を透過する。
- (iv) 低緯度では、ホイッスラ波の電離層透過損失は強い緯度依存性と強い周波数依存性を示す。特にこの傾向は吸収の強い昼間にはより顕著である。
- (v) ホイッスラ伝播には明確な方位角依存性が存在すること。
等の結果が得られた。

また下部電離層中、ホイッスラ波に関するロケット実験より

- (i) 磁気緯度 20° の低緯度でも E 層以高では十分 QL 近似が成立する。
- (ii) F₂ 層以下、高度ではタクト、存在は認められない。
- (iii) 源からかなりの距離伝播した後でも、ホイッスラ波として電離層へ進入することができること。

これが明らかになつた。

次に下降ホイッスラ波、電離層伝播に関する研究が明らかになつた諸実験を列記すると、

- (i) 下降ホイッスラ波、波面法線方向か透過円錐外にある際の波の反射レベルは入射角に依存する。また南北には反射レベルの非対称が存在すること。
- (ii) 波面法線方向か透過円錐内にある時、下降ホイッスラ波の透過係数はかなり大きく、地表からの反射が交かく可能性があること。
- (iii) 極位1=0°において地表の存在を考慮すると、下降ホイッスラ波の反射係数は地表を無視した場合に比し、著しく近づく。これは下降ホイッスラ波に対して地表は強力な反射体として作用し、電離層透過波は再び電離層へ進入していくことを意味する。
- (iv) 極位1=0°と任意の磁気緯度の場合における結果、磁場の伏角か4°以下の緯度帯ではD層の吸収が交かくため地表反射は無視して差し支えないが、4°以上の緯度帯では少ならず地表反射の影響が現われることが明らかになった。特に高緯度の現象を取り扱う際には、十分の注意が必要である。
である。

本章は異方性、不均質電離層中のホイッスラ波の位相特性を明らかにしたにとどまらず、第3章のホイッスラ波、磁気圏内伝播の問題とも密接に関連していることを忘れてはならない。

参考文献

- (1) Bremmer,H.G. : Terrestrial radio waves, Elsevier Pub.Co.(1949).
- (2) Budden,K.G. : The reflection of very low frequency waves at the surface of a sharply bounded ionosphere with superposed magnetic field, Phil.Trans. 42,833(1951)
- (3) Wait,J.R. and Perry,L.B. : Calculations of ionospheric reflection coefficients at very low frequencies, J.Geophys.Res. 62,43(1957).
- (4) Johler,R. and Walters,L.C. : On the theory of reflection of low- and very-low-radiofrequency waves from the ionosphere, J.Res.Natn.Bur.Stand. 64D, 269(1960).
- (5) Helliwell,R.A.,Katsufakis,J. and Carpenter,G.B. : Tech.Rep.No.1 Radioscience Lab. Stanford Univ.(1962).
- (6) Budden,K.G. : The numerical solution of differential equations governing reflection of long radio waves from the ionosphere I, Proc.Roy.Soc. A227,516 (1955a), The numerical solution of differential equations governing reflection of long radio waves from the ionosphere II, Phil.Trans.A248, 45(1955b).
- (7) Barron,D.W. and Budden,K.G. : The numerical solution of differential equations governing reflection of long radio waves from the ionosphere III, Proc. Roy.Soc. A249, 387(1959).
- (8) Pitteway,M.L.V. and Jespersen,J.L. : A numerical study of the excitation, internal reflection and limiting polarization of whistler waves in the lower ionosphere, J.Atmosph.Terr.Phys. 28, 17(1966).
- (9) Hayakawa,M. and Ohtsu,J. : On the reflection of whistler-mode waves from model lower ionospheres, Proc.Res.Inst.Atmosph. Nagoya Univ. 19,21(1972), Wave-interference effect in whistler-mode reflection coefficients for model lower ionospheres, J.Geomag.Geolect. 23,419(1971).
- (10) Hayakawa,M. and Ohtsu,J. : Tunneling transmission through the equatorial ionosphere of VLF and ELF electromagnetic waves, J.Atmosph.Terr.Phys. 35, 851(1973).
- (11) Maynard,N.C.,Aggson,T.L. and Heppner,J.P. : Electric field observations of ionospheric whistlers, NASA,GSFC-X-645-70-11(1970).
- (12) Hayakawa,M.,Ohtsu,J. and Iwai,A. : On the propagation of ionospheric whistlers at low latitude, J.Atmosph.Terr.Phys. 35,1677(1973).

- (13) Storey,L.R.O. : An investigation of whistling atmospherics, Phil.Trans. Roy. Soc. A246, 113(1953).
- (14) Laaspere,T. et al. : Study of the phenomena of whistler echoes, J.Res.Natn. Bur.Stand. 69D, 407(1966).
- (15) Hayakawa,M. and Okada,T. : On the reflection level in the ionosphere of downcoming whistler waves, to be submitted.
- (16) Hayakawa,M. and Ohtsu,J. : Transmission and reflection of magnetospheric whistlers in the lower exosphere and ionosphere, Planet.Space Sci. 20, 1895(1972).
- (17) 早川; 下降ホイストラ波の電離層内反射機構について, 信学論, 57-B, 111(1974).
- (18) Hayakawa,M. : On the ionospheric reflection of downcoming whistler waves including the ground effect, Pure Appl.Geophys. in press
- (19) Clemmow,P.C. and Heading,J. : Coupled forms of the differential equations governing radio propagation in the ionosphere, Proc.Camb.Phil.Soc. 50, 413(1954).
- (20) Barrington,R.E. and Thrane,E.V. : The determination of D-region electron density from observations of cross modulations, J.Atmosph.Terr.Phys. 24, 31(1962).
- (21) Maeda,K. : Mid-latitude electron density profiles as revealed by rocket experiments, J.Geomag.Geolect. 21, 151(1969):
- (22) Budden,K.G. : Radio waves in the ionosphere, Cambridge Univ.Press(1961).
- (23) Gurnett,D.A. : Observations of VLF hiss at very low L values, J.Geophys.Res. 73, 1096(1968).
- (24) Kimura,I. : Equatorial ELF hiss observed by POGO satellites, Proc.IASY Symp. Inst.Space Aeronaut.Sci. Tokyo Univ. p.105(1968), ibid p.184(1970).
- (25) Pitteway,M.L.V. : The numerical calculation of wave-fields, reflection coefficients and polarization of long radio waves in the ionosphere, Phil.Trans.Roy.Soc. A257, 219(1965).
- (26) Helliwell,R.A. : Whistlers and related ionospheric phenomena, Stanford Univ. Press(1965).
- (27) Scarabucci,R.R. : Satellite observations of equatorial phenomena and defocusing of VLF electromagnetic waves, J.Geophys.Res. 75, 69(1970).
Hayakawa,M. : Non-ducted two-hop whistlers in the inner magnetosphere deduced from rocket measurement, Planet.Space Sci. in press.
- (28) Allcock,G.McK. : The reception of whistler mode signals at a point remote from the transmitter's conjugate point, J.Geophys.Res. 71, 2285(1966).

- (29) Iwai,A.,Kamada,T.,Ohtsu,J. and Hayakawa,M. : Observation of VLF transmissions in the magnetosphere on board the Japanese satellite "REXS", Proc.Symposium on Scientific Satellites, Inst.Space Aeronaut.Sci. The Univ. of Tokyo, p.44(1972).
- (30) Smith,R.L. : Propagation characteristics of whistlers trapped in field-aligned columns of enhanced ionization, J.Geophys.Res. 66,3699(1961).
- (31) Ratcliffe,J.A. : The magnetoionic theory and its application to the ionosphere, Cambridge Univ.Press(1959).
- (32) Mlodnosczy,R.F. and Garriot,O.K. : The VLF admittance of a dipole in the lower ionosphere, Proc.Int.Conf.Ionosphere, Inst.Physics and Physical Soc. London, p.484(1963).
- (33) Storey,L.R.O. : The design of an electric dipole antenna for VLF reception within the ionosphere, Tech.Rep. 308 TC, Centre National D'Eudes des Telecommunications(1963).
- (34) Budden,K.G. : The waveguide mode theory of the propagation of VLF radio waves Proc.IRE 45,772(1957).
- (35) Wait,J.R. : Propagation of very-low-frequency pulses to great distances, J.Res. Natn.Bur.Stand. 61D,187(1958).
- (36) Otsu,J. : The numerical study of tweeks based on waveguide mode theory, Proc. Res.Inst.Atmosph.Nagoya Univ. 7,58(1960).
- (37) Chapman,F.W. and Macario,R.C.V. : Propagation of audio-frequency radio waves to great distances, Nature 177,930(1956).
- (38) Kennel,C.F. and Petscheck : Limit on stably trapped particle fluxes, J.Geophys. Res. 71,1(1966).
- (39) Hines,C.O. : Heavy-ion effects on audio frequency radio propagation, J.Atmosph. Terr.Phys. 11, 36(1957).
- (40) Chan,K.L. and Colin,L. : Global electron density distribution from topside soundings, Proc.IEEE 57,990(1969).
- (41) Farley,D.T. : Observations of the equatorial ionosphere using incoherent backscatter, in Electron density profiles in ionosphere and exosphere (edit.J.Frihagen),p.446, North-Holland Pub.Co.(1966).
- (42) Ohtsu,J. and Iwai,A. : Low latitude nose whistlers, Proc.Res.Inst.Atmospherics Nagoya Univ. 14,15(1967).

- (43) Hayakawa,M. and Ohtsu,J. : On the reflection of whistler-mode waves from model lower ionospheres, Proc.Res.Inst.Atmospherics Nagoya Univ. 19,21(1972). Wave interference effect in whistler mode reflection coefficients for model lower ionospheres, J.Geomag.Geo-elect. 23,419(1971).
- (44) Tanaka,Y. : VLF hiss observed at Syowa Base, Proc.Res.Inst.Atmospherics Nagoya Univ. 19,33(1973).

第3章 ホイッスラ波の磁気圏内伝ばん

3-1 まえがき

第2章の前半での議論から電離層下の電放電やVLF送信局からの電波の入り口の部分がホイッスラ波として電離層を透過し、磁気圏へ進入していくことがわかった。これらのホイッスラ波の地上や人工衛星での受信では、磁気圏内伝ばんが最も重要な因子となってくる。磁気圏内伝ばんにはダクト伝ばんと非ダクト伝ばんとの二種類が存在することはすでに述べた。ダクト伝ばんは1961年にSmith¹⁾によじめに提唱されて以来、地上で観測されるホイッスラはこのような磁力線に沿って発達したホイッスラダクトに捕捉された伝ばんだと考えられてきた。しかしホイッスラダクトの存在の直接的な検証は長らく得られていなかった。最近Angerami(1970)²⁾は衛星観測により Smith の理論から予測される新しい種類のホイッスラを発見し、ダクトの存在を明らかにするとともに、ダクトの電子密度の周囲に対する増加率(enchantment factorという)や、ダクトのスケール等に関する情報を得た。他方 非ダクト伝ばんのホイッスラ波の衛星観測の結果が最近いろいろと報告されはじめしており、今後いろいろな種類の非ダクト伝ばんモードのホイッスラ波が飛翔体で発見されるだろう。

以上のことをふまえ、本章の内容を述べる。

3-2節では、磁気圏のような媒質変化のゆるやかな領域での電波伝ばんを取り扱う手法として、2-2節で述べた波動論の近似的取扱いの幾何光学的取り扱いを簡単に紹介する。この幾何光学的手法は3-3節および3-4節における磁気圏内のホイッスラ波の伝ばん路を追跡するのに用いられる。

3-3節では中、低緯度ホイッスラのダクト伝ばんについての研究を述べる。まず3-3-1節では空電研究所の三観測所の同時観測結果中に見出されたダクトの存在を強く暗示するデータを示す。日没時および夜向時、ホイッスラの同時観測の詳しい解析が示され、理論的考察を加味して両時間

帶のホイップラとタクト伝ばんによ、この解釈を得ることを示す。^{3,4)} さらに多点同時観測によりホイップラの下降速度が決定できることを指摘する。磁気圏内伝ばんがタクト伝ばんと、しかもその下降速度が決定されば、数点の異なった緯度での分散値から電子密度分布を求めることができとなり、低緯度ホイップラの最大の欠点が取り除かれたことになり、低緯度ホイップラは内部磁気圏研究に十分寄与することができるよう。

地上観測の結果は幾分間接的であるが、タクトの存在を直接的手法で明らかにする必要がある。そこで電離層内においてホイップラ波の波面法線方向のロケット観測を行なう、有意義な結果を得た。⁵⁾ すなわち、日没時ホイップラの波面法線方向の特性がタクト伝ばんの理論的予測よく一致していることが明らかとなり、日没時ホイップラはタクト伝ばんによ、いることの正確がめられた。さらに第2章の後半で考察した下降ホイップラ波の電離層突抜き特性を実験的に明らかにしたのも本報告の世界で初めてである。

次に地上のルーチン観測、統計結果と衛星で測定された磁気圏電子密度分布と比較することによ、2、日没時および夜間時のタクトの性質を考察する。この結果、日没時ホイップラタクトはさわめて大きな enhancement factor のもので、赤道異常と強く関連することは明らかになつてある。他方夜間の低緯度タクトはせいぜい 10% 程度の enhancement factor で、かかる小さな enhancement factor のタクトによる捕獲機構の議論されてゐる。^{b)}

3-4 节では 20° 以下の超低緯度における磁力線に沿つた伝ばんのエコートレインホイップラやハイブリットホイップラが多数佐久島観測所において観測される。このような高緯度帯では従来の Smith 流のタクト伝ばんは起り得ず、いかなる伝ばん姿態かの問題である。これに対し、ホイップラ

波の波長よりもずっと薄いようなダクトでは表面波モードとして捕捉される可能性が高いことを示す。このような薄いダクトとしては、衛星⁷⁾には観測される数km程度の大きさのHFダクトを考えることがべき⁸⁾。

以上はダクト伝はんに関する議論であるが、3-5節ではダクトによる、いわゆる非ダクト伝はんホイストのロケット観測例を示す。非ダクト伝はんによるホイストは電離層透過条件を満足する場合には稀で、衛星やロケットにおいて主として受信される。3-5節ではK-9M-26号ロケットによる非ダクト伝はんホイストの特性を示し、その伝はん特性の内部磁気圧電子密度分布の緯度効果、すなわち低緯度の特徴ともいえる赤道異常の存在によくうまく説明できることを示した⁸⁾。

3-2 級何光学論的取り扱い

幾何光学論は波動論の近似的取り扱い、波の波長が媒質の特性長よりも短かい時に有効であることは2-2節ですでに述べた。幾何光学論はフェルマの原理(Fermat's principle)を根幹とする理論で、これは波のエネルギーについての情報は得られず、主としてその伝はん路を決定するのに用いる。本イマラ波、磁気圏内伝はん路の計算はフェルマの原理から導かれた微分方程式の数値解法によっている。詳しいことは Haselgrove⁹⁾を参照されたい。伝はん路の追跡では、伝はんに沿っての波面法線方向の変化や群遅延時間(group delay time)を知ることができる。伝はん路の追跡(レイトレーシング, ray tracing)には本イマラに対する屈折率を場所の関数として与えねばならない。したがって本イマラ波の屈折率について十分理解しておく必要がある。冷たいプラズマ(cold plasma)と仮定すると、位相屈折率 μ^2 は次式¹⁰⁾で与えられる。

$$A\mu^4 - B\mu^2 + C = 0 \quad (3-1)$$

式(3-1)の解は

$$\mu^2 = \frac{B \pm F}{2A} \quad (3-2)$$

が得られる。ただし

$$\left\{ \begin{array}{l} A = S \sin^2 \theta + P \cos^2 \theta \\ B = RL \sin^2 \theta + PS(1 + \cos^2 \theta) \\ C = PR L \\ F^2 = B^2 - 4AC \end{array} \right. \quad (3-3)$$

である。式(3-3)において θ は波面法線と地球磁場とのなす角を、また R, L, P, S および D は次のように表わされる。

$$\left\{ \begin{array}{l} R = 1 - \frac{\omega_{pe}^2}{\omega^2} \left(\frac{\omega}{\omega - \omega_{He}} \right) - \frac{\omega_{pi}^2}{\omega^2} \left(\frac{\omega}{\omega + \omega_{Hi}} \right) \\ L = 1 - \frac{\omega_{pe}^2}{\omega^2} \left(\frac{\omega}{\omega + \omega_{He}} \right) - \frac{\omega_{pi}^2}{\omega^2} \left(\frac{\omega}{\omega - \omega_{Hi}} \right) \\ P = 1 - \frac{\omega_{pe}^2}{\omega^2} - \frac{\omega_{pi}^2}{\omega^2} \\ S = \frac{1}{2} (R + L) \\ D = \frac{1}{2} (R - L) \end{array} \right. \quad (3-4)$$

ここで $\omega_p (= 2\pi f_p)$ は プラズマ角周波数と、また $\omega_H (= 2\pi f_H)$ は ジャイロ角周波数を表す。添字 e および i は それぞれ電子とイオンに属することを示す。式(3-2)において電子のみを考慮し、磁気圧力線はんじ遭遇する条件、すなはち $f \ll f_{He} < f_{pe}$ で、しかも電子衝突を無視すると、ホーリスラ波に対する位相屈折率は

$$\mu^2 = \frac{f_{pe}^2}{f f_{He} \cos \theta} \quad (3-5)$$

とえられる。すると群屈折率 (group refractive index) μ_g は

$$\mu_g = \frac{d}{df} (\mu f) \cong \frac{1}{2} \mu \quad (3-6)$$

となる。さらにホーリスラにおいて最も重要な点である異方性の効果^{11,12}、波面法線方向とエネルギー伝はん方向(ray direction)とが異なる、その結果ホーリスラ波は磁力線^{11,12}に沿って伝はんし易い^{11,12}。¹⁰⁻¹² エネルギー伝はん方向と波面法線方向とは α の角をなす。

$$\tan \alpha = - \frac{1}{\mu} \frac{\partial \mu}{\partial \theta} \quad (3-7)$$

上式は 式(3-5)・ホーリスラ波に対する屈折率表示を代入して計算すれば

$$\tan \alpha = - \frac{1}{2} \tan \theta \quad (3-8)$$

という近似式が得られる。

以上のことを考慮して、ホイッグ波の伝播に伴う群遅延時間

T_{12}

$$T(f) = \int \frac{\mu_r'}{c} ds \quad (3-9)$$

が求められる。ただし μ_r' は group-ray refractive index で、 $\mu_r' = \mu_g \cos \alpha / i$ で求められる。式(3-6)と(3-8)を用いて変形すると、式(3-9)は次のようになる。

$$T(f) = \left[-\frac{1}{2c} \int \frac{f_{pe}}{\sqrt{f_{He}}} \left(\frac{\cos \alpha}{\sqrt{\cos \theta}} \right) ds \right] \times f^{-\frac{1}{2}} \quad (3-10)$$

すると $T(f)$ は $f^{-\frac{1}{2}}$ と比例関係にあり、これがとりもなしえずホイッグ特徴的なピューティ gliding tone を表わす。式(3-10)は比例定数を D とする

$$D = \frac{1}{2c} \int \frac{f_{pe}}{\sqrt{f_{He}}} \left(\frac{\cos \alpha}{\sqrt{\cos \theta}} \right) ds \quad (3-11)$$

となる。この D を我々は“分散”と呼んでいる。もし伝播ルートが完全に磁場方向に沿う場合は、式(3-11)は

$$D = -\frac{1}{2c} \int \frac{f_{pe}}{\sqrt{f_{He}}} da \quad (3-12)$$

となる。したがって分散 D を測定することによれば、媒質の電子密度を知ることができる。

低周波では、 $\omega < \omega_L$ と、イオンの効果が重要となる。 $\omega < \omega_L$ の時は周波数が低部混成共鳴周波数 (Lower hybrid resonance frequency) よりも低くなると、イオンが本質的な働きをする。つまり電子だけの場合には磁場を横切る伝播は許されないが、周波数が低部混成周波数より低くなると、磁場を横切る伝播が可能となる。

最後に伝播路の追跡に必要な地球磁場のモデルを紹介する。地球磁場のモデルとしてはダイポール型 (centered dipole model) を採用し、

次式で電子ジャイロ周波数は与えられる。

$$f_{He} = f_{Ho} \left(\frac{r_e}{R} \right)^3 \left(1 + 3 \cos^2 \theta \right)^{1/2} \quad (3-13)$$

ただし f_{Ho} は赤道の地上における電子ジャイロ周波数 $\approx 870 \text{ kHz}$ である。
また r は地球中心からの距離 km , θ は余緯度 rad で r_e は地球半径である。

3-3 中, 低緯度木イッスラのダクト伝はん

3-3-1 ダクト伝はんを示唆する地上観測結果

空電研究所の三観測点の緯度および経度を表3-1に示す。佐久島,

観測所	地理		磁気	
	緯度	経度	緯度	経度
鹿児島(KA)	31°31'	130°46'	20°40'	197°56'
佐久島(SA)	34°43'	137°02'	24°08'	203°19'
母子里(MO)	44°22'	142°16'	33°57'	206°23'

表3-1 三観測所の緯度および経度

母子里両観測点はこの磁気経度の差がわずかで、おもむね同一磁気子午面内にあると考えてよい。このことは木イッスラの電離層下の伝はんと同様には好都合である。ところが鹿児島は幾分佐久島、母子里の子午面からはずれている。まず中, 低緯度木イッスラの発生数, 平均的な日変化パターンを示そう。図3-1は

稚内および豊川における発生数の日変化の結果である。現在は稚内は母子里に、豊川は佐久島に観測サイトを変更している。図から理解されることは、中, 低緯度木イッスラの発生数は、日没前後の鋸山(日没木イッスラと呼ぶ)と夜向ビーグ(夜向木イッスラと呼ぶ)とを持つのが一般的傾向である。本節では

1970年の木イッスラ活動の高い2月の、1日もとりわけ頻度の高かった五日についの同時観測結果を

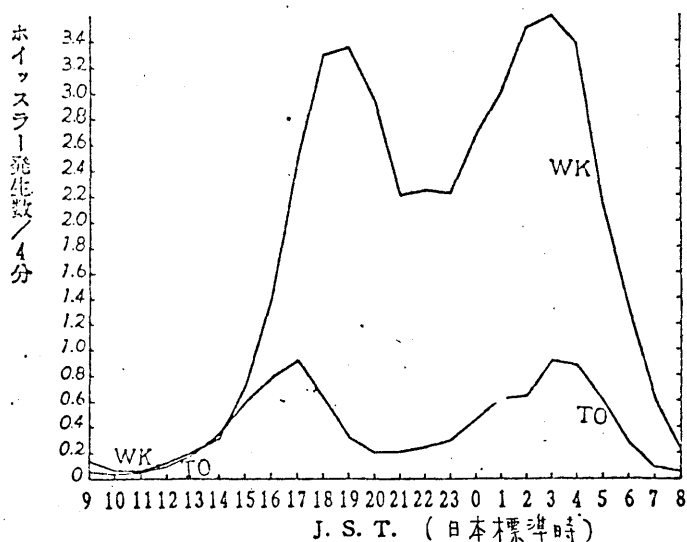


図3-1 中, 低緯度木イッスラの平均的日変化。

詳く説べよう。

a) 日没木イッスラ

図3-2, 3-3, 3-4はそれぞれ2月1日, 3日および7日の分散別発生数の時間変化を描いたものである。発生数は毎時50分から始まる2分間の定常観測中、木イッスラの総数である。これらの図から重要な点を列記すると、

- (i) 佐久島、母子里とも、地方時で14時なし15時から急激に発生数が増大し、16時前後で最大と示し、その後減少する。
- (ii) 分散値は両観測所とも、測定精度内に一致してゐる。
- (iii) 一般に低精度ほど発生数は高い。
- (iv) 鹿児島においては木イッスラは観測されなかつた。

これら三日のデータは夜間の発生数のピークが現われておらず、図3-1の日没時の発生ピークのみを有する日に相当してゐる。まず要項(ii)、佐久島および母子里における分散が一致してゐることは磁気圏内伝播路が同一であることを意味

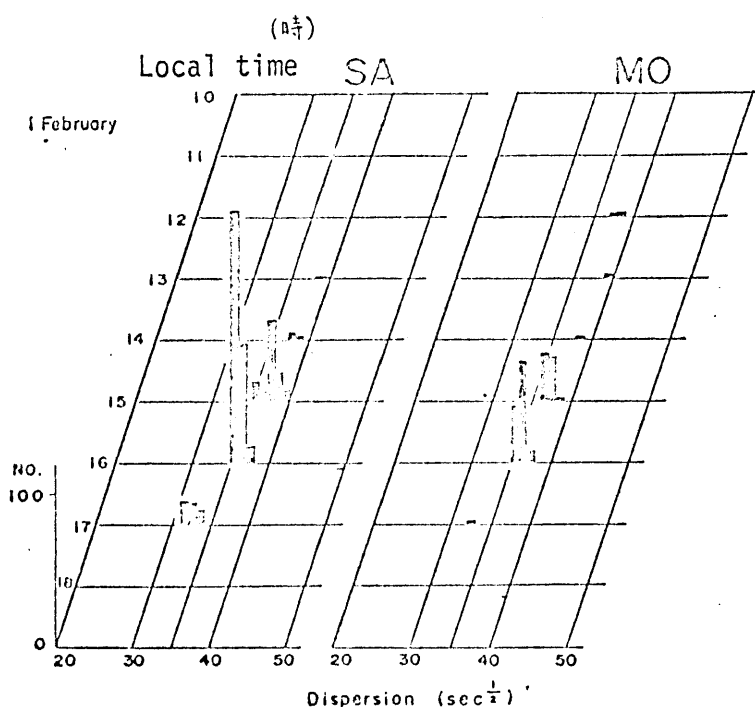


図3-2 1970年2月1日の分散別発生数の時間変化。

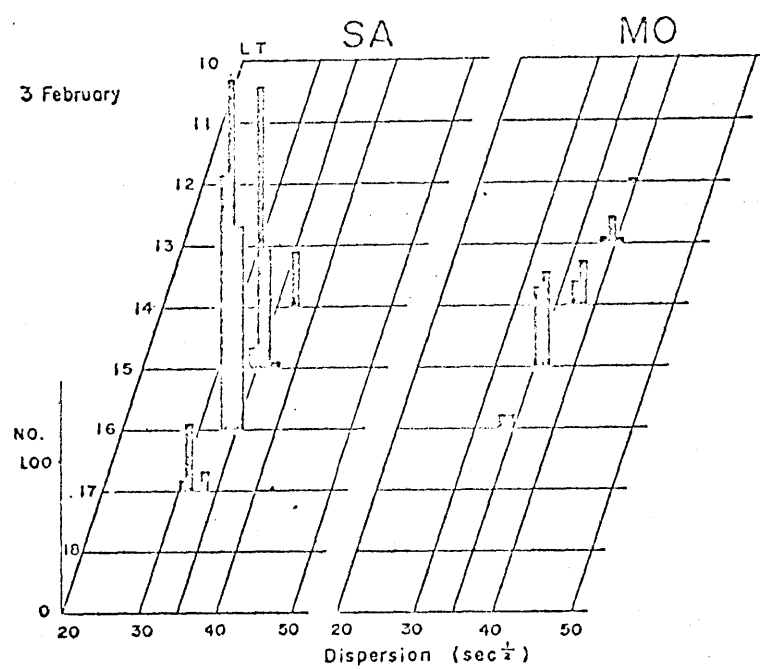


図3-3 2月3日の分散別発生数の時間変化。

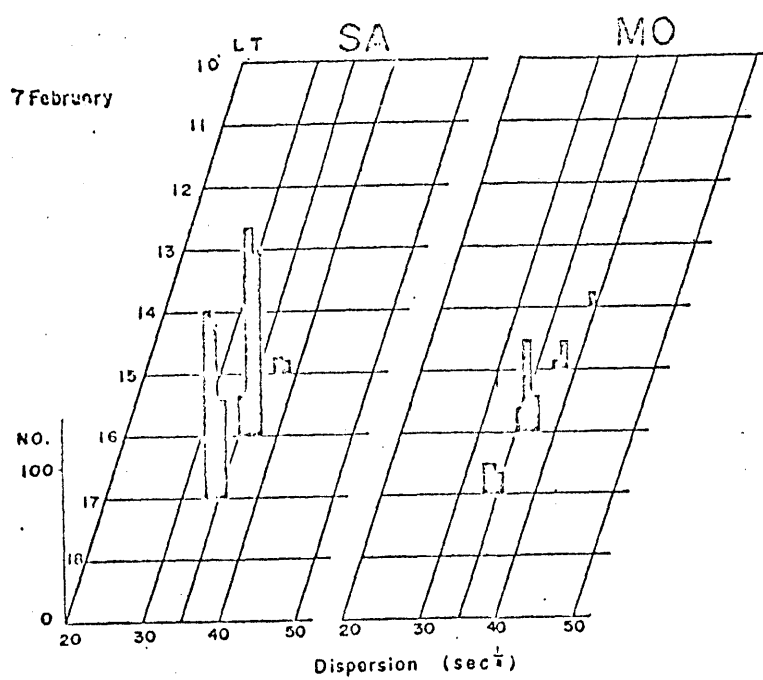


図3-4 2月7日の分散別発生数の時間変化。

味し、また要実(iii)の両観測実向の発生数のちがいは電離層と地表から成る導波管伝ばんの損失によると予想される。つまり日没ホイッスラの下降実緯度は佐久島よりも低緯度側に存在し、電離層下では低緯度から高緯度へと伝ばんするものと考えられる。この実は要実(iv)とも矛盾しない。前述した実を確かめたため、母子里および佐久島で受信されたホイッスラについての同一性を調べた。母子里の歩調度は佐久島よりも低いため、母子里のホイッスラを基準にし、両実におけるホイッスラの同一性を調べる。完全に同一ホイッスラが観測されたと確認できる例を図3-5, 3-6に示す。図3-5の佐久島の周波数解析において、中央部の強い二つの空電の両側には二つのホイッスラ群が認められる。左側のものは4, 5個のホイッスラより構成されている。佐久島の結果に対応して同一のホイッスラが母子里においても認められるが、いくつかのものは消失している。図3-6にも同様の結果が示されている。図に示した例だけなく、すべてのホイッスラに対して同一性を調べた結果を表3-2に示す。観測されたホイッスラを二つのタイプ、すなわち孤立ホイッスラ (isolated whistlers) とマルチフラッシュホイッスラ (multi-flash whistlers) に分けた。その判別の基準としては各成分ホイッスラ間の時間隔が雷放電の周期よりも大きい場合である。¹⁷⁾最大値 200 msec よりも小さくなると、そのホイッスラ群は多重落擊に伴うマルチフラッシュホイッスラと考え、もしこの値よりも大きいときは单一の孤立ホイッスラとなる。表3-2における同一受信率の欄の括弧の値は母子里におけるホイッスラのうち佐久島においても受信されているホイッスラ数を、また括弧の数値はそのパーセント値を示す。2月1日の場合は発生頻度の高い時間帯では同一受信率はきわめて高い。2月7日も同様に、データとして信頼度の高

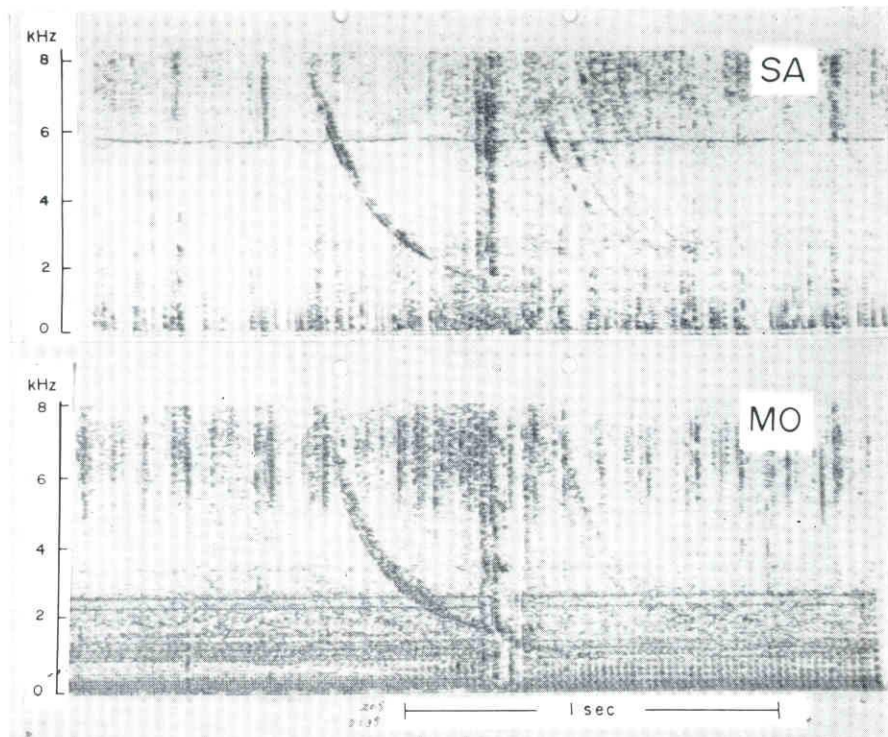


図3-5 佐久島、母子里において受信された同一ホイップ例。
2月1日の16時50分LTの結果で、分散はすべて $35 \text{ sec}^{\frac{1}{2}}$ である。

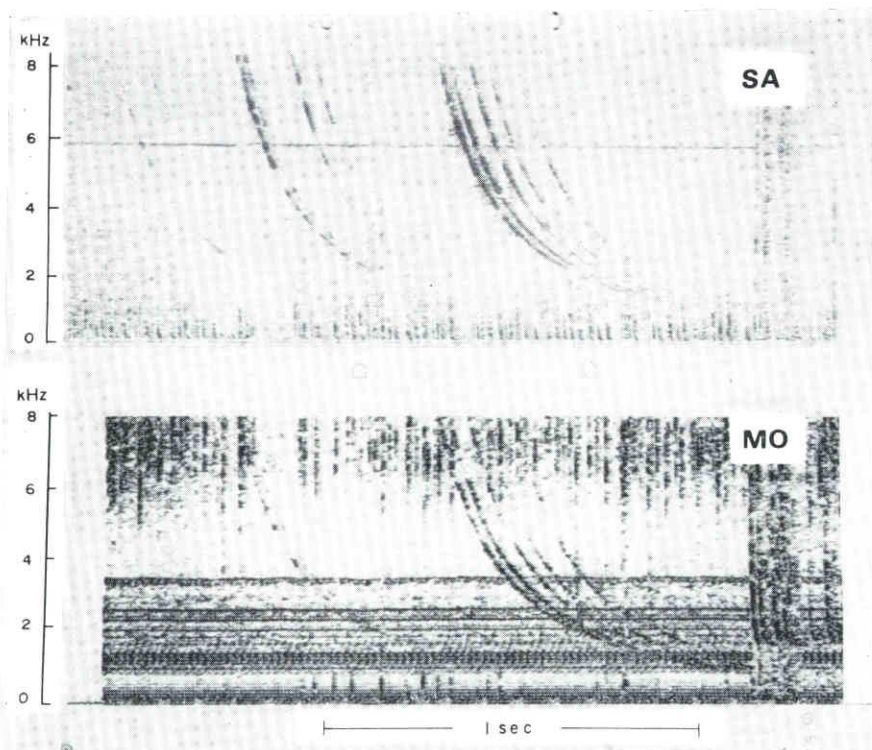


図3-6 佐久島、母子里において受信された同一ホイップ例。
2月7日の16時50分LTの結果で、分散はすべて $35 \text{ sec}^{\frac{1}{2}}$ である。

い時間帯は完全に100%である。これに反し、2月3日には同一受信率は3%ほどなくなっているからわかる。これは前二日と2月3日とは、電離層下伝播の子午面に対する方位のちがいに起因しているためと推測される。

表3-2 日没木トスラの佐久島、母子里における同時受信率。

Date	Local time	Total number observed at MO		Coincidence number and coincidence coefficient	
		Isolated whistler	Multi-flash whistlers	Isolated whistler	Multi-flash whistlers
1	14	1	0	1(100%)	-
	15	3	13	3(100%)	11(85%)
	16	5	26	4(80%)	20(77%)
	17	2	0	2(100%)	-
3	14	9	8	0(0%)	1(13%)
	15	0	9	-	2(22%)
	16	4	2	0(0%)	0(0%)
	17	0	0	-	-
7	14	3	1	0(0%)	0(0%)
	15	1	4	0(0%)	3(75%)
	16	15	21	15(100%)	21(100%)
	17	9	12	9(100%)	12(100%)

b) 夜向木イツラ

図3-7, 3-8は2月21日および23日の分散別発生数の時間変化を描いたものである。図3-8には日没時のピークが存在せず、その数は図3-2～3-4に比べ、著しく少ない。この二日、特徴的な特性は夜向に木イツラが定常的に毎子里において受信されることはある。しかし佐久島、鹿児島においては観測されない。2月21日には分散1±三つの値、 $D=45, 50$ および $55 \text{ sec}^{\frac{1}{2}}$ に集中し、そのほか $60, 65 \text{ sec}^{\frac{1}{2}}$ の分散の木イツラも存在するが、その数はきわめて少ない。明瞭な三つの分散値は、磁気圏内にこれらの分散値に対応するところと云はん。路地夜向に安定な状態が存在したこと暗示している。次に図3-8にはおいては $D=45, 50 \text{ sec}^{\frac{1}{2}}$ の分散値に木イツラが集中し、 $D=55 \text{ sec}^{\frac{1}{2}}$ の木イツラはその数が少ない。これらの図から興味ある点と列記すると

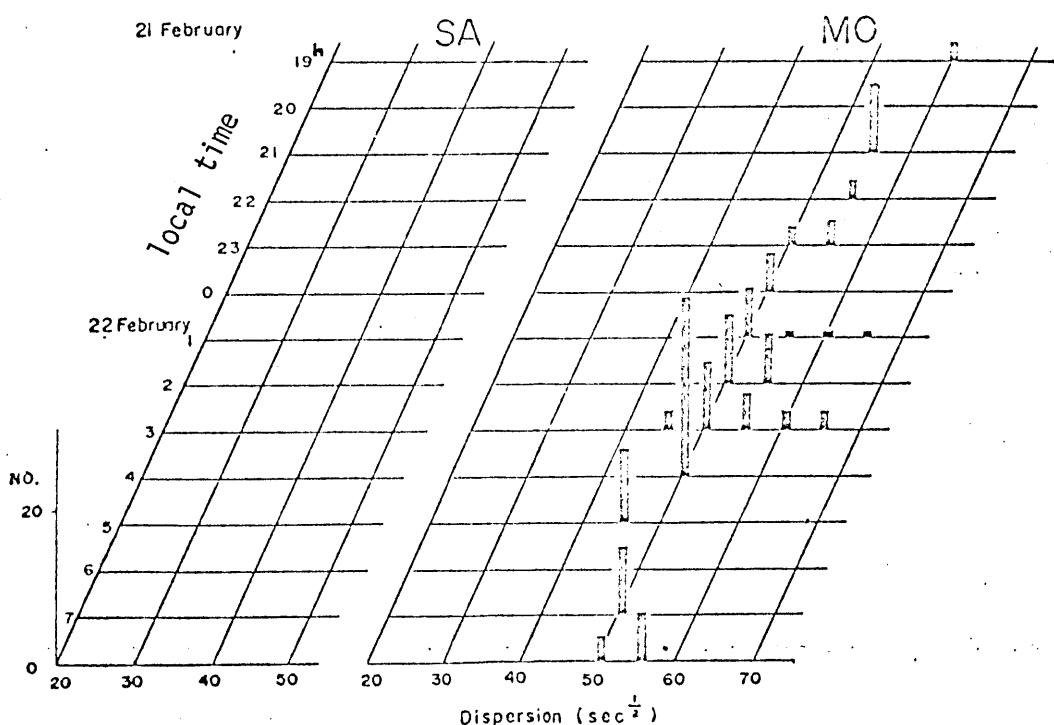


図3-7 2月21日の分散別発生数の時間変化。

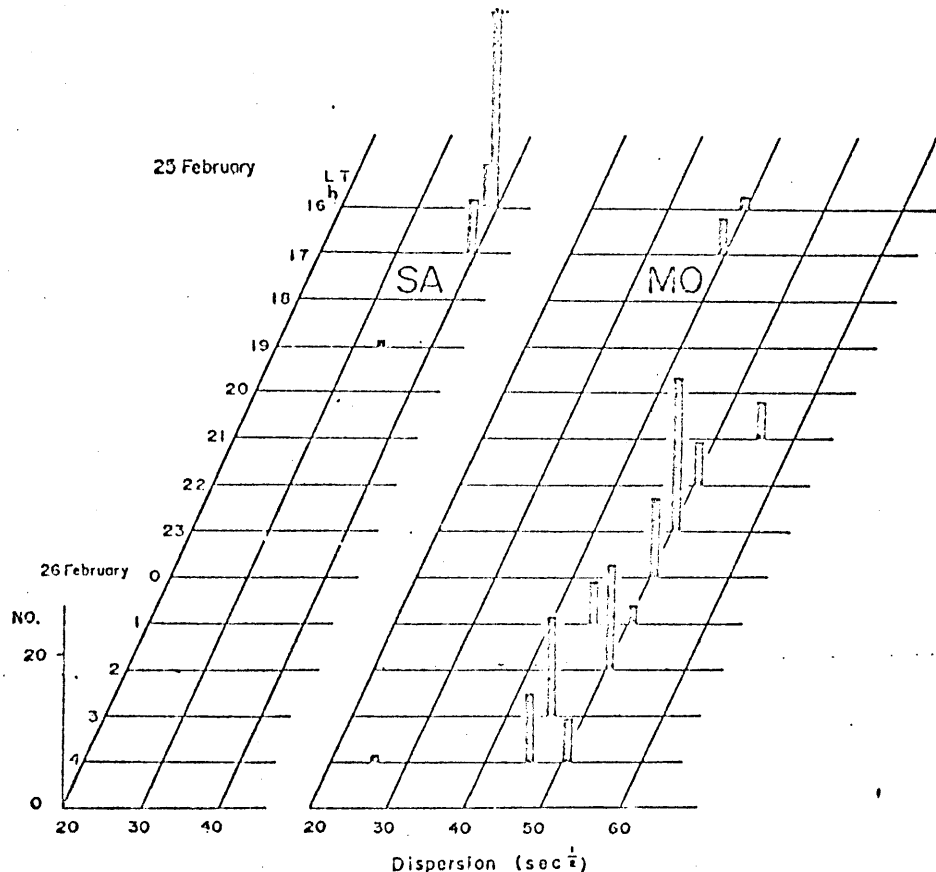


図 3-8 2月 25 日の分散剖発生数の時間変化。

- (i) 少なくとも解析した二日の結果では、夜間に母子里においてホウスラが観測された。
- (ii) 観測されたホウスラの分散値は数個の孤立した値に集中している。長時間持続する分散値のホウスラ・スペクトルの例が図 3-9 および 3-10 に示されている。これらは 2月 21 日の $D = 50$ および $55 \text{ sec}^{-\frac{1}{2}}$ のホウスラ群である。

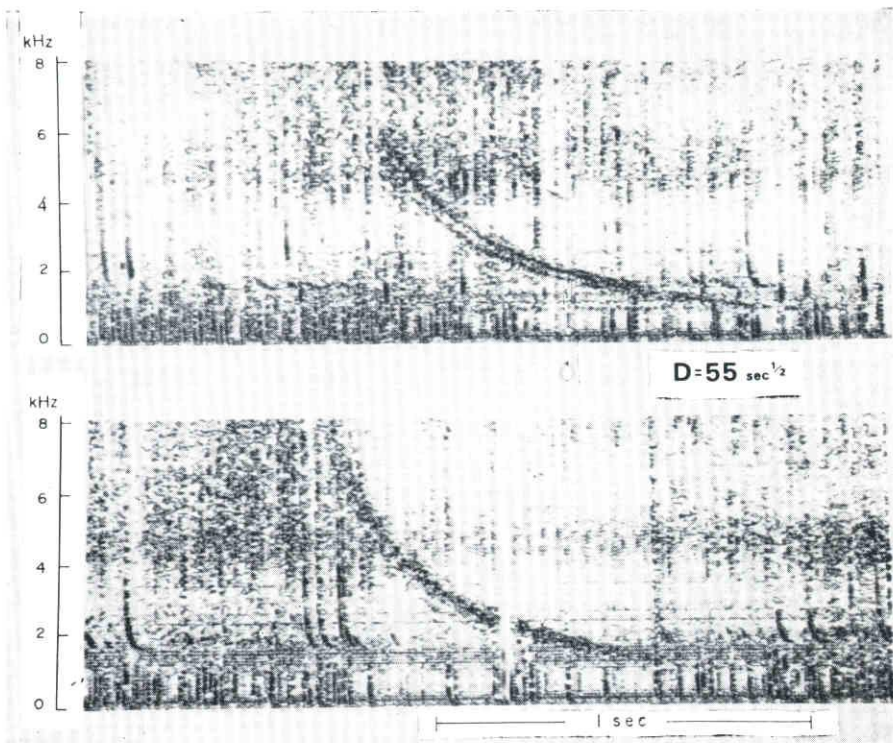


図3-9 2月21日の分散 $55 \text{ sec}^{1/2}$ のホトトギスのオキナツ発生を示す図。
上図は21時LTの、下図は22日の1時までの結果である。

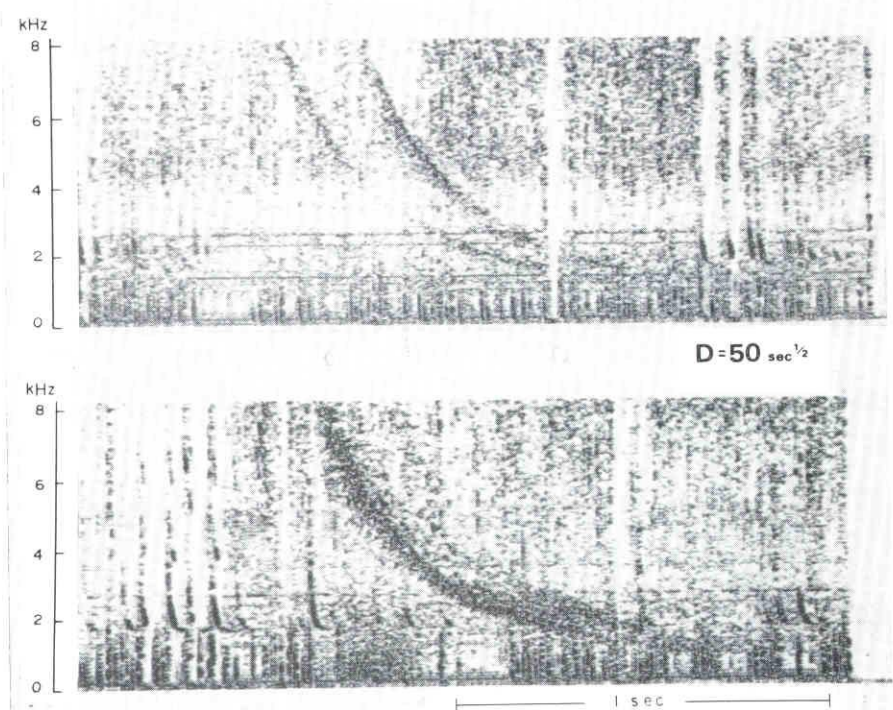


図3-10 2月21日の分散 $50 \text{ sec}^{1/2}$ のホトトギスの安定な発生を示す図。
上図は24時LTの、下図は22日の午時の結果である。

c) 理論的考察

日没、夜向ホーリスラとの分散の振舞から推測すると、磁気圏内伝はん路は安定である。しかし、このような安定な伝はん路が「 γ 」の存在によるか否かはこれだけでは未だ論議できない。そこで観測結果に理論的考察を加え、かゝる定常的径路の「 γ 」の存在によるのみ可能であることを示すとともに、観測結果の矛盾なく説明できることを示す。

Model number	Reference height (km)	Electron density at the reference height (cm ⁻³)	Ion composition at the reference height (%)			Temperature (°K)
			H ⁺	H ₃ ⁺	O ⁺	
1	1000	3×10^4	8.00	2.00	90.00	1600
2	1000	3×10^4	10.00	40.00	50.00	1600

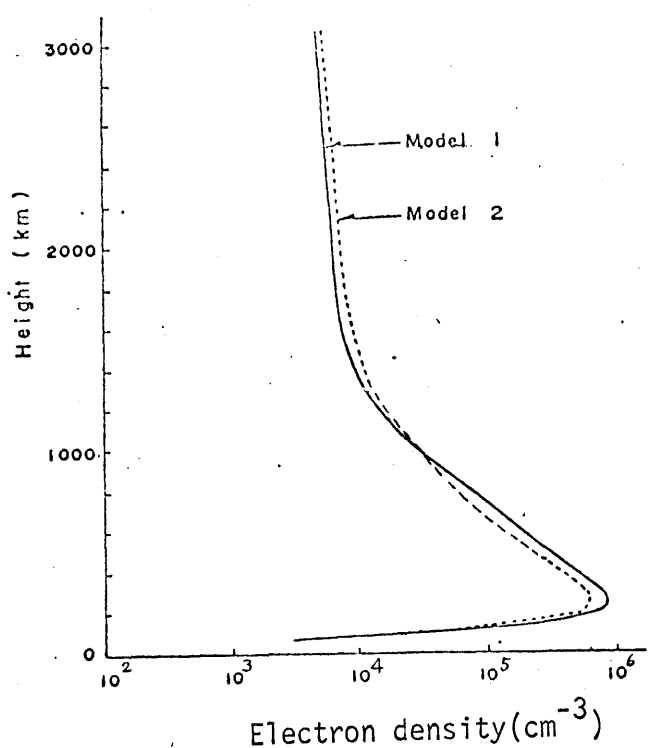


図3-11 昼間時の磁気圏電子密度分布。モデル1, 2の諸元は上の表にまとめてある。

まず議論を日没ホイストに限定する。もし日没ホイストが非ダクト伝
はんだとし、観測結果の説明を得るかどうかを調べる。図3-11には全向の二つの典型的電子密度分布が示されており、これらの拡散平行モデルの諸元も示されてる。これらのプロファイルに対して、 5 kHz のホイスト波の伝はん経路を計算した結果が図3-12である。横軸はホイスト波の出発緯度そして縦軸は下降緯度である。地上 120 km から初期波面法線方向が鉛直という条件で計算を始め、反対半球の 120 km の高度における情報を得る。図3-12の実線は入射緯度と下降緯度との関係を示し、図から次のことがわかる。

(i) 伝はん経路は赤道に対して非対称である。

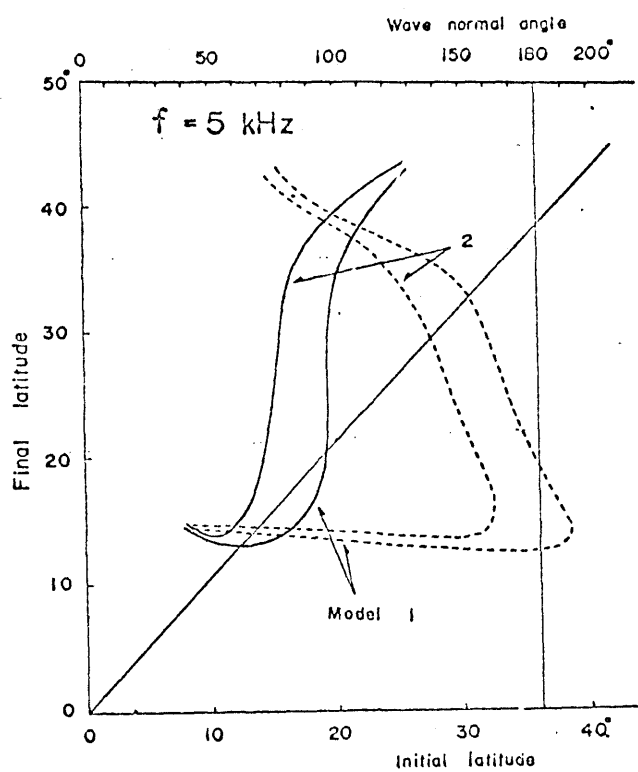


図3-12 実線は初期緯度と下降緯度の関係を示し、
破線は下降緯度における波面法線方向を
示す。ただし 180° の高線は波面法線が鉛直下方を
向くことを意味する。

(ii) 伝播経路はモデルに強く依存する。

以上の諸実験も定常的経路の存在は説明できない。これらの諸特性よりも、重要な点は、下降してきた木星ストラの電離層を突抜け地上で受信され得るかどうかという点である。この点はすでに第2章の後半において詳細に議論した。すなわち 図3-12の破線の結果がきわめて重要な意味を持つ。つまり、これは下降緯度における波面法線方向の計算結果である。図で 180° は波面法線方向が鉛直下方に向ってこと意味する。突抜けは鉛直方向のまわり、狭い透過円錐内にこの波面法線方向が向いた時にのみ地上で受信される事はすでに述べた。図からモデル1に対しては 波面法線方向が 180° の線と交叉する下降緯度の 13° と 19° 前後 0.1° の範囲(範囲)において突抜け可能である。一方、モデル2では全反射を受け磁気圏へ反射され、電離層下のエネルギー透過はない。モデル1のような場合には、突抜け可能な下降緯度範囲に対応して、入射緯度にもある範囲が存在する。しかし雷放電を照射する入射緯度における範囲は数度以上あることから、モデル1では上述した二つの下降緯度範囲にわたって突抜け得る。ところが下降緯度における波面法線方向が 180° よりも大きいか否かにより、電離層下の伝播に顕著な差が現われる。

この点の模式的に 図3-13に描かれている。波面法線方向が 180° よりも小さな木星ストラの電離層下では高緯度方向へ伝播するモードを励起し、 180° よりも大きい場合には赤道方向へ伝播するモードと結合する。この点が非タクト伝播の最も重要な、注目すべき特徴である。これらの特性を用いて、日没木星ストラの説明に適用してみよう。モデル1の場合モデル2は突抜け可能な下降緯度は 13° と

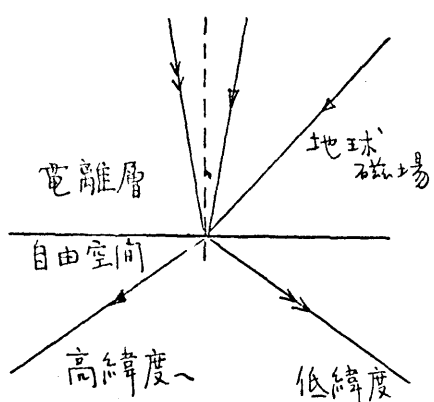


図3-13 電離層突抜け機構

19°前後で、下降臭素度における波面法線方向が 180° の線上と交叉しつゝことから、突抜けた波は赤道方向へ伝はんするモードと高緯度方向へ伝はんするモードとを起す。そのうち後者の観測された日没木イッスラだとすると、鹿児島においても受信されるはずであり、観測結果とは矛盾する。たゞえ3-5節で議論するような電子密度の緯度効果を考慮したとしても、突抜け緯度帯は図3-12と異なるが、非ダクト伝はん性長は成立し、観測結果は説明できない。

次に日没木イッスラの観測結果がダクト伝はんによらず矛盾なく理解し得ることを示そう。木イッスラを捕捉するダクトがE層ぐらゝまで伸びていて仮定する。このレベルでのプラズマ諸量を次のように考える。電子プラズマ周波数 = 500 kHz 、電子ジャイロ周波数 = 1 MHz 、312波の周波数を 5 kHz とする。すると透過円錐の半角は約 10° となる。一方磁力線のまわりの捕捉円錐(trapping cone) はダクトの enhancement factor や反対半球の初期波面法線方向等により決定されば、その半角を 25° とする。上述の事情を図3-14に示す。図示した例では捕捉円錐と透過円錐との重なり合ふ波面法線方向が存在しないことから、電離層下へのエネルギー透過は期待できない。ところが、電離層の下端が図の実線で示したように、

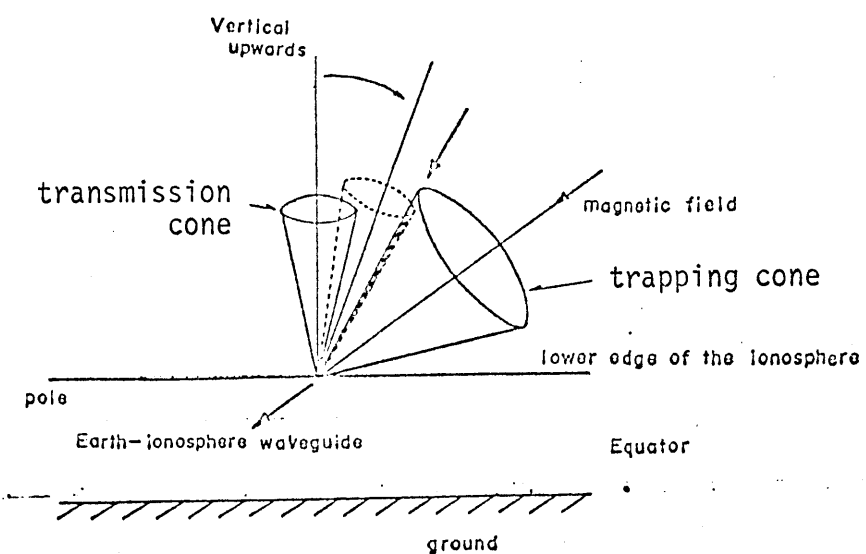


図3-14 下降木イッスラ波の電離層突き抜けの模式図。

赤道方向に傾いた際には両円錐には重なり合ふが起る（斜線を施した部分）。このような場合には、その斜線部分に波面法線方向に入るような下降木イッスラは電離層を透過した後、高緯度方向への電離層下を伝ばんする。電離層下部の傾斜は、衛星観測によりしばしば観測されてゐる。¹¹⁾ ダクト条件と初期波面法線方向とのかねあいにより、捕捉円錐の仮定よりも広がるような場合には電離層の傾斜が存在しなくとも電離層下への突抜りは可能である。この点は次節のロケット実験の結果によることも言及する。

以上の諸特性から低緯度木イッスラの下降緯度は受信緯度よりも低緯度側にあると結論される。したがつて日没木イッスラの下降緯度は鹿児島と佐久島との間にありと考えられる。さらに佐久島の方が母子里よりも緯度が高いことは、佐久島と母子里との間の電離層・地表導波管伝ばんの損失によると考えられる。

次に夜向木イッスラについて考察する。夜向の磁気圏電子密度分布に対して非ダクト伝ばんの一般的特性は成立するが、夜向木イッスラが母子里においてのみ観測されたという結果は非ダクト伝ばんとは理解できず、日没木イッスラと同様の議論が可能となる。夜向。安定に持続する数個の分散値は孤立したダクトが空間的に固定して存在すると考えねばならない。また分散の差が $5 \text{ sec}^{1/2}$ であるところ、Allcock の分散の緯度変化式²⁰⁾を利用すると、ダクト間隔は緯度にして約 2° である。ダクトの径路緯度を調べるために菅平(26°N)と遠刈田(28°N)のデータを利用した。これによると両観測所とも母子里の木イッスラヒーと一対応がとれる木イッスラは認められなかつた。したがつて磁気緯度 28° (遠刈田) から 34° (母子里) の間に二個なし三個の木イッスラダクトが存在してゐると結論される。夜向木イッスラの径路緯度は日没木イッスラに比し 5° 程度高緯度である。この径路緯度のちがいは地球磁場の伏角 5° 程度のちがいに相当し、電離層透過は図3-14から察せ

しきるようにならうに非常に容易になる。

以上、日没および夜の木イッスラダクトに関する結論をまとめたものを
図3-15に示す。

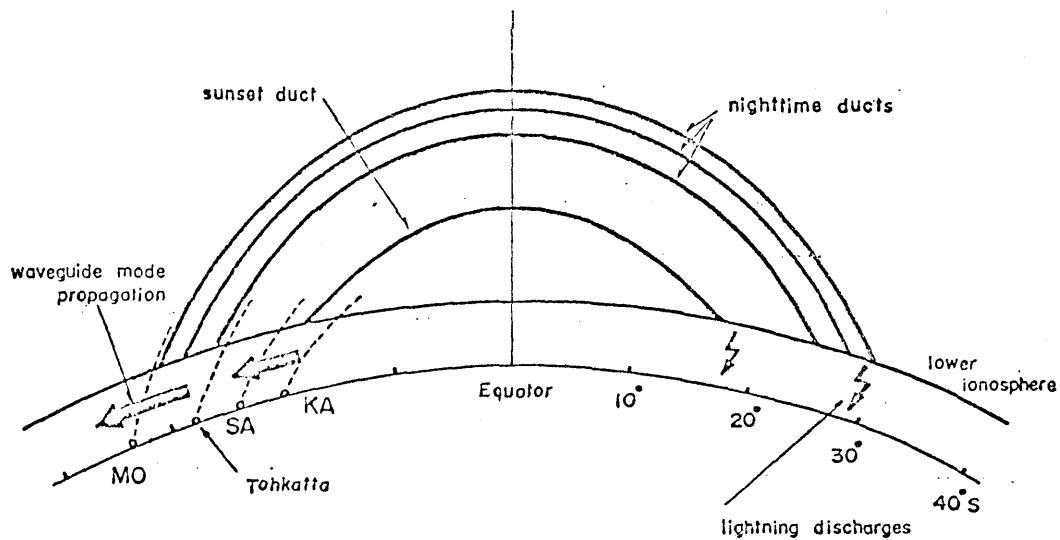


図3-15 低、中緯度木イッスラダクトの分布状態。母子里、遠刈田
町には便宜的に三つのダクトが示されている。

3-3-2 ロケットによる木イッスラ波の波面法線方向の測定

3-3-1節において地上と莫同時観測結果を用ひ、中低緯度木イッスラ電場伝播によることを見た。そこでこの電場の直接的な確立を得るために、日没木イッスラの波面法線方向のロケット観測を計画し、見事な成功を収めたといふべきだ。

a) 木イッスラ波の波面法線方向の測定原理および回路系

木イッスラ波の波面法線方向の測定は次の仮定に基づいている。

(i) 木イッスラ波は平面波である。

(ii) 木イッスラ波は円偏波である。

電場傳播の波長が源から離れてくると波面の曲率半径より小さいとき、(i)の平面波近似の条件は満足されている。また(ii)の仮定は波面法線方向にも依るべく、2-3-4節のロケット観測によりすでに確かめられている。木イッスラ波の電界は伝播方向にもその成分を持ったため、方位測定には向きがある。しかるに木イッスラ波の磁界は伝播方向に垂直な面内においてのみその成分を有するので、方位測定には波の磁界成分を利用する。図3-16の座標系において受信される木イッスラ波の

磁場の三成分を示すと、

$$\left\{ \begin{array}{l} H_x = -A \cos i \sin \theta \cos \omega t \\ \quad - A \cos \theta \sin \omega t \\ H_y = -A \cos i \cos \theta \cos \omega t \\ \quad + A \sin \theta \sin \omega t \\ H_z = A \sin i \cos \omega t \end{array} \right. \quad \cdots (3-14)$$

上式において i, θ はそれぞれ入射

木イッスラ波のロケットに固定した

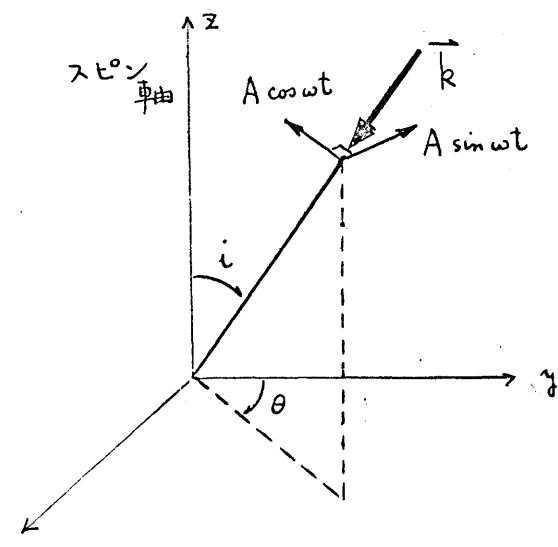


図3-16 ロケットに固定した座標系における問題の記述。

座標系における入射角および方位角である。ただし A , ω は波の振幅と角周波数である。式(3-14)において次の操作を施すと、入射角および方位角の情報を得ることができる。まず H_x 成分に位相を 90° ずらした H_y 成分を加えると

$$\begin{aligned} H' &= H_x + H_y (+\pi/2) \\ &= A(1 - \cos i) \sin(\omega t - \theta - \pi) \end{aligned} \quad (3-15)$$

となる。式(3-15)と式(3-14)と比較すると、入射角および方位角はそれぞれ次の手段により求められる。

(i) 方位角 θ

$$H' \text{ と } H_z \text{ の位相差 } \varphi \text{ を求める} \\ \varphi = \theta + \frac{3\pi}{2}$$

$$\therefore \theta = \varphi - \frac{3}{2}\pi$$

(ii) 入射角 i

H_z および H' を包絡線検波し、それそれを $\sin pt$, $\cos pt$ に変調し、計算すると

$$A \sqrt{2(1 - \cos i)} \sin(pt + \frac{i}{2})$$

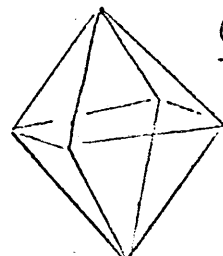
となる。これを $\sin pt$ の位相差 ψ を求める

$$\psi = \frac{i}{2}$$

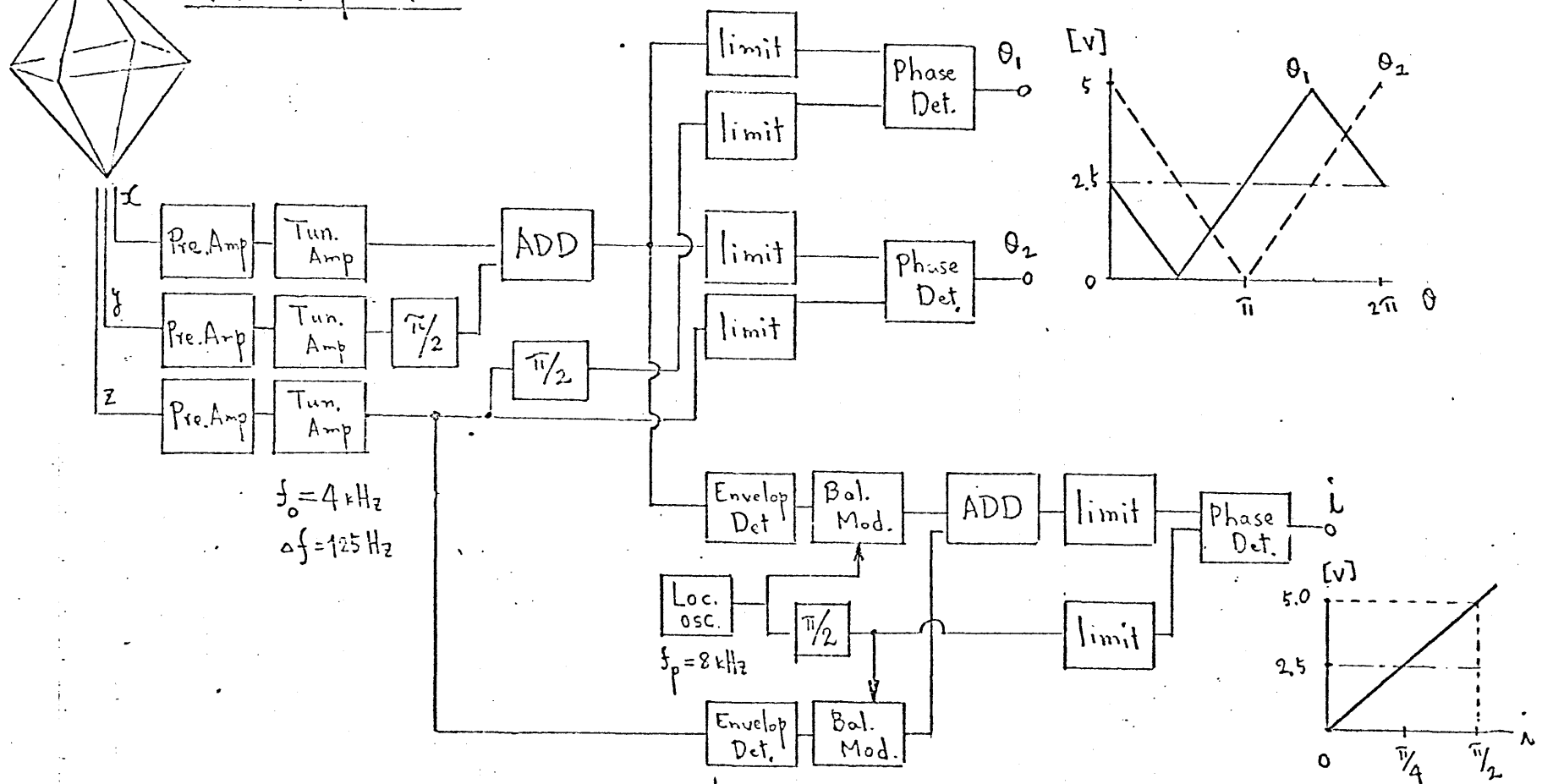
$$\therefore i = 2\psi$$

上述の原理に基づく本システムの波面法線方向の測定回路のブロックダイアグラムを図3-17に示す。図中の上半分は方位角に関する演算回路系であり、下半分は入射角に関する演算回路部である。到来方位角および入射角は機上においてアナログ処理され、地上へテレメトされる。

アンテナは同一面積の直交三次元ループアンテナであり、各ループアンテナは 1辺 50 cm, 卷数 6 回である。アンテナ交叉部を除いた巻線は静電遮蔽されている。塔載場所はロケット先端部である。ロケット本体からの影響を避けるため可能な



Crossed loop aerials



[図] 3-17 ホイツラ波、波面法線方向の測定回路、ブロウラム。

限り本体より遠くへ突出された。また絶対姿勢を知るため太陽センサもつまられた。

次に受信機について簡単に述べる。前置増中器において昇圧比100:1昇圧トランスにより昇圧され、前置増中器の初段入力抵抗は 10^5 Ω程度である。受信周波数は4kHz, 受信帯域中は最適条件として約120Hzである。S/N 20dB以上で、方位角は $0^\circ \sim 360^\circ$, 入射角は $0^\circ \sim 90^\circ$ まで計測することができる。測定精度は方位角、入射角とも $\pm 3^\circ$ 以内、またともに入力変動範囲60dBに対して測定変動中は $\pm 3^\circ$ を目指している。最後に木イッシュ確認のため広帯域受信機もつまられている。

b) 観測結果とその解釈

本実験は昭和48年1月19日18時00分JSTに内之浦から打ち上げられたK-9M-41号ロケットにより行なわれた。波面法線方向測定は発射後400秒より落下までの2分程度の間に行なわれた。ロケットの軌道が図3-18に示され、図中の○---○の太線が描かれた部分が我々の測定期間である。測定期間中の水平距離はおむね70km程度で、これを高度方向および経度方向のスケールに焼き直すとそれぞれ61kmおよび35kmである。観測時間内に100ヶ以上の木イッシュが受信された。この間、佐久島および鹿児島観測所において1時間観測を行なったが、佐久島では10ヶ程度、また鹿児島ではゼロであった。荒い評価として数の比と強度の比を考えれば、電離層内では地上、10倍程度の個数の木イッシュの存在し、電離層吸収は約20dBという値を得る。しかし100ヶ以上の木イッシュのうち角度或精度よく決定できたのは、そのうち十分な強度の約20個程度のものである。これらの木イッシュの方位角、入射角と極座標表示が図3-19に示す。実際には異なる高度において観測されているが、スネルの法則を用いて最大電子密度高度260kmにおける値に変換している。

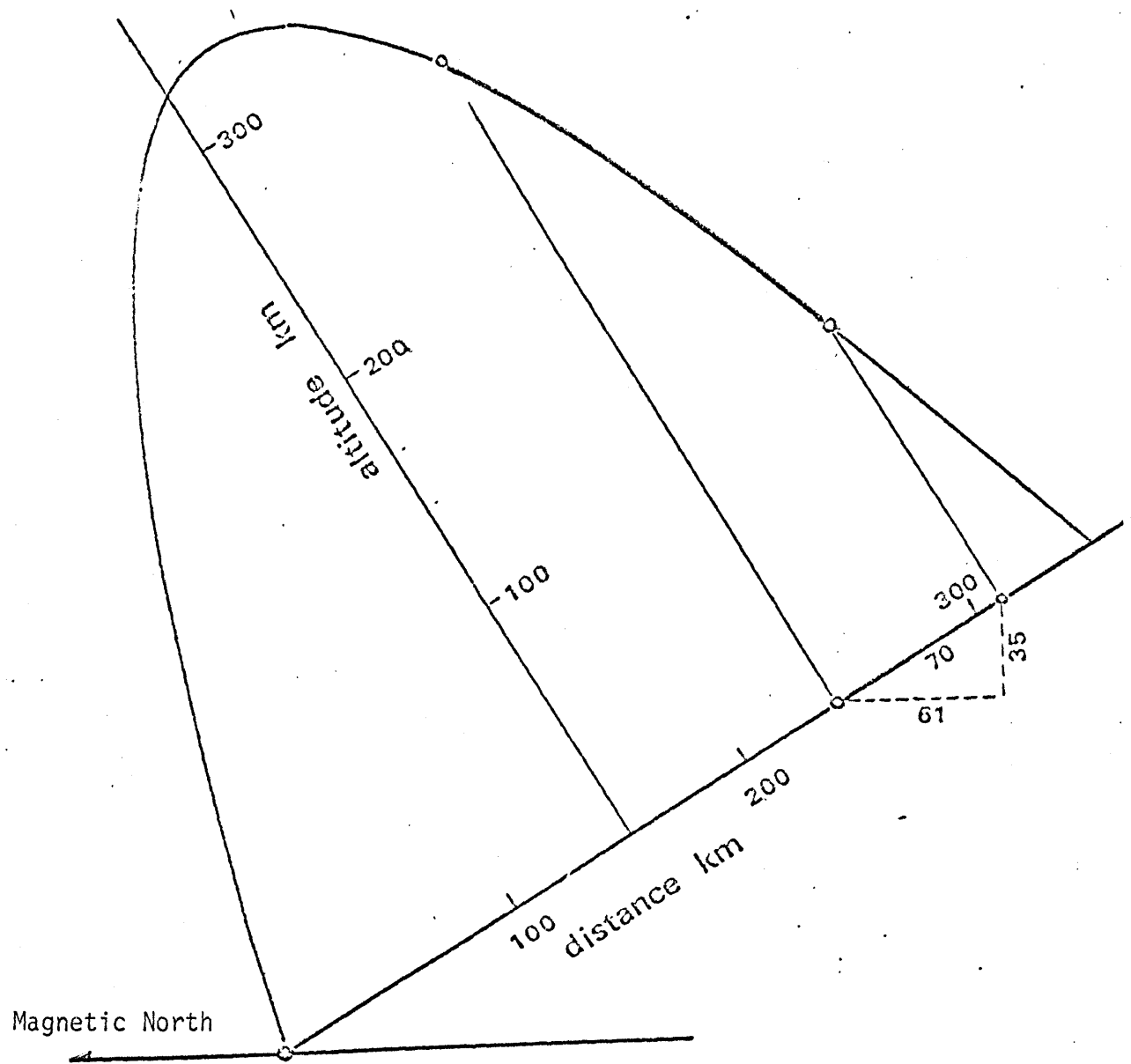


図3-18 K-9 M-41号ロケットの飛翔軌道。図中の
○○の区間の波面法線方向。測定が行なわれた
高度領域である。

この際、必要となる電子密度分布は相乗りのプローブ観測の結果を利用しており、また電離層は horizontally stratified だと仮定する。図中の一重丸で示したホーリスラは佐久島において同時に受信されたものであることを表わす。図3-19はさわめて興味あるいくつかも情報を含んでい。それらを列記すると、

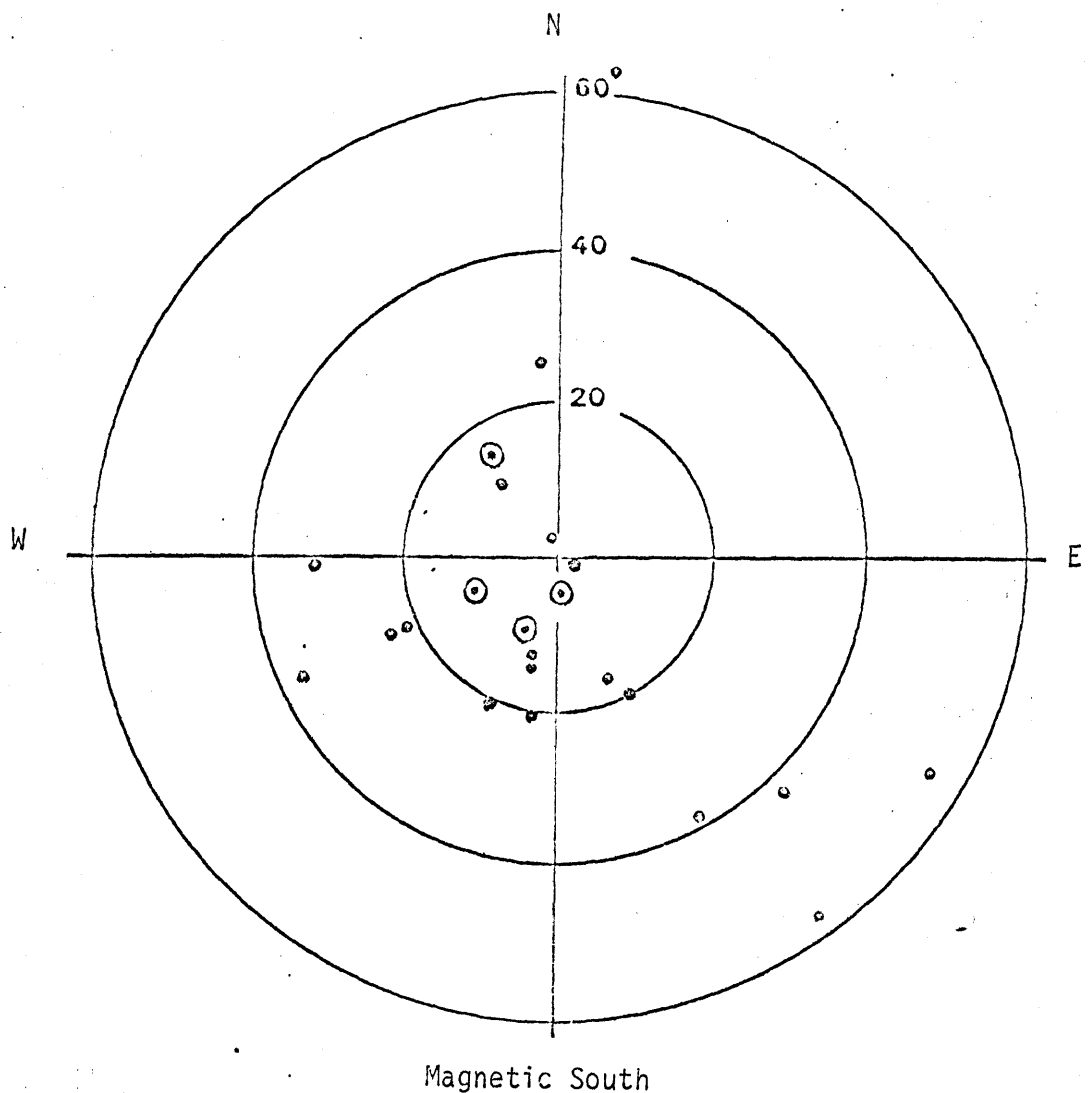


図3-19 ホイツラ波の入射角・方位角分布。南側に分布しているものは高緯度方向に向いていることを意味している。二重丸は地上(佐久島)において同時に受信されたホイツラである。

- (i) 波面法線方向はほとんどのものが南から北への方向、いわゆれば高緯度方向に向っている。高緯度方向に波面法線方向が20°以上ホイツラは全体の80%以上である。
 - (ii) 入射角が鉛直となす角は、一般的に言え、かなり小さな値を示している。入射角が鉛直と 30° 以内の角度となすものは高い確率で存在している。
 - (iii) 方位角分布には顕著な傾向は認められない。
- である。図3-20は分散の高さ変化を示したもので、すべて $20 \text{ sec}^{1/2}$ 前後である。分散の散布度は平均値に対して $\pm 5\%$ 程度である。波面法線方向の振舞

をよく理解するためには、図3-19と用ひて最大電子密度高度における波面法線方向が鉛直となす角および地球磁場となす角の歩度分布を図3-21, 3-22を示す。ここで入射角、方位角の測定精度について述べる。測定精度は測定機自体よりはケックトの姿勢の精度に著しく依存し、全体として入射角、方位角とも $\pm 10^\circ$ 精度である。図3-21を詳しくみてみよう。図でSとは波面法線が低緯度から高緯度方向へ向かうことを意味する。全体としてS側に片寄り、この特徴であるが、かなり散らばっていることを注目される。図中に斜線を施した木のスラは佐久島においても観測されたものである。次に図3-22より入射木のスラ波の波面法線方向と地球磁場となす角は 20° から 50° まで、平均して 30° 一様に分布したこと考えられる。

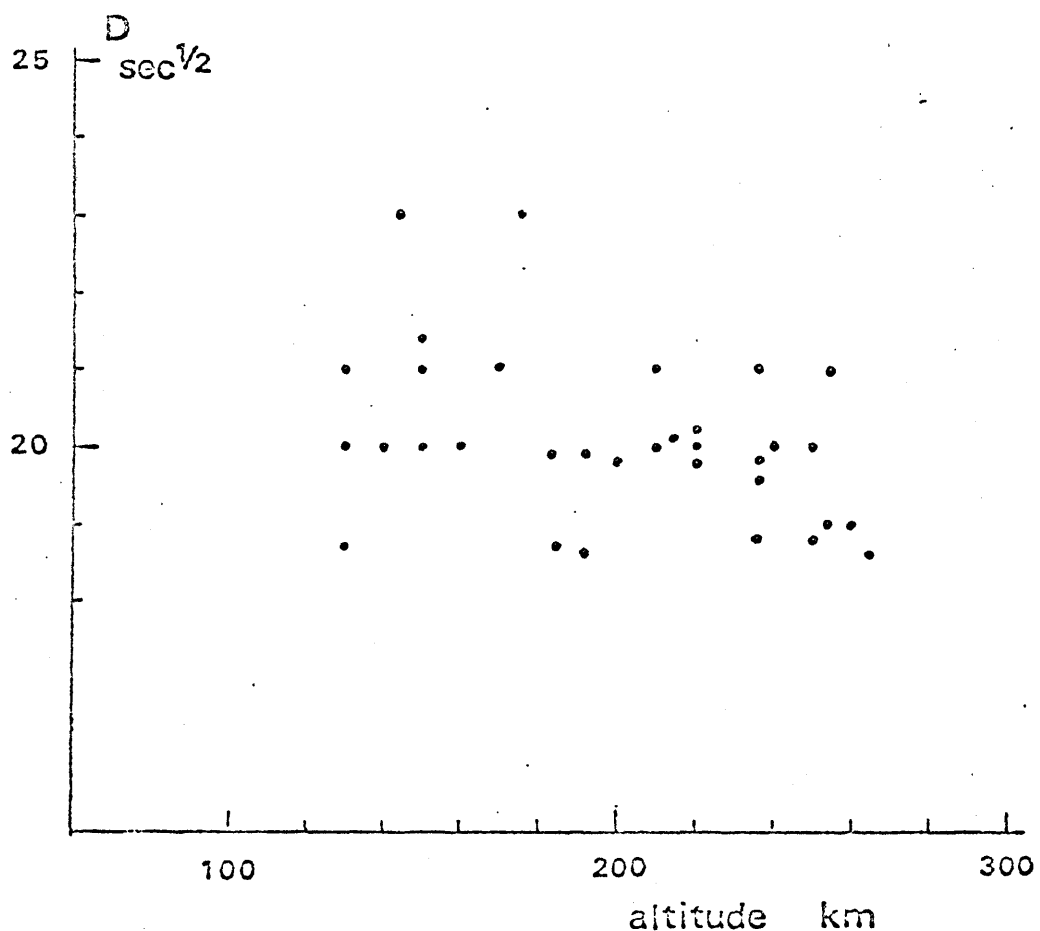


図3-20 分散の高度変化。

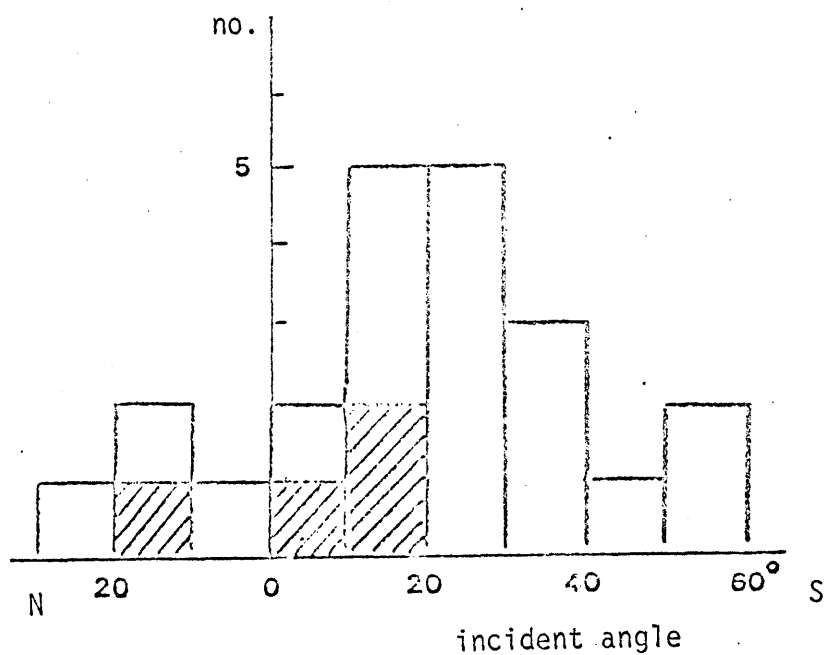


図3-21 入射波と鉛直とのなす角の分布状態。斜線を施した木のようは地上でも受信されたものである。

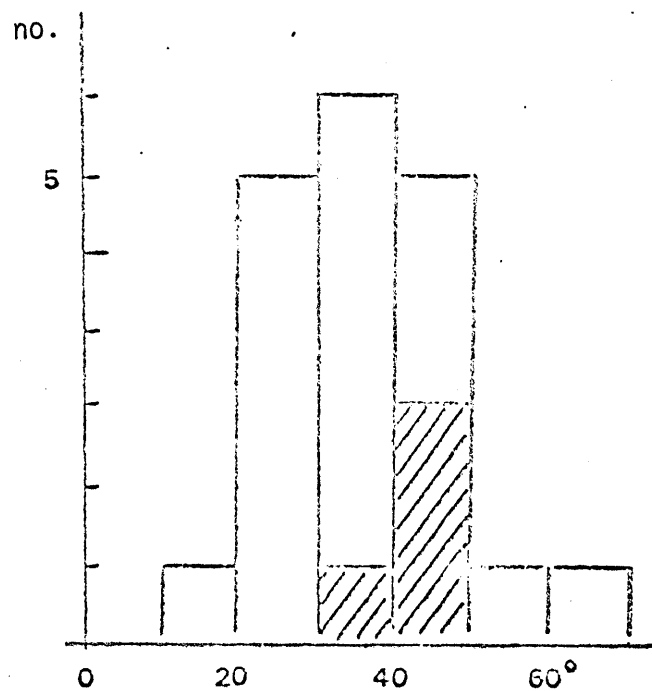


図3-22 波面法線方向と地磁場とのなす角の分布状態。斜線を施したものには地上でも観測されたものである。

以上の観測結果を考察しよう。非ダクト伝はんでは 3-3-1 节の滑らかな直向時の磁気圏電子密度分布に対するレイトレーシングの結果(図3-12)からもわかるように、観測領域におけるショートホイップの波面法線方向はほぼ鉛直下方に向っており、ロケット飛翔中 1° 程度、緯度変化に対してもほとんど波面法線方向には変化しない。このような滑らかなモデルのみならず、3-5 节述べるような赤道異常の如き電子密度の緯度効果を考慮した際の波面法線方向の振舞を調べる。図3-23はその結果である。図から下降緯度 20° 附近での波面法線方向の変化は図3-12の場合よりも大きいか、ほぼ一定と考え差し支えない。これらの理論的予測は観測結果とは著しい違いを示している。すなわち非ダクト伝はんでは観測結果は説明され得ない。ある高度で観測した時、波面法線方向を広く分布させた機構が必要である。これはとりもなおさずダクト伝はんを暗示している。図3-22はまさに波の磁力線のまわりに捕捉されている状態を示し、捕捉円錐の半角が 40° 程度であることを意味している。Helliwell¹²⁾によれば、磁気圏内の伝はんにおける密度等の不規則領域による散乱などに起因して波面法線方向は捕捉円錐内に一様に分布すると述べる(Scattering assumption という)。ところが図3-22は Scattering assumption が成立せず、二十数度から四十数度にかけては一様に波面法線方向は分布しているが、磁力線とたす角が小さく 波面法線方向をもつホイップは存在しない。これは散乱の寄与は少なく、ダクトの入口における磁力線と波面法線方向とのなす情報と反映していると考えるのがより妥当である。磁気緯度 20° 附近では 地球磁場の伏角は 45° で、ダクトに捕捉されたホイップの波面法線方向は鉛直方向と鉛直から磁力線側へ 20° 程度の方向に向うと考えられる。このように磁力線のまわりに捕捉されているため、入射角の分布はそのほとんどが低緯度から高緯度方向に向っていふ。図3-21の入射角分布は最大電子密度領域におけるものであるから、入射

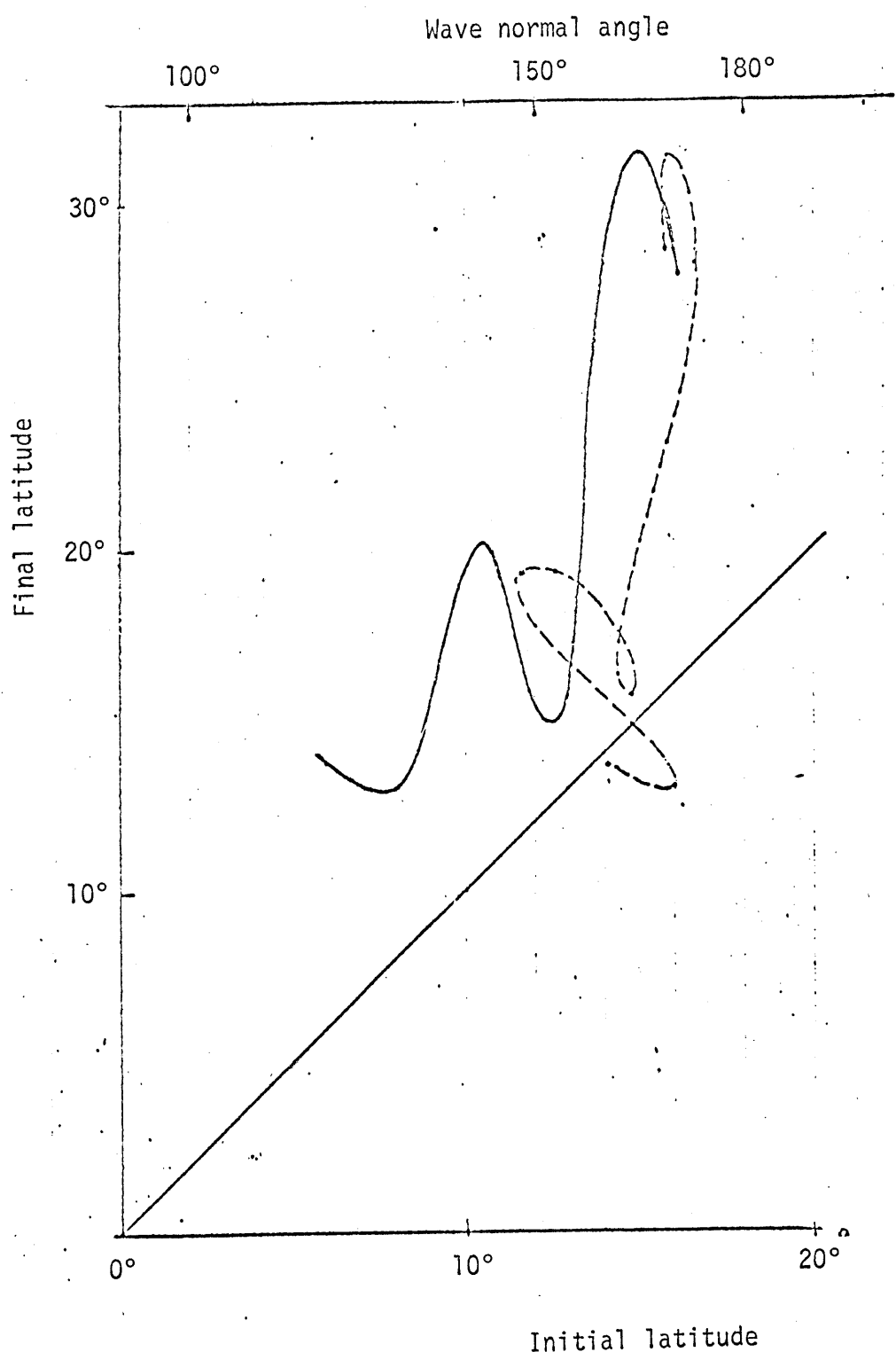


図3-23 赤道異常を考慮に入れた磁気圏電子密度分布に対する
レイトレーシングの結果。実線は初期緯度と下降緯度との関係を、
また破線は下降緯度における波面法線方向を示す。

角は比較的少くない。もっと大きな入射角の木徳スラはさうに高角度において全反射と受けられるものと考えられる。

図3-21, 3-22から地上へ突抜けた木徳スラの波面法線方向について次のことを指摘することとする。

- (i) 波面法線方向の磁場とのなす角は全体の分布のうち比較的大きな値を示し、三十度から四十度の間にある。
- (ii) 入射角は鉛直とは 20° 以内、角度をなしてい。同時に受信の四例のうち三例は低角度から高角度方向への入射角を示している。

これらの事実は3-3-1節の理論的考察を実験的に検証したものである。つまり図3-14では捕捉円錐の半角を 25° としたが、實際にはずっと広く 40° 前後であることはすでに前述した。しかも要員(ii)は透過円錐の測定精度を加味して 10° 前後であることを意味している。この値は従来の理論的予測よりはずつと緩和された値である。以上のことから、地上へ突抜ける木徳スラは磁場と大きな角をなして管状のゾウト内を伝はんし、ゾウトの本体においてその波面法線方向が透過円錐内に入るものと考えられる。ところが図3-21の突抜けた木徳スラのうちN側に位置するものは、この値から察するとゾウトよりも高角度側(佐久島)における受信されないことになるが、この点はいくぶん問題がある。

3-3-3 ホイップラ分散から求めたダクトの性質

本節では地上観測された分散と衛星による磁気圏電子密度分布との比較によりダクトの諸特性を導出する。図3-24は1968年の1月と2月の佐久島におけるホイップラの分散別発生頻度の時間変化を示したものである。これからも、日没ホイップラ群と夜向ホイップラ群とかはっきりと認められる。黒丸は各時間の分散の平均値を表す。日没ホイップラに対する $40, 35$ および $30 \text{ sec}^{1/2}$ という三つの顕著な山が存在する。一方地方時 $0\sim 4$ 時の真夜中過ぎには二つの孤立した低い山がある。3-3-1節で明らかにされたように、低緯度ホイップラの電離層下の伝播には擾乱時を除いてはダクト伝播の開始と共に低緯度から高緯度方向である。したがって低緯度ステーションは分散の平均値はそれほど重要な意味を持たず、観測された分散のうち最大のものが観測臭にその経路緯度が最も近いと考えられる。したがって日没ホイップラの分散 $40 \text{ sec}^{1/2}$ は佐久島観測所の磁力線に平行したものを仮定できる。また夜向ホイップラに対する $25 \text{ sec}^{1/2}$ が観測臭の緯度に対応してると考えよ。そこからこれらの分散値を、対応する時間帯の現実的な磁気圏電子密度分布に対する計算値と比較するとより、ダクトの enhancement factor に関する情報を得るといふべき。用いた磁気圏電子密度分布を図3-25に示す。これはアロエット2号衛星観測に基づき、日本近辺の磁気子午面のデータ $1:1, 2:1$ 。図3-25は半透明で 3° プロファイルは実際のデータと磁気緯度 20° と 25° の間の磁力線方向 $N(h)$ プロファイルに焼き直したものである。ホイップラのような磁力線に沿う伝播を取り扱う場合には、この操作が必要である。高度 1500 km から 2000 km までの高度にはデータがなく、磁気緯度 25° から 30° までの値を用いる。これらの電子密度のデータは1967年1月、2月のもので、ホイップラ観測とは1年ずれること問題にはならない。 600 km 以下の電子密度分布は、 600 km より F_2 層の最大電子密度高度まで指數関数形を、それ以下

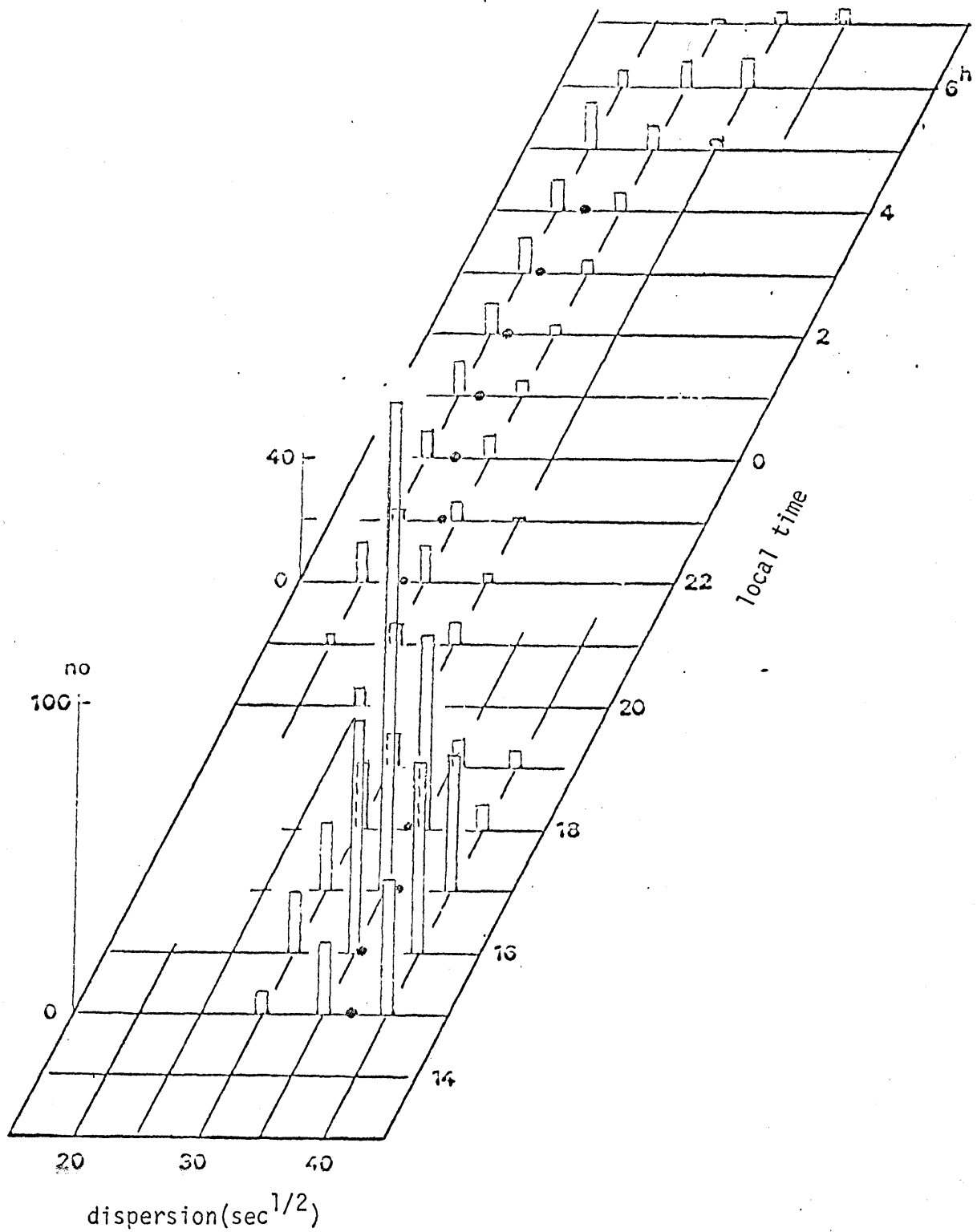


図3-24 佐久島における1968年1月、2月の分散頻発生頻度の時間変化。•EPは各時間ごとの分散の平均値である。

139

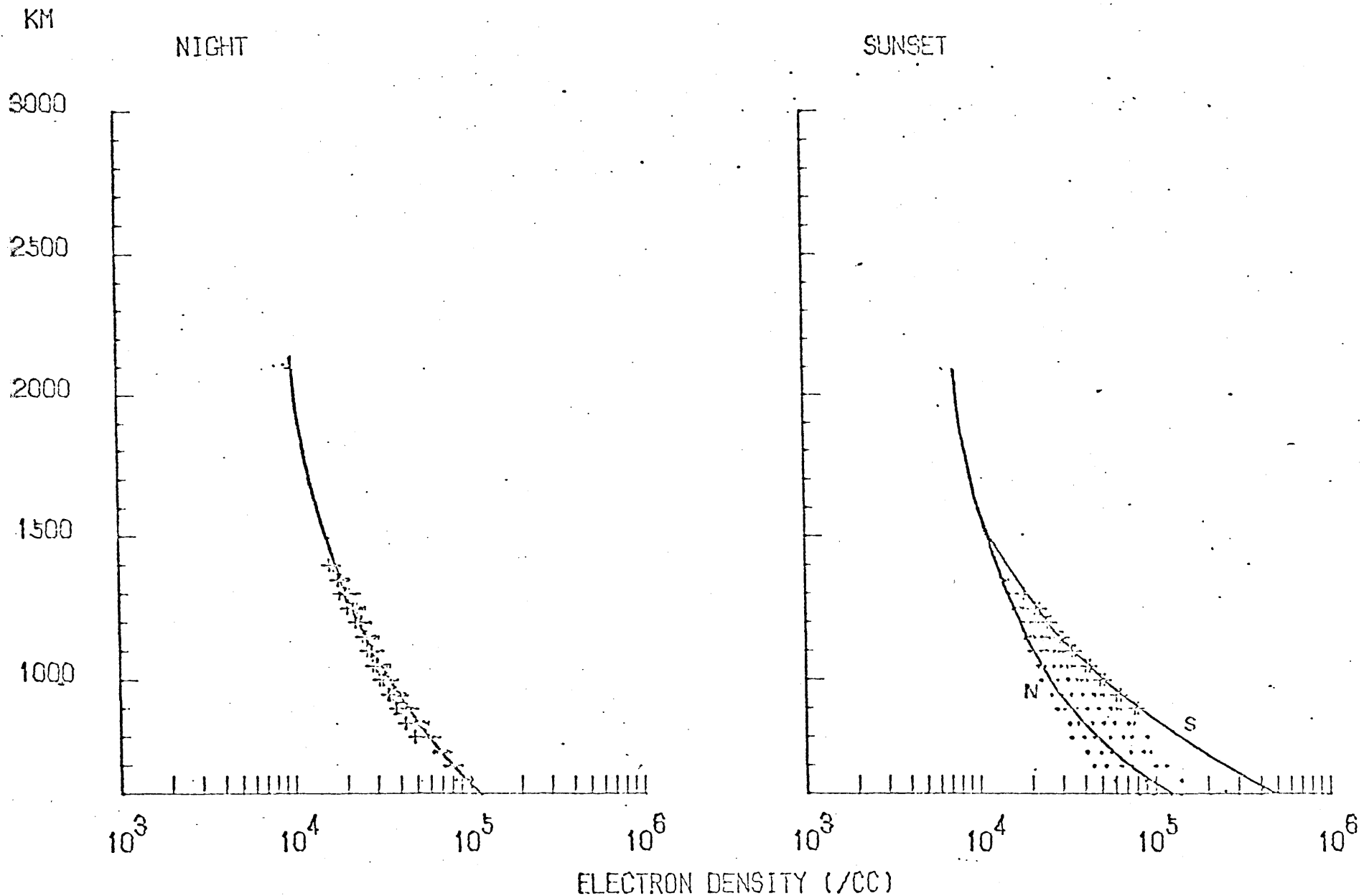


図3-25 夜間および昼間時。磁気圏電子密度プロファイル(実線)。N, Sはそれぞれ北半球、南半球のプロファイルを意味する。夜間には北半球、南半球の分布は同じであるが、日没時には南北の非対称が存在する。これらのプロファイルは高度 20° から 25° までの範囲のものである。

は最大電子密度高度が最大を示す放物線分布を採用した。また最大電子密度値は実測値を用いる。さらに磁場力線の計算は改良された正確なモデル²¹⁾を用いた。以上のモデルのもとに計算した分散値の観測値との比較を、日没木イクスラ、夜向木イクスラに対する順次論ずる。

(a) 日没木イクスラ

計算では $29.0 \text{ sec}^{1/2}$ の分散となつた。一般にダクトは F_2 層以高に存在すると考えられるので、実測の $40 \text{ sec}^{1/2}$ という分散値との比較より日没木イクスラの enhancement factor は百数十パーセントとなる。もし $40 \text{ sec}^{1/2}$ が佐久島よりも低高度の磁場力線に沿うときばんならば、さらに enhancement factor は増大する。したがって上述の値は enhancement factor の下限を示すものである。日没時の他の二つのダクトも同程度の enhancement factor だとすると、ダクト向外隅は Allcock の実験式²⁰⁾を用いると、高度にして約数度であることがわかる。したがって日没時ダクトの全体としては高度は 12.5° 前後すなわち水平方向に 500 km 前後のスケールである。百分以上高い enhancement factor は通常では考えられず、 F_2 層の電子密度における赤道異常との関連を考えると妥当である。磁場力線に沿う赤道異常は日没前後に最も発達し、その経路傾度が観測実績度に近づく。この事実は日没時前後のきわめて高い木イクスラ発生率よく一致している。さらには 500 km という巾も実測によく一致している。よって日没木イクスラのときばんは次のようと考えられる。enhancement factor が 100% 程度で、 50 km 位のダクトによる木イクスラ。捕捉が起つた時は、実際にトレーリングを行なった結果、ダクトの入口における 20° 程度の赤道方向への電離層の化貢斜が必要である。大きなスケールの赤道異常が存在する時には、その中に小さなスケールの磁場に沿う不規則性が乱れに状態が存在しているようである。²²⁾ このような小さなスケールのダクトが、分散 $40, 35$ より $30 \text{ sec}^{1/2}$ の木イクスラを捕捉していると考えよう。さらに、低高度ではこのような小さなスケールの

" γ フトヨビ" 波の捕捉には有利なミシカハ、²⁴⁾ い。

(b) 夜向木イッスラ

夜向電子密度分布に対する計算結果では分散は $25.1 \text{ sec}^{1/2}$ となり、観測値の $25 \text{ sec}^{1/2}$ とは有意な差は認められない。したがって夜向のタクトの enhancement factor は日没時のように大きな値を示さないであろう。もし観測された $25 \text{ sec}^{1/2}$ の木イッスラの径路経緯度が観測よりも低緯度側へ 1° ずれたとするとき enhancement factor は 10% 程度となり、この値は高緯度における値²⁵⁾ とほぼ同程度である。しかし低緯度ではこのような小さな enhancement factor のタクトによる木イッスラの捕捉には全く不十分である。もしレタクトの入口で入射波面法線方向を磁場方向に向けような機構、たとえば電子密度の不規則領域による波の散乱²⁶⁾ が起これば、上述の小さな enhancement factor のタクトでも波の捕捉が可能となる。さらにこのような小さな enhancement factor のタクトによる木イッスラ波の捕捉には別の二つの可能性がある。一つは whispering-gallery 型の伝はんモード²⁷⁾ あり、他に表面波伝はんモード²⁸⁾ ある。前者については Walker²⁵⁾ の理論計算によると、whispering-gallery 型の誘導が起るには必要なタクト、enhancement factor および巾はせいぜい 1% 、数十 km のオーダーであるといふのが、²⁹⁾ い。他方表面波伝はんモードは数 km 程度の中のものの方向の波の捕捉には都合がいい、enhancement factor は同様に 1% 前後で十分である。つまり表面波導波伝はんは High frequency ducts (HF タクトといふ) と密接な関係³⁰⁾ にあることが予想される。ところが以上の理論計算では入射波の波面法線は磁場方向に近いと仮定しているので、現実とは著しく異なる。低緯度では入射波の波面法線方向は磁場と大きな角となすので、両タクトの捕捉においても、波の散乱とか電離層の傾斜といつ問題が重要な役割を果たしえる。以上のことから、夜向における木イッスラ発生頻度の減少は、

電流密度に比例するが、それよりはむしろタクトの enhancement factor が大きいので
小さくなると波の捕捉が困難であることに起因すると考えられよう。最後に
夜間タクトのタクト時間は高精度(±2度)であることが図3-24から理解
される。

3-4 起低緯度ホイップスラのワクト伝はん

a) 低緯度エコートレインホイップスラおよびハイブリッドホイップスラの分散

佐久島観測所。定常観測。結果を調べると、かなりの数のエコートレインホイップスラおよびハイブリッドホイップスラが受信される。本節では1967年9月から1971年3月までの期間中ににおけるかゝるホイップスラの特性を検討し、その伝はん姿態を調べるのを目的とする。3-3-1節に示すように、佐久島のせんき低緯度で受信されるホイップスラほとんど大部分はその下降緯度が観測点よりも低緯度側だということである。図3-26はエコートレインホイップスラおよびハイブリッドホイップスラの発生数の日変化パターンを、斜線部はエコートレインホイップスラの数を表す。これらからかゝるホイップスラの発生は主として夜間に集中していることがわかる。図3-27にエコートレインホイップスラとハイブリッドホイップスラの例を示す。図中、矢印はホイップスラの先行空窓を示す。図(a)ではワンホップおよびスリー・ホップホイップスラの分散はそれぞれ $20, 60 \text{ sec}^{1/2}$ である。次に図(b)ではワン

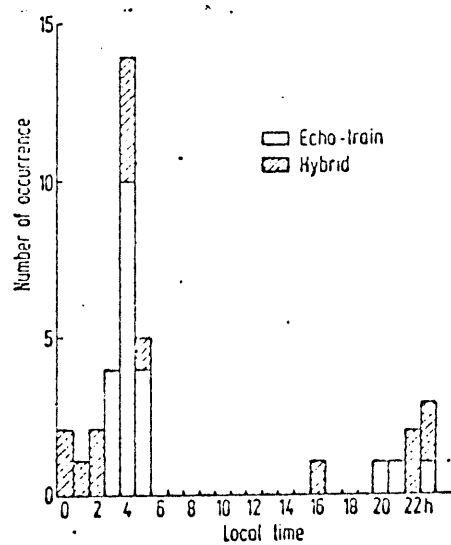


図3-26 低緯度エコートレインおよびハイブリッドホイップスラの発生数の日変化。

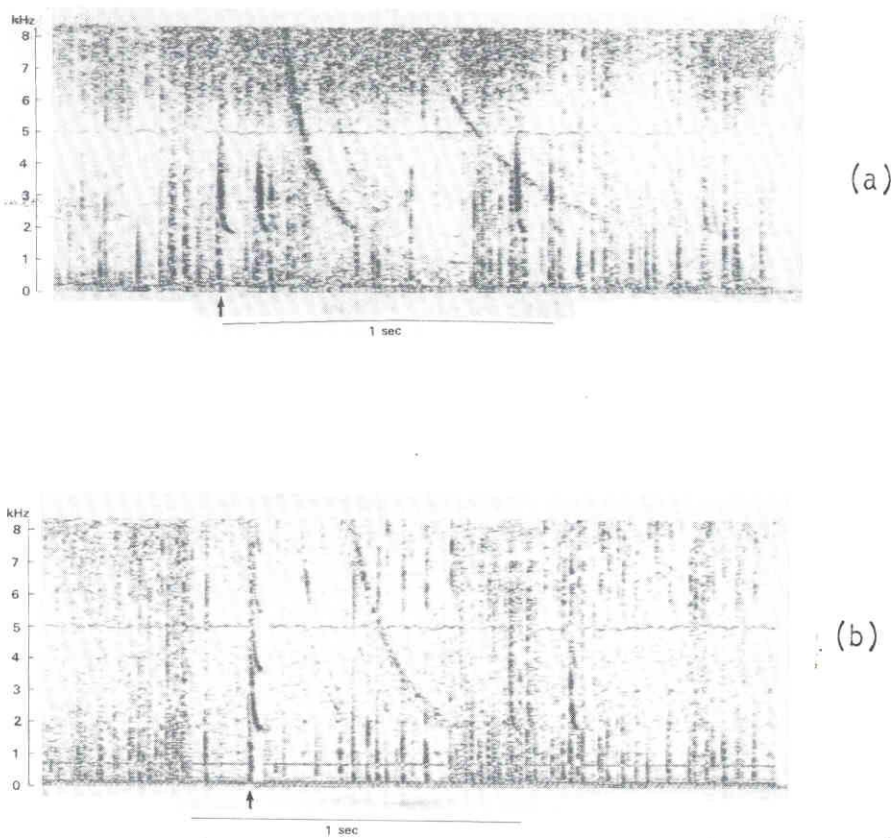


図3-27 図(a)はエコートレインホイップスラを、図(b)はハイブリッドホイップスラを表わす。矢印は先行空窓を示す。

ホップおよびワーホップホイップスラに対する認められる。これらのホイップスラについて重要な分散の比を求めてみよう。図3-28はその結果である。図3-28の全体の数が著しく減少しているのは、対のうち一方の強度が弱く、分散測定が不可能な場合がかなりあるためである。図から分散比は2.0および3.0の間に広く分布しており、これにかかるホイップスラが“磁気圏に沿って伝はんしきい”ことを意味する。そこでこの伝はんかいが何種類の伝はん姿態によるかを考察する。

b) 伝はん様式

これらのホイップスラの基本分散は $15 \text{ sec}^{1/2}$ から $25 \text{ sec}^{1/2}$ までであるので、 $D(\text{sec}^{1/2}) = 2.2 (\Lambda - 12)$ (Λ : 磁気緯度) という実験式を用いると、磁気圏伝はんの緯路緯度は 19° から 23° 前後までと言平価される。これは低緯度領域における

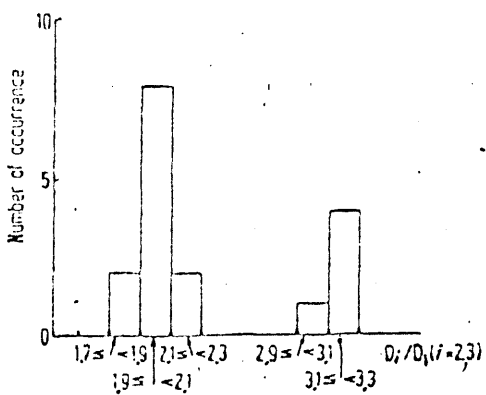


図3-28 エコートレインおよびハイブリットホイストラの基本分散に対する比 D_i/D_1 ($i=2,3$) の頻度分布。

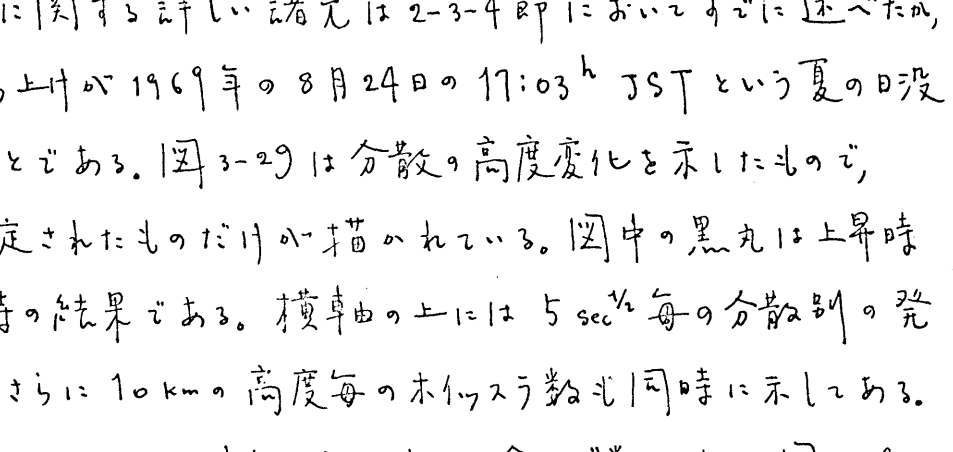
数十km程度のスケールの不規則性は衛星で観測されながら、1km(10km程度の、いわゆるHF波の捕捉に寄与するダクトの存在が明らかになつてゐる。²⁸⁾ ではこののようなダクトによるVLF波の捕捉の可能性を吟味してみよう。数kmの中にはVLF波の波長よりもずっと小さな直線があり、このような条件下では三つの伝導率が存在し得る。我々が問題とする周波数($0 \sim 10\text{ kHz}$)はシザイロ周波数($\sim 1\text{ MHz}$)よりも小さいので、電子密度が周囲よりも増加したダクトに対し、 f_c (遮断周波数, cutoff frequency) $< f < f_{He}/2$ の周波数領域において漏洩表面波(leaky surface wave)の伝導率が可能である。この表面波伝導率はエネルギー散逸を伴いつながら捕捉伝導率²⁹⁾、伝導率路に沿う波の減衰を評価する必要がある。磁気緯度 20° の磁場力線に沿つたダクトを想定し、この enhancement factor²⁷⁾ は最高値として 0.5% を採る。この際には f_c は約 2.5 kHz となり、 5 kHz のホイストラ波の現実的磁気圏電子密度分布に対する減衰値は 1 km 中のダクトに対する 1 dB 以下となる。この減衰量は無視し得る大きさであり、HFダクトのVLF電波に対する導波作用の可能性は十分あることが理解される。一般にHFダクトは磁気緯度が二十度から四十度までの領域における最も頻繁に出現する。²⁸⁾ このことを考えると、この緯度帯における

VLF電波伝播とHFジットとの相関は今後の興味ある問題である。

3-6 低緯度木イッスラの非ダクト伝はん

前節までは中、低緯度木イッスラのダクト伝はんに関する検証とダクトの特性を考察した。ところが、衛星やロケットによる飛翔体観測ではダクト伝はんによることはかりでなく、むしろ非ダクト伝はんモードの木イッスラの方が多數受信されている。²⁹⁻³³⁾ 本節ではその一例としてK-9M-26号ロケットによるVLF観測結果中に非ダクト伝はん木イッスラだと想われるものが観測されたれば、これと報告する。

a) 観測結果

K-9M-26号機に関する詳しい諸元は2-3-4節においてすでに述べたが、重要な点としては打ち上げが1969年の8月24日の17:03^h JSTという夏の日没時附近であるという点である。 図中の中の黒丸は上昇時のもの、また白丸は下降時の結果である。横軸の上には $5 \text{ sec}^{1/2}$ 每の分散毎の発生頻度が示してある。さらには 10 km の高度毎の木イッスラ数も同時に示してある。これは分散が測定できないような木イッスラもすべて含んだ“数”である。図3-29から次のことが指摘できよう。

- (i) 観測された分散値は二つのグループに大別される。一つは $30 \text{ sec}^{1/2}$ 前後の分散の木イッスラ群であり、他は 55 から $75 \text{ sec}^{1/2}$ 程度までの分散の大きな木イッスラ群である。
- (ii) 小分散の木イッスラの数はきわめて少ない。
- (iii) 大分散の木イッスラの数は多く、(もとより分散の拡がりが $20 \text{ sec}^{1/2}$ 以上)である。
- (iv) 周波数解析の結果、大分散の木イッスラは一般的に 2 kHz から 5 kHz の周波数領域において強度が最大である。

小分散の木イッスラの一例を図3-30に、また大分散の木イッスラの一例を図3-31に示す。要すに(iv)は図3-31から容易に理解されよう。

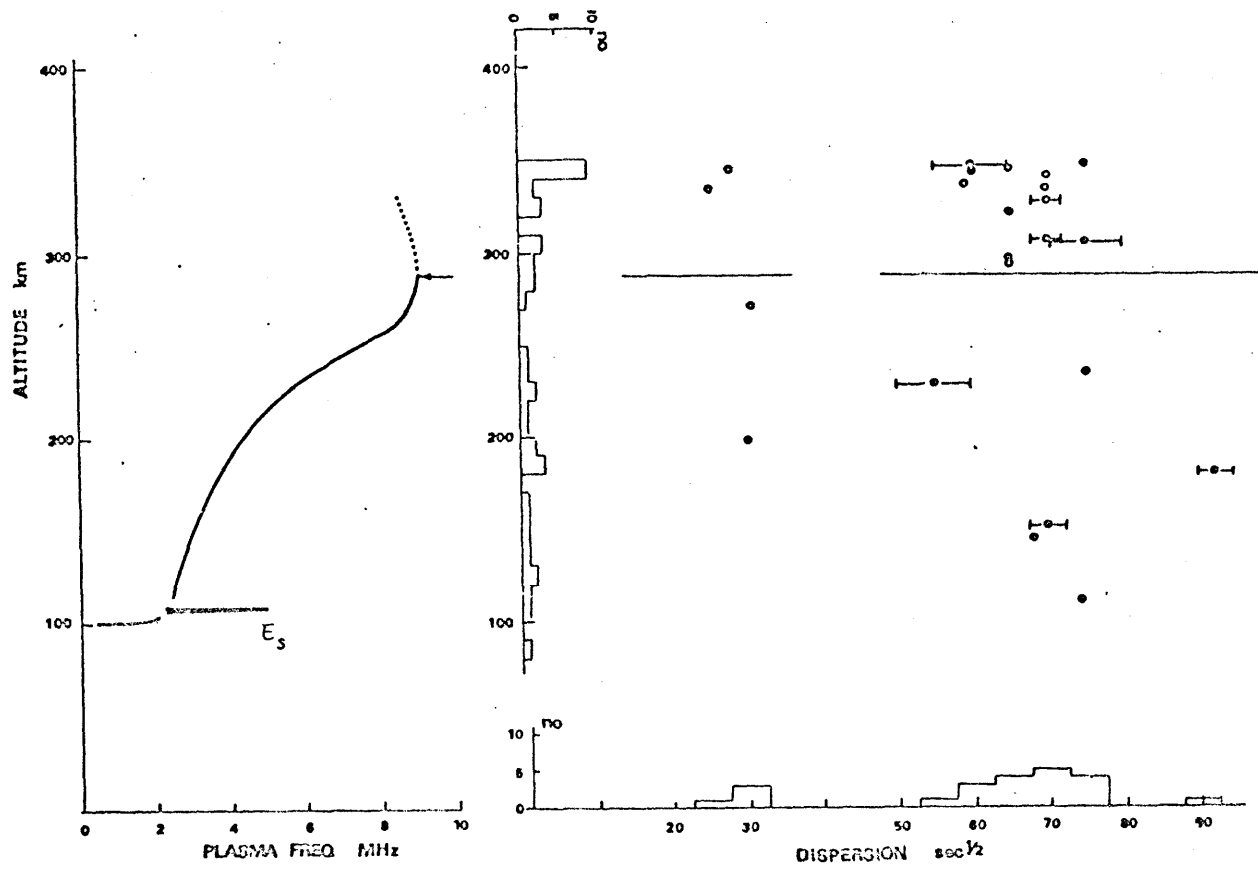


図3-29 分散の高度分布。黒丸は上昇時の、白丸は下降時の結果である。
参考のために電子密度分布の左図に示してある。

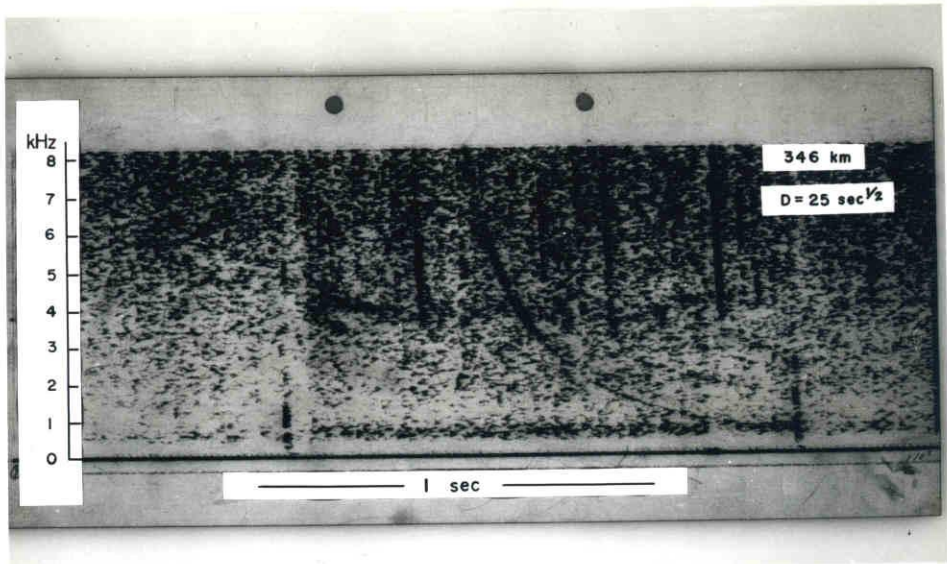


図3-30 小分散木イッスラの一例。ロケット軌道の頂点付近で観測された分散 $25 \text{ sec}^{1/2}$ の木イッスラである。

b) 観測結果、解釈

ロケット実験の時期が8月の夏期であることを考えると、小分散の木イッスラ群と大分散の木イッスラ群はそれぞれショート木イッスラおよびロング木イッスラに対応すると考えられる。すると小分散の木イッスラ数がきわめて少ないという要員(ii)は、その源が南半球の冬期にあたるため、雷活動が低い、等によると考えられる。また多數の大分散の木イッスラが観測されたことは、その源が雷活動の高い北半球にあることによるものであろう。以下では要員(iii)の大分散の木イッスラ群における大きな分散の拡がりがいかにも磁気圏内伝ばんに起因するかを明らかにする。

磁気圏内伝ばんをダクト伝ばんだと仮定しよう。ロケットの軌道における緯度変化を変化し、Allcock の緯度による分散の変化の実験式⁽²⁰⁾
 $2.2 \text{ sec}^{1/2}/\text{緯度(度)}$ を用ひて磁気圏内の two-hop による分散の拡がりはせいぜい $7 \text{ sec}^{1/2}$ である。しかし実測 $20 \text{ sec}^{1/2}$ という倍以上の大分散の拡がりは到底説明できない。さらに要員(iv)はダクト伝ばんではない強い反証である。
 図3-30, 31からもわかるようにダクトの入口附近における木イッスラ波の周波数

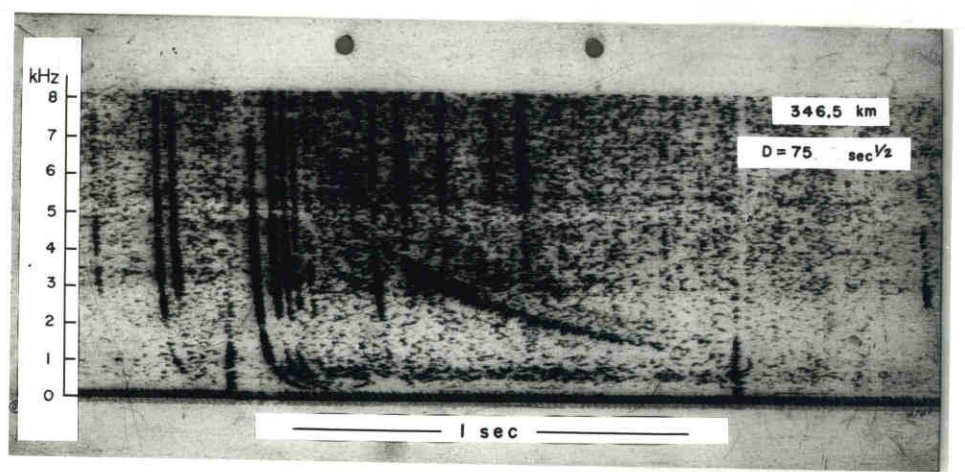
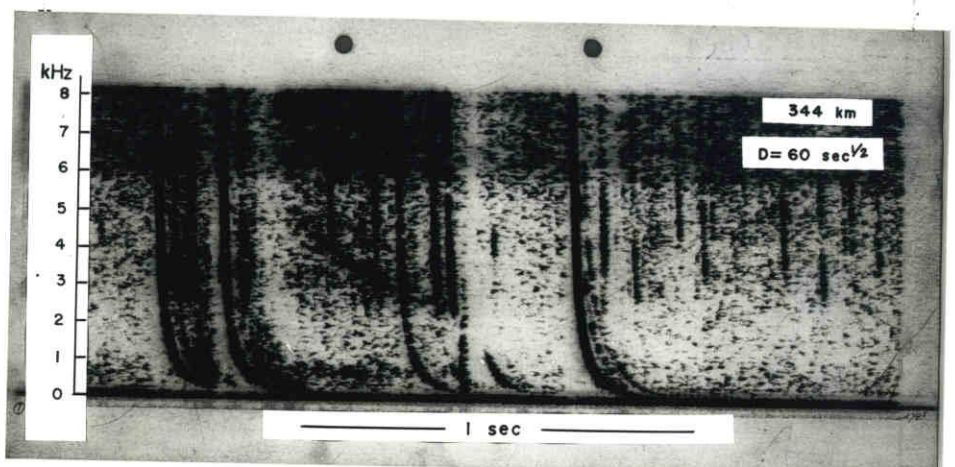
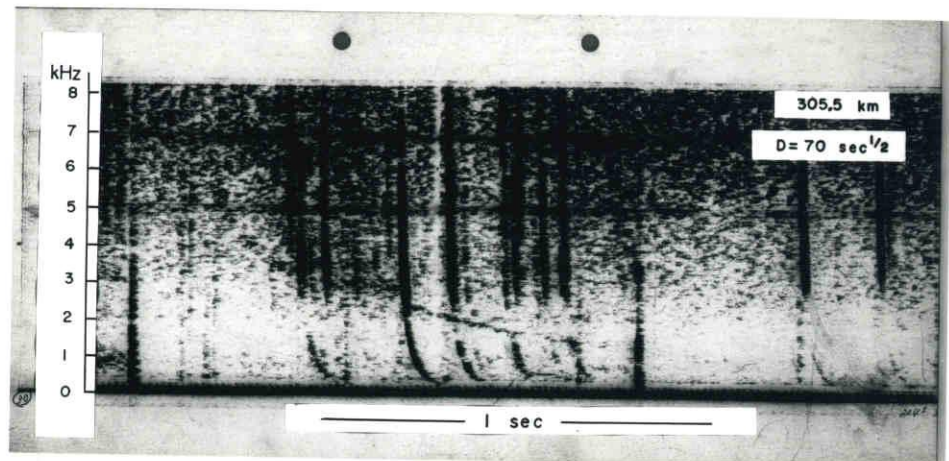


図3-31 大令散木イッラの周波数解析結果

スペクトルは電離層・地表導波管内と長距離伝播によるもの、 $\sim 1\text{ kHz}$ から $\sim 3\text{ kHz}$ における強度が著しく減少する。³⁴⁾ 磁気圏内には周波数沪波特性をもつような機構が存在するとは考えにくいため、磁気圏内と一往復した後でも同様のスペクトルが期待される。この予想に反し、要矣(iv)に述べたように大部分のホーリスラは $2\sim 5\text{ kHz}$ における最大強度を示している。したがって大部分のホーリスラはダクト伝播によるものと考えにくい。

次いで非ダクト伝播による解釈を試みる。最初は電子密度の緯度効果を無視した場合を取り扱う。計算には打ち上げ時、 F_2 層までの電子密度分布¹²⁾、それ以高は日没時の典型的な分布と滑らかに接続した磁気圏電子密度分布¹³⁾を用いた。このモデルに対するレイトレンシングの結果を図3-32¹⁴⁾に示す。用いた周波数は観測周波数の下限値、 2 kHz である。低周波では 13° 波は磁気圈捕捉(magnetospheric trapping)を受け易くなる。¹⁵⁾ ただし 2 kHz の波が磁気圏内を一往復した後はダクト観測されれば、より高周波域では当然観測されることになる。図(a)は初期緯度と磁気圏内の two-hop 後の下降緯度(ともに北半球)との関係を示し、図(b)は下降緯度における分散値を表す。図(a)で磁気緯度 16° 以上に対する結果が描かれていないが、これは one-hop なし two-hop 伝播中に磁気圏に捕捉され、出口に到達することができないことを表すものである。図(b)の \rightarrow 、 \leftarrow は出口の軌道における、理論的に予測された分散値を示す。ただし図の分散値は初期緯度における F_2 領域までの $2\text{ sec}^{1/2}$ 程度の分散を含まれていない。図3-32からたゞちにわかることは、理論的に予測された値即ち $45\sim 46\text{ sec}^{1/2}$ 、たゞえ F_2 領域までの分散を考慮しても実測値よりもずっと小さい。したがってこのような滑らかな磁気圏電子密度分布では観測結果は説明不可能である。

以上の電子密度分布では電子密度の緯度依存性を無視したこと、実際の多くの場合にはこの効果の重要な役割を果たしていると考えられる。^{35), 36)} 特に低

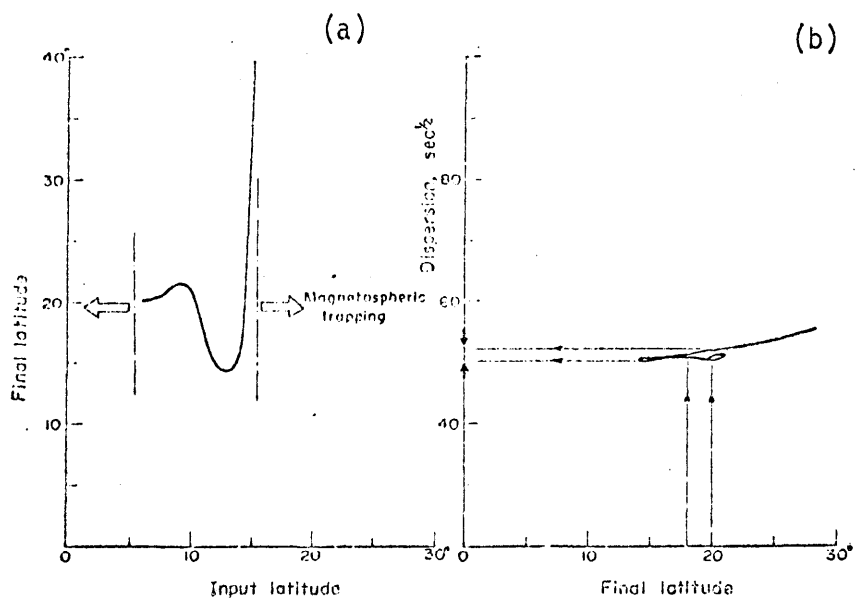


図3-32 図(a)は初期緯度と下降緯度との関係を示し、図(b)は下降緯度における分散を示す。

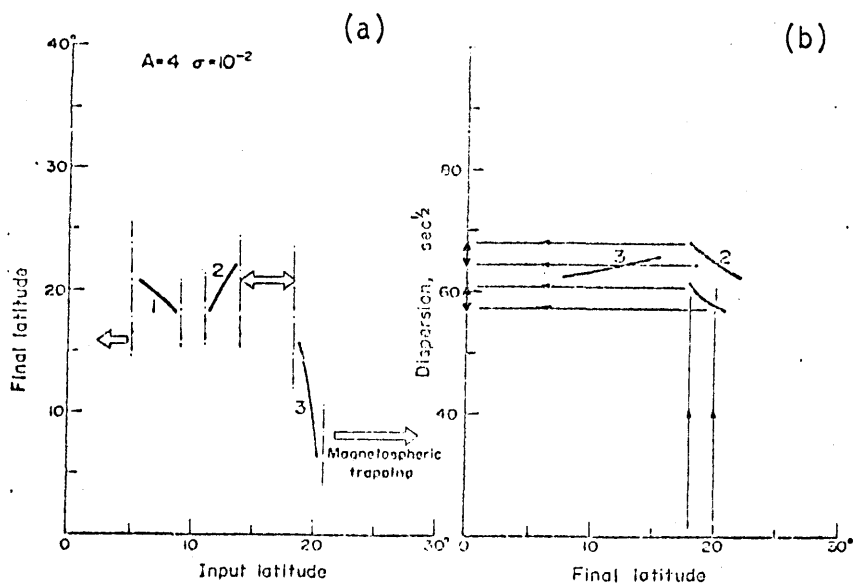


図3-33 赤道異常を考慮した際の「レイトレーシング」の結果。図(a)は初期緯度と下降緯度との関係を示し、図(b)は下降緯度における分散を示す。

高緯度ではすでに幾度も述べたように赤道異常のような大規模な不規則性が存在するといふことがよく知られています。³⁷⁾ しかも赤道異常は磁力高層に沿った構造としつこから、これを次のように近似する。³⁸⁾

$$1 + A \exp \left\{ - \frac{(b - b_0)^2}{2 \sigma^2} \right\}$$

ただし A , σ はそれぞれ赤道異常, enhancement factor と申します。また $b = r/r_E \sin^2 \theta$ (r : 地球中心からの距離, r_E : 地球半径, θ : 余緯度), すなはち b は赤道異常の経路緯度の情報給予えます。赤道異常の経路緯度は地方時とともに移動し、ロケット打ち上げ時間帯は 10° 前後である $= 20^{\circ}$, 20° 附近的値を採用します。 A および σ はそれぞれ $A = 1$ から $A = 5$ まで変化させ、 $\sigma = 10^{-2}$ と 2×10^{-2} の二つの値を採用し、 A , σ のすべての組合せに対する計算を行ないます。この結果、これらの組合せのうち一つだけの観測結果を合理的に説明できます。明らかのことながら、それは $A = 4$, $\sigma = 10^{-2}$ の場合です、結果を図3-33に示す。 σ の値は F_2 層における約 320 km の間に相当する。図3-33から磁気圏内と一往復した後のロケットに到達し得る初期緯度には、二つの領域の存在し、一つは 7° から 9° までの領域、他は 11° から 13° までの領域である。前者の初期緯度は予測される分散値は $56 - 61 \text{ sec}^{1/2}$ 、また後者の初期緯度に対する予測される分散値は $65 - 67 \text{ sec}^{1/2}$ である。計算では南半球における反射率は F_2 層の 300 km を起點とする仮定であるが、実際の反射率は入射波の波面法線方向に著しく依存する。これはすでに2-4節で言及した。さて南半球の 300 km の高さにおける波面法線方向の計算値を用いて実際の反射率レベルを算定し、高さ 300 km から反射率レベルまでの分散を考慮するとともに、初期緯度における 300 km までの実測分散を勘定に入れて、予測される分散は $58 - 71 \text{ sec}^{1/2}$ となる。この値は要項(iii)とよく一致している。さらに北半球の低緯度における源としてのショートホイップスラは南半球における受信されなかつた ³⁹⁾

多く非 γ ト伝はんのため、電離層突抜け。条件がきわめて厳しいためである。また、北半球の佐久島や鹿児島の地上観測においても two-hop ホイストラは観測されなかつた。要束(iv)は、本ロケット観測の two-hop ホイストラの初期緯度が 10° 前後の低緯度であるという解釈を予めく支持するものである。つまり 2-3-4 節の図 2-10 にも示したように、低緯度におけるホイストラ波の吸收損失は、1 時間には強い同波数依存性を示す。観測されたホイストラの初期緯度は 10° 内外であるが、緯度 10° における 10 kHz の波の損失は 5 kHz の波の損失に比して数十 dB 以上大きいことが予想される。1 時間高周波成分は強い吸收のために減衰し、ゆえに要束(iv)のように 5 kHz 以下の低周波におけるエネルギー最大を示すことにならう。

結論として、本節のロケット実験により、内部磁気圏における非 γ ト伝はんのホイストラが存在することが明らかになった。また、この伝はん特性を利用して、低緯度に特徴的な赤道異常の伝はんに及ぼす重要性とも明らかにした。

3-6 結論

中、低緯度木イッスラ波、磁気圏内伝はんにに関して、明らかとなつた重要な点を列記すると、

- (i) 中、低緯度木イッスラの発生頻度の日変化は 日没時のビーグと夜間のビーグから成り、その両時間の木イッスラとモダクト伝はんによく一致する。これは地上の多点同時観測のみならず、ロケット観測によくも確かなものである。
 - (ii) 日没時の木イッスラモダクトの enhancement factor は 100% 以上で、このモダクトは電子密度の赤道異常と関連するらしいこと。
 - (iii) 夜間時の木イッスラモダクトの enhancement factor はせいぜい 10% で、伝はん姿態としては、Smith 型、whispering-gallery 型、漏洩表面波型等の可能性がある。
 - (iv) 夜間にその下降緯度が 20° 以下と考えられる小分散の木イッスラのエリートイン木イッスラやハイブリッド木イッスラとなり受信される。これら木イッスラは HF モダクトによる捕捉の可能性が高くなる。
 - (v) 低緯度非電離層・磁気圏内では非モダクト伝はんモードの木イッスラが受信される。このような低緯度の非モダクト伝はんは赤道異常のような大規模な電子密度の緯度効果の重要な因子である。
- などである。また磁気圏内を伝はんしきて下降木イッスラ波の電離層内透過および反射につれての興味ある結果としては
- (i) 以下の波面法線方向測定より、磁力線のまわりの捕捉円錐の半角は 40° 前後で、この捕捉円錐のまわりの波面法線は一様に分布せず、磁力線と大きな角度領域において一様に分布している。また透過円錐は理論値よりもかなり広く、その半角は十数度程度であることが実験的に明らかとなつた。

(ii) 波面法線方向測定より、地上の木イッシュ波。電離層突抜けに関する実験的考察がはじめに行なわれた。地上へ突抜けた木イッシュは、捕捉円錐内最も大きな角度のもと、すなわち磁場と大きな角度となして管状のダクト内をらせん狀に伝はる。木イッシュのうち、ダクトの出口において折よく鉛直まわりの透過円錐内に入ったものであることが明らかとなつた。

と挙げておきる。

参考文献

- (1) Smith,R.L.: Propagation characteristics of whistlers trapped in field-aligned columns of enhanced ionization, J.Geophys.Res. 66,3699(1961).
- (2) Angerami,J.J.: Whistler duct properties deduced from VLF observations made with OGO 3 satellite near the equator, J.Geophys.Res. 75,6115 (1970).
- (3) 早川 : 低緯度木々の夕暮れ時にん, 信学誌, 53-B, 21(1973)
- (4) Hayakawa,M. and Ohtsu,J. : Ducted propagation of low latitude whistlers deduced from the simultaneous observations at multi-stations, J.Atmosph.Terr.Phys. 35,1685(1973).
- (5) Iwai,A.,Okada,T. and Hayakawa,M. : Rocket measurement of wave normal direction of low latitude sunset whistlers, accepted for publication in J.Geophys.Res.
- (6) Hayakawa,M. and Tanaka,Y. : Properties of low latitude whistler ducts deduced from a comparison of ground whistler dispersion and magnetospheric electron density profile, Rep.Ionosph.Space Res.Japan 27,213(1973).
- (7) Hayakawa,M. and Tanaka,Y. : Equatorial field-aligned irregularities deduced from low latitude echo-train and hybrid whistlers, Pure Appl.Geo-physics. 111,2336(1973).
- (8) Hayakawa,M. : Non-ducted two-hop whistlers in the inner magnetosphere deduced from rocket measurement, Planet.Space Sci. 22,638(1974).
- (9) Haselgrave,J.: Ray theory and a new method for ray tracing, Rep.of Phys.Soc. Conf.on Physics of the Ionosphere, p.355(1954).
- (10) Stix,T.H. : The theory of plasma waves, McGraw-Hill Co.(1962).
- (11) Storey,L.R.O. : An investigation of whistling atmospherics, Phil.Trans.Roy. Soc. A246,113(1953).
- (12) Helliwell,R.A. : Whistlers and related ionospheric phenomena, Stanford Univ. Press(1965).
- (13) Kimura,I. : The effect of ions on whistler-mode ray tracing, Radio Sci. 1, 269(1966).
- (14) Hines,C.O. : The effect of heavy-ions on audio frequency radio propagation, J.Atmosph.Terr.Phys. 11,36(1957).
- (15) Otsu,J.,Tanaka,Y. and Iwai,A. : Whistler occurrence rate in middle and low latitudes since July 1957, Bull.Res.Inst.Atmospherics Nagoya Univ. 13,11(1963).
- (16) Hayakawa,M. et al. : Characteristics of dispersion and occurrence rate of whistlers at low latitudes during one solar cycle, J.Geomag.Geo-elect. 23,187(1971).

- (17) Schonland,B.F.J. : Handbuch der Physik, vol.23,p.576, Springer Verlag(1956).
- (18) Angerami,J.J. and Thomas,J.O. : Studies on the planetary atmosphere, J.Geo-phys.Res. 69,4537(1964).
- (19) Aubry,M.P. : Influence des gradients horizontaux de densité électronique sur la direction des normales d'ondes TBF dans l'ionosphère, Ann.Geophys. 23,467(1967).
- (20) Allcock,G.McK. : IGY whistler results, URSI 13th Gen.Assembly Comm.4(1960).
- (21) Cain,J.C. and Sweeny,R.E. : Magnetic field mapping of the inner magnetosphere, J.Geophys.Res. 75,4360(1970).
- (22) King,J.W. et al. : Preliminary investigation of the structure of the upper ionosphere as observed by the topside sounder satellite Alouette, Proc.Roy.Soc. London A281,464(1964).
- (23) Hojo,H. and Nishizaki,R. : Reduction of topside ionograms for field-aligned propagation paths, Nature 233,121(1970).
- (24) Tanaka,Y. and Hayakawa,M. : The effect of geomagnetic disturbances on duct propagation of low latitude whistlers, J.Atmosph.Terr.Phys. 35, 1699(1973).
- (25) Walker,A.D.M. : The theory of guiding of radio waves in the exosphere-I Guiding of whistlers, J.Atmosph.Terr.Phys. 28,807(1966).
- (26) Adachi,S. : Study on the guiding mechanism of whistler radio waves, J.Res. Natn.Bur.Stand. 69D, 493(1966).
- (27) Ramasastri,J. : Characteristics of magnetospheric ducts observed by the Alouette topside soundings, J.Geophys.Res. 76,5352(1971).
- (28) 恩藤,永山: 人工衛星による中、低緯度のVLF雜音の観測, 寛波研季報 18, 135(1972).
- (29) Smith,R.L. and Angerami,J.J. : Magnetospheric properties deduced from OGO 1 observations of ducted and non-ducted whistlers, J.Geophys.Res. 73,1(1968).
- (30) Walter,F. : Non-ducted VLF propagation in the magnetosphere, Tech.Rep. Stanford Univ.(1969).
- (31) Scarabucci,R.R. : Interpretation of VLF signals observed on OGO 4 satellite, Tech.Rep. Stanford Univ(1969).
- (32) Edgar,B.C. : The structure of the magnetosphere as deduced from magnetospherically reflected whistlers, Tech.Rep. Stanford Univ.(1972).
- (33) Charcosset,G.,Tixier,M.,Corcuff,Y. and Garnier,M. : Étude expérimentale et théorique de sifflements non guidés reçus aux basses latitudes à bord du satellite Alouette 2, Ann.Geophys. 29,279(1973).

- (34) Hayakawa,M. et al. : On the propagation of ionospheric whistlers at low latitudes, J.Atmosph.Terr.Phys. 35,1677(1973).
- (35) Kimura,J : Drifting whistler cutoff phenomena-striations-observed by POGO satellites, Space Res. 11,1331(1971).
- (36) Cerisier,J.C. and James,H. : Etude a l'aide du satellite FR-1 de la propagation d'ondes tres basse frequence dans l'ionosphere a basse latitude, Ann.Géophys. 26,829(1970).
- (37) Eccles,D. and King,J.W. : A review of topside sounder studies of equatorial ionosphere, Proc.IEEE 57,1012(1969).
- (38) Yabroff,I.W. : Computations of whistler ray paths, J.Res.Natn.Bur.Stand. 65D,485(1961).
- (39) Allcock,G.McK. : Private communication(1973).

第4章 ホイッスル波を用いた磁気圏の探査

4-1 まえがき

ホイッスル波のもつ最も重要な情報は磁気圏・電子密度である。¹⁾ 地上で観測されるホイッスルを用ひ、磁気圏赤道面内の電子密度の高度分布を導出する試みが多くの研究者によなされ、多くの成果が收められてきた。²⁻⁷⁾ さらにはプラズマ境界(plasmapause)、発見という輝かしい成果もホイッスルを用ひて得られた。⁸⁾ 磁気圏の詳しい構造やその運動等が盛んに研究されている。⁹⁾ またホイッスルの高周波遮断から電子温度に関する情報も得られている。¹⁰⁾ 以上は従来のホイッスル、正確には電子ホイッスル(electron whistlers)から得られた情報である。近年は衛星で観測されるイオンホイッスルを用ひ、イオン組成やイオン温度を調べることも盛んに行なわれている。^{11, 12)} このようにホイッスルは磁気圏の電子密度のみならずイオン密度分布の理解に大きな貢献をしている。

ところが磁気圏電子密度、太陽活動との関連といつてはような長周期変化の問題はまだ十分に議論されていない。この問題は磁気圏電子の維持機構や電離層と磁気圏との相互作用と関係してきて興味深いが、その基礎資料が不足している状態である。しかもこの問題には緯度が重要な因子であり、広い緯度範囲におけるデータが必要となる。Carpenter³⁾は半太陽周期間の高緯度における磁気圏電子密度の太陽活動との関係を調べた。また最近 Bourriot et al.⁶⁾ は一太陽周期(11年)間にわたるフランスにおけるホイッスルを用ひ、磁気圏電子密度の太陽活動との関連を考察した。前者の高緯度における結果と対比しながら、北海道で観測された中緯度ホイッスルの分散の経年変化および年変化(季節変化)を示す。その結果、中緯度ホイッスルの分散、季節変化は高緯度とは著しく異なることが明らかとなる。^{13, 14)} これは貴重な成果であろう。次に発生数の経年変化は太陽活動とは逆相関¹⁵⁾であり、これより電離層の吸収が発生数を決定する主要因であることがわかる。

前述した長期間にわたるホイップラ分散および発生数変化と同様、磁気擾乱に伴うホイップラ特性の変化は、磁気嵐の動的応答の解明には興味ある問題であるにもかかわらず十分な理解は得られていない。さらにホイップラの磁気擾乱との関連性は低高度特有現象であることは知られており^{15,16)}、日本のような低高度におけるホイップラはこの問題の解明に不可欠のものである。4-3節ではIGY以後の大規模磁気嵐期間中のホイップラ特性の変化について考察を行ない、その結果磁気嵐の回復期にはホイップラダクトの安定な生成が顕著に起つことを指摘した。¹⁷⁾また磁気擾乱期間中のホイップラスペクトルの詳しい解析から、ホイップラスペクトルの拡がり(Diffuseness)が磁気擾乱時には起り、これはホイップラ・ダクト群のスケール、拡がりによるものと明らかになった。¹⁸⁾さらにホイップラダクトと電離層中で発生するSpread Fと呼ばれる不規則性(Spread-F irregularities)との関連性も示唆された。¹⁹⁾

4-2 一太陽年周期における中緯度木イッスラの特性

Iwai and Otsu²⁰⁾が国際地磁観測年(1958~59年, IGY)期間中に稚内(磁気緯度 35.3°N)において木イッスラ。定常観測を開始12年以上が経過し、一太陽年(11年)における中緯度木イッスラの諸特性を調べることが可能となる。一太陽年とし 1958年から1968年までを取り上げる。ただし観測は1962年11月15日まで稚内で、それ以後は観測場は母子里(磁気緯度 34.0°N)に変更される。実際には稚内と母子里では緯度が 1° 程度の差があるので、分散を取り扱う際にはその差は無視しない。

磁気圏電子密度は昼夜によりかなり異なる特性を示すので、一日を二つの特徴的な時間帯、すなわち0~4時JSTの夜間帯と15~19時JSTの昼間帯に分け議論する。さらに次のような木イッスラは明らかに稚内、母子里近傍の木イッスラとは考えられないもの除外した。

- (i) 分散値が $100\text{ sec}^{1/2}$ よりも大きいもの、および $20\text{ sec}^{1/2}$ よりも小さいもの。
- (ii) 木イッスラスペクトルにおいて 2 kHz 附近に低周波遮断を受けるもの。
- (iii) のうち2-3-4節で述べたような電離層・地表から成る導波管伝ばんに起因する遮断を受けたもの、その下降緯度は観測場の緯度とはかなり離れていたから除外する。

a) 分散の経年変化

図4-1は1958年1月から1968年12月までの 3750 MHz における太陽電波強度の経年変化である。太陽活動の指標とし、従来は太陽黒点を用いてきた。しかし 3750 MHz の太陽電波強度は電離層・電離源である太陽X線源とより相関があることから、太陽黒点数より物理的意味があり、これを採用した。次に図4-2, 4-3に前述した二つの時間帯

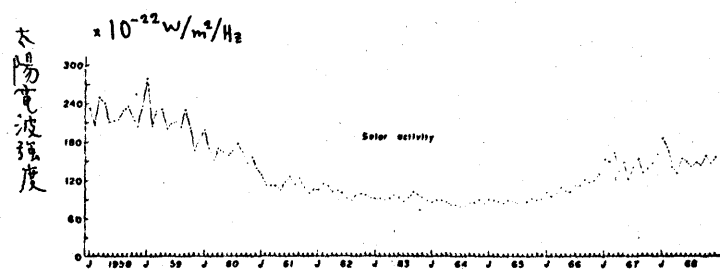


図4-1 太陽電波強度の経年変化。Jは1月を表す。

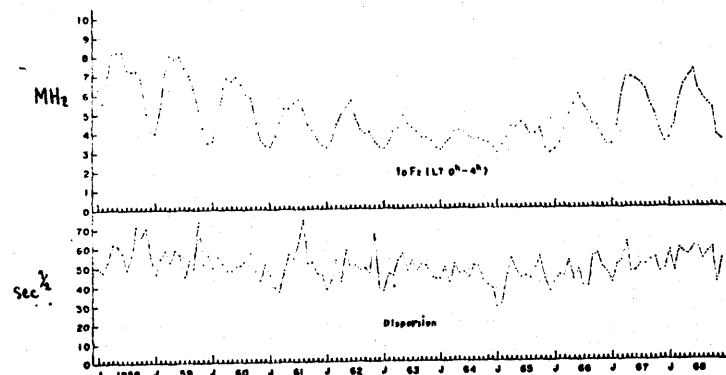


図4-2 夜間時の分散および電離層層頂周波数 f_0F_2 の経年変化。

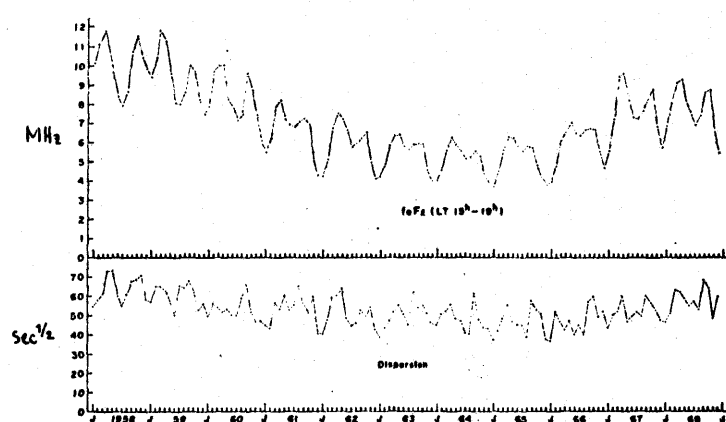


図4-3 昼間時の分散および f_0F_2 の経年変化。

このホイップラ分散の経年変化を示す。また比較のため電波研究所、椎内観測所における電離層の頂界周波数 f_0F_2 も同時に描かれてある。これらの図を利用して、各年の十二ヶ月の平均値。経年変化を描いたのが図4-4 から図4-6 である。図4-4 は太陽電波強度、図4-5 は分散 312 図4-6 は f_0F_2 の経年変化を示したものである。図4-4 および4-5 の比較より、分散は実に次の二つに理解される。

- (i) 太陽活動は 1958, 59 年において最大と示し、その後減少し、1964, 65 年には最小となる。この太陽活動の変化に合わせてよく対応して、分散は太陽活動期を過ぎると減少し、1965 年には分散の最小が起る。その後まことに急激に分散は増加する。
- (ii) 破線で示された昼夜のホイップラ分散は、夜のホイップラ分散よりも 1968 年を除いて一般に大きい。

要は(ii) は中、低緯度ホイップラの分散値の日変化の一般的傾向であることはすでに知られている。^{20, 22)} すなわち分散は午後に最大を示し、真夜中には最小を示す。この傾向は高緯度帯でも認められる。ここで要は(i) につい詳しく述べよう。1965 年の最小分散は 1958 年の最大分散に比べ、夜の時では 39.74% であるが、昼の時では 73.5% である。他方 f_0F_2 については、図4-6 から 1964 年の最小値は 1958 年の最大値のそれより 52% (夜) および 46.5% (昼) である。これら f_0F_2 の減少と電子密度変化に換算すると、 F_2 層領域では太陽活動極小期には極大期に比べ 75% の密度の減少を意味する。前述の分散値の減少は 39.74% の子午線の磁力線の頂点附近の磁気圏電子密度の減少とは早急に結論できない。つまり中、低緯度ホイップラの分散には、高緯度ホイップラとは異なり、かなり、電離層領域の寄与が含まれているからである。たゞ、この効果を除いてはじめに磁気圏電子密度の情報が得られる。Iwai and Ootsu²²⁾

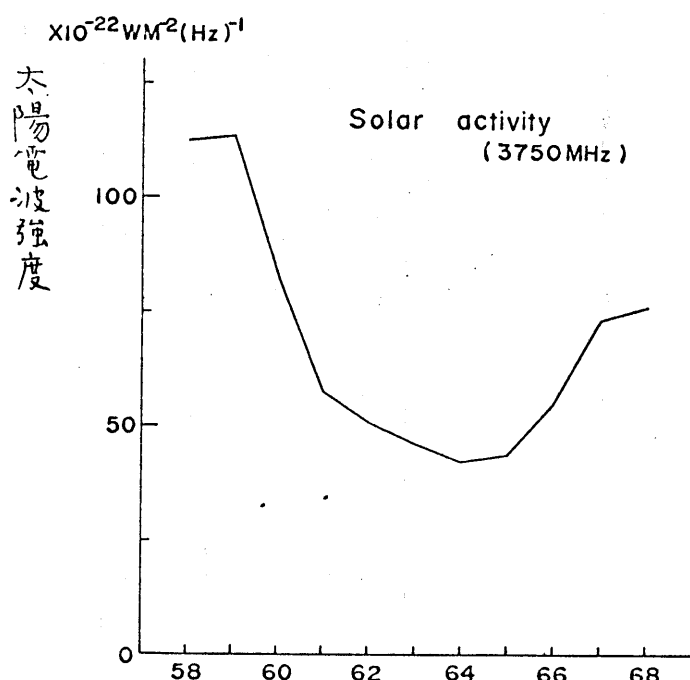


図4-4 太陽活動の高年変化。

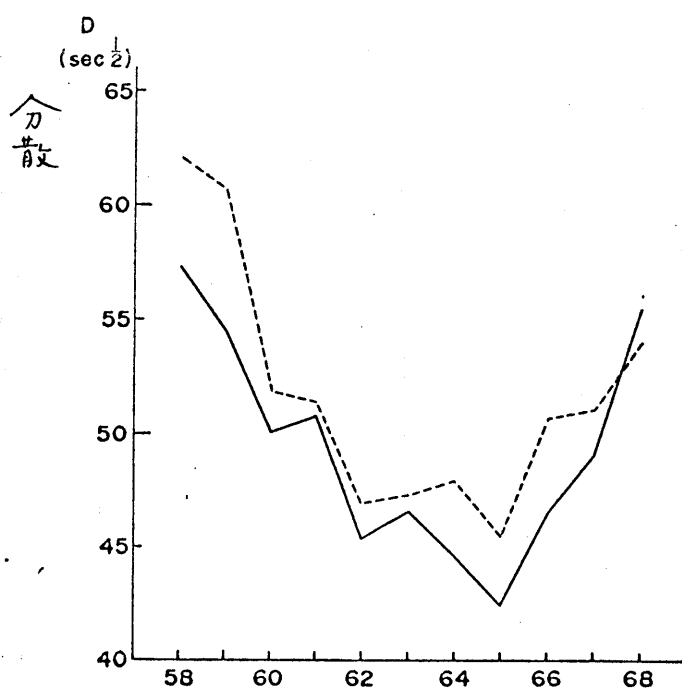


図4-5 分散の高年変化。実線は夜間時、
破線は日間時の結果である。

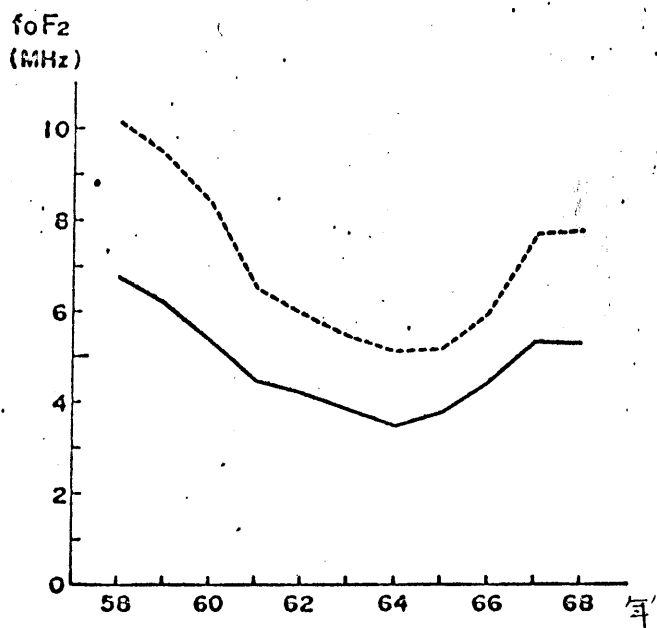


図 4-6 種内における f_{oF_2} の経年変化。実線は夜間、
破線は昼間の結果である。

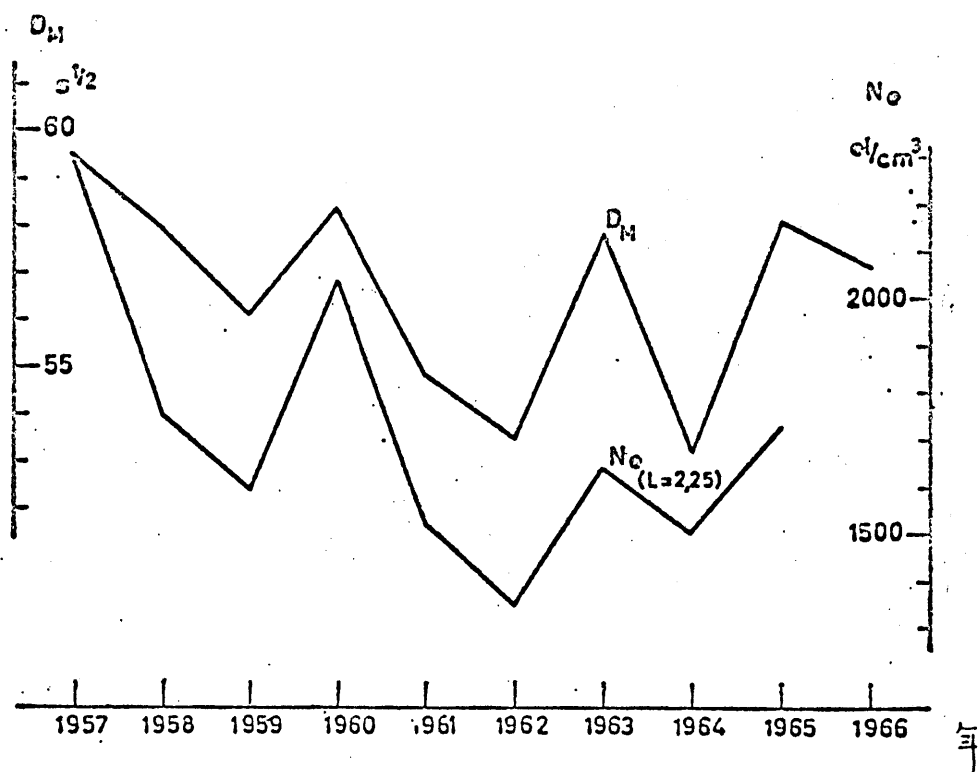


図 4-7 フランスにおける高緯度ホイップラの分散の経年変化。
分散から求めた磁気圏電子密度の経年変化。

の方法に従い、母子里の磁力線は二つ、すなはちF₂層と地上100kmから500kmまでの領域（電離層領域と名付ける）と500km以上の磁力線、頂点までの領域（磁気圏領域）に分けた。電離層領域中の分散の計算は、各年の実測のF₂層、電子密度とその高度を用いて行なう。これらの値と観測された分散から差し引いたものの磁気圏電子密度による分散である。この結果、磁気圏電子密度は太陽活動本極小期においては極大期に比べて約35%の減少であることがわかった。この値は高緯度の減少よりも大きさである。たとえば $L = 2.25$ (L は赤道面上の地球中心からの距離と地球半径で割った値を表す) の Bourriot et al.⁶⁾ の報告では、1964年、電子密度は1958年の値より25%減少²⁷⁾した。我々の結果と高緯度の磁気圏電子密度および電離層電子密度の結果とを比較すると、次の事柄が気付かれる。

- (i) 磁気圏電子密度は電離層電子密度よりも太陽活動に対する敏感である。
- (ii) 太陽活動に対する磁気圏電子密度の依存度は高緯度ほど弱く、といふ。

表4-1は分散と太陽活動との相関係数を計算した結果である。表より分散が太陽活動よりも数ヶ月遅れた時に、それはどの明瞭ではないが、意味のある高い相関係数が認められる。これは太陽が磁気圏電子

表4-1 分散と太陽活動との相関

Dispersion	2 months before	1 month before	same month	1 month later	2 months later	3 months later	4 months later
Correlation coefficient of D with solar activity 00-04h LT	0.471	0.463	0.460	0.501	0.519	0.466	0.451
Correlation coefficient of D with solar activity 15-19h LT	0.570	0.577	0.578	0.636	0.625	0.576	0.562

密度の変化を引き起すのに時間遅れがあることを意味している。以上、結果は従来の Allcock and Morgan²⁵⁾ や Kimpara²⁶⁾ の結果と一致している。

b) 分散の年変化(季節変化)

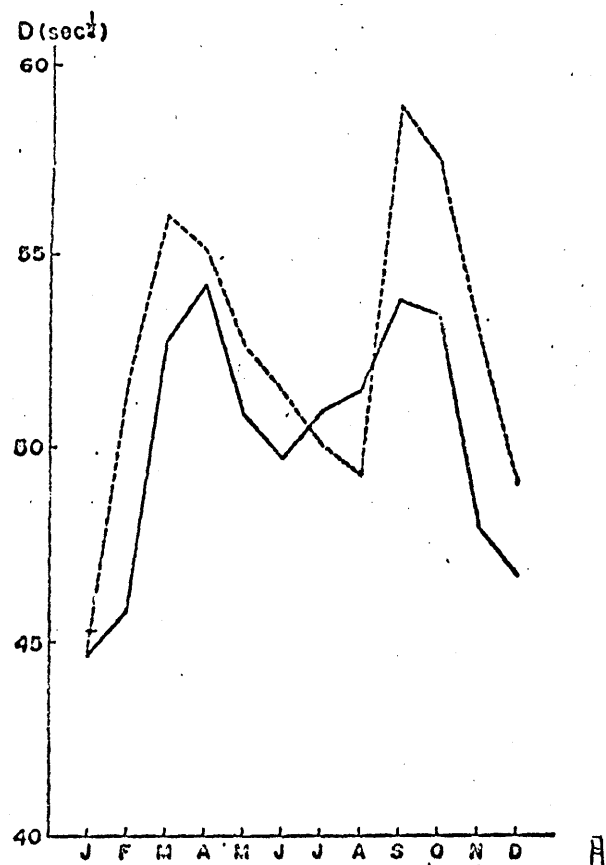


図4-8 種内、母子里における分散の月別変化。実線は夜間、
破線は昼間時の結果である。

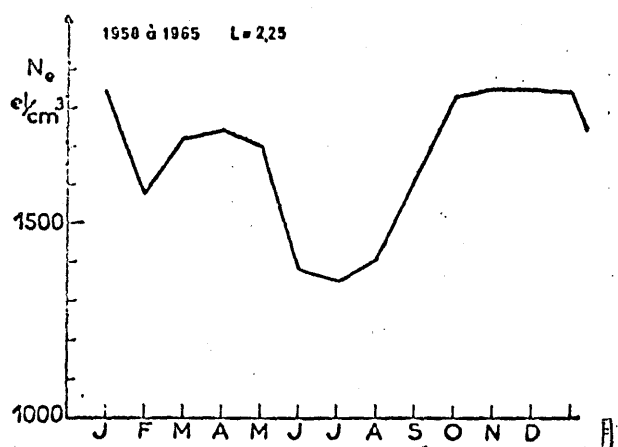


図4-9 高緯度(フランス)における分散の月変化。

図4-8は1958年1月から1969年12月までの期間にわたる稚内における母子里で観測された木イッスラの分散の月平均の月別変化を示す。比較のため、図4-9は $L = 2.25$ における分散の季節変化を示してある。さらに稚内における f_0F_2 の月別変化が図4-10に描かれている。図4-8から次の事柄がわかる。

- (i) 分散値は3月、4月および9月、10月に最大を示す。これは昼間、夜間木イッスラとも同様である。
- (ii) 最小分散は昼夜により幾分異なり、夜間では5、6、7月および12月、また昼間では7、8月および12月に現われる。

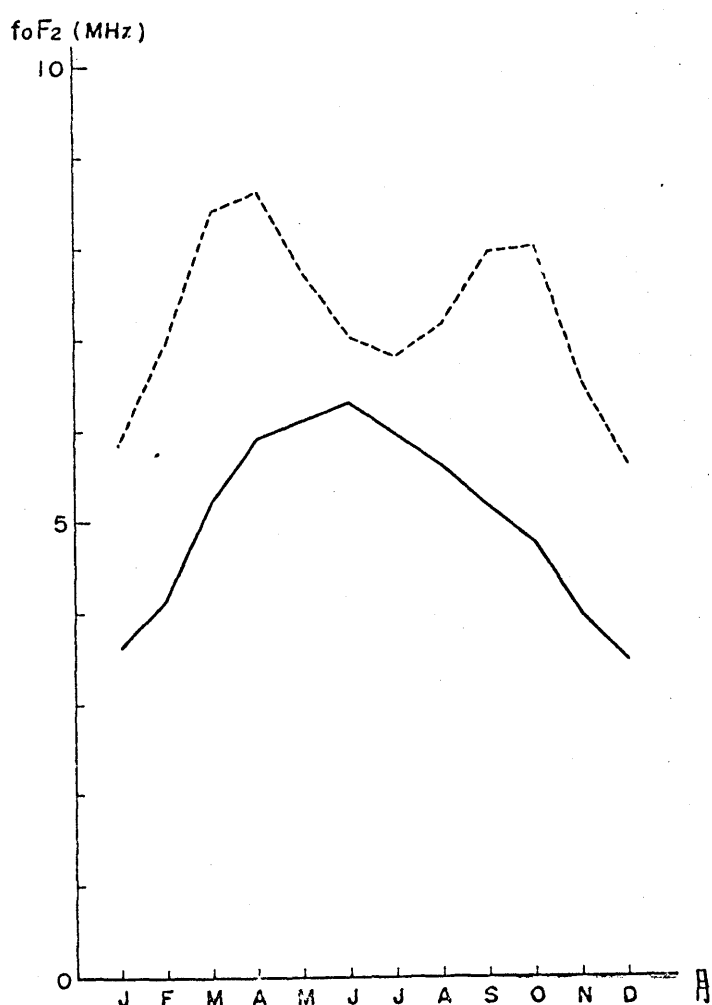
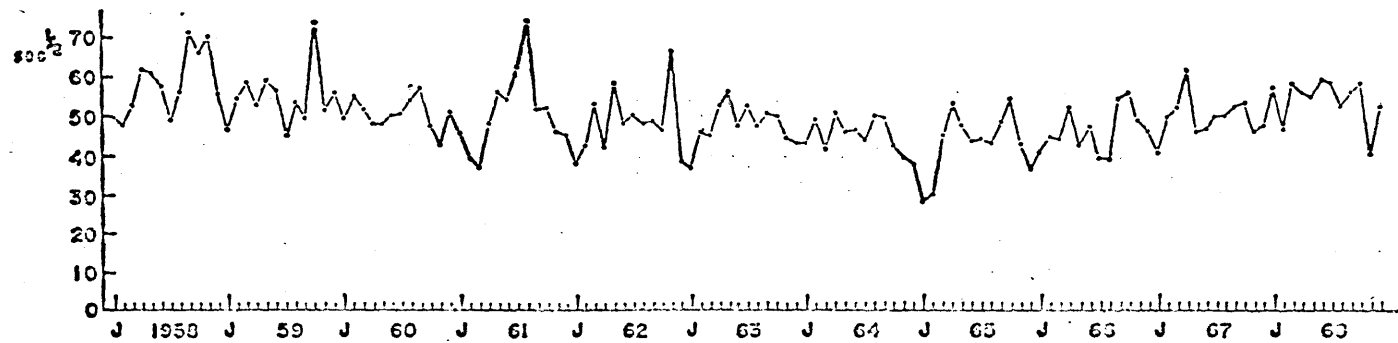


図4-10 稚内における f_0F_2 の月変化。実線は昼間、破線は夜間の結果を示す。

すなわち中緯度では分散は春と秋に最大を呈し、夏と冬に最小となる。この結果を図4-9と比較すると、著しくちがうことがわかる。高緯度での分散の月変化は両半球とも同様で、最小分散は6月～8月に現われ、最大分散は11月、12月ないし1月に現われる。6月ないし7月に分散が最小となることは高緯度とも同じであるが、他、莫は興味ある差違を示している。分散の季節変化の原因としては、太陽の回りの地球軌道が橿円であることや、太陽・地球を結ぶ線と地球磁気赤道との関係における季節非対称によるなどと挙げられる。しかし高、中緯度の両現象を包含する考え方が必要で、今後の問題である。また中緯度木イッスラの分散の月変化は上記の問題のみならず、磁気圏と電離層との相互作用といつた問題の解明にも貴重な資料となるため以下詳しく述べる。

地球物理現象がすべてそろそろあるように、一年周期で変動する成分(annually varying component)と半年周期で変動するもの(semi-annually varying component)との存在する。図4-11は図4-2, 4-3の分散に及ぼすこの2つと拡大したものである。図の分散値の変化に対するフーリエ解析を行なった結果が図4-12および図4-13である。図4-13は夜間、昼間に対するそれぞれ振巾スペルトルが示されている。図2は変動の周期(月)で period = $132/i$ の関係が示され、この際の i が横軸となる。すなわち $i=1$ が現われること $i=0, 11$ および 22 はそれぞれ DC 成分すなわち平均値、annual component そして semi-annual component を表わしている。分散値の変化と電子密度の変動に焼き直した際の各成分の振巾および位相をまとめたのが表4-2, 4-3である。ところが表4-2, 4-3の結果から $L=1.5$ 附近の磁気赤道面内の電子密度の変動を正確に反映していると判断できない。つまり分散の変化に対する電離層における変動の寄与と言平西によく必要がある。分散 D は

Dispersion(0-4h)



171

Dispersion(15-19h)

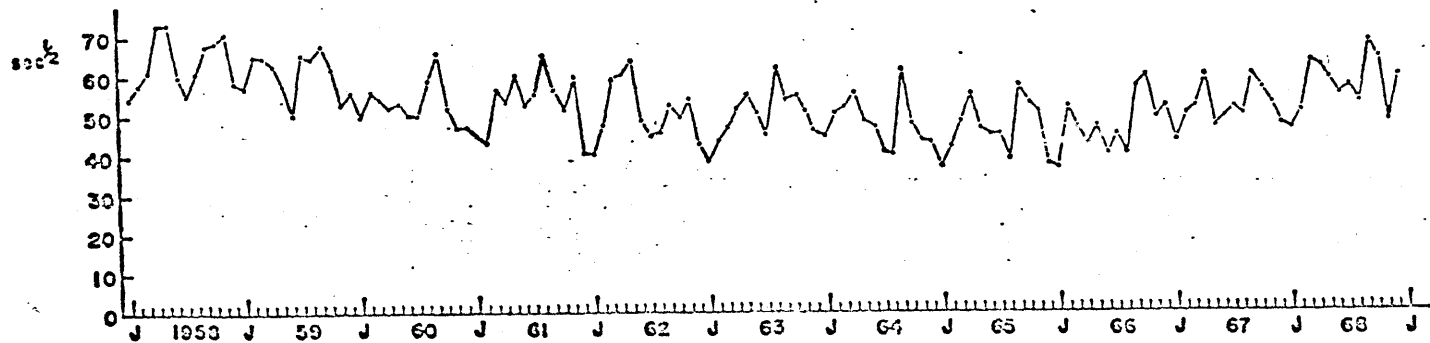
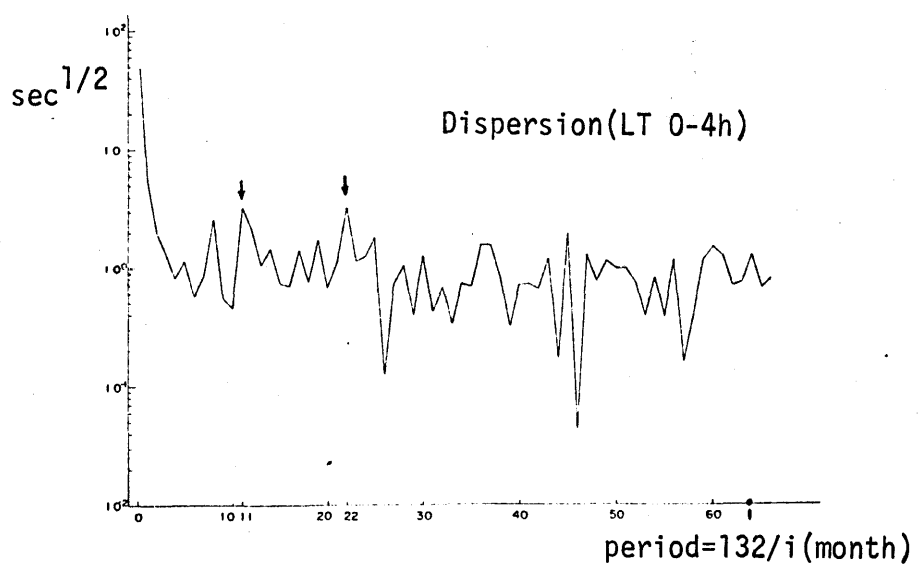
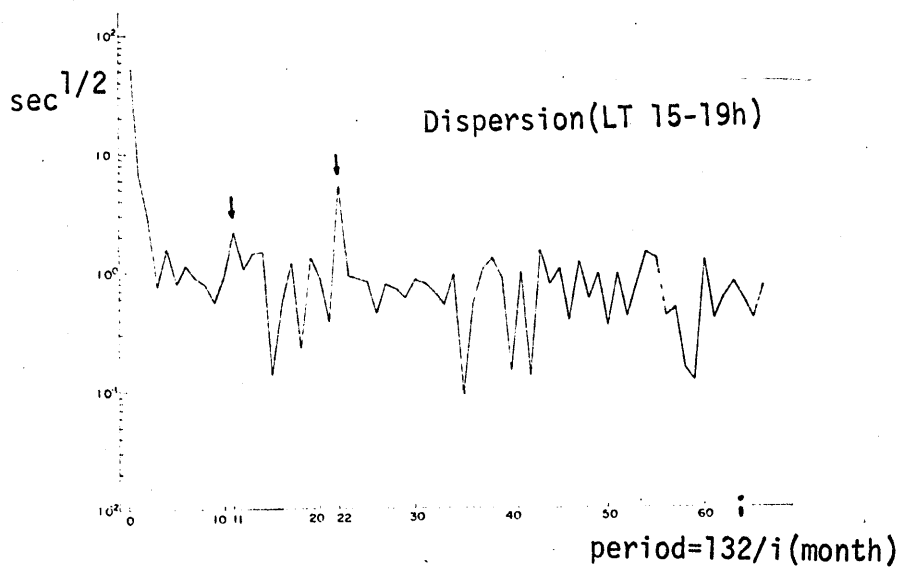


図4-11 ホイスト分散の経年変化。上図は夜間の、また下図は昼間の結果である。Jは1月を表わす。



[図] 4-12 夜間木曽川分散の振巾スペクトル。



[図] 4-13 全向木曽川分散の振巾スペクトル。

$$D = \frac{1}{2c} \int_{\text{path}} \frac{f_p}{\sqrt{f_H}} ds$$

1: より 2 与えられる。3: 2 D を高度 500 km を境とする電離層領域と磁気圏領域中の併せんに基づく分散に分割する。電離層および磁気圏内の電子密度の変動成分を考慮したとき、全体の分散 D の変動成分 ΔD を考へよう。

$$D + \Delta D = \frac{1}{2c} \int_{\substack{\text{ionospheric} \\ \text{path}}} \frac{f_{pi} + \Delta f_{pi}}{\sqrt{f_H}} ds + \frac{1}{2c} \int_{\substack{\text{magnetospheric} \\ \text{path}}} \frac{f_{pm} + \Delta f_{pm}}{\sqrt{f_H}} ds \quad (4-1)$$

たゞし添字 i, m はそれぞれ電離層および磁気圏に属する量であることを意味する。また Δf_{pi} , Δf_{pm} は変動成分の振幅を示す。Yonezawa and Arima²⁷⁾, Yonezawa²⁸⁾ によれば、F₂ 層の電子密度における変動成分の振幅²⁷⁾ は annual mean の約 30% である。したがって $\Delta f_{pi} = 0.55 f_{pi}$ となる。もし $\Delta f_{pm}/f_{pm} = d$ と置くと、電子密度の変動成分 $i = 2$ 分散の変動成分 ΔD は

$$\Delta D = 0.55 D_i + d D_m \quad (4-2)$$

となる。たゞし $D_i \approx D_m$ は電子密度の annual mean 1: より決定される値である

表 4-2 電子密度における変動成分の振幅。

Time of the day	Ratio of amplitude of annual component to the annual mean (%)	Ratio of amplitude of semi-annual component to the annual mean (%)
0-4 hr LT	13.60	13.74
15-19 hr LT	8.08	19.22

表 4-3 電子密度における変動成分の位相。

Time of the day	Time of maximum in the variation of annual component	Time of maximum in the variation of semi-annual component
0-4 hr LT	10 February	25 January, 25 July
15-19 hr LT	10 January	20 March, 20 September

$$D_i = \frac{1}{2c} \int \frac{f_{pi}}{\sqrt{f_H}} ds, \quad D_m = \frac{1}{2c} \int \frac{f_{pm}}{\sqrt{f_H}} ds$$

と示される。式(4-2)中の第一項は分散の変動に対する電離層の寄与を表され、第二項は求めべき磁気圏の寄与分である。次に D_i の D_m に対する比は $L \approx 1.5$ に対して 212 20% 程度である。したがって分散の変動に対する電離層と磁気圏の寄与は $0.11 : 2.9$ である。 $L=3$ の表 4-2 から電子密度における annual と semi-annual components の振幅は 15% 程度で、これをプラスマイナス波数に変換すると $\alpha = \Delta f_{pm}/f_{pm} \approx 0.38$ となる。ところが表 4-2 では電離層の効果が含まれているので、実際の値は幾分小さくなり、 $\Delta f_{pm}/f_{pm} = 0.30$ である。すると分散の変動に対する電離層の影響は磁気圏の寄与の約 $1/3$ なり、表 4-2 より表 4-3 はおもむね磁気圏の情報を我々に提供してくれると言えよう。

以下は内部磁気圏内、電子密度の月変化における興味ある点を要約する。

- (i) 中緯度木イーストの分散値。季節変化は高緯度とは著しく異なり、分散の季節変化パターンの決定において semi-annual component (振幅、位相とも考慮して) の方が annual component よりも重要な役割を果たしているようである。
- (ii) 内部磁気圏電子密度における annual より semi-annual component は外部磁気圏や電離層電子密度のそれとは位相がずれている。特にこの傾向は semi-annual component に対して顕著である。
高緯度から低緯度まで木イースト分散、電離層電子密度そして大気温度等における annual, semi-annual 成分の詳細な、しかも系統的な研究はまだ少ない成分の物理過程あるいは励起機構が明らかにされよう。

c) 発生数の経年変化

図4-14(a)は30分毎に2分間ごとの定常観測で観測されたオイックスラ総数。経年変化を示したものである。1962年、発生数は、11月15日までの稚内におけるそれ以後の母子里における値を加えたものであり、この年、値は信頼性に欠けた。以下では稚内、母子里の結果を別々に検討する。稚内における発生数は1961年の減少を除くと、太陽活動の低下とともに増大している。一方母子里においては、1963年におけるさわめて高い発生数を示し、その後急激に低下し、1965年に最小を示している。図4-14(b)はオイックスラ活動の高い冬季五ヶ月(11月から3月)における総数。経年変化を示したものである。稚内における発生頻度は1958年から1961年までは太陽活動の低下と呼応して増加している。しかし1962年の発生数は太陽活動のより低下にもかかわらず減少している。稚内におけるオイックスラ数と太陽活動とはおもね逆相関にあることわかり、その相関係数は-32%である。同様に母子里の発生数は1964年以後大きな振動を伴いつぶら低下している。母子里における相関係数は-43%である。これらの結果から、中高高度ではオイックスラ発生数は太陽活動とは負の相関関係にあると結論づけよう。

発生数と太陽活動との逆相関は電流活動と伝導効果によるものと説明されねばならない。ところが従来から電流活動と太陽活動との間に相関があることは考えられず、発生数は主として伝導の要素によること支配されている。伝導における主な因子としては(i)電離層中の吸収と(ii)磁気圏内ダクト生成である。ダクトの形成機構は解明されておらず、(ii)の太陽活動との関連には言及できない。一方空電強度の観測からAustin²⁹⁾は電離層・地表導波管内を伝導する空電強度は太陽活動と逆相関にあると報告している。これは電離層の吸収が太陽活動と逆相関關係にあることと意味するものである。以上のこと考慮すると、

木星ストラ発生数の太陽活動との逆相関は電離層中の吸収の主として
交わりでないと説明し難い支えがない。

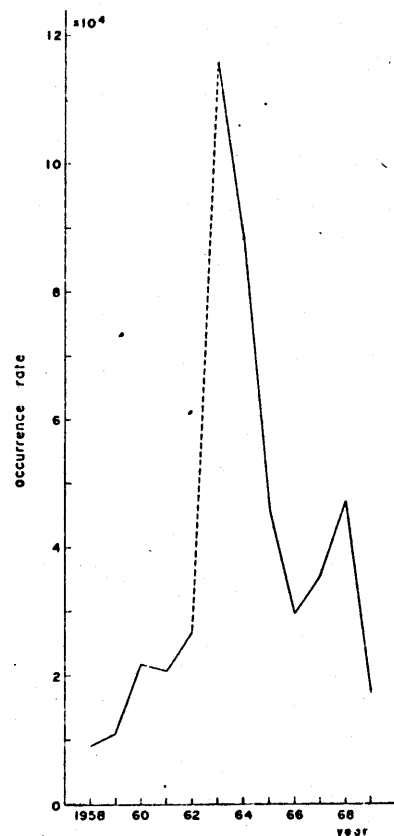


図 4-14(a) 年間総発生数の経年変化。

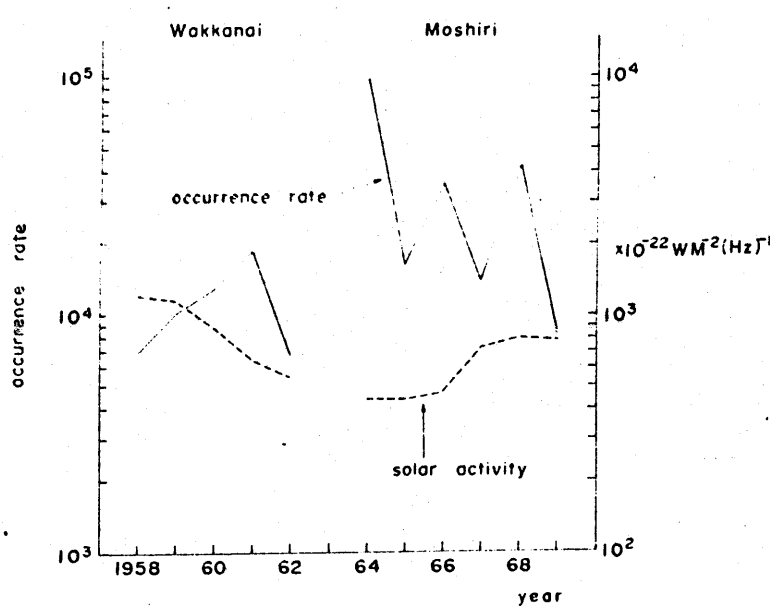


図 4-14(b) 冬期五ヶ月間の総発生数の経年変化。

d) 発生数、季節変化

図4-15 は 1958年から1968年までの期間にわたる平均した月別発生数を描いたものである。この図から、発生数は冬に最大を、夏に最小を示すといふ認められる。発生数の高い月は12月、1月および2月、低い月は6月、7月および8月である。2月における最大頻度と7月における最小頻度との比は18.5である。これは従来の太陽活動期における結果とも一致している。³⁰⁻³²⁾ Hellwell³³⁾は、本例スラ発生数の季節変化は観測臭の緯度により著しく変化し、 52° よりも低い、それとも 62° よりも高い緯度では冬季に最大を示すが、 52° と 62° との間の緯度では夏季に最大を示すと述べる。本論文の結果はこのことを支持している。

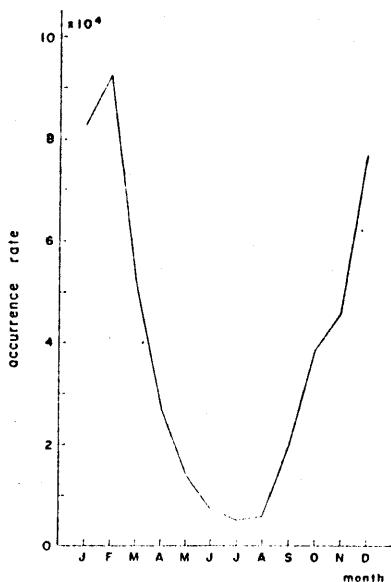


図4-15 発生数の月変化。発生数は太陽年にはわたる、平均した月別発生数である。

4-3 磁気擾乱時の木イッスラ伝導特性

a) 磁気擾乱の中、低緯度木イッスラに及ぼす影響

木イッスラの活動度は源である雷活動と磁気圏内の伝導特性とに依存している。源、雷活動は地磁気活動による影響はきわめて薄いと考えられるが、木イッスラの伝導領域は地磁気擾乱の強い影響下にある。磁気擾乱時には磁気圏内の物理状態に変化が生じ、それが木イッスラの発生数や分散に変化を引き起すのである。

磁気嵐の効果は中、低緯度木イッスラにおいてのみ顕著に現われ、高緯度ではその効果は認められない。¹⁶⁾ 中、低緯度木イッスラを用いて、Kimpara³⁰⁾ や Outsu and Iwai¹⁵⁾ は磁気擾乱時の木イッスラ特性を論じた。

本節では従来の研究も3、また、中緯度における比較的大きな磁気擾乱時の木イッスラ特性を詳しく検討する。期間としては、1959年から1966年までを考え、この期間中、比較的大きな磁気嵐を対象とした。磁場変動の水平成分、変化が200Tを越える磁気嵐を対象としたが、その結果²²⁾、磁気嵐が選ば出された。ところが木イッスラの解析が可能であるには、そのうちわずか十ヶの嵐があった。これらの磁気嵐を表4-4にまとめである。解析ができたか、1: 磁気嵐は、この期間がちょうど木イッスラの活動、低時期にあた、といっためである。以下ではこれら10例のうち6例に対して、磁気嵐期間中の木イッスラ発生数と $\sum K_p$ の関係を図4-16～4-22までの図(a)に示す。ただし K_p -指數とは磁気擾乱の度合を示すもので、0～9までの段階に分けられる。また K_p -指數は三時間毎に測定され、この K_p -指數の一日の総和を $\sum K_p$ という。 $\sum K_p$ が40を越えるような嵐はかなりの規模の嵐と考えよい。図中の横軸は磁気嵐の始めた日を0として、その前後とそれぞれ負および正の日数を表示している。図中の太い実線は $\sum K_p$ の変化を、また細い実線は木イッスラ頻度を表す

表4-4 ホイッスル解析が可能である、 $t \geq 10$ 分の磁気風の諸元。

Date	Storm time (G.M.T.) of				Sudden commencement type ¹⁾	Degree ²⁾	Max. K-index	Ranges H (in r)	Ratio of peak whistler rate to monthly mean value
	beginning	main phase	last phase	ending					
Feb. 25, 1959	01.4	25 04.9	25 16.7	27 02	—	ms	6	227	3.7
Mar. 26, 1959	08 42	25 10.3	27 07.6	29 21.1	ssc*	ms	7	274	7.0
Mar. 31, 1960	09 55	31 21.8	1 04.1	2 23.0	ssc	s	8	319	1.9
Apr. 30, 1960	12 13	30 12.8	30 18.8	1 20.0	ssc*	ms	8	330	2.5
Oct. 06, 1960	02 33	(6 02.8)	7 04.2	10 06	ssc	ms	7	221	4.0
Nov. 12, 1960	13 48	12 18.2	13 10.4	14 23.0	ssc	s	8	417	11.9
15, 1960	13 03	15 16.8	16 02.9	18 03.0	ssc	ms	7	225	
Sep. 30, 1961	21 09	30 22.7 1 05.5	— 1 09.6	1 20	ssc(*)	ms	7	318	3.8
Oct. 28, 1961	08 10	28 10.5	28 18.0	29 21.0	ssc ^z	ms	7	244	1.5
Oct. 23, 1963	19.0	23 23.8	24 10.5	25 21.0	—	ms	6	206	3.2
Apr. 17, 1965	13 13	18 03.2	18 10.1	19 24	ssc	ms	7	278	6.2

Remark: 1) — denotes uncertain type.

2) s: a severe magnetic storm with maximum K of 8 or 9.

ms: a moderately severe storm with maximal K of 6 and 7.

7213。次に図(b)は対応する分散の値 $\times 10^2$, すなは比較のため電離層の f_0F_2 の変化 $\times 10^2$ 示されている。以下各イベントにつれていう。

1959年2月25日の磁気嵐(図4-16) — 木イッスラ発生数は磁気嵐発生後1日目にはかなり上昇し、2日後に最高頻度を示している。その後は磁気擾乱活動の低下に伴い、振動しながら次第に減少していく。この磁気嵐では高い木イッスラ頻度が一週間程度継続しているが、これは磁気嵐自身の長い継続時間に対応している。+1日から安定な木イッスラダクトの存在を示唆するエコートレイン木イッスラが出現し始め、(かも+2日にはかかる)の個数のエコートレイン木イッスラが観測された。また+1日に分散 $25 \text{ sec}^{1/2}$ の木イッスラの著しい発生数の上昇が認められたが、これは低緯度でも磁気嵐の効果で安定なダクトが形成されたことと示唆される。一方分散値は-1日は上昇、0日に減少し、その後は次第に上昇するようである。しかしこれは、きりとした磁気嵐効果が現われているとは言い難い。また電離層電子密度にも顕著な変化は認められない。

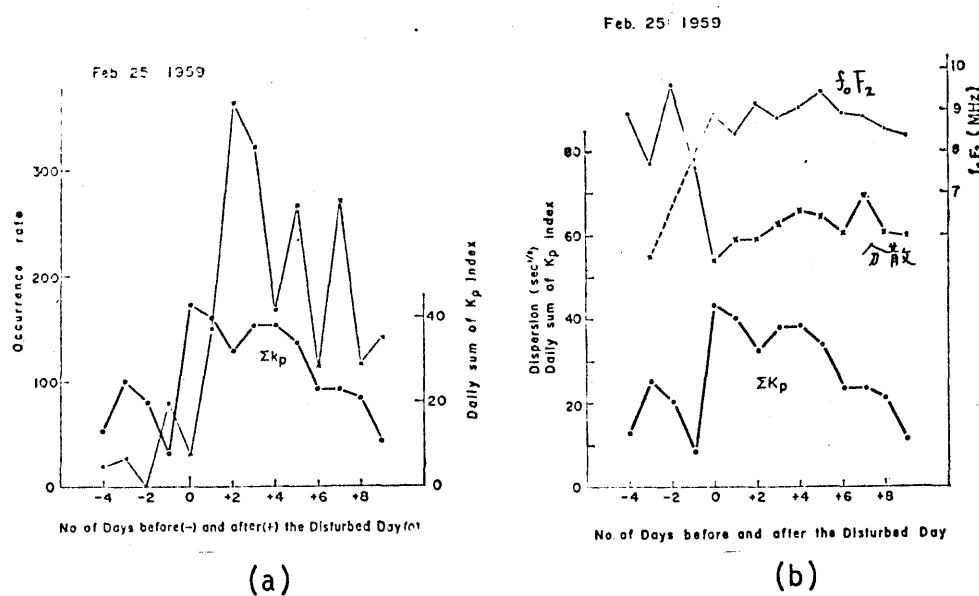


図4-16 1959年2月25日の磁気嵐時の木イッスラ特性。

1959年3月26日の磁気嵐(図4-17) — この例は磁気嵐の効果の典型的なものと考えられる。木イッスラ頻度は+2日から急激に上昇し始め、+3日に最大に達し、その後また急激に平常のレベルに落ちついている。

発生頻度の変化とは逆位相で、分散値は0日から減少し、5,6日減少状態が続いている。一方電離層電子密度は+1日を最小を示した後は、1:5:1の回復に向かっている。

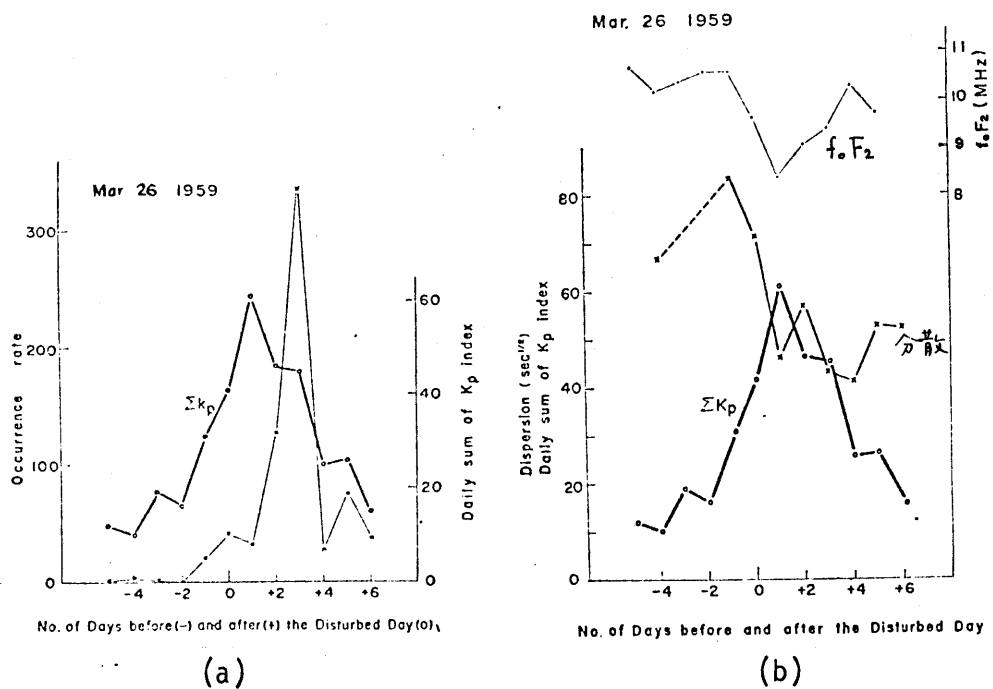


図4-17 1959年3月26日, 磁気嵐時の木イヌラ特性。

1960年3月31日, 磁気嵐(図4-18)

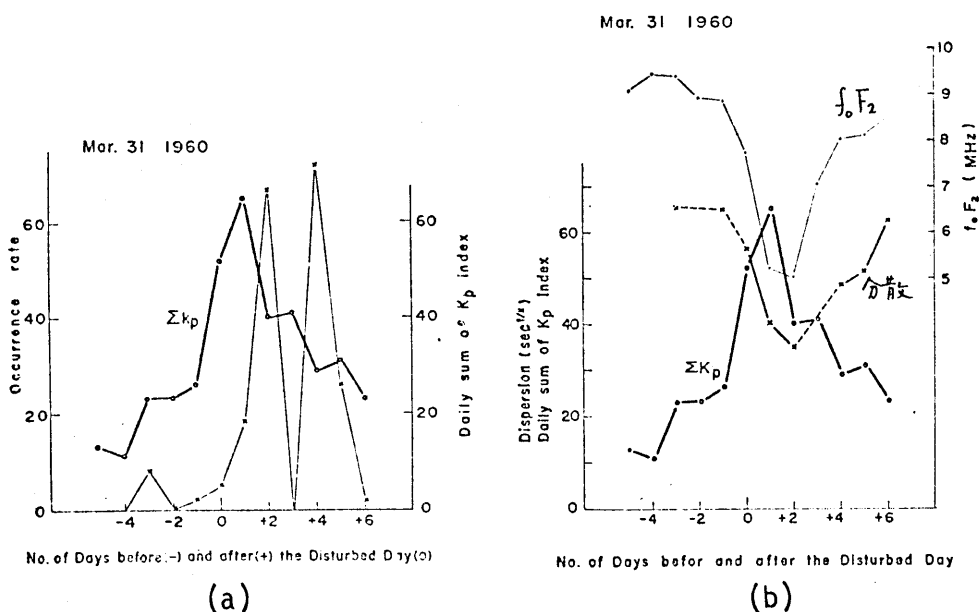


図4-18 1960年3月31日, 磁気嵐時の木イヌラ特性。

+2日および+4日に=つの顕著な発生頻度のピークを認めることか
である。+3日は木イッスラが受信されなかつたことは、多分反対半球の電流活動によるものである。しかし+3日には連続性VLF放射(ヒス)がたゞたゞ観測された。分散値は0日から低下はじめ、4,5日向低下状態を持続した後、平常値に回復していく。この分散の変化は、電離層電子密度の変化もきわめてよく対応している。

1960年4月30日磁気嵐(図4-19) — 発生頻度には-3日および+1日には=つの顕著なピークが存在する。+1日、ピークは $\sum K_p$ の変化の0日のピークに対する応答である。他方-3日の発生頻度は100個を越え、これは-5日～-6日に起きた別の嵐の効果である。-5日～-6日に磁気嵐は0日に発生した嵐に比べてその規模が小さくなるが、それが発生数の上昇により明瞭となる。これは最も良好な伝播条件には、最適の $\sum K_p$ の値の存在し、それより荒れすぎても、静かすぎても発生頻度は下がることを意味している。この実験は Yoshida and Hatanaka, Laaspere et al.³⁴⁾³⁵⁾

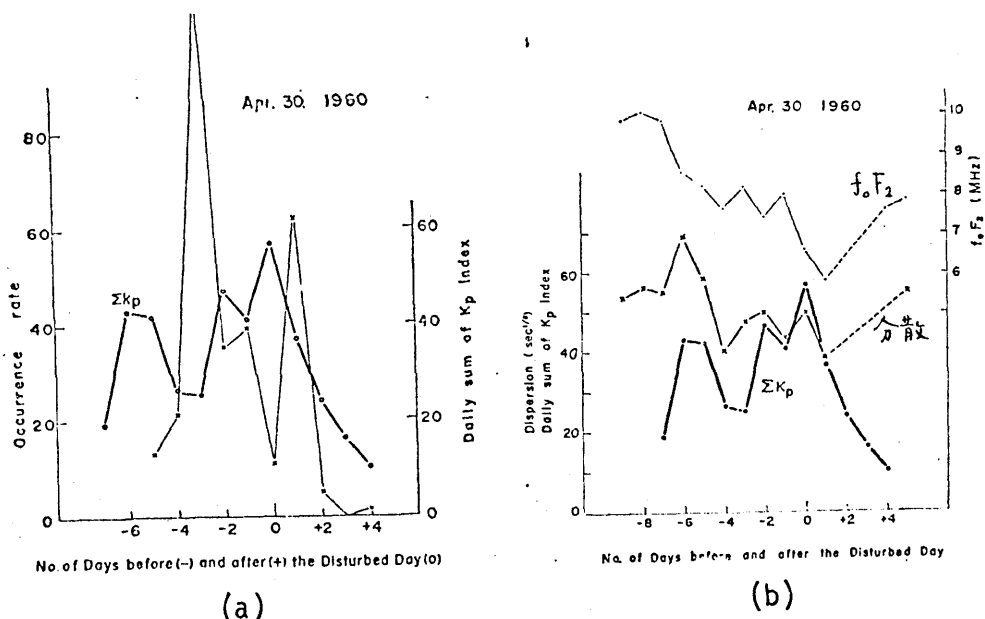


図4-19 1960年4月30日磁気嵐時の木イッスラ特性。

Allcock¹⁶⁾ によると、最も指摘されることは、分散は一日から数日間明らかに減少状態にあるが、三つの連続した磁気嵐のため、どの嵐の影響か明瞭には判別できない。

1960年11月12, 15日の磁気嵐(図4-20) — この磁気嵐は二つ、ものが連続して起こる場合であり、図(a)からわかるように、前の磁気嵐の磁場変動(ΔH)は後の嵐の約二倍の規模のものである。+4日の高発生頻度は+1日の擾乱から3日の時間遅れで出現している。さらには0日からエコートレインホイップの発生が見られ、+5日にエコートレインホイップの活動度は最高に達した。表4-5にエコートレインホイップの発生数、分散をまとめある。図4-21は+5日に現われたオミエーまで伴うエコートレインホイップのうちオミエーまでを示したものである。これらの事実は磁気嵐が安定なホイップダクトの生成に重要な役割を果たしていることを強く暗示するものである。一方分散は+1日から数日間減少していくが、これは前の嵐の影響で、後の嵐の効果は前のものによりも弱くされようである。しかし S. F₂ には顕著な嵐効果は現われていない。

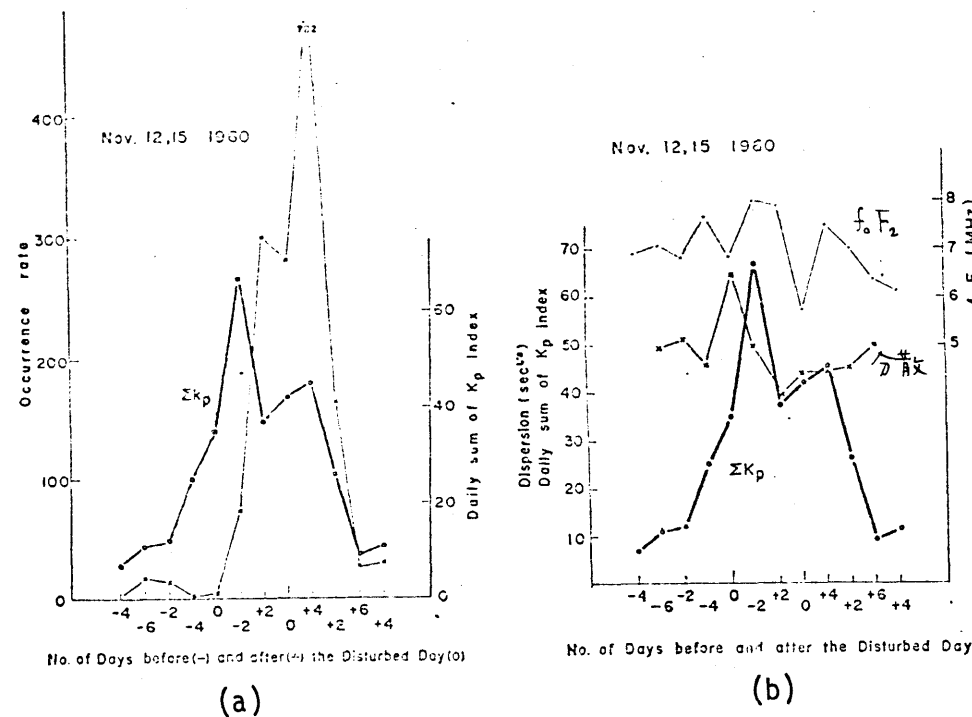


図 4-20 1960 年 11 月 12, 15 日の磁気嵐日中のホイッスラの特性。

表 4-5 エコートレインホイッスラの特性。

Echo-train whistlers

1960年11月10日—20日 種内

日 時 分 U.T.	発生数	最高echo数	分 類
13 1420	1	1	65—180
1550	3	2	55—160
1750	1	1	35,50—150
14 1750	1	1	35—100
15 1150	3	1	40,50—140
16 1050	1	1	40,50—150
1850	1	1	30,45—140
2020	1	1	45—
17 920	1	1	52,5—150
950	1	1	40,50—
1020	3	4	50—155
1050	2	5	40,50—160
1820	1	1	40,55—180

第1 hop と第3 hop の分散が示されている。第2 hop の分散が示されていない場合があるが、之は強度が弱くて測定出来なかったためである。

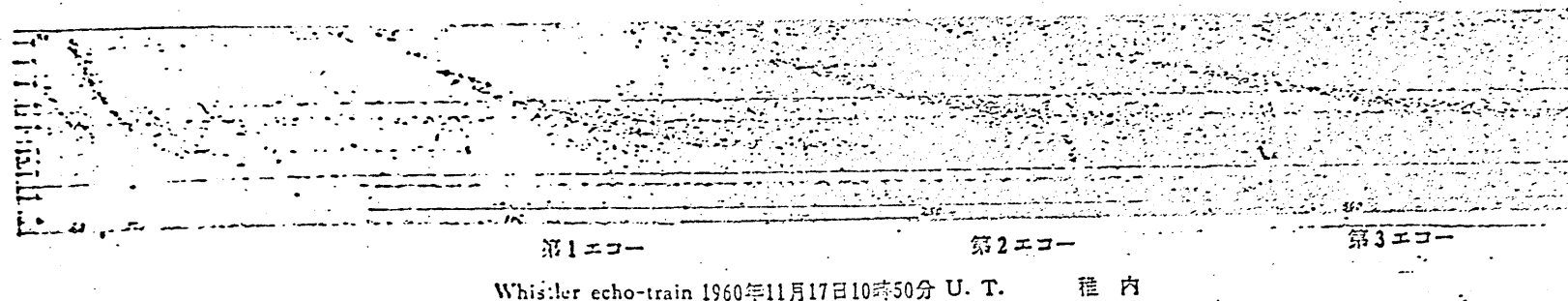


図 4-21 1960 年 11 月 17 日 10 時 50 分 U.T. に観測されたエコートレインホイッスラのスペクトル。

1965年4月17日の磁気嵐(図4-22) —— 図(a)は典型的な例で、
 ΣK_p のビーグーに応じて 1 日の時間遅れで最大発生数が現われ、
 この発生数の上昇が数日続いである。一方 分散も磁気嵐後には、きりした
 減少と 5, 6 日呈し、その後次第に回復に向かう。

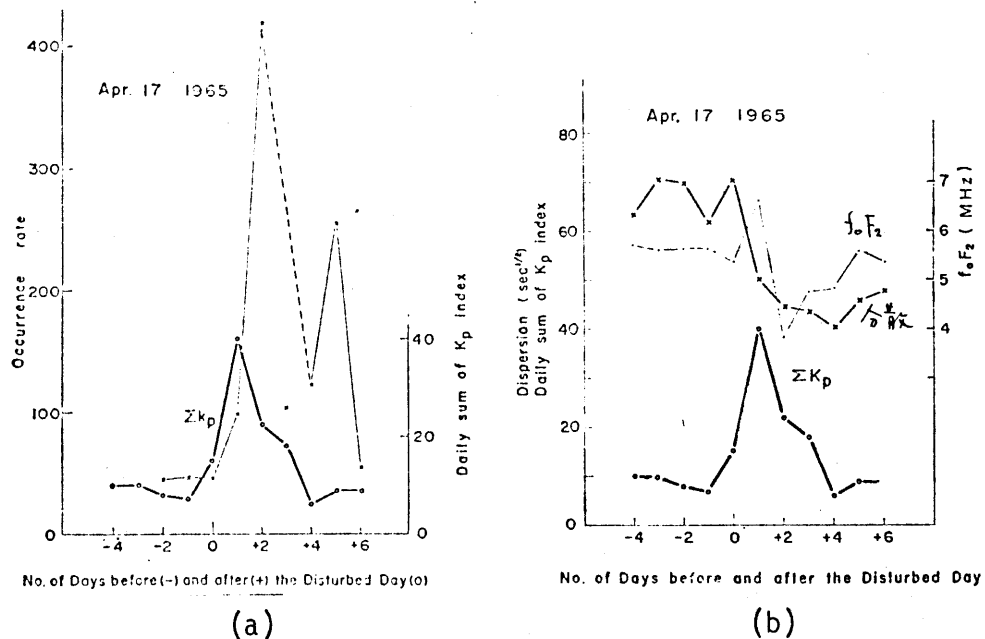


図4-22 1965年4月17日の磁気嵐時のホーリスラ特性。

以上の例から、まず磁気擾乱時のホーリスラ発生数は图1-2に次、
 事柄が統計的に論議せよう。

- (i) ほとんどすべての磁気嵐に対して、ホーリスラ発生数は ΣK_p の急激
 な上昇に呼応して急激に増大する。
- (ii) ホーリスラ頻度の最大は ΣK_p の最大を示す日から 1 日ないし 3 日遅
 れて出現する。全体の例のうち、2 日遅れの最大発生数が最もよく現
 われ、全体の 44% である。また 1 日後および 3 日後、最大発生
 数はそれぞれ 22% および 33% である。
- (iii) 最大発生数の月平均値に対する比は大体 2~6 である。しかし

標準には 10 を越えることもある。

- (iv) ホーリスラ頻度の増大期間は 磁気嵐の型に依存する。
- (v) ホーリスラの良好な伝播には 最適な $\sum K_p$ の存在する。

次に擾乱時の分散に関する重要な実を列記する。

- (i) 分散値は一般に嵐期間中は減少する。
- (ii) 最小分散は最大 K_p の日よりも 0 ~ 4 日後に現われる。
- (iii) 最小分散値は月平均値の約 65% から 85% である。
- (iv) 分散の変化は $f_0 F_2$ の変化との相関はあまりよくな~いようである。

これらの磁気擾乱時のホーリスラ伝播特性の解釈は次のように考えられる。磁気嵐の発生に伴って分散が月平均値の 35% ないし 15% 減少することは、磁気圏 ($L \approx 1.5$) の電子密度が減少していることである。このような磁気圏電子密度分布のもとで発生数の上昇 やエコートレインホーリスラの多発等はホーリスラダクトの安定な発達ないし生成を意味している。磁気嵐とダクト生成との関係は次節において詳しく述べる。磁気嵐によるホーリスラ発生数の増大は嵐の当日から起きたことから、ダクトの形成は 1 日以下の時間スケールで起きる、形成されれば数時間安定に存在する考えられる。

b) 磁気擾乱時のタクトの特性の変化

前節において磁気擾乱時のタクトの安定性または形成が明らかになつたが、これら磁気擾乱時のタクトの性質が、静穏時に比し、どうに変化するかを調べるのが本節の目的である。扱はるる磁気擾乱は1967年1月から1970年12月までの期間中において $\sum k_p \geq 30$ 以上で、しかもその前後には擾乱のないような孤立型のもつ19例である。これらの磁気嵐のうち、母子里では18例、佐久島では8例に対して、ホーリスデータの使用可能である。いわば人特性の季節効果を除くため、発生数および分散はそれぞれ月平均値で規格化してある。図4-23は母子里における規格化された発生数および分散の擾乱期間中の変化を示したものである。さらには Diffuseness-Dispersion ratio, すなはち $F' = 1000 F/D$

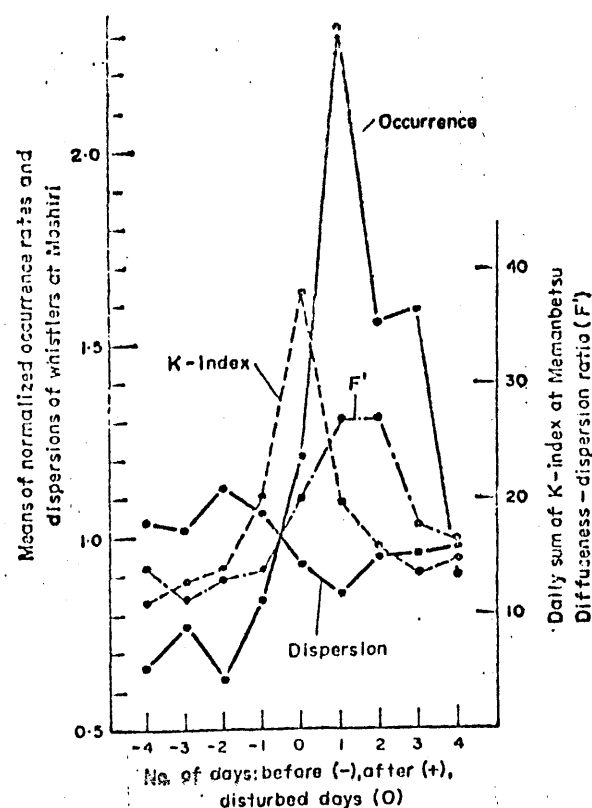
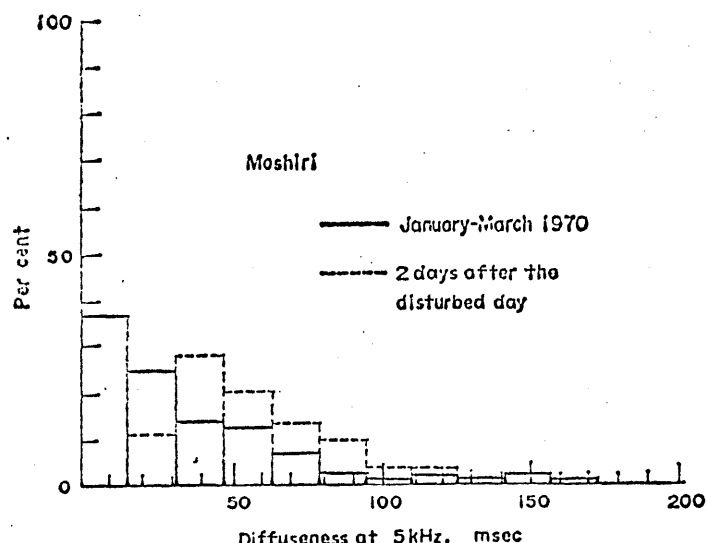
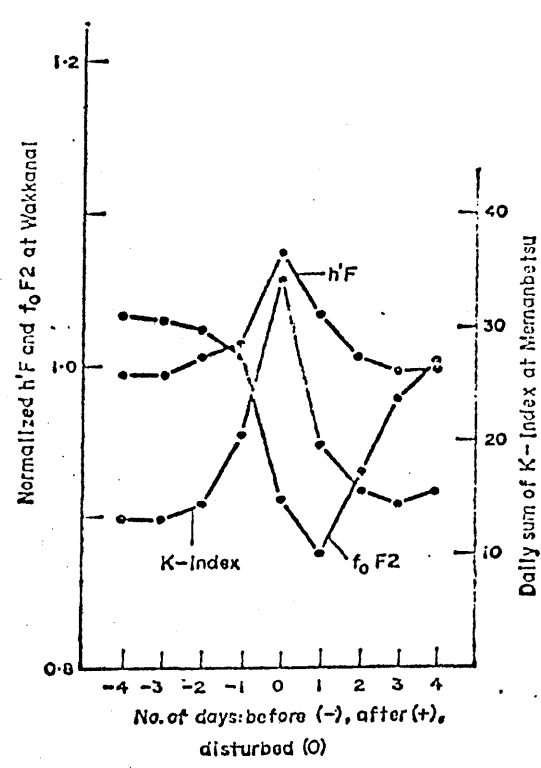


図4-23 母子里における18例の嵐に対する発生数、分散および F' の平均変化。

(D: 分散)の変化も示してある。ただし F は diffuseness といい、木イヌラスペクトルのオームバリ具合を表わすもので、これは「 γ 」の中に関する重要な情報を含んでいる。 F は木イヌラスペクトルの 5 kHz の f_0 に 1 msec 中を 0.05 sec の単位で測定した値である。 図 4-24 では、木イヌラ発生数が擾乱日の一日前後から急激に上昇はじめるとともに、分散もその月平均に比べて約 15% の減少を示していることがわかる。これらは前節の結果と一致している。また F 値は一日後、二日後には二倍程度になることがある。 また F 値は一日後、二日後には二倍程度になることがある。

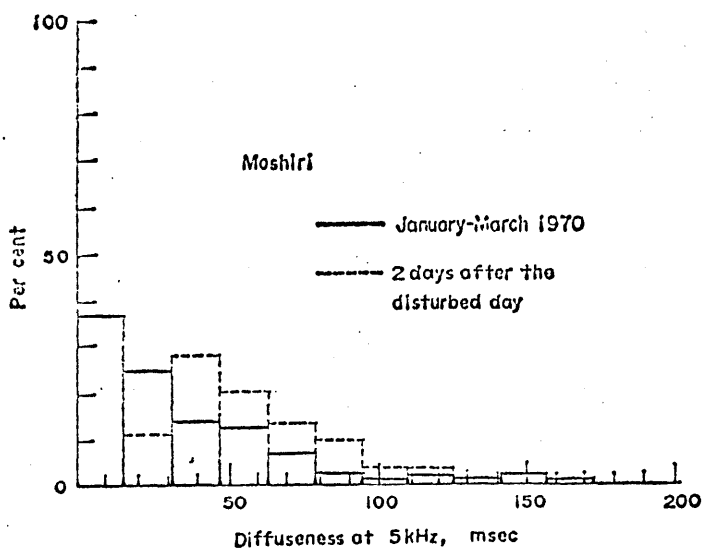


図 4-24 静穏時と磁気擾乱時における木イヌラ Diffuseness の頻度分布。

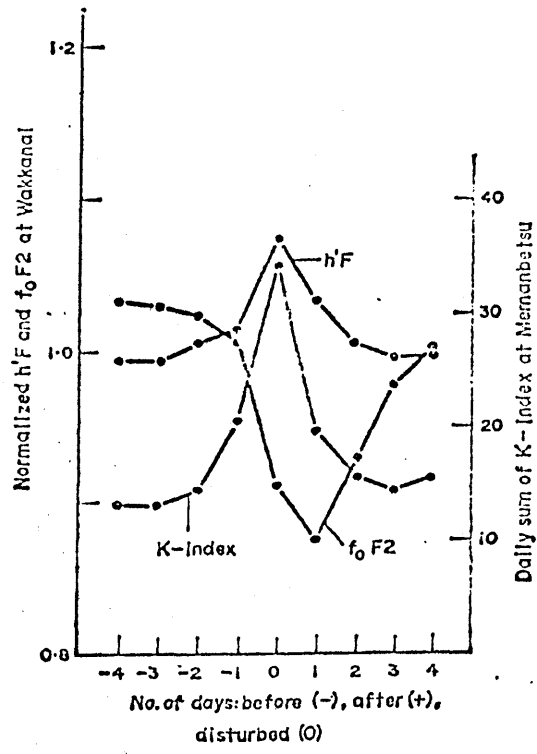


図 4-25 搪乱期間中の電離層パラメータの変化。 $h'F$ と F 層の高さを表す。

一方佐久島では、データの数が少ないので擾乱時の発生数の上昇の有無有意な結果である。したがって、diffuseness に関する情報は得られなかつた。

以下 diffuseness について詳しく述べよう。Diffuseness のいかたずデータの状況を反映していけるとは興味深い。従来 diffuseness の増大はデータ中の増大によることとする考え方があるが、その定量的評価はされない。そこで木村スラ波の波長よりも大きいスケールの单一のデータとF₂層以高の領域に考え、その中を snakelike 伝はんする時に予想される時間差と評価する。電子密度分布として

$$N(x) = N_M \exp\{-k(x-x_M)\} \left\{ 1 + C \exp\left(-\frac{(b-b_M)^2}{2\Delta D^2}\right) \right\}$$

と採用した。ただし $N_M \exp\{-k(x-x_M)\}$ はバックラング、磁気圏電子密度分布、 N_M は F₂層の電子密度、 k は電子密度勾配、 $b = x/\sin^2 \theta$ 、 $b_M = x_M/\sin^2 \theta_M$ 、 x は地球半径で規格化した地球中心からの距離、 x_M は F₂層の高さ、 θ は余緯度、 θ_M は x_M における余緯度、 C はデータの enhancement factor で ΔD はデータの半幅を表す。レイトレンジングの結果が表 4-5 にまとめある。表 4-5において 0 は捕捉されたことを示し、X_M は入射波の波面法線。鉛直上方から磁力線方向へ傾けた角度を表す。母子里の緯度において 50% の enhancement factor のデータを考えると、表から數十 km の中でければ入射波の波面法線方向か緯度以上磁力線方向へ傾けば、波の捕捉が可能となる。その際の最大時間差は 26 msec である。この値は 2-4 節で述べたようなデータの出口における透過円錐の存在のため小さくなること予想され、計算結果は上限を与えると考えられる。ところが擾乱時には図 4-24 から diffuseness の最頻値と 12 40 msec という値を得た。したがって单一のデータ中の Smith 流の snakelike 伝はんでは磁気擾乱時の diffuseness は説明できます、次のように考え

		Enhancement factor					
		0.25			0.5		
χ_M		duct width (km)					
		25	50	200	25	50	200
		0°	"	"	"	"	"
		2.5	"	"	0	"	"
		5	"	"	0	0	"
		10	"	"	0	0	0
		12.5	0	"	0	0	0
		15	0	0	0	0	0
		20	0	0	0	0	0
		25	0	0	0	0	0
		30	0	0	0	0	0
		38.714	0	0	0	0	0
$\Delta t_{\max.}$ at 5 kHz	11 msec	6	3	26	18	18	
$\frac{\Delta t_{\max.}}{t_{GRL}}$	1.6 %	0.9	0.4	3.4	2.3	2.3	

表4-5 レイトレーシングの結果。 \circ 1: 波が捕捉されたことを意味する。
 χ_M : 銛直上方の磁場方向~傾けた角である。

いれよ。

- (i) 単一のダクトの中が広くたるときとすると Somayajulu and Tantry³⁶⁾ の考えはあやまりがあり、
- (ii) 多数のダクト element ducts から成る領域 (ダクト領域 ducts region と名付ける) の存在し、その中の最も内側と外側の element duct におけるオーバストラクション時間差が diffuseness を決定する。また diffuseness の擾乱時間における拡がりは ダクト領域の中の増大を意味する。

この考えに基づいて、ダクト領域の中と評価してみよう。伝播時間差 Δt は伝播距離の差 Δs で次のようにならわれ。

$$\Delta t = \frac{f_0}{2c(f f_H)^{\frac{1}{2}}} \Delta s$$

$f_0 = 1 \text{ MHz}$, $f_H = 300 \text{ kHz}$ とするとき diffuseness Δt から Δs の値が得られる。さらにはダクトホール磁場を仮定すると、ダクト領域の中心で決定される。静穏時 0.15 msec に対する Δs はダクト領域は約 50 km であり、擾乱時間ではそれが約 200 km と増大する。しかしダクト領域中の element duct の中には多く 10 km 以下のもので、上記 Δs は 50 km より大きい。

c) 寛離層・不規則性(Spread-F irregularities)と磁気圏ダクトとの関連

前節までは主として統計的考察を行なってきた。本節では1971年1月21日から始まる磁気嵐期間中の特別連続観測の結果を用ひ、磁気圏ダクトと寛離層中のSpread-Fとの関連性が明らかとなる。²⁾ 特別観測は従来の1時間1:2分毎の定常観測よりも細かく、10分毎1:2分1回づつの観測である。その結果を図4-26に示す。発生数、分散およびdiffusenessについて(a),(b)節²⁾の結果を支持しているが、こ²⁾注目すべきもう一つの重要な点が指摘できる。

(i) 図から木イッスラ発生数が上昇してこの期間中に1:1は、寛離層中

不規則性(Spread-F irregularities)が多発したこと。

高緯度では木イッスラの発生頻度とSpread-Fの生起には正の相関があること^{37,38)}が報告され、Spread-F 不規則性と木イッスラダクトとの関連性が指摘されている³⁹⁾。さらに中緯度における衛星観測によると、Spread-F は磁力線に沿った構造をもつ、磁気擾乱による相関關係

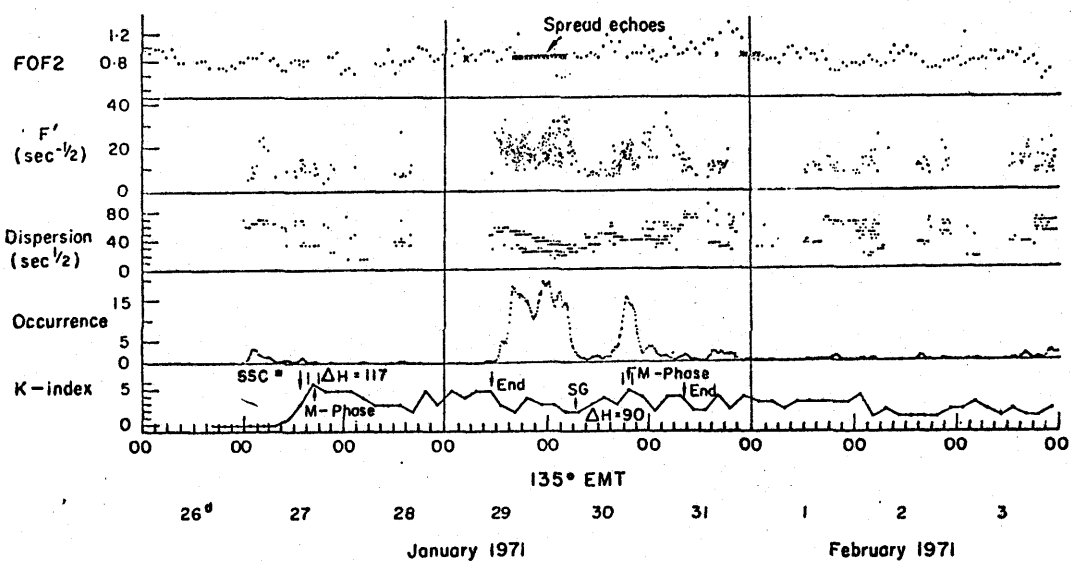


図4-26 1971年1月21日の磁気嵐に伴う木イッスラおよび寛離層特性。

にあることわかっている。以上の事から推測すると、Spread-F 不規則性の存在は中、低緯度でも木イヌラ活動度を増大させていることがあり得る。しかしこの原因としては、Spread-F そのものの木イヌラダクトと波の捕捉を行なうのか、それとも直接的作用なのかはわからない。Spread-F の生起が木イヌラダクトと共に、生起機構によるかは知れない。

4-4 結言

本章では中、低緯度木イッスラを用いた内部磁気圏の探査として、内部磁気圏電子密度の長期間変動と磁気擾乱時の内部磁気圏の電的変化を議論した。まず前者について本研究が明らかになつた点を挙げると

- (i) 磁気圏電子密度は電離層電子密度よりも太陽活動の変化に対して鈍感である。
- (ii) 磁気圏電子密度の変動は太陽活動の変動に比し1,2ヶ月の時間遅れで最も相関が高くなる。
- (iii) 磁気圏電子密度の季節変化は春秋において最大を示し、夏冬において最小を示す。これは高緯度の磁気圏電子密度の季節変化とは著しく異なる。
- (iv) 要は(iii)の原因としては、半年周期変動の成分がきわめて重要な役割を果たしている。
- (v) 木イッスラ発生数は太陽活動とは逆相関にある、これは電離層の吸收が発生数を決定する主因である。

である。中、低緯度の本研究は内部磁気圏のプラズマの維持を理解する際の基礎研究としてきわめて重要なと言える。

次に磁気擾乱時の木イッスラ特性の本論文ばかり明らかにされたと考えられる。重要な諸実験結果を要約すると、次のようになる。

- (i) 木イッスラ発生数は磁気擾乱が起り、1日から急激に上昇し始め、 Σk_p の最大の日から1~3日後で最大を示し、その後低下する。発生数の上昇は木イッスラダクトの生成による、 ~ 3 。
- (ii) 摆乱時の分散は一般に減少し、日平均値の65%なし85%の値を示す。

- (iii) 磁気擾乱時には 木イッスラ は diffuse するが、これは 単一のダクトの
巾が増大するのではなく、多くのダクトが新たに発生し、全体として
ダクト領域を形成するところ。ダクト領域のスケールは 風時 \approx 200 km 程度となるが、領域中の個々のダクトのスケールは 数 km の
オーダーである。
- (iv) 木イッスラ 発生数と電離層の Spread-F 不規則性とは よく相関があり、直接的にせよ、間接的にせよ、木イッスラ ダクトと Spread-F 不規則性とは 密接な連絡があるようである。

参考文献

- (1) Helliwell,R.A. : Whistlers and related ionospheric phenomena, Stanford Univ. Press (1965).
- (2) Allcock,G.McK. : The electron density distribution in the outer ionosphere derived from whistler data, J.Atmosph.Terr.Phys. 14,185(1959).
- (3) Carpenter,D.L. : Electron density variations in the magnetosphere deduced from whistler data, J.Geophys.Res. 69, 7345(1962).
- (4) Helliwell,R.A. : Exospheric electron density variations deduced from whistlers, Ann.Geophys. 17,76(1961).
- (5) Smith,R.L. : Properties of the outer ionosphere deduced from nose whistlers, J.Geophys.Res. 66,3709(1961).
- (6) Bourriot,M.,Tixier,M. and Corcuff,Y. : Etude de l'ionisation magnétosphérique entre 1,9 et 2,6 rayons géocentriques au moyen des sifflements radioélectriques reçus à Poitiers au cours d'un cycle solaire, Ann.Geophys. 23, 527(1967).
- (7) Carpenter,D.L. : Remarks on the ground-based whistler method of studying the magnetospheric thermal plasma, Ann.Geophys. 26, 363(1970).
- (8) Carpenter,D.L. : Whistler evidence of a knee in the magnetospheric ionization density profile, J.Geophys.Res. 68, 1675(1963).
- (9) Carpenter,D.L. : Whistler studies of the plasmaspause in the magnetosphere, I. Temporal variations in the position of the knee and some evidence on plasma motion near the knee, J.Geophys.Res. 71,693(1966).
- (10) Liemohn,H.B. and Scarf,F.L. : Exospheric electron temperatures from nose whistler attenuation, J.Geophys.Res. 67,1785(1962).
- (11) Gurnett,D.A. and Shawhan,S.D. : Determination of hydrogen ion concentration, electron density and proton gyrofrequency from the dispersion of proton whistlers, J.Geophys.Res. 71,741(1966).
- (12) Gurnett,D.A. and Brice,N.M. : Ion temperature in the magnetosphere obtained from cyclotron damping of proton whistlers, J.Geophys.Res. 77, 3639(1966).
- (13) Hayakawa,M.,Ohtsu,J. and Iwai,A.: Characteristics of dispersion and occurrence rate of whistlers at low latitudes during one solar cycle, J.Geomag. Geoelect. 23, 187(1971).
- (14) Hayakawa,M. and Ohtsu,J. : Annual and semi-annual variations in the electron density of the inner magnetosphere deduced from whistler dispersion, J.Atmosph.Terr.Phys. 35, 339(1973).

- (15) Otsu,J. and Iwai,A. : Some correlations between occurrence rate and dispersions of whistlers at lower latitudes and magnetic activity, Proc.Res.Inst.Atmosph. Nagoya Univ. 9,19(1962).
- (16) Allcock,G.McK. : Whistler propagation and geomagnetic activity, J.Inst.Telem. Eng. 12,158(1966).
- (17) Hayakawa,M.,Otsu,J. and Iwai,A. : Occurrence rate and dispersion of whistlers during magnetically disturbed periods at lower latitudes, Rep.Ionosph.Space Res.Japan 23,9(1969).
- (18) Tanaka,Y. and Hayakawa,M. : The effect of geomagnetic disturbances on the duct propagation of low latitude whistlers, J.Atmosph.Terr.Phys. 35,1699(1973).
- (19) Tanaka,Y. and Hayakawa,M. : Storm-time characteristics of low latitude whistlers, Planet.Space Sci. 21,1797(1973).
- (20) Iwai,A. and Otsu,J. : Observing method for whistlers and its results, J.Inst.Elect.Comm.Eng.Japan 45,556(1962).
- (21) Otsu,J. : Numerical study of tweeks based on waveguide mode theory, Proc. Res.Inst.Atmosph. Nagoya Univ. 7,58(1960).
- (22) Iwai,A. and Otsu,J. : On the characteristic phenomena for short whistlers observed at Toyokawa in winter, Proc.Res.Inst.Atmosph. Nagoya Univ. 5,50 (1958).
- (23) Rivault,R. and Corcuff,Y. : Recherche due point conjugué magnétique de Poitiers-variation nocture de la dispersion des sifflements, Ann.Géophys. 16,530 (1960).
- (24) Corcuff,Y. : Étude de la magnétosphère au moyen des sifflements radioélectriques, Thesis de Doctorat d'Etat, Poitiers,juin(1965).
- (25) Allcock,G.McK. and Morgan,M.G. : Solar activity and whistler dispersion, J.Geophys.Res. 63,573(1958).
- (26) Kimpara,A. : Some characteristics of the dispersion of whistlers, Proc.Res. Inst.Atmosph. Nagoya Univ. 9,5(1962).
- (27) Yonezawa,T. and Arima,Y. : On the seasonal and non-seasonal annual variations and the semi-annual variations in the noon and midnight electron density of the F2 layer in middle latitudes, J.Radio Res.Labs. Japan 6,293(1959).
- (28) Yonezawa,T. : On the seasonal,non-seasonal and semi-annual variations in the peak electron density of the F2 layer at noon in the equatorial zone, J.Radio Res.Labs.Japan 14,1(1967).

- (29) Austin,L.W. : Proc.IRE 15,825(1927).
- (30) Kimpara,A. : On some remarkable characteristics of whistling atmospherics, Rep.Ionosph.Space Res.Japan 14,160 (1960).
- (31) Otsu,J.,Tanaka,Y. and Iwai,A. : Annual variations of whistler occurrence rate in middle and low latitudes since July 1957, Bull.Res.Inst. Atmosph. Nagoya Univ. 13,11(1963).
- (32) Kimpara,A. : Charactéristiques des sifflements radioélectriques aux basse latitudes pendant l'AGI et les AISC, Ann.Geophys. 23,13(1966).
- (33) Helliwell,R.A. : Summary of research on whistlers and related ionospheric phenomena, J.Res.Natn.Bur.Stand. 64D,642(1960).
- (34) Yoshida,S. and Hatanaka,T. : Variations in the VLF emissions with the reference to the exosphere, Rep.Ionosph.Space Res.Jap. 16,387(1962).
- (35) Laaspere,T. et al. : Some results of five years of whistler observations from Labrador to Antarctica, Proc.IEEE 51, 554(1963).
- (36) Somayajulu,V.V. and Tantry,B.A.P. : Effect of magnetic storms on the duct formation for whistler propagation, J.Geomag.Geolect. 20,21(1968).
- (37) Singleton,D.G. : Spread F and latitude variation of occurrence of whistlers, Nature 189,215(1961).
- (38) O'Brien,P.A. and Clarence,N.D.: A study of whistling atmospherics at Durban, J.Geophys.Res. 69, 3583(1964).
- (39) Calvert,W. and Schmid,C.U. :Spread F observations by the Alouette topside sounder satellite, J.Geophys.Res. 66, 1839(1964).

第5章 むすび

本論文は、雷放電や VLF局から出る低周波電波の電離層透過特性、木イッスラ波としての磁気圏内伝播による電離層内反射、透過問題を総合的に論じたものである。本論文で得られた重要な結果を以下簡単にまとめよう。

- (i) 低周波電波の電離層への透過特性が、高緯度から赤道帯まで全緯度範囲にわたって理解された。特に赤道帯でのVLF, ELF電波のトンネル効果による電離層透過はじめ明らかにした。また木イッスラ波の電離層透過における緯度効果や周波数特性も明らかにした。これらの研究は今後、衛星でのVLF観測、解釈にはきわめて有用なものになろう。さらにロケット実験によると、下部電離層中の木イッスラ伝播特性も考察した。
- (ii) 磁気圏内伝播に關しては、中、低緯度木イッスラのダクト伝播の問題が非常にはつきりしてきた。つまり地上で観測された中、低緯度木イッスラがダクト伝播によると、地球上観測およびロケットの波面法線方向の測定から明らかにした。また中、低緯度木イッスラダクトの諸特性に関する情報もかなり得られた。さらにロケット観測により、従来定性的に言及されてきた捕獲円錐や透過円錐の概念が実験的にはじめて明らかにされたのも重要な結果である。

次に内部磁気圏内では非ダクト伝播モードの木イッスラが存在することも確認された。またこの伝播には低緯度特有の赤道異常の重要な働きをしていなかったわけだ。

- (iii) 磁気圏内伝播に関しては木イッスラの電離層内伝播特性はきわめて遅れている分野である。この問題は下降木イッスラ波の波面法線方向

が透過円錐内にあり否かによりその特性が著しく異なる。本論文ではこれら両者の場合についても完全に取扱った。まず波面法線方向が透過円錐外にある場合に、反射レベルが入射角の他の条件によりいかに変化するかを論じた。次に波面法線方向が透過円錐内にある場合を詳しく述べ取り扱い、その結果、高緯度では地表反射が重要な働きとしていること、電離層内反射機構が明らかになつた。この問題は木イッスラのみならず、VLF放電の研究にも寄与する。

(iv) 最後に木イッスラ波による磁気圏探査の結果としは、中緯度木イッスラの長期間特性および磁気擾乱時の諸特性の解明と挙げることができる。木イッスラ分散の太陽活動との関連から、磁気圏電子密度は電離層電子密度よりも太陽活動の長期間変動に対する钝感であることがわかつた。また中緯度木イッスラの分散季節変化は、高緯度とは著しく異なることが明らかとなり、貴重なデータとなつた。

次に磁気擾乱時の中、低緯度木イッスラ特性をいろいろな角度から検討し、磁気嵐の磁気圏に及ぼす影響や擾乱時のダクトの特性の変化等が明らかになつた。

以上の本研究の成果を考慮し、今後解明すべき問題について簡単述べよう。

(i) ダクト伝播と磁気圏

第3章において中、低緯度木イッスラダクトの存在が確認され、その特性もかなり明らかとなつた。しかし、まだ実測情報はさらに積み重ねる必要がある。これは地上観測に加え、第3章でも述べたようなロケットによる波面法線方向の測定と高度まで行なうことや、衛星観測等の総合

的研究が重要となつてゐる。これらの研究によりターブトの形状や大きさ等、情報が得られるのみならず、ターブトの入口におけるホイスト波の捕捉機構や捕捉波、電離層突き抜け機構についても詳しい考察が可能となる。以上、ターブトの諸特性と浮き形態はしてはじめてホイストターブトの生成・消滅理論を研究することができよう。ホイストターブトの生成は磁気圏と電離層との相互作用といった観点から論ずるが正しかろう。以上は静穏時^間のターブトに関する問題である。

磁気擾乱時は第4章でも述べたようにターブトの特性はいろいろな変化が現われるが、これは磁気圏内部放電線帯の粒子に関する事柄のため、それともターブトの特性の変化、源の電離層にあるかは興味深い。磁気擾乱時のための連続観測によるターブトの生成時間や進行方向はこの問題の情報がこの問題を解明には不可欠である。また他の地球物理現象との相関も重要な問題である。

地上ホイストハブターブト伝送によると、この観測された後緯度ではホイストの経路密度が決定されるに欠くものである。これが本論文でも述べた多点同時観測も考慮される、それよりも、直接的にホイスト、電離層、出口の方向を測定する Direction ^{finding} の開発が必要である。これがさればターブト研究に有用であるばかりでなく、中、低緯度ホイストの分散の変化から、磁気圏電子密度の変動やプラスチック輸送等の問題も扱ふことが可能となる。

(ii) 非ターブト伝送と磁気圏

本論文の3-5節では低緯度磁気圏内における非ターブト伝送モード、ホイストと示した。この伝送特性から、赤道異常の存在の非ターブト伝送は重要な作用をもつてゐることはわかつた。衛星観測^はは今後新しい

型、非ダクト雲 10° n木イッスラが愛用される。非ダクト雲 10° nにはイオン・効果と電子密度の高さ度効果が重要な要素であり、この雲 10° n特性を利用して磁気圏電子密度分布やイオン分布の明らかにされよう。

(iii) 木イッスラ波と下部電離層

下部電離層中の木イッスラ波、 10° nは理論的研究がかなりの線まで到達しているのに比し、実験的研究はきわめて遅れをとる。そのための理論的研究もまだなまら、実験的研究も強力に押し進めねばならぬと考えられる。すなわち下部電離層中の木イッスラ波、強度、波面法線方向や偏波等の観測を行なう必要がある。また 10° n磁気圏と 10° nしてきた下降木イッスラ波、反射および透過も実験的と言評価する必要があると考えられる。

(iv) VLF 放射

VLF 放射は磁気圏内における一波と粒子との相互作用により励起される電波である。地上や衛星のVLF 放射の観測を行なってみると、発生機構の問題と 10° n効果とか含まれており、十分な理解が得られない。特に連続性、VLF 放射(VLF リスニング)の研究は遅れをとる。従来のVLF 放射の研究では 10° nの問題を抜きにして議論される場合が多いが、たゞしそれでは十分な理解は得られない。今後は発生、 10° nを考慮した理論、観測の両面から強力に研究を進めるつもりである。

謝辞

本研究は筆者か名古屋大学空電研究所で行なった研究をまとめたものである。筆者の大学院在学中以来、本研究に対し御興味と御关心をもたれ、御指導を得た名古屋大学空電研究所 岩井章教授および大津仁助 助教授に深く謝意を表わす。本論文の構成および各章にわたる有益な御教示をいたさいた名古屋大学工学部 赤尾保男教授、築島隆繁教授に深く謝意を表わす。また種々の御助言をいたさいた空電研究所の諸先生および田中義人博士に感謝します。最後に絶えず御激励をいたさういる中部工業大学 金原淳先生に心から感謝する次第である。